



منشورات الجامعة الأردنية

# المعادن والصخور الصناعية في الأردن

توافرها وخصائصها ونشأتها

هاني نقولاخوري

عُثان ٢٠١٩م







منشورات الجامعة الأردنية

# المعادن والصخور الصناعية في الاردن

توافرها وخصائصها ونشأتها

هاني نقولاخوري

عمّان ٢٠١٩

الطبعة الاولى

٥٤٩عر٥٣٢١

هانـ هاني نقولا خوري

المعادن والصخور الصناعية في الأردن : توافرها وخصائصها  
ونشأتها/ هاني نقولا خوري . - عمان : الجامعة الأردنية ، ١٩٨٩ .

٢٤٤ ص

ر. أ (١٩٨٩/٨/٥٠٣)

١ - المعادن - الأردن أ - العنوان

(تمت الفهرسة بمعرفة دائرة المكتبات والوثائق الوطنية)





الاهداء

---

إلى زوجتي

وأبنائي



## بسم الله الرحمن الرحيم

والله خلق الله ربه يحوي في باطنها كنوز كثيرة بعضها فخره والبعض  
 الله خلقها يستسور بعد وفاء الله فاسم التنزه ان مصداق الطائفة  
 منها هم بكميات نفى حاجتنا الى الاحياء الكلفة، وتحوي الارضنا  
 عن امر كثيرة يمكن الاستغناء عنها في صناعات فائده ومجديرة بحسب  
 ان فظلموا الى البورس الذي تكون فيه على علمه ورأيه بما عندنا من  
 زروات ومنح طبيعيه، وان تكون لنا نمطه طوله الله خلقها  
 بقدره على سرائر حصى يتخذ منها حاجتنا ونفسي للجهال الفاسدة  
 قدر لا يعقولا سخا، وهذا لا يطلب ان نراعي البيئه ونحفظ حليها  
 ونحفظها من تلوث الماء والطول، والله روي في مرحلته البناء  
 الجديرة بحسب ان يعطى المثل الناصح على فظفته، وسرته في  
 الحفاظ على صحة الانسان وبيئته.

سبحه خطاب مولانا الملك الحسين به طهريك  
 في افتتاح اعمال المقار الترموي الساسل  
 يوم الاثنين الموافق ٢٨، ١١، ١٩٨٨



بسم الله الرحمن الرحيم

## تقديم

تعتبر مصادر الثروة المعدنية من أهم عوامل التطور الاقتصادي والاجتماعي ، وللوقوف على القدرات المعدنية الكامنة في الأردن ومؤشراتها الرئيسية لا بد من التطرق ولو بإيجاز إلى النواحي الجيولوجية فيه .

إن هناك علاقة وطيدة بين نوع المعادن وتوزيعها ونشأتها من حيث المكان والزمان وبين التراكيب الجيولوجية التي نشأت منذ فترة طويلة خلال التطور الجيولوجي في الدرع العربي وعلى طول حفرة الانهدام . وقد ساعدت عمليات رفع الصخور وحركتها إضافة إلى البراكين القديمة في عمليات تركيز الرواسب المعدنية في بعض المناطق .

وتتحكم في جيولوجية الأردن عوامل هامة من ضمنها وقوعه على محاذة الطرف الشمالي للدرع العربي الذي كان مصدر الرسوبيات ، وقد كانت هذه الرسوبيات تتجمع في الأحواض والمنخفضات بتأثير بحر التيثس الذي عمل خلال تقدمه أو تراجع على ترسيب الصخور البحرية أو القارية ، وكانت الحركات الأرضية النشطة بمحاذاة حفرة الانهدام تعمل على تقادم البحر أو انحساره ، وبناء على ذلك نلاحظ تميز الصخور المكونة للمقطع الجيولوجي العمودي الممثل لهذه المنطقة بتعاقب الرسوبيات البحرية والقارية التي كانت تتراكم بساكنات متفاوتة حسب الظروف المورفولوجية والمناخية التي سادت في العصور الجيولوجية المختلفة .

ويتركز صخور القاعدة النارية التابعة لحقب ما قبل الحياة في المنطقة المحصورة بين العقبة وجنوب البحر الميت ، ويغطي النوع الجرانيتي على هذه الصخور التي تعتبر مصدراً من مصادر أحجار الزينة والفيلدسبار وبعض العناصر النادرة . أما صخور حقب الحياة القديمة فتتميز بأنها رملية قارية تصل سكاكنها الى حوالي ١٣٠٠م تتخللها رسوبيات بحرية ضحلة ، وتحمل هذه الصخور رواسب من الحديد والنحاس والمغنيز والرمل الزجاجي وبعض المعادن المشعة . أما صخور حقب الحياة الوسطى فهي رسوبية بحرية وقارية وتتركز فيها رواسب المعادن الطينية والفوسفات والجبس والحجر الجيري البينوميني والتريبولي والصخور الصناعية المختلفة . وتغطي صخور حقب الحياة الحديثة الجيرية والمارلية المناطق الشرقية من الأردن في حين تغطي طبقات جيرية وطفالية وكونجلوميرات وترافرتين منخفضات وادي الأردن وحوض البحر الميت وحوض الأزرق ووادي السرحان ، وتتميز نهاية هذه الفترة (في بداية العصر الرباعي) بحصول الانخساف الرئيسي لحفرة الانهدام في منطقة البحر الميت ، حيث تم ترسيب ما يزيد على ٥٠٠٠م من المتبخرات في منطقة

اللسان، كما تتميز بالنشاط البركاني في شمال شرق الأردن حيث غطت الطفوح البركانية البازلتية مساحات شاسعة.

إن دراسة مصادر الثروة المعدنية وتطويرها هو شكل من أشكال التنوع الاقتصادي، إضافة إلى كونه مصدر دخل قومي. ويناقش هذا الكتاب مصادر الثروة المعدنية في الأردن (باستثناء المياه والبتروول والغاز الطبيعي) في ثمانية عشر فصلا يبين المؤلف فيها أهم ما تم التوصل إليه من نتائج في مجال رواسب النحاس والمنغنيز والحديد والفوسفات والباريت والكبريت والمعادن الطينية ورمل الزجاج والجبس والفيلدسبار والتريبولي والرخام والترافرتين وأحجار البناء والملح والبوتاس الصخري وأملاح البحر الميت والصخر الزيتي ورمال القار والمعادن المشعة، ولقد ركز المؤلف على بعض الظواهر الجيولوجية الفريدة مثل تشابه الرخام الأردني في مناطق ضبعة وسواقه وصويلح والمقارن بالاسمنت البورتلندي ونواحجه، وتشابه المياه ذات القلوية العالية في المقارن بالمياه المتكونة في الخرسانة التي تستعمل كمخازن للفضلات الاشعاعية. فدراسة الخواص الكيماوية والبيولوجية لمثل هذه المياه لها تأثير كبير- على المدى البعيد - على مستقبل مثل هذه المخازن الخرسانية.

إن ما ورد في هذا الكتاب ليس خاتمة المطاف لموضوعات مصادر الثروة المعدنية المتشعبة، ولكنه مرجع مهم لكل العاملين والمتخصصين في مؤسسات ودوائر البحث الجيولوجي والتعديني، وبالتالي فإن هذا الكتاب يثير الانتباه من خلال ما يتضمنه من معطيات ومعلومات إلى أهمية الثروة المعدنية في الأردن، تلك الثروة التي تعقد عليها الآمال في ضمان التنمية الاقتصادية والاجتماعية. كما يفسح هذا الكتاب المجال أمام المهتمين لإعداد مشاريع الأبحاث والدراسات العلمية والفنية تمهيداً للخروج بالأفكار الجديدة التي من شأنها تحقيق أعلى قدر من التقدم والازدهار لهذا البلد لمواجهة متطلبات التقدم والرفق المعاصر ليتناسب مع التراث الحضاري العربي وتاريخه العريق.

ويسر الجامعة الأردنية التي أخذت على عاتقها نشر البحوث العلمية الرصينة، أن يكون هذا الكتاب من ضمن منشوراتها لهذا العام. وإننا نتوجه بالشكر الجزيل إلى الزميل الاستاذ الدكتور هاني خوري صاحب هذا الكتاب والذي عرفناه باحثاً متميزاً وشخصية علمية مرموقة.

عمان في ١٨/٧/١٩٨٩

محمد عدنان البخيت

عميد البحث العلمي  
الجامعة الأردنية

## مقدمة

يعد الأردن متحفاً جيولوجياً ومدرسة مثالية لدراسة علم الأرض بفروعه المختلفة، وهو ينفرد بظواهر وتوضعات وتراكيب جيولوجية ومعادن وصخور تميزه عن غيره من بقاع الأرض. وسأتناول في هذا الكتاب جزءاً هاماً من ثرواته الحقيقية، وهي المعادن والصخور الصناعية من حيث توافرها وخصائصها ونشأتها وأماكن وجودها.

ولقد قامت الحكومة الأردنية منذ بداية الخمسينات ومن خلال المنظمات والدوائر المختلفة بدراسات علمية لأغراض تقييم الثروات المعدنية. وتقوم سلطة المصادر الطبيعية منذ تأسيسها وحتى الآن بدور فعال في دراسة هذه المصادر وتقييمها. وتقوم الشركات الوطنية حالياً باستغلال بعض هذه الثروات على نطاق واسع أوضيق. وهناك الكثير من الخامات التي لم تكتمل دراسة جدواها الاقتصادية وهناك الكثير أيضاً الذي ما يزال مدفوناً تحت سطح الأرض بانتظار من يكتشفه.

إن المهمة الكبرى التي تواجهنا ليست فقط تقييم مصادر الثروة المعدنية واستخراجها، ولكن البدء في تصنيعها وتطویرها محلياً لكي نصل إلى أعتاب التطور الصناعي، وامتلاك المهارات والقدرات على تطبيق المعطيات العلمية وطرق الإنتاج. ولكي يتم وضع القاعدة الأساسية الاجتماعية والبشرية لتطور العلوم والتكنولوجيا محلياً، يجب أن يمس الإنتاج الصناعي حياة الغالبية العظمى من السكان التي يتوقف عليها تطور المجتمع. والطريق الرئيسي لتحقيق التقدم في مجالات العلم والتكنولوجيا والإنتاج الصناعي هو البحث العلمي. ولقد قامت مؤسسات وطنية كثيرة من ضمنها سلطة المصادر الطبيعية والجمعية العلمية الملكية والجامعة الأردنية وحالياً المجلس الأعلى للعلوم والتكنولوجيا بأبحاث عديدة في مجال تقييم الثروات المعدنية، ولا تزال الحاجة ملحة إلى التركيز على الصناعات الاستخراجية.

و يستعرض هذا الكتاب أهم الأبحاث العلمية التي تمت على المعادن والصخور الصناعية في الأردن منذ بدءها حتى تاريخ صدوره. والكتاب مقسم إلى ثمانية عشر فصلاً وهو تجربة متواضعة أضعها بين يدي الطلبة والعاملين في الجيولوجيا والمهنيين في هذا البلد، آملاً أن يسهم في نشر المعرفة لما فيه خير هذا الوطن.

والله ولي الأمر والتوفيق.

## المحتويات

الموضوع	الصفحة
فهرس الأشكال	١٥
فهرس الجداول	٢١
الفصل الاول	٢٣
جغرافية الأردن وجيولوجيته :	٢٤
جغرافية الأردن	٢٤
جيولوجية الأردن	٢٤
الفصل الثاني	٣٧
النحاس والمنغنيز :	٣٨
الطبقات الحاملة لخامات النحاس والمنغنيز	٣٨
تراكيب المناطق الحاملة لخامات النحاس والمنغنيز	٤٤
أشكال خامات النحاس والمنغنيز وتركيبها المعدني	٤٥
كيماءية الصخور الحاملة لخامات النحاس والمنغنيز وبترولوحيته	٤٦
نشأة رواسب النحاس والمنغنيز في وادي عربة	٤٩
المراجع.	٥٤
الفصل الثالث	٥٥
الحديد :	٥٦
خامات الحديد في منطقة عجلون	٥٦
خامات الحديد في شمالي الأردن وغربيه	٦٠
المراجع.	٦٤
الفصل الرابع	٦٥
الفوسفات :	٦٦
عرض موجز للدراسات التي تمت عن الفوسفات الأردني	٦٦
جيولوجية الطبقات الحاملة للفوسفات	٦٧
التركيب المعدني والكيماءوي لخامات الفوسفات	٧٣
نشأة رواسب الفوسفات الأردني	٧٥
المراجع.	٨١



٨٣	الفصل الخامس
٨٤	الباريت :
٨٥	الباريت في منطقة الاجفور
٨٥	الباريت في زاكمت الحسا
٨٥	الباريت في منطقة الغرندل
٨٦	المراجع .
٨٧	الفصل السادس
٨٨	الكبريت :
٩٠	المراجع .
٩١	الفصل السابع
٩٢	المعادن الطينية :
٩٢	المعادن الطينية في وحدة الحجر الرملي الكرني
١٠٦	نشأة الخامات الطينية في وحدة الحجر الرملي الكرني
١٠٦	المعادن الطينية في منطقة الأزرق
١١٠	نشأة الرواسب الطينية في الأزرق
١١٢	المعادن الطينية في منطقة بطن الغول
١١٥	نشأة الرواسب الطينية في منطقة بطن الغول
١١٩	رواسب المعادن الطينية الأخرى
١١٩	الرواسب الطينية في مناطق الرشادية والفجيج
١٢١	رواسب الباليجورسكيت والسيبوليت
١٢١	الرواسب الطينية على طريق العارضة - الغور
١٢١	الجلوكونيت
١٢٢	الزيولايت
١٢٢	المراجع .
١٢٥	الفصل الثامن
١٢٦	رمل الزجاج :
١٣٠	المراجع .
١٣١	الفصل التاسع
١٣٢	الجبس :
١٣٢	الجبس في منطقة نهر الزرقاء

١٣٢	الجبس في جنوبي الأردن
١٣٤	الجبس في الأزرق
١٣٦	المراجع.
١٣٧	<b>الفصل العاشر</b>
١٣٨	الفيلدسبار:
١٣٨	الصخور الجرانيتية في جنوبي الأردن
١٤٢	المراجع.
١٤٣	<b>الفصل الحادي عشر</b>
١٤٤	الترابيولي :
١٤٤	جيولوجية الطبقات الحاملة لخامات التربيولي
١٤٩	التركيب المعدني
١٥٥	نشأة رواسب التربيولي
١٥٨	المراجع.
١٥٩	<b>الفصل الثاني عشر</b>
١٦٠	الرخام:
١٦٠	جيولوجية مناطق الرخام
١٦١	التركيب المعدني والكيماوي
١٦٩	نشأة الرخام في الأردن
١٨٥	أهمية الرخام الأردني
١٨٧	المراجع.
١٨٩	<b>الفصل الثالث عشر</b>
١٩٠	الترافرتين:
١٩٠	الترافرتين في منطقة ينابيع الزرقاء ماعين
١٩٠	رواسب الترافرتين
١٩٣	نشأة رواسب الترافرتين
١٩٧	الترافرتين في خان الزبيب
٢٠٠	نشأة الترافرتين في خان الزبيب
١٩٩	المراجع.

٢٠١	الفصل الرابع عشر
٢٠٢	أحجار البناء :
٢٠٢	حجر البناء الأردني
٢٠٢	الركام
٢٠٣	الحجر الرملي
٢٠٣	أحجار الزينة
٢٠٤	أحجار الصناعة
٢٠٤	المراجع.
٢٠٥	الفصل الخامس عشر
٢٠٦	الملح والبيوتاس الصخري وأملاح البحر الميت :
	نبذة عن البحر الميت
٢٠٧	جيولوجيا البحر الميت
٢٠٧	الخواص الكيماوية للبحر الميت
٢٠٩	انتاج البيوتاس
٢١٢	المراجع.
٢١٣	الفصل السادس عشر
٢١٤	الصخر الزيتي :
٢١٦	أماكن وجود الصخر الزيتي
٢١٦	جيولوجية طبقات الصخر الزيتي
	التركيب المعدني والكيماوي
٢١٨	نشأة الصخر الزيتي
٢٢٠	المراجع.
٢٢١	الفصل السابع عشر
٢٢٢	رمال القار :
٢٢٢	جيولوجيا الطبقات الحاملة للقار
٢٢٢	التركيب المعدني والكيماوي لرمال القار
٢٢٤	نشأة المواد الهيدروكربونية في الصخور الرملية
٢٢٤	المراجع.

٢٢٥

## الفصل الثامن عشر

٢٢٦

المعادن المشعة في الأردن :

٢٢٦

١ . اليورانيوم

٢٢٩

أهمية اليورانيوم في الفوسفات الأردني

٢٢٩

٢ . الثوريوم

٢٣١

٣ . الراديوم

٢٣١

المراجع :

٢٣٢

المراجع باللغة العربية

٢٣٣

المراجع باللغة الانجليزية

## فهرس الأشكال

٢٥	خريطة جيولوجية مبسطة تبين الأحقاب الجيولوجية.	شكل ١-١
٣٩	مواقع خامات النحاس والمنغنيز على طول وادي عربية.	شكل ١-٢
٤٠	التغيرات الصخرية على طول وادي عربية.	شكل ٢-٢
٤١	مضاهاة بين الصخور في مناطق ضانا وتمنا.	شكل ٢-٣
٤٣	العلاقة بين النظائر الثابتة للكربون والأوكسجين لعينات كربوناتية من وادي عربية.	شكل ٢-٤
٤٧	صورة مجهرية لخامات المنغنيز التي تملأ الشقوق وتنتشر على حساب الأرضية الطينية.	شكل ٢-٥
٤٧	صورة مجهرية لخامات النحاس والمنغنيز التي تنتشر على حساب الأرضية الناعمة.	شكل ٢-٦
٤٨	صورة مجهرية لخامات النحاس والمنغنيز وتظهر مترسبة في الشقوق والفراغات.	شكل ٢-٧
٤٨	صورة مجهرية لخامات النحاس والمنغنيز في الدولومايت تبين عدة مراحل للأحلال وإعادة تكتو بين الدولومايت المعيني الشكل.	شكل ٢-٨
٥٢	نموذج يبين ترسيب خامات النحاس والمنغنيز والحديد خلال تقدم البحر على طول وادي عربية وانحساره.	شكل ٢-٩
٥٧	أماكن وجود الحديد في الأردن.	شكل ٣-١
٥٨	مقطع جيولوجي في منطقة ورده يوضح تواضع خامات الحديد.	شكل ٣-٢
٦١	مقطع جيولوجي في منطقة غرب عمان.	شكل ٣-٣
٦٢	مقاطع جيولوجية في منطقة غرب عمان.	شكل ٣-٤
٦٣	التراكيب الانضغاطية في شمالي الأردن.	شكل ٣-٥
٦٨	خارطة تبين مواقع خامات الفوسفات في الأردن.	شكل ٤-١
٦٩	مقطع جيولوجي في منطقة الرصيفة.	شكل ٤-٢
٧٠	مقطع جيولوجي في منطقة الحسا - الأبيض.	شكل ٤-٣
٧١	مقطع جيولوجي في منطقة الشدية.	شكل ٤-٤
٧٢	مقطع في منطقة وادي السموع (شمالي الأردن).	شكل ٤-٥
٧٧	رسم يمثل العلاقة بين تركيز اليورانيوم ووحدة الطول a <sub>٥</sub>	شكل ٤-٦
٧٨	نموذج يبين صعود التيارات الباردة الغنية بالفوسفات.	شكل ٤-٧

٧٩	٨٤	شكل ٤ - ٨	خريطة تمثل انتشار بحر التيثس خلال أواخر العصر الطباشيري العلوي.
٨٤	٨٩	شكل ٥ - ١	أماكن وجود الباريت في الأردن.
٨٩	٩٣	شكل ٦ - ١	شكل توضيحي يبين الوضع الطبقي لتكوين اللسان في منطقة دامية.
٩٣	٩٥	شكل ٧ - ١	خريطة تبين مواقع خامات المعادن الطينية الاقتصادية.
٩٥	٩٦	شكل ٧ - ٢	مقطع عمودي في منطقة ماحص.
٩٦	٩٧	شكل ٧ - ٢	مقطع عمودي في منطقة غور كبد.
٩٧	٩٨	شكل ٧ - ٤	بيئة الترسيب لصخور الطباشيري الأسفل.
٩٨	٩٨	شكل ٧ - ٥	صورة مجهرية تبين المراحل المختلفة لعمليات التجوية فيلدسبار - ميكسا - كاولينيت.
٩٨	٩٩	شكل ٧ - ٦	صورة مجهرية تبين آثار الفيلدسبار وبقايا الكوارتز بعد تكوين الكاولينيت الناتج من عمليات التجوية الكيماوية.
٩٩	١٠١	شكل ٧ - ٧	صورة مجهرية تبين المعادن الثقيلة : الزركون والروتايل والتورمالين والمعادن المعتمة من وحدة الحجر الرملي الكرني.
١٠١	١٠٢	شكل ٧ - ٨	سجل الأشعة السينية الحيودية للمعادن الطينية من منطقة ماحص.
١٠٢	١٠٣	شكل ٧ - ٩	السلوك الحراري للكاولينيت من منطقة ماحص.
١٠٣	١٠٤	شكل ٧ - ١٠	طيف الأشعة تحت الحمراء للكاولينيت من ماحص.
١٠٤	١٠٤	شكل ٧ - ١١	صورة بالمجهر الإلكتروني تبين الشكل السداسي الكاذب للكاولينيت ونمو بلورات الكاولينيت الصغيرة داخل بلورات الميكا الأكبر.
١٠٤	١٠٤	شكل ٧ - ١٢	صورة بالمجهر الإلكتروني تبين بلورات الهالوزيت الأسطوانية الشكل مع الكاولينيت والأليت.
١٠٤	١٠٥	شكل ٧ - ١٣	صورة بالمجهر الإلكتروني الماسح تبين النسيج عالي المسامية في العينات الطينية.
١٠٥	١٠٥	شكل ٧ - ١٤	صورة بالمجهر الإلكتروني الماسح تبين نمو بلورات الكاولينيت وجهاً لوجه على أسطح معادن المسكوفيت - إليت.
١٠٥	١٠٧	شكل ٧ - ١٥	بلورات ألوانيت معينة الشكل من غوركيد.
١٠٧	١٠٨	شكل ٧ - ١٦	منخفض الأزرق واتجاه المياه المغذية.
١٠٨	١١١	شكل ٧ - ١٧	نتائج تحاليل الأشعة السينية الحيودية لعينات طينية مشبعة بالجلسرين حيث تظهر الانعكاسات القاعدية لمعدن مختلط الطبقات إليت / سميكتيت.

- شكل ٧-١٨ صورة بالمجهر الإلكتروني الماسح تبين طبيعة المعادن الطينية من منطقة الأزرق حيث تظهر بوضوح عمليات نمو للمعادن الطينية بعد الترسيب. ١١٢
- شكل ٧-١٩ مقطع عام يمثل التتابع الطبقي في منطقة بطن الغول. ١١٣
- شكل ٧-٢٠ صورة مجهرية تبين نمو بلورات المسكوفيت باتجاهات شبه متوازية على حساب الأرضية والمعادن غير الطينية. ١١٥
- شكل ٧-٢١ نتائج دراسة الأشعة السينية الحيودية لبعض العينات الطينية من منطقة بطن الغول. ١١٦
- شكل ٧-٢٢ نسبة المعادن في أحد الآبار المحفورة في منطقة بطن الغول. ١١٧
- شكل ٧-٢٣ السلوك الحراري للمعادن الطينية لبعض العينات في منطقة بطن الغول. ١١٨
- شكل ٧-٢٤ صورة بالمجهر الإلكتروني الماسح للمعادن الطينية من منطقة بطن الغول. ١١٩
- شكل ٨-١ مقطع جيولوجي عام في منطقة رأس النقب. ١٢٧
- شكل ٨-٢ نتائج التحليل الميكانيكي لعينة تمثل الرمل الزجاجي في رأس النقب. ١٢٧
- شكل ٩-١ مقطع يجيبين صخور الترياسي المكتشفة في منطقة التقاء وادي العزب ووادي الهونة مع نهر الزرقاء. ١٢٨
- شكل ٩-٢ مناطق دراسة الجبس في جنوبي الأردن. ١٣٣
- شكل ٩-٣ مضاهاة رواسب الجبس في مناطق جنوبي الأردن. ١٣٤
- شكل ٩-٤ بيئة الترسيب القديمة لنطاقات الجبس في جنوبي الأردن. ١٣٥
- شكل ١٠-١ خريطة توضح امتداد الصخور النارية في جنوبي الأردن. ١٣٦
- شكل ١٠-٢ خريطة توضح أماكن وجود الجرانيت القلوي. ١٣٩
- شكل ١١-١ أماكن وجود رواسب التريبولي في الأردن. ١٤٠
- شكل ١١-٢ تراكيب الوحدات الصخرية المختلفة من شمال الأردن الى جنوبيه. ١٤٥
- شكل ١١-٣ مقطع عام يبين وجود التريبولي في وحدة الحجر الجيري السيليسي. ١٤٦
- شكل ١١-٤ أشكال مختلفة لأماكن خامات التريبولي في الطبقات المصاحبة في الأردن. ١٤٨
- شكل ١١-٥ بقايا لحفرية تم احلالها كلياً بواسطة التريبولي. ١٤٩
- شكل ١١-٦ صورة مجهرية تبين احلال السيليكا (التريبولي) محل الحجر الجيري وتظهر بقايا الحجر الجيري بشكل غير منتظم. ١٥٠

- شكل ١١-٧ صورة مجهرية للتريبولي (احلال كامل).  
 شكل ١١-٨ رسم يبين العلاقة بين اجمالي النسب المئوية لمحتويات التريبولي من الكربونات والسيليكا والمسافة بالسنتيمترات من مركز العينة.  
 شكل ١١-٩ نتائج صور الأشعة السينية لعينتين من التريبولي مأخوذتين من منطقة الكرك والزرقاء تبينان معدن الكوارتز كمكون أساسي.  
 شكل ١١-١٠ صورة تحت المجهر الإلكتروني الماسح تبين الكوارتز كامل الأوجه مع السيليكا متبلورة على شكل أو بال - سي تي يعتقد بأنها المرحلة قبل تكون الكوارتز كامل الأوجه.  
 شكل ١١-١١ صورة تحت المجهر الإلكتروني الماسح تبين الكوارتز كامل الأوجه مع سيليكا وكالسيت مستتر المتبلور.  
 شكل ١١-١٢ صورة تحت المجهر الإلكتروني الماسح تبين الكوارتز كامل الأوجه والمكون الأساسي للتريبولي الأردني.  
 شكل ١١-١٣ صورة تحت المجهر الإلكتروني الماسح تبين الكوارتز والأو بال - سي تي المكون الأساسي للبورساليينيت.  
 شكل ١٢-١ خريطة تبين أماكن وجود الرخام في الأردن.  
 شكل ١٢-٢ مقطع جيولوجي عام في منطقة ضبعة - سواقة يبين توضع الرخام بالنسبة للصخور الأخرى.  
 شكل ١٢-٣ مقطع جيولوجي عام في منطقة صويلح يبين توضع الرخام.  
 شكل ١٢-٤ مقطع جيولوجي عام في منطقة المقارن يبين توضع الرخام.  
 شكل ١٢-٥ عينة اسطوانية تبين المعادن منخفضة الحرارة مألثة للفراغات ونامية على حساب الرخام.  
 شكل ١٢-٦ صورة مجهرية تبين معادن الكالسيت والأباتيت المتبلور في الرخام.  
 شكل ١٢-٧ صورة مجهرية تبين معدن الأباتيت المتبلور من رخام صويلح.  
 شكل ١٢-٨ صورة مجهرية تبين معدن لونلايت على شكل دوائر مصاحب لأو بال - أ من منطقة المقارن.  
 شكل ١٢-٩ صورة مجهرية لمعدن أو بال - سي تي المكون الأساسي لأطوار السيليكا الملونة من منطقة ضبعة.  
 شكل ١٢-١٠ صورة تحت المجهر الإلكتروني الماسح لمعدن الأباتيت من ضبعة.  
 شكل ١٢-١١ صورة تحت المجهر الإلكتروني الماسح لمعدن الكالسيت من ضبعة.



١٧٤	شكل ١٢-١٢ صورة تحت المجهر الألكتروني الماسح للأترنجيت - ثوماسيت (احلال كامل) من منطقة ضبعة وتظهر معها بلورات تو بيرموريت.
١٧٤	شكل ١٢-١٣ صورة تحت المجهر الألكتروني الماسح لبلورات ليفية من التو بيرموريت من منطقة ضبعة.
١٧٥	شكل ١٢-١٤ صورة تحت المجهر الألكتروني الماسح لبلورات من الباسانيت والانهيدرايت مع بلورات ليفية من التو بيرموريت (ضبعة).
١٧٥	شكل ١٢-١٥ صورة تحت المجهر الألكتروني الماسح لبلورات من الجبس من منطقة ضبعة مع معادن طينية.
١٧٦	شكل ١٢-١٦ صورة تحت المجهر الألكتروني لصفائح البورتلانديت مرتبة على شكل ابري من منطقة المقارن.
	شكل ١٢-١٧ صورة تحت المجهر الألكتروني الماسح لمعدن الأ بوفيليت من منطقة ضبعة.
١٧٧	شكل ١٢-١٨ صورة ممثلة لظاهرة التركيب التشقي في الرخام نتيجة التمدد والقلص.
١٧٨	شكل ١٢-١٩ العلاقة بين النظائر الثابتة (المستقرة) للأوكسجين والكربون في عينات الرخام الأردني.
١٨٤	شكل ١٢-٢٠ الصواعد والهوابط المترسبة من المياه القلوية في أحد الانفاق في منطقة المقارن.
	شكل ١٢-١ خريطة جيولوجية لمنطقة زرقاء ماعين.
١٩١	شكل ١٢-٢ مقطع جيولوجي لمنطقة الزرقاء - ماعين تبين أماكن وجود الترافرتين.
١٩٢	شكل ١٣-٣ صورة تحت المجهر الألكتروني الماسح لرواسب الترافرتين الحديث.
١٩٤	شكل ١٣-٤ صورة تحت المجهر الألكتروني الماسح لرواسب الترافرتين الحديث ذات الأشكال العنقودية الشعاعية.
١٩٥	شكل ١٣-٥ صورة تحت المجهر الألكتروني الماسح لبلورات الأ راجونيت السداسية الكاذبة المكونة للترافرتين الحديث.
٢٠٠	شكل ١٣-٦ صورة مجهرية للترافرتين من خان الزبيب حيث يظهر الأ وبال - سي تي كمكون أساسي، و يبدو معدن لونا لايت (أبيض) الى الخارج محيطاً بالكالسيدوني.
٢٠٨	شكل ١٥-١ خريطة البحر الميت تبين أعماق النقاط المختلفة.

٢١٥	خريطة تبين أماكن وجود الصخر الزيتي في الأردن.	شكل ١٦ - ١
٢١٧	مقطع جيولوجي عام في وسط الأردن يبين وضع الحجر الجيري البيتيوميني.	شكل ١٦ - ٢
٢١٩	بيئة الترسيب للصخر الزيتي في الأردن.	شكل ١٦ - ٣
٢٢٣	خريطة جيولوجية تبين أماكن تكشف صخور القار في وادي عسال ووادي أحيمر ووادي الذراع.	شكل ١٧ - ١
٢٢٧	خريطة تبين نتائج المسح الجوي للأردن وأماكن تركيز العناصر المشعة بقياس شدة إشعاع جاما.	شكل ١٨ - ١
٢٢٨	العلاقة بين تركيز اليورانيوم والفوسفات في مناطق وسط الأردن.	شكل ١٨ - ٢
٢٣٠	مقطع جيولوجي تحت سطحي يمثل طبقات الفوسفات في المنطقة الواقعة بين سواقة وجرف الدراو يش.	شكل ١٨ - ٣

## فهرس الجداول

٢٦	التسميات المختلفة للطبقات الجيولوجية في الأردن.	جدول ١ - ١
٥٠	التركيب الكيماوي للعناصر الأساسية من وحدة الحجر الجيري - الدولوميت - الطفال.	جدول ١ - ٢
٥٠	التركيب الكيماوي للعناصر الشحيحة من وحدة الحجر الجيري - الدولوميت - الطفال.	جدول ٢ - ٢
٥٨	معدل التركيب الكيماوي لعينات حديد من منطقة ودة.	جدول ١ - ٣
٦٤	التركيب الكيماوي لعينات الحديد من منطقة غرب عمان.	جدول ٢ - ٣
٧٤	معدل التركيب الكيماوي لخامات الفوسفات في المناطق المختلفة من الأردن.	جدول ١ - ٤
٧٥	المعادلات التركيبية لأنواع مختلفة من الفرانكوليت الأردني.	جدول ٢ - ٤
٧٦	التركيب الكيماوي لأنواع مختلفة من الفوسفات الأردني المسوق.	جدول ٣ - ٤
	توزيع أكسيد اليورانوم في بعض مناطق الفوسفات الأردني.	جدول ٤ - ٤
١٠٠	معدل التركيب الكيماوي للأكاسيد المكونة لخامات الكاولينيت من ماحص.	جدول ١ - ٧
١٠٠	معدل التركيب الكيماوي للعناصر الشحيحة لخامات الكاولينيت من ماحص.	جدول ٢ - ٧
١٠٩	التركيب الكيماوي لعينات طينية من منطقة الأزرق.	جدول ٣ - ٧
١٢٠	معدل التركيب الكيماوي لعينات طينية من ثلاث آبار محفورة في منطقة بطن الغول.	جدول ٤ - ٧
١٢٠	التركيب الكيماوي لعينات طينية من مناطق الفجيج والرشادية.	جدول ٥ - ٧
١٢٩	نتائج التحليل الكيماوي للحجم (١٠٠ - ٦٣٠) ميكرون من عينة ممثلة للرمال الزجاجي من رأس النقب.	جدول ١ - ٨
١٤١	التركيب الكيماوي للجرانيت القلوي من جبل الغفران.	جدول ١ - ١٠
١٦٧	المعادن التي تم التعرف عليها من مناطق الرخام الأردنية.	جدول ١ - ١٢
١٧٩	التركيب الكيماوي لثلاثة أنواع من رخام ضبعة.	جدول ٢ - ١٢
١٨٠	العناصر الشحيحة في ثلاثة أنواع من رخام ضبعة.	جدول ٣ - ١٢
١٨١	التركيب الكيماوي لمعدن توماسيت يبين الاحلال مع معدن أترنجيت من منطقة المقارن.	جدول ٤ - ١٢

١٨١	التركيب الكيماوي لمادة غير متبلورة صفراء من المقارن.	جدول ١٢ - ٥
١٨٣	التركيب الكيماوي للمياه القلوية من المقارن.	جدول ١٢ - ٦
١٨٤	العناصر الشحيحة في المياه القلوية من منطقة المقارن.	جدول ١٢ - ٧
١٩٦	العناصر المستقرة في عينات الأراجونيت من مناطق الزرقاء ماعين - البحر الميت.	جدول ١٣ - ١
١٩٦	التركيب الكيماوي لمياه الينابيع الحارة في منطقة الزرقاء ماعين.	جدول ١٣ - ٢
١٩٧	التركيب الكيماوي الفرضي لمياه الينابيع الحارة القديمة في منطقة الزرقاء ماعين.	جدول ١٣ - ٣
١٩٨	تركيز النظائر المستقرة في مياه الينابيع الحارة من منطقة الزرقاء ماعين.	جدول ١٣ - ٤
١٩٩	التركيب الكيماوي لمعدن الفولكونسكوبيت الأردني والروسي.	جدول ١٣ - ٥
٢١٠	النسب المئوية الوزنية للأملاح الرئيسية الموجودة في مياه البحر الميت.	جدول ١٥ - ١
٢١٠	العناصر الشحيحة في مياه البحر الميت (ملغم / لتر)	جدول ١٥ - ٢
٢١٠	كميات الأيونات الرئيسية المذابة في مياه البحر الميت (مقاسه بالآلاف ملايين الأطنان = بلايين الأطنان)	جدول ١٥ - ٣
٢١١	الملوحة وكمية الأملاح في الكتل المائية في البحر الميت.	جدول ١٥ - ٤
٢١٨	تركيز العناصر الشحيحة في الصخر الزيتي من شمالي الأردن ووسطه.	جدول ١٦ - ١

## الفصل الأول

### جغرافية الأردن وبيولوجيته

## جغرافية المملكة الأردنية الهاشمية

يقع الأردن بين خطوط ١١°٢٩' - ٣٣°٢٢' شمالاً و ٥٩°٣٤' - ٣٩°١٢' شرقاً وتبلغ مساحته ٩٥٠٠٠ كم<sup>٢</sup>. وصيفه بشكل عام حار وشتاؤه بارد. وفي حين يسود المناخ الصحراوي البادية شرقاً تتمتع المرتفعات الجبلية بمناخ البحر الأبيض المتوسط ذي الصيف المعتدل والشتاء البارد، أما منطقة الأغوار فمناخها شبه مداري حار صيفاً ودافئ شتاءً. وتبلغ كمية الأمطار السنوية ما يزيد على ٤٠ سم في عمان واربداً إلا أن هذه الكمية تنخفض الى نحو ٥ سم في المناطق الصحراوية.

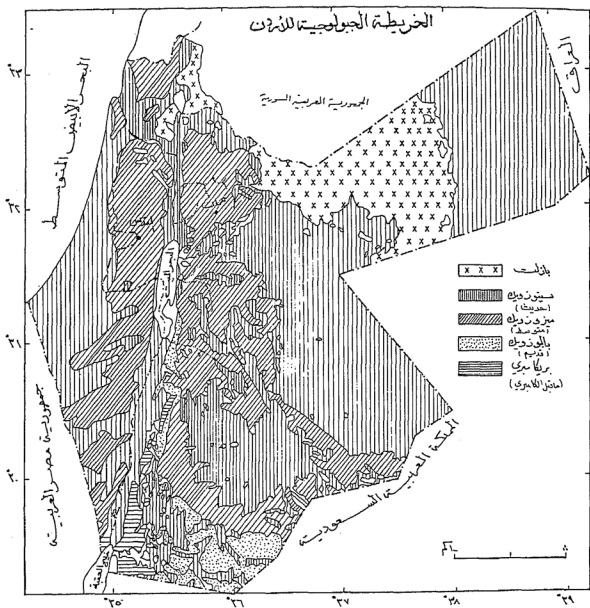
هذا وتمتد المرتفعات من الشمال الى الجنوب. وتقسم الى قسمين يفصل بينهما الأخدود الأردني (الأغوار). ومرتفعات الأردن الشرقية أكثر ارتفاعاً من الغربية، وهي تضم من الشمال الى الجنوب جبال عجلون، وتمتد من نهر اليرموك شمالاً حتى نهر الزرقاء جنوباً، تليها جبال البلقاء التي تمتد من نهر الزرقاء شمالاً حتى وادي حسان جنوباً، ثم جبال مؤاب التي تمتد من وادي حسان شمالاً حتى وادي الحسا جنوباً، وأخيراً جبال الشراة في الجنوب.

أما الأخدود الأردني (الأغوار) فهو جزء من الأخدود الإفريقي العظيم الممتد من سواحل شرقي إفريقيا حتى سواحل جنوبي تركيا. ويمتد الأخدود الأردني من التقاء نهر اليرموك بنهر الأردن شمالاً وحتى خليج العقبة جنوباً (٣٧٠ كم). وتقع في هذا الأخدود أخفض نقطة على سطح الأرض وهي البحر الميت الذي يبلغ مستواه ٤٠٠ م دون مستوى البحر تقريباً، و يطلق على الجزء الجنوبي من الأخدود وادي عربة.

أما البادية الأردنية فهي هضبة متوسط الارتفاع، تقسم الى ثلاث مناطق، وهي بادية حسمى (تمتد من رأس النقب وحتى السعودية) ومن أبرز معالمها وادي رم وجبل رم وجبل أم عشرين، والجزء الثاني أرض الحماد وتمتد بين رأس النقب حتى الحدود العراقية في الشمال الشرقي، والقسم الثالث أراضي الحرة وهي جزء من حرة بادية الشام التي تمتد في جنوب غربي سوريا عبر شمال شرقي الأردن، وهي منطقة بركانية.

## جيولوجية الأردن

يبين شكل ١-١ خريطة جيولوجية مبسطة تظهر توزيع الأحقاب الجيولوجية في الأردن حيث تغطي الصخور الرسوبية مساحات شاسعة. وتمثل صخور حقبة ما قبل الكامبري النارية الحامضية الجزء الجنوبي الغربي من البلاد. ويغطي البازلت مساحات شاسعة من الجزء الشمالي الشرقي. وتكون الصخور الرسوبية في مناطق عديدة أفقية تقريباً تصبح معقدة باتجاه الأغوار حيث تظهر آثار الصدوع والطبقات التي تصبح رأسية وحتى مقلوبة في بعض الأماكن.



شكل (١-١) خريطة جيولوجية مبسطة تبين الأحقاب الجيولوجية

جدول (١-١) التسميات المختلفة للطبقات الجيولوجية في الأردن

Geological Time Scale		Group	Stage of	VARIOUS NOMENCLATURES OF LITHOSTRATIGRAPHIC SUCCESSIONS OF JORDAN				
ERA	PERIOD	EPOCH	Formation	Quaternary (1950)	Waziri & Merrett (1956)	البحر	Sander 1976	أول
CENOZOIC	TERTIARY	PLIOCENE	ALLUVIUM	RECENT	LISAN HARL	الليسان	BLUCCINE	MOLOCINE
			LISAN	LISAN	LISAN HARL	الليسان	LISAN & GHOR EL	JAFRA
			SAHRA	NEOGENE	USDOM SERIES	الوسدوم	KATAR SERIES	BASALT
			NEOGENE	UNDEFFERENTIATED	USDOM SERIES	الوسدوم	SYNTECTONICAL CONGLOMERATES	SIRHAN DAHA
			EOCENE	EOCENE	SARA CHALKY & FLINT FORMATION	السا	Chalky and BIL S	55 VAD
			PALEOCENE	PALEOCENE	TADQA HARL FORMATION	التدقا	Chert Limestone Unit	84 R I J A H
			MAESTRICH	MAESTRICH	GHAREB CHALK FORMATION	الغارب	CHALK - HARL UNIT	83 MUVAQDAR
			AMMAN	AMMAN	HISHASH FLINT	الحشاش	Phospherite Unit	82 AMMAN
			SANTUB	SANTUB	HALEHA CHALK	الهله	Silicified Limestone Unit	81 Wadi Ghodran
			TUROKHAH	TUROKHAH	Judea Limestone	التيه	Massive or Sandy Limestone Unit	A7 WADI SIR
MESOZOIC	CRETACEOUS	CENOMANIAN	AMMAN	AMMAN	HATHIRA SANDSTONE	الحثيرة	Echinoid Limestone Unit	AS-4 SHUEIB
			WADI SIR	WADI SIR	HATHIRA SANDSTONE	الحثيرة	Modular Limestone Unit	A4 HATHIRA
			SHUEIB	SHUEIB	HATHIRA SANDSTONE	الحثيرة	Massive White Sandstone Unit	A3 FOREIS
			HATHIRA	HATHIRA	HATHIRA SANDSTONE	الحثيرة	Vertical Sandstone Unit	A2-2 NAHUR
			NAHUR	NAHUR	HATHIRA SANDSTONE	الحثيرة	Vertical Sandstone Unit	A2-2 SUBERN
			ALBATH	ALBATH	HATHIRA SANDSTONE	الحثيرة	Vertical Sandstone Unit	A2-2 SUBERN
			ABDULHAK	ABDULHAK	HATHIRA SANDSTONE	الحثيرة	Vertical Sandstone Unit	A2-2 SUBERN
			HAUTERIVIAN	HAUTERIVIAN	HATHIRA SANDSTONE	الحثيرة	Vertical Sandstone Unit	A2-2 SUBERN
			VALANGINIAN	VALANGINIAN	HATHIRA SANDSTONE	الحثيرة	Vertical Sandstone Unit	A2-2 SUBERN
			KIMMERIDGIAN	KIMMERIDGIAN	HATHIRA SANDSTONE	الحثيرة	Vertical Sandstone Unit	A2-2 SUBERN
PALEOZOIC	PERMIAN	ZARQA	KEUPER	KEUPER	HATHIRA SANDSTONE	الحثيرة	Vertical Sandstone Unit	A2-2 SUBERN
			MUSCHELKALK	MUSCHELKALK	HATHIRA SANDSTONE	الحثيرة	Vertical Sandstone Unit	A2-2 SUBERN
			BUNT SANDSTEN	BUNT SANDSTEN	HATHIRA SANDSTONE	الحثيرة	Vertical Sandstone Unit	A2-2 SUBERN
			RAM	RAM	HATHIRA SANDSTONE	الحثيرة	Vertical Sandstone Unit	A2-2 SUBERN
			RAM	RAM	HATHIRA SANDSTONE	الحثيرة	Vertical Sandstone Unit	A2-2 SUBERN
			RAM	RAM	HATHIRA SANDSTONE	الحثيرة	Vertical Sandstone Unit	A2-2 SUBERN
			RAM	RAM	HATHIRA SANDSTONE	الحثيرة	Vertical Sandstone Unit	A2-2 SUBERN
			RAM	RAM	HATHIRA SANDSTONE	الحثيرة	Vertical Sandstone Unit	A2-2 SUBERN
			RAM	RAM	HATHIRA SANDSTONE	الحثيرة	Vertical Sandstone Unit	A2-2 SUBERN
			RAM	RAM	HATHIRA SANDSTONE	الحثيرة	Vertical Sandstone Unit	A2-2 SUBERN
PRE CAMBRIAN	LIPALIAN	SARAJU	SAFI	SAFI	HATHIRA SANDSTONE	الحثيرة	Vertical Sandstone Unit	A2-2 SUBERN
			SAFI	SAFI	HATHIRA SANDSTONE	الحثيرة	Vertical Sandstone Unit	A2-2 SUBERN
			SAFI	SAFI	HATHIRA SANDSTONE	الحثيرة	Vertical Sandstone Unit	A2-2 SUBERN
			SAFI	SAFI	HATHIRA SANDSTONE	الحثيرة	Vertical Sandstone Unit	A2-2 SUBERN
			SAFI	SAFI	HATHIRA SANDSTONE	الحثيرة	Vertical Sandstone Unit	A2-2 SUBERN
			SAFI	SAFI	HATHIRA SANDSTONE	الحثيرة	Vertical Sandstone Unit	A2-2 SUBERN
			SAFI	SAFI	HATHIRA SANDSTONE	الحثيرة	Vertical Sandstone Unit	A2-2 SUBERN
			SAFI	SAFI	HATHIRA SANDSTONE	الحثيرة	Vertical Sandstone Unit	A2-2 SUBERN
			SAFI	SAFI	HATHIRA SANDSTONE	الحثيرة	Vertical Sandstone Unit	A2-2 SUBERN
			SAFI	SAFI	HATHIRA SANDSTONE	الحثيرة	Vertical Sandstone Unit	A2-2 SUBERN



وتطغى الصخور الرسوبية الرملية غير البحرية على الجزء الجنوبي من الأردن بينما تطغى الصخور الرسوبية الجيرية البحرية على الجزء الشمالي والشمالي الغربي منه. وقد كانت خطوط الشاطئ تتذبذب شمالاً وجنوباً وذلك منذ زمن طويل، وترتب على ذلك تعاقب الرواسب البحرية والقارية، وقد كان أكبر انتشار للبحر في العصرين الطباشيري الأعلى والأوسين حيث ترسب ما يزيد على ٤٠٠ م من الحجر الجيري والطفال والصوان والفوسفات والصخر الزيتي.

وقد كتب كثير من الباحثين عن جيولوجيا الأردن ومن بينهم

(١٦، ١٤، ١٣، ١٢، ١٠، ٩، ٨، ٧، ٦، ٥، ٤، ٣، ٢، ١)

Blake, 1930; Blanckenhorn, 1896; Hull, 1886; Iartter, 1869;

Blake and Ionides, 1939; Blake, 1936;

Burdon, 1959; Quennell, 1951; Picard, 1941;

Abed, 1982; Bender, 1975; Wetzel and Morton, 1959.

كما قامت البعثة الجيولوجية الألمانية بنشر الكثير من الأبحاث والتقارير في الفترة التي عملت بها بين ١٩٦١ - ١٩٦٦. وتقوم سلطة المصادر الطبيعية حالياً بمسح جيولوجي ورسم خرائط جيولوجية مفصلة للأردن مقياس ١: ٥٠٠,٠٠٠.

و يبين جدول رقم (١ - ١) ملخصاً للتسميات الطباقية المختلفة في الأردن كما وردت من قبل كثير من الباحثين. وفيما يلي ملخص لجيولوجيا الأردن، اقتبس جزء منه من (١) Abed, 1982.

### حقب ما قبل الكامبري Precambrian

تتكشف صخور حقب ما قبل الكامبري في أقصى جنوبي الأردن وفلسطين وسيناء، وتستمر في الكشف شمالاً على شكل ممرضيق على الحافة الشرقية لوادي عربة، وعلى الرغم من أن هذا الممر يتلاشى جنوب غرندل إلا أنه يعود مرة أخرى إلى الانكشاف شرقي النهاية الجنوبية للبحر الميت ممثلاً في صخور كونجومييرات السرموج. ويمتد إلى الشرق والشمال الشرقي للعقبة حتى منطقة القوية ووادي رم، ويختفي تماماً تحت الرسوبيات الأحدث عمراً.

وتقسم صخور القاعدة في الأردن إلى ثلاثة أقسام :-

### ١. الصخور المتحولة:

وتتكون أساساً من النابيس والشيست، وقد بين (١١) Jarrar, 1985 بأن الصخور المتحولة من أصل رسوبي metasediments توجد في وادي الحور (نطاق الشطورليت - أندلوسيت) ووادي أم سيالة (نطاق انتقالي بين درجة التحول المتوسط والعالي) ويتميز بوجود

الجارنت) ووادي أبو برقة (نطاق السيلامينيت) والصخور المتحولة من أصل ناري Igneous origin توجد بكثرة في وادي أبو برقة، ولقد تم معرفة ثلاثة أحداث رئيسية مسؤولة عن تكون هذه الصخور المتحولة :-

١ ( التحول الاقليمي متوسط -عالي الدرجة (٧٥٠ - ٨٠٠ مليون سنة)

ب ( التحول الديناميكي (٦٢٥ - ٦١٠ ملايين سنة)

ج ( التحول الحراري التنازلي (٦١٠ - ٥٧٥ مليون سنة)

ومما يجدر ذكره أن صخور القاعدة النارية تتميز بانخفاض نسبة نظائر  $^{87}\text{Sr}/^{86}\text{Sr}$  المميزة للدرع العربي النوبي.

## ٢. الصخور النارية :

وتتكون أساساً من الجرانيت بأشكاله المختلفة والأبلايت والبيجماتيت والجرانوديوريت والكوارتزديوريت والهونيلنديت إضافة الى القواطع الحامضية (أبليت جرانيت وبيجماتيت وكوارتز بورفيرى) والقواطع القاعدية (ديابيز).

## ٣. كونجلوميرات السرموج والأردواز والجروك

Sarmuj conglomerates, slate and graywackes.

وتتكشف الكونجلوميرات في وادي السرموج الذي يقع شرق غور الصافي وبالقرب من وادي أبو برقة ومن المرشش (ايلات) وفي قاع جبل هارون جنوب غرب البتراء. وتتكون الكونجلوميرات من حبات جيدة الاستدارة متعددة الألوان مكونة من صخور نارية ومتحولة تمثل تركيب صخور القاعدة، ويعلو صخور الكونجلوميرات صخور الإردواز والجروك التي تصل سماكتها الى ٢٠٠ م في وادي أبو برقة.

## حقب الحياة القديمة Paleozoic

تعلو صخور هذه الحقب صخور القاعدة النارية والمتحولة بشكل غير متوافق، وتنتشر في جنوبي الأردن وجنوب شرق رأس النقب وعلى الجانب الشرقي لوادي عربة. وتتكشف هذه الصخور أيضاً في شمال شرق البحر الميت عند مصب مياه زرقاء ماعين. وتقطع صخور الكوارتز بورفيرى البركانية صخور الكامبري الرملية. ولقد أطلق سابقاً اسم الحجر الرملي النوبي على هذه الصخور لصعوبة تقسيمها الى عصور مختلفة، وكما هو مبين في الجدول رقم (١-١) فإن صخور حقب الحياة القديمة مقسمة الى وحدات صخرية مختلفة، وسوف نستعرض فيما يلي التقسيم الذي تبناه المؤلف.

## \* العصر الكامبري Cambrian

وتتكشف صخور هذا العصر على طول الجانب الشرقي لوادي عربة وحتى البحر الميت وتتكون من الأسفل الى الأعلى من :-

—وحدة الحجر الرملي الأركوزي المتطبق **Bedded Arkosic Sandstone Unit**  
وتتكشف في منطقة قاع أم سلب وفي وديان رم ورمال و يعلو صخور القاعدة  
أوكونجولوميرات الأساس.

—وحدة الحجر الرملي الناعم الأبيض **White Fine Sandstone Unit**  
وتبلغ سماكته حوالي ١١٠ م في الجزء الشمالي من وادي عربة، و بيئة الترسيب في هذه  
الوحدة بحرية، وتقطعها في وادي أبو خشبية صخور الكوارتز بورفييري.

#### —وحدة الحجر الجيري — الدولومايت — الطفال **Dolomite Limestone Shale Unit**

تزداد سماكة هذه الصخور شمالا في منطقة جنوب البحر الميت وتبلغ أكثر من ٥٠ م.  
ويصبح الطفال أخضر اللون جيد التطبيق يحتوي على آثار مستحاثات و يعلوه الحجر الرملي  
ثم الدولومايت في حين تتداخل هذه الصخور مع وحدة الحجر الرملي الناعم الأبيض كلما  
اتجهنا الى الجنوب، وتتبع هذه الصخور الجزء العلوي من العصر الكامبري الأسفل والوسط.

#### —وحدة الحجر الرملي الكتلي بني التجوية

##### **Massive Brownish Weathered Sandstone**

وتبلغ سماكتها في الحد الأقصى حوالي ٣٤٠ م وتتميز بلونها البني المحمر. وتتكون  
أساساً من معدن الكوارتز، كما يوجد الفيلدسبار في الجزء السفلي من الوحدة. وتتبع هذه  
الصخور عصر الكامبري الأعلى.

#### \* العصر الأوردوفيشي **Ordovician**

وتتكون صخور هذا العصر من الأسفل الى الأعلى من الوحدات التالية : —

#### —وحدة الحجر الرملي الكتلي أبيض التجوية

##### **Massive Whitish Weathered Sandstone**

وتمتد هذه الصخور من رأس النقب وحتى قاع الديسي الى جبل أم سهم على الحدود  
السعودية، وتبلغ سماكة هذه الصخور حوالي ٣٦٠ م. وتتكون من حجر رملي كوارتزي أبيض،  
وهي تتبع عصر الأوردوفيشي.

#### —وحدة الحجر الرملي المتطبق بني التجوية

##### **Bedded Brownish Weathered Sandstone Unit**

تبدأ هذه الصخور من رأس النقب وحتى جبال أم سهم وتبلغ سماكتها حوالي ٢٦٠ م،  
وتتكون أساساً من الحجر الرملي الكوارتزي، وهي تتبع العمر الأوردوفيشي الأسفل.

## —وحدة الحجر الرملي الجرابتوليتي

### Graptolitic Sandstone Unit

وتتكون صخور هذه الوحدة من طفال صلب ملون وحجر رملي كوارتزي وتتميز بوجود الجرابتوليت من عمر لانفرن أسفل Lower Llanvirn

## —وحدة حجر رمل سابيلارييفكس

### Sabel larifex Sandstone Unit

وتتكون هذه الوحدة من صخور الحجر الرملي والطيني الغني بأنايب سابيلارييفكس من العصر الأوردوفيشي الأوسط، وتبلغ سماكة الوحدة جنوب رأس النقب ١٢٠ م تقريباً.

## —وحدة الحجر الرملي الكونيولاري

### Conularia Sandstone Unit

تتكشف هذه الصخور بين بطن الغول والدورة في نطاق يبلغ عرضه حوالي ٢٥ كم، وتكون أساساً من الطفال الرملي الغني بالمستحاثات التي تتبع العصر الأوردوفيشي الأعلى.

### \* العصر السيلوري Silurian

وتتكون صخور هذا العصر من الأسفل إلى الأعلى من الصخور التالية: —

### Nautiloid Sandstone Unit

## —وحدة الحجر الرملي النوتيليدي

وتشبه صخور هذه الوحدة سابقتها وتختلف فقط باحتوائها على مستحاثات النوتيلويد Nautiloids. ويعلمها في الشمال الحجر الرملي الكرني بشكل غير متوافق، أما في الجنوب الشرقي (في الجزء الذي اقتطع من الأردن) فتتكشف الصخور الرملية الطينية البنية — الحمراء الحاوية لحفر الديدان Worm-Burrowed التي تتبع عصر السيلوري الأعلى. وتظهر صخور العصر السيلوري الأسفل الطفالية والمنتجة للغاز الطبيعي في بئر الريشة على عمق ٧٥ م في منطقة بطن الغول.

### \* العصر الديفوني Devonian

توجد صخور هذا العصر في الأحواض الرسوبية كالجفر والسرحان والأزرق، ولكنها لا تتكشف في الأردن، وتتكون من الحجر الرملي والطفال والحجر الجيري والدولومايت.

### \* العصر الكربوني Carboniferous

لا تتكشف صخور هذا العصر في الأردن إلا أنها سجلت في بئر صفرا — ١ على بعد ٤٢ كم إلى الشرق من جنوب شرق عمان. وتتكون من الحجر الرملي والجيري.

### \* العصر البرمي Permian

يعتقد بأن صخور هذا العصر تتكشف في منطقة حمامات ماعين والموجب (١٩٨١) (Bandel and Khoury) ولقد سجلت صخور هذا العصر في بئر الرمثا التجريبي على عمق ٣٦٠٠ م.

### حقب الحياة المتوسطة Mesozoic

تقسم هذه الحقب الى ثلاثة عصور هي الترياسي والجوراسي والكرييتاسي، وتعتبر صخور العصر الكرييتاسي أكثر صخور هذه الحقب انتشاراً وتكثفاً في الأردن. وتقطع هذه الصخور وخاصة الترياسي صخور نارية بازلتية.

#### \* العصر الترياسي Triassic

وتتكشف صخور هذا العصر في المنطقة الواقعة بين الموجب ووادي الكفرين، وتقل سماكتها الى الجنوب الى أن تختفي في وادي الموجب حيث تغطي صخور الكرييتاسي السفلي صخور الكامبري الرملية، وتزداد صخور الترياسي الى الشمال من وادي حسان، وتتكون من صخور طفالية ورملية وحجر جيرى ومارل اضافة الى وجود ترسبات من الجبس وحديد أووليتي الذي يتكشف في وادي نهر الزرقاء.

#### \* العصر الجوراسي Jurassic

تتكشف صخور هذا العصر في منطقة نهر الزرقاء والى الغرب حتى الأغوار وفي منطقة ماحص، وتتكون صخور هذا العصر من طبقات سمكية من الحجر الرملي والدولومايت والمارل والحجر الرملي الدولوميتي، وفي منطقة البقعة (٧) (Abed and Ashour, 1987).

#### \* العصر الكرييتاسي (الطباشيري) Cretaceous

تغطي صخور هذا العصر ما يزيد على ٦٠٪ من مساحة الأردن. وتقل سماكتها نحو الجنوب الشرقي. وهي تنقسم الى جزئين :-  
الجزء السفلي القاري ويتكون من الحجر الرملي الأبيض الكتلي والمتعدد الألوان، وتعرف صخوره بصخور الرمل الكرنبي Kurnub Sandstone والجزء العلوي البحري حيث تغلب الصخور الجيرية على مكوناته. ويقسم الجزء العلوي الى الوحدات التالية من الأسفل الى الأعلى :-

#### —وحدة الحجر الجيري العقدى Nodular Limestone Unit

تتكشف صخور هذه الوحدة على أحسن وجه في منطقة الفحيص وناعور، وتتكون من تعاقب الحجر الجيري والمارل والدولومايت، وتشمل تكويني ناعور والفحيص.

#### —وحدة الحجر الجيري الاكنويدي Echinoidal Limestone Unit

ولقد أعطي اسم تكويني الأحمر للجزء السفلي، وشعيب للجزء العلوي، وتتبع هذه الصخور العصر السينوماني — التوروني، وتتكون من الحجر الجيري والدولومايت والمارل. وتوجد في الجزء العلوي عقد الصوان وطبقات من الجبس.

#### —وحدة الحجر الجيري الكتلي Massive Limestone Unit

تشمل هذه الوحدة تكويني وادي السير والغدران وتتبع العصر التوروني — السانتوني، وتتكون من الحجر الكتلي ورقيق التطبق مع بعض عقيدات وطبقات الصوان.

وتستعمل هذه الطبقة كمستوى مميز في عمليات المسح الجيولوجي، وتصبح هذه الصخور في الجنوب رملية. أما الجزء الأعلى فيشمل تكوين الغدران، ويتكون من الطباشير.

— وحدة الحجر الجيري السيليسي Silicified Limestone Unit  
و يطلق اسم هذه الوحدة على الجزء السفلي من تكوين عمان وتتبع العصر الكامباني، وتتكون صخور هذه الوحدة من طبقات الصوان والحجر الجيري الرقيقة المتموجة.

— وحدة الفوسفوريت Phosphorite Unit  
وتعادل هذه الطبقات الجزء العلوي من تكوين عمان وتتبع العصر الكامباني — الماسترختي. وتتكون أساساً من طبقات الفوسفات والحجر الجيري، وتتكشف بشكل اقتصادي في شمالي الأردن والرصيفة والحسا والقطرانة والشدية.

— وحدة الطباشير Chalk Marl Unit  
و يطلق عليها أيضاً تكوين الموقر وتزداد سماكة هذه الصخور إلى الشمال وتتكون من المارل والطباشير، وهي تتبع عصور الماسترختيان — دانيان — باليوسين. والجزء السفلي في كثير من التكتشفات يكون غنياً بالزيت و يطلق عليه اسم وحدة الصخر الزيتي الجيري Unit Bituminous Limestone

حقب الحياة الحديثة Cenozoic  
وتنتشر في هذه الحقب الصخور البازلتية وذلك في غور الأردن وادي الموجب ومناطق شمال شرقي الأردن.

★ العصر الثلاثي Tertiary  
و يقسم إلى أربع وحدات صخرية من الأسفل إلى الأعلى هي : —

— وحدة الحجر الجيري Chert Limestone Unit — الصوان  
و يتكون أساساً من طبقات رقيقة متعاقبة من الصوان والحجر الجيري أو المارل أو الطباشير، ويتكون الجزء العلوي من الحجر الجيري النوميوليتي الذي يتكشف في منطقة الغرندل وغرب معان. وتبلغ سماكته في الجنوب ٦٠ م تزداد إلى ٢٢٠ م في شمالي الأردن (وادي الشلالة). وعمر هذه الصخور باليوسين — إيوسين. و يطلق عليها تكوين رجام.

— الكونجولوميرات السفلى متزامنة التكتونية Lower Syntectonic Conglomerates  
توجد في وادي عربة حيث تعلو الحجر الجيري النوميوليتي، وتتكون أساساً من المارل إضافة إلى الكونجولوميرات المنقولة من عصور أقدم. وعمر هذه الصخور أوليجوسين.

— تكوين أصدم Sedom Formation  
وهي عبارة عن متبخرات ترسبت في منطقة البحر الميت على شكل ملح صخري مع

طفال ومارل وكارنلايت، وتقدر سماكتها بأكثر من ٤٠٠ م و يقدر عمرها بالأوليغوسين - ميوسين.

#### – الكونجلوميرات العليا متزامنة التكتونية

##### Upper Syntectonic Conglomerates

وتتكون من كونجلوميرات بنية الى حمراء وحجر رملي ومارلي. وتتكشف هذه الصخور على الجانب الشرقي من وادي عربة، وتصل سماكتها الى ٢٠٠ م، وعمرها ميوسين.

#### \* العصر الرباعي

وتتكون من التكاوين التالية من الأسفل الى الأعلى: –

##### – تكوين الشاغور Shagur Formation

وهي كونجلوميرات جيرية ورملية ذات أصل رسوبي نهري – بحيري. وعمرها هو البليوسين العلوي – البلايستوسين السفلي.

##### – تكوين غور الكتار Ghor El-Katar Formation

وهي كونجلوميرات رملية ومارلية تقع شمال البحر الميت، وعمرها هو البلايستوسين السفلي.

##### – كونجلوميرات أبو هابيل الجيرية

##### Abu Habil Conglomeratic Limestones

وهي كونجلوميرات جيرية تعلو صخور غور الكتار، وعمرها هو البلايستوسين الأوسط.

##### – تكوين بحص كفرنجة Kufranja Gravels

و يتبع عصر البلايستوسين الأوسط له عمر البازلت نفسه الموجود في غور الكتار.

##### – تكوين السمرة Samra Fromation

وتتكون من الحجر الرملي والطيني، ويعتقد بأنها ترسبت من مياه بحيرة عذبة، وعمرها بلايستوسين علوي.

##### – تكوين اللسان Lisan Formation

ويتكون من طبقات طينية ورملية الى الأسفل، تعلوها طبقات رقيقة من الجبس والأراجونيت أو الكالسيت والكاولين ترسبت في بيئة بحيرية مالحة، وعمرها بلايستوسين علوي.

##### – الرسوبيات الحديثة Holocene Sediments

وهي رسوبيات الأنهار والوديان والكاليش والترافرتين والتوفا، ورسوبيات الصوان الصحراوية.

### التراكيب الجيولوجية

تتميز التراكيب في الأردن عدا غور الأردن - وادي عربة ببساطتها، حيث توجد الطيات والصدوع اضافة الى التراكيب المعاصرة لعمليات الترسيب كتلك الموجودة في منخفض السرحان والأزرق. وأهم الصدوع العادية التي تتجه الى الشمال الغربي هي صدوع الحسا والكرك ووادي الفيح والقطرانة - قاع الحفيرة، وهناك صدوع الدفع العلوي Overthrust غرب معان وغرب طريق الحسا - القطرانة التي تتجه من الشمال الى الشمال الغربي. ومجموعة صدوع تتجه من الشمال الى الشمال الشرقي، وهي موازية لغور الأردن - وادي عربة، وصدوع تتجه من الشرق الى الغرب في سواقة ووادي الثمد ووادي الزعفران. وأهم التراكيب ما يعرف بتركيب وادي شعيب (١٦) (Mikbel and Zacher, 1981) الذي يتجه الى الشمال الشرقي على شكل طيات تتحول الى التواء في منطقة البقعة. وأهم الطيات في الأردن هي الممثلة في قبة عجلون ومقعر الرمثا ومحدبات الصفراء وجبل الطاحونة.

أما انهدام غور الأردن - وادي عربة فيعد من أهم التراكيب الجيولوجية وأعقدها - وهو جزء من حفرة الانهدام التي تمتد من شرقي افريقيا مارة بخليج عدن فالبحر الأحمر ثم شمالا حتى جنوبي تركيا. و يبدو أن الاتساع على طول خليج عدن والبحر الأحمر نحو الشمال الشرقي هو النظرية السائدة حول نشأة حفرة الانهدام، حيث يؤدي هذا الاتساع في الشمال الى حركة أفقية (Strike - Slipe).



## References

1. Abed, A., 1982: 'Geology of Jordan, Al-Nahda Al-Islamiah, 232 p (In Arabic).
2. Abed, A., and Ashour, M., 1987: Petrography and age determination of the NW phosphates. *Dirasat*, 14 : 247 - 265.
3. Bandel, K., and Khoury H., 1981: Lithostratigraphy of the Triassic in Jordan, *Facies*, 4 : 1- 26.
4. Bender, F., 1975: Geology of the Arabian Peninsula, Jordan. Prof. Pap. U.S. Geol. Surv. 560-I., Washington.
5. Blake, G., 1930: The mineral resources of Palestine and Trans- Jordan, Jerusalem Printing and Stationary Office.
6. Blake, G., 1936: The stratigraphy of Palestine and its building stone, Jerusalem Printing and Stationary Office.
7. Blake, G., and Ionides, M., 1939: Report on the water resources of Transjordan and their development. London, Crown Agents for the Colonies.
8. Blanckenhorn, M., 1896: Entstehung und Geschichte des Toten Meeres - *Zeitschr. Deutsch. Palastine Vereins*, Leipzig.
9. Burdon, D., 1959: Handbook of the geology of Jordan; Amman.
10. Hull, E., 1886: Memoir on the physical and geography of Arabia Petraea, Palestine, and adjoining districts, with special reference to the mode of formation of the Jordan-Arabah depression and the Dead Sea. Bentley & Sons, London, 145 P.
11. Jarrar, G., 1984: Late Proterozoic crustal evolution of the Arabian Nubian Shield in the Wadi Araba area, SW-Jordan. Unpublished Ph.D. thesis, Braunschweig University, 107 P.
12. Lartet, L. 1869 : Essai sur la Geologic de la Palestine- *Ann. Sci. Geol.*, 1 pt., 1:1-116.
13. Mikbel, Sh., and Zacher, W., 1981: The Wadi Schueib structure, *N. Jb. Geol und Paleont. Mh.*, 9: 571-576.
14. Picard, L., 1941: The Precambrian of the north Arabian- Nubian Massif. *Bull., Geol. Dept., Hebrew Univ.*, 3, 3-4.
15. Quennell, A., 1951 : The geology of mineral resources of Trans-Jordan. *Colonial Geology & Mineral Resources*, London, 2: 85 - 115.
16. Wetzel, R., and Morton., D., 1959: Contribution a La Geologie de la Transjordanie - notes et Memories sur le Moyen-Orients. Publiees sous la direction de M.L. Dubertret. *Contributions a la Geologie de La Peninsule Arabique*, Museum Nat. d'Hist. Nature, Paris, 7: 95 - 188.



## الفصل الثاني

معادن النحاس والمنغنيز

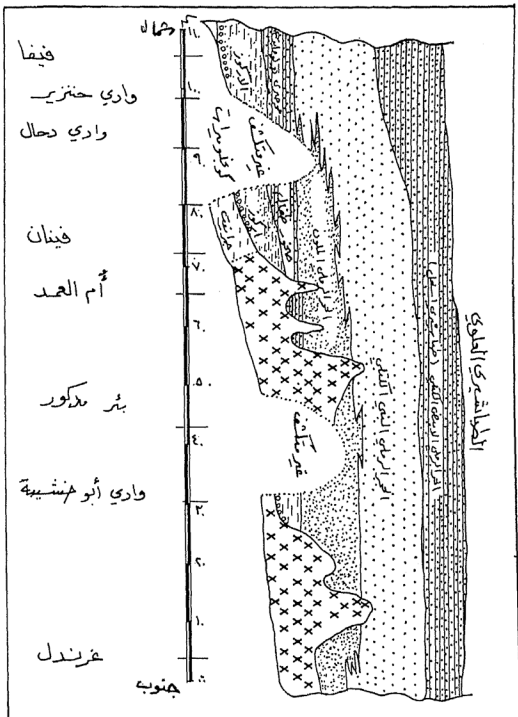
## معادن النحاس والمنغنيز

توجد خامات النحاس والمنغنيز على جانبي وادي عربة على شكل طبقات محدودة وغير منتظمة (Stratabound). وتتركز بشكل رئيسي في منطقة فينان وفي صخور العصر الكامبري في وحدة الدولوميت - الحجر الجيري - الطفال. ويعتقد بأن النحاس كان معروفاً في وادي عربة منذ أزمان بعيدة تصل إلى ثلاث آلاف سنة قبل الميلاد. ولا تزال حتى الآن بقايا الأفران لاستخلاص النحاس وربما الحديد في مناطق فينان وصبرا. و يبين شكل (٢-١) المواقع المختلفة على طول وادي عربة. ولقد استغل الأنباط (٢٠٠ قبل الميلاد وحتى ١٠٠ بعد الميلاد) والرومان والمسلمون هذه الخامات في فترات متقطعة. ولقد بدأت الدراسات الجدية لهذه الخامات عام ١٩٦١ بواسطة البعثة الجيولوجية الألمانية التي أوصت باستكمال الدراسات. وبناء على ذلك قامت شركة أتوجولد الاستشارية عام ١٩٦٤ (١١) (Gold, 1964) بدراسة الخامات الموجودة في منطقة أبو خشبية وتوصلت إلى إثبات ثمانية ملايين طن من خامات النحاس (معدل نسبة النحاس ٦٤ ر ٠٪). ثم قام قسم التعدين في سلطة المصادر الطبيعية بدراسات عديدة لهذه الخامات بينت توزيعها ومكانية استغلالها، وتم تلخيص نتائج الدراسات (١٥) (Nimry, 1973) حيث تبين أن احتياطي خامات النحاس في وحدة الدولوميت - الحجر الجيري - الطفال هي ٣٥٧ مليون طن متري (متوسط تركيز النحاس ٣٦ ر ١٪) وأن احتياطي خامات المنغنيز هي ١٠٥ مليون طن متري (متوسط تركيز المنغنيز ٢٩ ر ٢٪) وهناك احتياطي إضافي يقدر بحوالي ٥٠ مليون طن متري من النحاس وثلاثة ملايين طن متري من المنغنيز. أما وحدة الحجر الرملي الملون والتي تعلو وحدة الدولوميت - الحجر الجيري - طفال فتحتوي خامات النحاس بشكل غير منتظم بمتوسط تركيز (٦٥ ر ٠٪)، وقدر الاحتياطي الأولي بثلاثة ملايين طن متري. وفي عامي ١٩٧٥ و ١٩٧٨ قامت شركات استشارية مثل BRGM, SEL بدراسة الجدوى الاقتصادية لمشروع النحاس، وأعطى رقم ١٥ مليون طن متري منه بتركيز ١٣ ر ٠٪.

### الطبقات الحاملة لخامات النحاس والمنغنيز

تتكشف صخور القاعدة في الجزء الجنوبي على الجانب الشرقي من وادي عربة وتعلوها في شكل عدم توافق طبقات من الحجر الرملي القاري العديد الألوان والأعمار الذي يعرف بالحجر الرملي النوبي. وتتغير السحنات الجيرية - الدولوميتية - الطينية ذات البيئة البحرية لتصبح رملية بحرية ثم رملية قارية كلما اتجهنا إلى الجنوب الشرقي. وكذلك تزداد سماكة السحنات الكربوناتية البحرية كلما اتجهنا إلى الشمال وحتى منطقة الصافي. و يبين شكل (٢-٢) التغيرات الصخرية على طول وادي عربة. وتقسم الصخور من الأسفل إلى الأعلى إلى ثلاث وحدات يمكن مضاهاتها مع الصخور المتكشفة في منطقة تمنا (شكل ٢-٣) :-





شكل (٢-٢) التغيرات الصخرية على طول وادي عربة (١١)

منطقة ضانا			منطقة تما		
كرينا سي أسن (طابري)	وحدة الحجر الأبيض	حجر رملي أبيض كتاني	الحجر الرملي الكرنبي (طابري أسن) (وحدة أخونا)	عقد ضا صبي	حجر رملي داعم (جوراسي - طابريك أسن)
كرينا سي أسن (طابري)	الابيض	حجر رملي أبيض مطبق		كتون (كبير)	قارة عدم ترسيب (كون غابات الفاس)
الكاسري العروق	وحدة الحجر الرملي البني الكتي	حجر رملي سميك مفر وأحمر مصفر		حجر رملي ملين (الوحدة الملوثة)	حجر رملي أبيض (الوحدة البيضاء)
	وحدة الحجر الرملي العروق	حجر رملي بني متوسط القالب		حجر رملي ارتكوزي (الوحدة عديدة الدولن)	حجر رملي عوي (تكون ميظ)
كاسري أوسط	وحدة الحجر الرملي العروق	تركيب الفاس والفتيرما طين عوي تركيب الفاس والفتير دولونايت فطاك مصغلي		دولونايت (تكوين مرم)	حجر رملي سبيلي (تكوين ماغلد)
كاسري أسن	وحدة الحجر الرملي الكرنبي	كروميروا القوتان حجر رملي ارتكوزي سطحه ممتزج الفاس		الحجر الرملي اللطيف	
شاذ لكاسري	صخور القلعة	ملايت وريوليت		المجلايت والريوليت البورقيري	

شكل (٢-٢) مضاهاة الصخور في مناطق ضانا وتما

## وحدة الحجر الرملي الأركوزي

### The Bedded Arkose Sandstone Unit.

وتتبع صخور هذه الوحدة العصر الكامبري الأسفل وتعلو بشكل عدم توافق سطح التعرية وتتكون من حجر رملي أركوزي وردي متوسط-خشن الحبيبات، تتميز بالتطيق المتقاطع و بوجود تقاطعات من الطفال السلتي الغني بالميكيا. وتبلغ سماكة الوحدة ٥٠ - ٧٠ م، ويمكن مشاهدة صخور القاعدة الحامضية تعلوها صخور الحجر الرملي الأركوزي في منطقة وادي أبو خشبية، كما أن هناك كثيراً من عقد الريولايت الغنية بالنحاس والمنغنيز.

## وحدة الحجر الجيري - الدولومايت - الطفال

### The Dolomite-Limestone-Shale Unit

تبلغ سماكة هذه الوحدة حوالي ٤٠ م ويتكون الجزء الأسفل من الحجر الرملي الدولوميتي والطفال الأحمر والبني الذي تتخلله تقاطعات من الطفال الميكائي. ويتميز بكثرة الفواصل والكسور. أما الجزء الأوسط فيتكون من الحجر الرملي الدولوميتي الذي يتدرج إلى دولومايت ويصبح في منطقة فينان غنياً بترسبات النحاس والمنغنيز. والجزء العلوي من هذه الوحدة يتكون من حوالي ٧ أمتار من الدولومايت والحجر الجيري الذي تعلوه طبقات من السلست والطفال. وتوجد خامات النحاس والمنغنيز كمادة لاحمة في الجزء العلوي وكجيوب وعروق وبين مستويات التطيق. وفي منطقة ضانا توجد خامات النحاس والمنغنيز معاً على شكل عقد كبيرة تملأ الفواصل والشقوق، وتتغير سحنات هذه الوحدة وسماكتها إلى الشمال حتى منطقة الصافي وتصبح طبقات دولومايت مع تركيز محلي لخامات النحاس على شكل قشور وأصباغ وعبوات في الكسور والشقوق. وتدل دراسة النظائر المستقرة للكربون والأكسجين على أن الصخور الكربونائية ترسبت في بيئة بحرية (شكل ٢ - ٤).

## تتابع الحجر الرملي النوبي The Nubian Sandstone Sequence

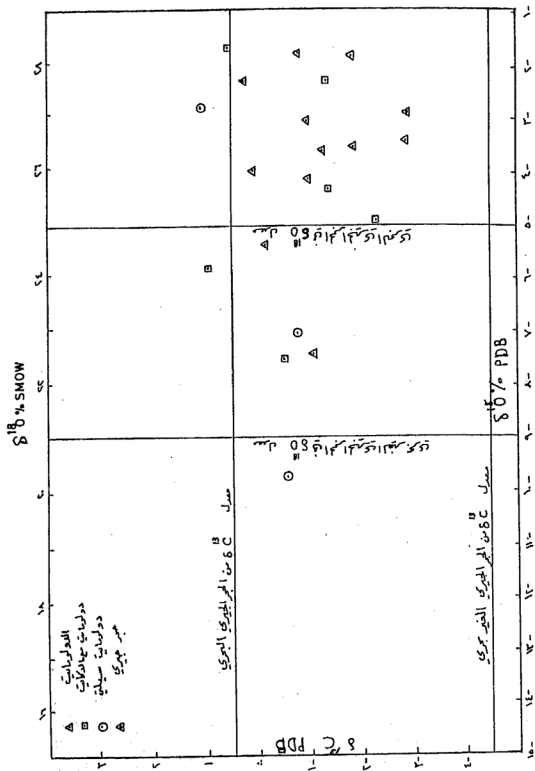
ويشمل جميع الصخور الرملية التي تعلو صخور القاعدة النارية في الأردن والأقطار المجاورة. يطلق على الصخور الرملية التي تعلو وحدة الحجر الجيري - الدولومايت - الطفال بتتابع الحجر الرملي النوبي. وتبلغ سماكته بضع مئات من الأمتار. ويتكون من الصخور الرملية القارية، ويتبع جزء منه لحقب الحياة المتوسطة، وهو يقسم من الأسفل إلى الأعلى إلى أربع وحدات :-

## ١. وحدة الحجر الرملي الملون المتنوع الحبيبات

### The Variegated Sandstone Unit.

تتركز أكاسيد الحديد كمادة لاحمة في هذه الوحدة التي تصل سماكتها إلى ١٠٠ م في منطقة أبو خشبية. وفي منطقة فينان تتركز أكاسيد الحديد على شكل هيماتيت كتلي مع





شكل (٢-٤) العلاقة بين  $\delta^{34}\text{S}$  و  $\delta^{34}\text{S}$  للمعينات الكربونية من وادي عربة

خامات النحاس والمنغنيز على شكل مادة لاحمة أيضاً، أو تملأ الفراغات في الجزء السفلي الذي يفصل هذه الوحدة عن وحدة الحجر الجيري - دولوميت - طفال.

## ٢. وحدة الحجر الرملي البني الكتلي

### The Massive Brownish Sandstone Unit

وتتكون من طبقات سميكة من الحجر الرملي، ويكون الجزء السفلي منها (١٨٠ م) ناعم - متوسط الحبيبات، أما الجزء العلوي (١٥٠ م في فينان) فيتكون من حجر رملي متطبق بني اللون.

## ٣. وحدة الحجر الرملي الكتلي الأبيض:

### The White Massive Sandstone Unit

وتتكون من طبقات سميكة من الحجر الرملي الكتلي الأبيض الخشن والمتوسط الحبيبات حيث تبلغ سماكتها ١٨٠ م ويمكن أن تتبع العصر الكريتاسي الأسفل، على الرغم من أنها جميعها أو الأجزاء السفلى منها تتبع العصر الأوردوفي.

## ٤. وحدة الحجر الرملي المتعدد الألوان :-

### The Varicoloured Sandstone Unit

ويتكون الجزء السفلي من هذه الوحدة من الحجر الرملي الناعم والمتوسط الحبيبات حيث تتخلله طبقات من الطفال. أما الجزء الأوسط فيتكون من الحجر الرملي المتطبق المتوسط والخشن الحبيبات. وأما الجزء العلوي فيتكون من الحجر الرملي الخشن المتدرج إلى الناعم. وهي على الأغلب من العصر الكريتاسي الأسفل.

## تركيبة المناطق الحاملة لخامات النحاس والمنغنيز :-

يمتد وادي عربة من خليج العقبة إلى البحر الميت حيث يفصل الكتلة الفلسطينية من المغرب عن كتلة شرق الأردن في الشرق. ويتأثر وسط المنطقة بوجود صدين رئيسيين بمرميات عمودية وهما صدع وادي ضانا وصدع وادي سلوان اللذان يتجهان شرق شمال شرق - غرب جنوب غرب، وشرق غرب على التوالي. ويعتقد بأن صدوع الدفع العلوي overthrust مصاحبة للحركة الأفقية على جانبي وادي عربة. وتوجد صدوع كثيرة أخرى ذات امتدادات أقل وتتجه شمال ٢٠ درجة شرق، وشمال ١١٠ درجات شرق وشمال ١٦٠ درجة شرق حيث تؤثر هذه الصدوع على تكوين كتل جبلية تتدرج نحو وادي عربة بمعدل ميل ٢٠ درجة. ولقد أوضح (٥) Bender, 1982 بأن الرسوبيات في وادي عربة ترسبت على شريط الرف المستقر لبحر التيثس وهي منطقة تداخل الرواسب القارية والشاطئية والبحرية التي أدت إلى تغيرات سحنية وعدم توافق طبقي نتيجة توقف الترسيب وتتابع تقدم البحر وانحساره، ويعتقد بأن الحافة الشمالية للدرع العربي النوبي كانت تحتل الأجزاء الجنوبية من الأردن وفلسطين. ولزيد من التفاصيل عن جيولوجية وادي عربة وتراكيبه راجع (٥) Bender, 1982.

### أشكال خامات النحاس والمنغنيز وتركيبها المعدني:

في دراسة قام بها المؤلف<sup>(١٧)</sup> Khoury, 1986 على طول الجانب الشرقي من وادي عربية تبين بأن خامات النحاس والمنغنيز تنحصر في الجزء السفلي من وحدة الحجر الرملي الملون والجزء العلوي من وحدة الحجر الجيري - دولومايت - طفال. وتصل سماكة الطبقات الحاملة للخام إلى أكثر من ٤ أمتار. وفي وحدة الحجر الرملي الملون فإن معدن النحاس الأساسي هو المالاكيت ( $\text{Cu}_2\text{CO}_3(\text{OH})_2$ ) (Malachite) يصاحبه معادن الكوبريت ( $\text{Cu}_2\text{O}$ ) (Cuprite) والهيماتيت ( $\text{Fe}_2\text{O}_3$ ) (Hematite). وتنتشر قطع الصخور البورفيرية الغنية بمعادن النحاس الثانوية المالاكيت والكريزوكولا ( $\text{Cu}_4\text{H}_4\text{Si}_4\text{O}_{10}(\text{OH})_8$ ) (Chrysocolla) في هذه الوحدة وخاصة في منطقة أبو خشبية التي هي نتيجة مباشرة للتجوية الكيماوية للقطع الصخرية البورفيرية. ويعتقد بأن صخور الريولايت من عصر ما قبل الكامبري كانت غنية بكبريتيدات النحاس الأولية التي ترسبت على شكل قطع ريولايت في الوحدات الصخرية التي تعلوها.

أما في وحدة الحجر الجيري - الدولومايت - الطفال فإن المالاكيت والكريزوكولا هما المكونان الرئيسيان لخامات النحاس، ويتركز أكسيد المنغنيز البسيلومييلين والبيرولولوزيت ( $\text{Psilomelane Ba Mn}^{+2} \text{ Mn}^{+4} \text{ O}_{16} \text{ OH}_4$ , Pyrolusite,  $\text{MnO}_2$ ) في منطقة فينان معادن نحاس ثانوية كثيرة مثل أزيوريت ( $\text{Cu}_2(\text{CO}_3)(\text{OH})_2$ ) وبتاكايت ( $\text{Cu}_2\text{Cl}(\text{OH})_2$ ) (Atacamite) وبسيدومالاكيت ( $\text{Cu}_5(\text{OH})_4(\text{PO}_4)_2$ ) (Pseudomalachite) و بروشانيت ( $\text{Cu}_4\text{SO}_4(\text{OH})_6$ ) (Brochantite) وكوبريت ونحاس فلزي وبلانشيت ( $\text{3Cu SiO}_3 \cdot \text{H}_2\text{O}$ ) (Plancheite) وكالكوبيريت ( $\text{Cu FeS}_2$ ) (Chalcopyrite) وبورنيت ( $\text{Cu}_5\text{Fe S}_4$ ) (Bornite) وكالكوسيت ( $\text{Cu}_2\text{S}$ ) (Chalcocite) ودولفايت ( $\text{Pb Cu OH AS}_5 \text{ O}_4$ ) (Duffite) وتينوريت ( $\text{CuO}$ ) (Tenorite) وكردنيريت ( $\text{CuO} \cdot \text{Mn}_2\text{O}_3$ ) (Delafossite,  $\text{Cu}_2\text{O} \cdot \text{Fe}_2\text{O}_3$ ).

ويمكن تلخيص أشكال التمعدين لخامات النحاس والمنغنيز على جانبي وادي عربية كما يلي :-

١. عقد من كبريتيدات النحاس الأولية مثل الكالكوسيت والبورنيت والكالكوبيريت يصحبها عادة معادن ثانوية مثل المالاكيت والكريزوكولا في الحجر الرملي الكامبري الأبيض الناعم في وادي أبو خشبية وفي الحجر الرملي الكربني من العصر الطباشيري (الكريتاسي) السفلي في منطقة تمنا حيث وجدت عقد من الكبريتيدات تصل إلى ١ كجم ويعتقد بأنها نتيجة الأحلال لبقايا نباتات<sup>(١٨)</sup> (Slatikine, 1961). ومما يجدر ذكره أن كبريتيدات النحاس الأولية وجدت في الأردن فقط في خربة النحاس.

٢. قطع الريولايت المنقولة من صخور ما قبل الكامبري المترسبة في الحجر الرملي الكامبري والتي تحمل معادن النحاس الثانوية مثل الكوبريت والمالاكيت والكريزوكولا.

٣. يوجد المالاكيت والكريزوكولا في الحجر الرملي والسلتي الكامبري في مناطق أبو خشبية وتمنا والمالاكيت على طول وادي عربة في وحدة الحجر الجيري - الدولومايت - الطفل على شكل احلالات، وكمادة لاحمة ومالئة للقنوات والفواصل وبين مستويات التطبيق. ويعتقد بأن أصل المالاكيت ناتج عن تفاعل المحاليل الغنية بالنحاس مع الصخور الكربوناتية (٢,١٨) (Bender, 1965; Weissbrod, 1969)

وكذلك توجد عقد كبيرة كتلية من المنغنيز الحامل للنحاس وخاصة في منطقة ضانا في وحدة الحجر الجيري - الدولومايت - الطفل. كما توجد معادن المالاكيت والكريزوكولا الثانوية على طول الشقوق والفواصل في العقد الكلوية الشكل المكونة أساساً من أكاسيد المنغنيز.

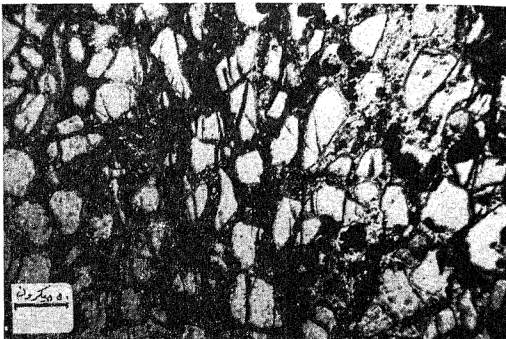
### كيمياء الصخور الحاملة لخامات النحاس والمنغنيز وبترولوغيتها

#### أ) وحدة الحجر الرملي الملون المتنوع الحبيبات

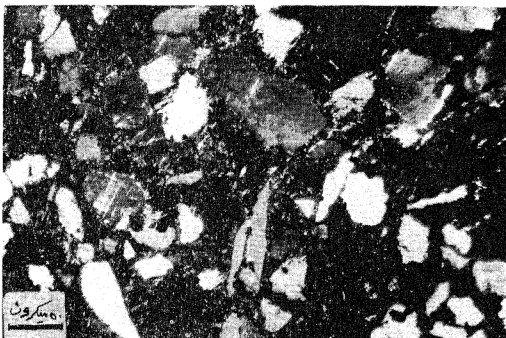
بينت الدراسة الميكروسكوبية لهذه الوحدة بأن الكوارتز هو المكون الأساسي لهذه الصخور. وتوجد قطع من الصخور النارية الحامضية المتداخلة والبركانية والكوارتز والأورثوكليز والبلاجيوكليز كمكونات جانبية أو نادرة. وتظهر نواتج التجوية الكيميائية للفيلدسبار على شكل معادن طينية ومسكوفيت وسيريسيت.

وتزداد نسبة البيوتيت المتجوي جزئياً أو كلياً إلى كلوريت كلما اتجهنا شمالاً وحتى منطقة الصافي. أما المعادن الإضافية فهي المعادن الممتعة والزكون والتورمالين والروتايل. ويدل التركيب المعدني لوحدة الحجر الرملي الملون المتنوع الحبيبات على أن الصخر الأم هو ناري حامضي مع أنه تم التعرف على معادن قليلة من الهورنبلند والبيروكسين والأليفين ذات الأصل القاعدي. أن شكل الحبيبات غير المنتظم ذات الزوايا الحادة يدل على أن مسافة النقل كانت قصيرة، وهذه الصخور مدعومة بالحبيبات، كما أنها على درجة عالية من النضج المعدني والنسيجي، وتتكون الأرضية في بعض الحالات من المعادن الطينية والمواد اللاحمة مثل الدولومايت. وهناك احلالات متأخرة لخامات النحاس والمنغنيز على حساب التكوين المعدني للحجر الرملي، ولقد عانت هذه الصخور من تشوهات وكسور نتيجة للحركات الضاغطة التي نتج عنها تشويه لبلورات الميكا وتكسر لحبيبات الكوارتز. ويبين شكل (٢ - ٥) الكسور في حبيبات الكوارتز واحلال أكاسيد المنغنيز للكوارتز في مراحل متأخرة. كذلك يبين شكل (٢ - ٦) نمو معادن النحاس والمنغنيز على حساب الأرضية الطينية الناعمة أو معادن الفيلدسبار والكوارتز.

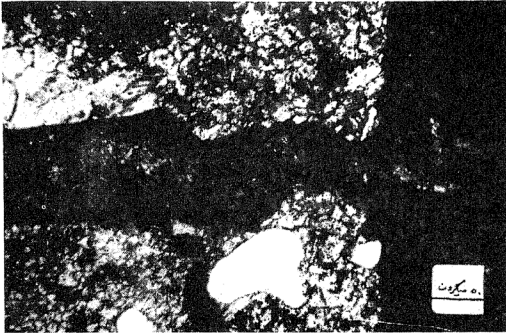
وتظهر خامات النحاس في هذه الوحدة على شكل مادة لاحمة لحبيبات الحجر الرملي أو على شكل جيوب خضراء اللون موزعة في الطبقات وتتراوح نسبة النحاس حسب تقارير سلطة المصادر الطبيعية ما بين ٠.٠١ - ١.٣٪ بمتوسط ٠.٦٥٪.



شكل (٢-٥) صورة مجهرية لخامات المنغنيز تملأ الشقوق في الكوارتز وتنتشر على حساب الأرضية الطينية.



شكل (٢-٦) صورة مجهرية لخامات النحاس والمنغنيز تنتشر على حساب الأرضية الناعمة.



شكل (٧-٢) صورة مجهرية لخامات النحاس والمنغنيز تظهر مترسبة في الشقوق والفراغات.



شكل (٨-٢) صورة مجهرية لخامات النحاس والمنغنيز في الدولومايت وتبدو مراحل الاحلال واعادة تكوين الدولومايت المعيني الشكل.

### ب) وحدة الحجر الجيري – الدولومايت – الطفال

بينت دراسة معدنية قام بها المؤلف<sup>(١٧)</sup> (Khoury, 1986) للجزء العلوي من هذه الوحدة البحرية الترسيب بأنها تتكون من الكوارتز والفيلديسبار والمعادن الطينية (اليت وكاولين ومسكوفيت وسيريسيت وكلوريت) ودولومايت (كمادة لاحمة) إضافة إلى معادن المنغنيز والنحاس والحديد (كمواد لاحمة متأخرة). و يبين الجدولان رقم ٢ – ١ و ٢ – ٢ التركيب الكيماوي للعناصر الأساسية والجانبية. وتصل نسبة أكسيد المنغنيز إلى ١٠٪ في وادي خالد، بينما تصل نسبة أكسيد الحديد إلى ٩٪ في وادي عسال ووادي خالد، والنحاس ٣ ر ١٪ في وادي خالد، والباريوم ٣ ر ١٪ في منطقة تقاطع غور الصافي – الكرك، والرصاص ٨ ر ٠٪ في وادي خالد. ولا توجد أية علاقة طردية بين تركيز هذه العناصر ونسبة المعادن الطينية. وتنمو معادن النحاس والمنغنيز والحديد على حساب الأرضية الطينية والمعادن الأساسية المكونة للجزء العلوي من الوحدة وفي الفراغات والشقوق (شكل ٢ – ٧).

ودلت دراسة الدولومايت أن هناك إعادة للتبلور وازدياداً في حجم البلورات المعينية، وتنمو معادن النحاس والمنغنيز والحديد على حساب الدولومايت في مراحل عديدة حتى بعد إعادة التبلور (شكل ٢ – ٨). وكما هو مبين في شكل (٢ – ٤) فإن دراسة النظائر المستقرة للكربون والأوكسجين

$$\text{PDB} (-1.7) - \text{PDB} (-9.7) \delta 18.0\text{‰} \text{PDB} (+1) - (-1.9) \delta 13\text{‰}$$

لعينات الدولومايت والحجر الجيري دلت على أنها تقع ضمن رواسب الحجر الجيري البحري.

وتتدرج خامات الحديد ثم النحاس والمنغنيز ثم النحاس من الأعلى إلى الأسفل في وحدة الحجر الجيري – الدولومايت – الطفال في منطقة فينان.

### نشأة رواسب النحاس والمنغنيز في وادي عربية

كتب العديد من الباحثين عن نشأة رواسب المنغنيز في وحدة الحجر الجيري – الدولومايت – الطفال. و بين بعضهم أنها ترسبت متزامنة مع الصخور المحيطة<sup>(١٧، ١٥، ١٤، ١٣، ١٢)</sup> Black and Ionides, 1939; Sturm, 1953; Bentor, 1956; Nimry, 1967; Van den Boom, 1969; Basta and Sunna, 1972).

بينما بين بعضهم الآخر بأنها كانت نتيجة عمليات احلال متأخرة<sup>(٧)</sup> (Benson, 1952) أو ذات أصل حرماثي<sup>(١٢، ١٠)</sup> (McKelvy, 1959; Demag, 1960) ناقش نشاطها الرسوبية<sup>(١٢، ١١)</sup> Bentor, 1956, Gold, 1964 ولقد بين<sup>(١٥)</sup> Nimry, 1973 بأن خامات النحاس في وحدة الحجر الرملي الملون والمتعدد الحبيبات تكونت نتيجة الترسيب بواسطة المحاليل المتخللة إلى أسفل حيث تم الاحلال المتبادل بينها وبين المكونات المعدنية للصخور الرملية. أما<sup>(٥)</sup> Bender, 1982 فقد أكد أن ترسيب النحاس كان متزامناً مع ترسيب الصخور المحيطة.

جدول (٢ - ١) التركيب الكيماوي للعناصر الأساسية من وحدة الحجر الجيري - الدولومايت - الطفال

المطقة	Sample No.	SiO <sub>2</sub>	TaO	Al <sub>2</sub> O <sub>3</sub>	Fe <sub>2</sub> O <sub>3</sub>	MgO	CaO	Na <sub>2</sub> O	K <sub>2</sub> O	P <sub>2</sub> O <sub>5</sub>	SO <sub>3</sub>	LOI	Sum
وادي عسال	K2	58.65	0.77	16.00	96.51	0.92	1.62	0.79	6.16	6.51	0.76	0.11	179.03
	K3	55.67	0.81	17.12	96.70	0.92	0.61	0.66	6.15	6.77	0.68	1.22	179.01
	K11	66.61	0.39	11.09	2.82	0.35	1.03	2.97	0.11	5.51	0.10	0.29	199.41
	K14	55.89	0.61	17.51	4.97	0.97	3.71	1.37	0.19	6.32	0.42	0.10	199.08
وادي خالد	K23	56.01	0.29	8.49	2.20	0.96	1.39	0.31	0.12	5.27	0.03	0.07	179.71
	K42	62.20	0.17	12.15	2.67	0.39	1.31	0.65	0.51	5.56	0.11	5.69	199.16
	K17	35.22	0.63	18.53	4.68	0.31	2.80	2.14	0.15	6.68	0.19	0.11	123.6
	K51	51.51	0.40	12.52	6.25	0.01	1.65	1.36	1.62	1.79	0.19	1.06	199.29
	K54	58.76	0.68	16.63	4.62	0.11	1.68	0.39	0.39	5.99	0.11	0.13	196.19
	K55	53.26	0.71	12.9	11.81	10.29	1.66	0.24	0.36	5.29	0.10	0.03	199.93
خربة الجارية تقاطع الصافي الكرك	K56	64.14	0.56	13.83	5.22	0.16	1.67	0.15	0.11	5.29	0.01	0.04	196.35
	K63	49.32	0.74	16.98	6.21	0.10	1.51	0.76	0.42	6.31	0.21	0.06	199.03
	K65	59.50	0.69	14.95	6.01	0.03	1.30	0.39	0.10	6.12	0.19	2.16	199.15
	K67	53.05	0.73	17.59	5.70	0.12	3.42	1.96	0.05	7.13	0.21	0.10	199.51

جدول (٢ - ٢) التركيب الكيماوي للعناصر الشحيحة  
من وحدة الحجر الجيري - الدولومايت - الطفال (جزء بالمليون)

المطقة	Sample	Ba	Ce	Co	Cr	Cu	La	Nb	Ni	Pb	Rb	Se	Sn	Tb	V	Y	Zn	Zr
وادي عسال	K2	792	208	13	60	15	176	16	36	7	324	15	576	17	90	66	0	191
	K3	761	127	14	96	8	145	16	30	0	302	18	271	4	101	29	64	19
	K11	733	48	16	40	19	111	2	37	0	155	4	82	0	33	21	56	113
	K14	637	105	19	85	21	146	9	45	26	200	15	129	11	94	25	56	195
وادي خالد	K23	1594	62	34	25	738	93	6	41	44	141	7	111	5	27	25	342	230
	K42	7927	71	66	80	6283	115	4	46	8116	125	12	164	33	29	32	146	353
	K47	729	70	33	77	3819	115	11	104	124	214	21	126	13	29	11	766	157
	K51	564	101	30	139	1206	136	6	56	7	158	12	169	15	169	21	165	251
	K54	513	62	49	70	14125	151	9	112	9	226	16	86	9	77	13	297	122
	K55	8851	50	79	47	11923	164	11	65	7519	129	18	296	18	142	65	343	284
خربة الجارية تقاطع الصافي الكرك	K56	533	56	42	72	9920	111	7	108	65	184	10	170	8	60	10	296	156
	K63	419	122	27	95	124	127	10	30	41	210	15	327	20	102	31	89	292
	K65	39063	0	18	51	115	86	13	38	37	151	9	878	10	71	25	40	175
	K67	501	93	23	103	160	138	12	65	0	255	16	267	21	122	30	51	110

ان تركيز تمعدن خامات المنغنيز في أسفل وحدة الحجر الرملي الملون متنوع الحبيبات والجزء العلوي من وحدة الحجر الجيري - الدولومايت - الطفال يأخذ أشكالاً عديدة وغير منتظمة في الشقوق والفواصل والكسور الناتجة عن الانضغاط التكتوني أو مترسباً نتيجة الاحلال المتأخر لمكونات هذه الصخور و يظهر على شكل بقع سوداء في داخل الطبقات و بينها أو على شكل طبقات متبدلة (varved-like). و يطغى التمعدن الكتلي (العقدي) في الفراغات



المفتوحة على أشكال خامات المنغنيز. وتتميز هذه المعقد بنسبة عالية لأكسيد المنغنيز تصل الى أكثر من ٦٠ ٪ حيث يوجد النحاس مصاحباً بتركيز يصل الى ٢ ٪.

أما تصعدن خامات النحاس فيشبه الى حد كبير خامات المنغنيز حيث تملأ الفراغات والشقوق وتتركز بين مستويات التطبيق وترسب على حساب المكونات الأساسية السفلى من وحدة الحجر الرملي الملون والمتنوع الحبيبات، والجزء العلوي من وحدة الحجر الجيري الدولوميت – الطفال وتظهر على شكل بقع ورقائق خضراء اللون. وفي بعض الأمثلة تحل أكاسيد المنغنيز محل رواسب النحاس في المراحل المتأخرة. ولقد بينت الدراسات الميدانية والمخبرية في منطقة فينان وجود أربعة نطاقات مميزة من الأعلى الى الأسفل.

١. نطاق غني بأكاسيد الحديد (الهيماتيت) مع قليل من أكاسيد المنغنيز.

٢. نطاق غني بأكاسيد المنغنيز مع قليل من أكاسيد النحاس والمنغنيز.

٣. نطاق غني بأكاسيد النحاس والمنغنيز مع قليل من أكاسيد الحديد.

٤. نطاق غني بأكاسيد النحاس مع قليل من أكاسيد الحديد والمنغنيز.

و يلاحظ ترابط عناصر الحديد والمنغنيز والنحاس مع بعضها بعضاً من حيث النشأة. ويعتقد بأن مصدر هذه العناصر هو صخور القاعدة المعقدة. ان مصدر النحاس هو صخور الريولايت والصخور المتحولة ذات الأصل الرسوبي. وتوجد أكاسيد النحاس (الكوبريت) في صخور الريولايت والصخور المتحولة بشكل مميز في منطقة وادي أبو خشبية. ولم يجزم حتى الآن ما اذا كان الكوبريت أولي النشأة أو ثانوي النشأة ناتجاً عن أكسدة الكبريتيدات. أما مصادر المنغنيز والنحاس فيعتقد بأنها العروق الحرمائية العديدة في صخور البريكامبري كتلك الموجودة جنوب تمنا والصخور القاطعة القاعدية والمتحولة من أصل رسوبي. ونتيجة لعمليات التجوية، انتقلت عناصر الحديد والمنغنيز والنحاس الى البحر وترسبت مع رسوبيات العصر الكامبري. و يكون النحاس ذائباً على شكل  $Cu + 1$ ,  $Cu + 2$  في الظروف الحامضية والمؤكسدة و يترسب على شكل أكاسيد وكربونات اذا ارتفع المعامل الحامضي الى أكثر من ٦.٣. أما المنغنيز والحديد فيذوبان في الظروف المختزلة والحامضية. وبالتالي فان الظروف القلوية والمؤكسدة تؤدي الى ترسيب أكاسيد المنغنيز والحديد، وترسب مركبات الحديد عادة قبل المنغنيز الذي يبقى ذائباً، حيث يحتاج الحديد الى جهد أكسدة أقل.

و يوضح شكل (٢ – ٩) عمليات الترسيب خلال عمليات تقدم البحر وانحساره. وقد ترسبت قطع الريولايت الصخرية الحاملة للنحاس والفتات الصخري في فترة انحسار البحر. وعندما تقدم البحر من الغرب تكونت بيئة مختزلة أدت الى ذوبان أكاسيد النحاس والمنغنيز والحديد وأعيد ترسيبها على شكل كبريتيدات في المناطق الفقيرة بالأوكسجين (بيئة مختزلة). وأدت عمليات تتابع انحسار البحر وتقدمه في الفترات اللاحقة الى ذوبان وترسيب الكبريتيدات والأكاسيد والكربونات من العصر الكامبري وحتى الطباشيري (الكريتياسي)



الأسفل حيث تعاقبت البيئات القارية والبحرية. ولقد كان أعلى تركيز لأكاسيد الحديد والمنغنيز والنحاس في طبقات الحجر الرملي النوبي القاري الذي يحتوي على الحجر الرملي الكربني (طباشيري أسفل).

و يتميز الحجر الرملي الكربني في الأردن بوجود ترسبات من الفحم والطفال الغني بالمواد العضوية والمركزيت والبيريت<sup>(١)</sup> Marcasite and Pyrite (Abed, 1978).

ولقد خلقت مثل هذه الترسبات بيئة حامضية ومختزلة في المياه الجوفية المتخللة الى أسفل في طبقات الحجر الرملي النوبي الغني بأكاسيد الحديد والمنغنيز والنحاس. ان تظل المياه الجوفية الحامضية والمختزلة كان الشرط الأساسي لتحرك عناصر الحديد والمنغنيز والنحاس الى أسفل وإعادة ترسيبها في الجزء السفلي لوحدة الحجر الرملي الملون متنوع الحبيبات والجزء العلوي من وحدة الحجر الجيري – الدولومايت – الطفال. ولقد لعبت عوامل درجات الأكسدة والحمضية والنفاذية والمسامية للصخور دوراً هاماً في ترسيب خامات النحاس والمنغنيز والحديد على شكل نطاقات. ولقد ترسب الحديد أولاً ثم المنغنيز وأخيراً النحاس. وتترسب أكاسيد الحديد في مدى واسع من درجات الحمضية – القلوية والأكسدة بينما تترسب أكاسيد المنغنيز تحت ظروف عالية من القلوية والأكسدة. وتترسب أكاسيد وكربونات النحاس في الظروف القلوية والمؤكسدة في وقت لاحق وذلك بسبب درجة الذوبان العالية للنحاس. ولقد تتبع عمليات الترسيب والاحلال الرئيسية تحركات وترسبات ثانوية اعتمدت على الظروف المحلية الموجودة من حيث درجات الحمضية – والأكسدة. وساعدت الكسور والشقوق والفواصل والنفاذية العالية في وحدة الحجر الرملي الملون والمتنوع الحبيبات على حركة المياه المتخللة الى أسفل حيث ترسبت الخامات المختلفة عند الجزء العلوي غير المنفذ لوحدة الحجر الجيري الدولومايت – الطفال وامتدت الى الجزء السفلي من وحدة الحجر الرملي الملون المتنوع الحبيبات.

ان ذوبان النحاس وإعادة ترسيبه على شكل كربونات وسيليكات يظهر بوضوح في طبقات الحجر الرملي في الجزء السفلي لوحدة الحجر الجيري – الدولومايت – الطفال وخاصة في وادي ضانا، وكذلك فان التجوية الكيماوية لقطع الريولايت في الحجر الرملي الأركوزي أدت الى تكوين كربونات وسيليكات النحاس الثانوية في هذه الوحدة.

ان نظرية الترسيب اللاحق لخامات النحاس والمنغنيز والنحاس بواسطة المحاليل المتخللة الى أسفل تؤيدها توضعات الخامات المحلية غير المنتظمة في الشقوق والفواصل وبين الطبقات وعلى مستويات التصدع. وكذلك فان اختلاف سماكة الخامات خلال مسافات قصيرة وزيادة تركيز عناصر الباريوم والرصاص المصاحبة للخامات تؤيد نظرية الترسيب اللاحق، ولا تلغي هذه النظرية بأي حال من الأحوال وجود ترسبات متزامنة للخامات مع الصخور الرسوبية من العصر الكامبري وحتى الطباشيري الأسفل.

## References

1. Abed, A., 1978 : A coal horizon at the lower most Kurnub, north Jordan, Dirasat, 5 : 34-44.
2. Basta, E., and Sunna, B., 1972: The manganese mineralization at Feinan District, Jordan, Bull. Fac. Sc., U of Cairo, 44 : 111-126.
3. Bender, F., 1965: Zur Geologie der Kupfererz-Vorkommen am Ostrand des Wadi Araba, Jordanien, Geol. Jb., 83: 181-208.
4. Bender, F., 1974 : Explanatory notes on the geological map of Wadi Araba, Jordan. Geol. Jb. Bull. 10: 3-62.
5. Bender, F., 1982: On the evolution of the Wadi Araba Jordan Rift, Geol. Jb. Bull. 45: 3-20.
6. Bentor, J., 1956 : The manganese occurrences at Timna, a lagoonal deposit, XX Cong. Geol. Inter. Symp. Mexico.
7. Benson, W., 1952: Investigation of mineral resources of Jordan. Unpublished report, BGR Archiv.
8. Blake, G., and Ionides, M., 1939 : Report of the water resources of Transjordan. London Crown Agent for Colonies.
9. Boom, Van den, G., 1969 : Zur Geologie und Genese der Manganerz Vorkommen in Wadi Dana Geol. Jb. 81: 42-46.
10. Demag, A., 1960 : Report of the manganese of Wadi Dana, Jordan, Unpublished, BGR Archiv, Hanover.
11. Gold, O., 1964: The Wadi Araba copper exploration, Jordan, Unpublished Report.
12. Khoury, H., 1986: On the origin of stratabound copper-manganese deposits in Wadi Araba, Jordan, Dirasat, 13: 227-247.
13. Mckelvey, V., 1959 : Investigations needed to stimulate the development of Jordan mineral resources, Unpublished Report. USGFS.
14. Nimry, Y., 1967: The manganese occurrences at Wadi Dana, Jordan. Unpublished Report, NRA.
15. Nimry, Y., 1973 : The copper and manganese prospects of Wadi Araba, Unpublished Report, N R A.
16. Slatikine, A., 1961: Nodules cupriferes du Neguev (Israel), Bull. Res. Council. Israel, 10 : 292-299.
17. Sturm, E., 1953: Possible origins of manganese ore in the Negev. Bull. of the Res. Council., 3, Jerusalem.
18. Weissbrod, T., 1969: The Paleozoic of Israel and adjacent countries. Bull. Geol. Surv. Israel., 48: 32 p.

## الفصل الثالث

### معادن الحديد

## معادن الحديد

لقد استغل خام الحديد منذ القدم في جنوب وادي عربة ومنطقة عجلون، ولقد ذكرت خامات الحديد في منطقة وردة في كثير من المؤلفات ثم أعقب ذلك دراسات قام بها (٧) 1962 Van den Boom and Lahloub ثم (١) 1988 Saffarini.

وكان من نتائج ربط الجيولوجيا التركيبية للمنطقة بتمعدن الحديد اكتشاف ترسبات للحديد في مناطق شمال وغرب عمان. و يبين شكل (٣ - ١) توزع خامات الحديد في الأردن. ويعتقد بأن خامات الحديد على درجة عالية من التشابه من حيث التركيب المعدني والنشأة. وتتعلق الدراسات المتوافرة بخامات الحديد في مناطق عجلون وشمال وغرب عمان.

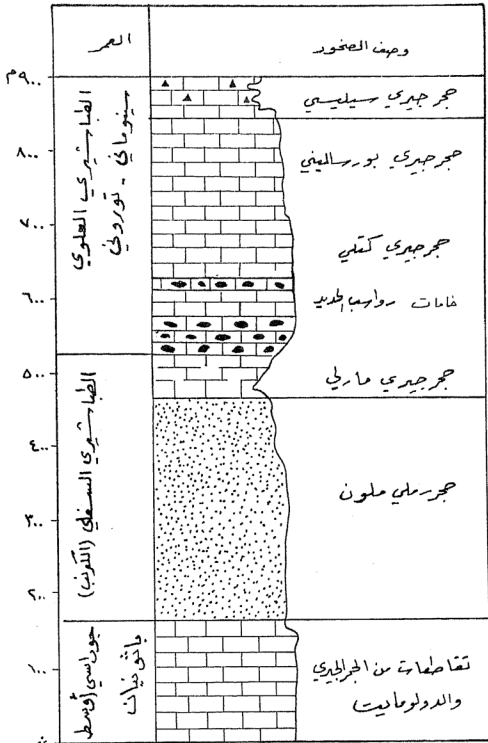
### \* خامات الحديد في منطقة عجلون

توجد خامات الحديد في منطقة وردة على بعد ٣٥ كم شمال غرب عمان. وتصل سماكاتها الى ما يزيد على ١٠ م في منطقة تزيد مساحتها على كيلو متر مربع. ولقد وصف (٧) 1962 Van den Boom and Lahloub طبقات الحديد بأنها عدسية الشكل غير منتظمة توجد في وحدة الحجر الجيري الكتلي الذي يتبع العصر السينوماني - التوروني. و يبين شكل (٣ - ٢) التوزيع الطبقي المحلي في منطقة وردة. وقد دلت الدراسة الميدانية على أن هناك احلالاً جزئياً للحجر الجيري والطباشيري في المنطقة. وتتأثر هذه المنطقة بثلاثة صدوع رئيسية لها علاقة مباشرة مع حفرة الانهدام. وتظهر الكسور والتشققات في وحدة الحجر الجيري الكتلي وتخترق جسم الخام. ولقد بينت تقارير سلطة المصادر الطبيعية غير المنشورة أن سماكة الطبقات الحاملة لخامات الحديد تتراوح بين ٠.٨ - ٩.٨ م ومعدل اكسيد الحديد نتيجة تحليل ٢٠ عينة من الخام هو ٦٧.٩٪ وأن الاحتياطي المثبت هو ٦٠.٠٠٠ طن متري. وذكرت التقارير أيضاً أن أصل هذا الخام هو المحاليل الحارة الصاعدة، ولقد بين (١) 1987 Batayneh أن الطبقات الحاملة للحديد تصل سماكتها الى ٩.١ م وتتجانس في المغناطيسية وتزداد في السمك في اتجاهات شمال شمال غرب، وشمال شرق، وجنوب شرق.

### التركيب المعدني والكيمائي للخام

قام (١) 1988 Saffarini بدراسة المكونات المعدنية لخام الحديد في منطقة وردة، و بين أن المكونات المعدنية الأساسية هي الهيماتيت Hematite والليمونيت Limonite بنسب متفاوتة. أما المعادن الأخرى المصاحبة فهي الكوارتز والكالسيت والجوшит. و يبدو أن الحركات الأرضية المختلفة أثرت تأثيراً مباشراً على تكسير الخام وتكون البريشيا المتماسكة بواسطة كربونات الكالسيوم، وكذلك فإن أكاسيد الحديد وخاصة الليمونيت تعمل كمادة لاحمة في البريشيا المكونة من الحجر الجيري.





شكل ٢-٣ مقطع جيولوجي في منطقة وردة يبين وجود خامات الحديد.



و يبين جدول رقم ٣ - ١ معدل التركيب الكيماوي لأكثر من ثلاثين عينة أخذت من منطقة وردة. وكما نرى من الجدول فإن تركيز الحديد يتراوح بين ٢٢.١٪ - ٦٣.٢٪ وبمعدل يصل الى حوالي ٤٦.٥٪.

جدول (٣ - ١) معدل التركيب الكيماوي لعينات من منطقة وردة<sup>٤</sup>  
جزء بالمليون

الانحراف المعياري	المعدل الحسابي	أعلى قيمة	أدنى قيمة	العنصر
8.12	8.84	25.55	0.36 *	Si
213	446	1020	200	Al
365	443	1268	55	Ti
13.66	46.55	63.35	22.11 *	Fe
4777	4184	15230	520	Mg
2.95	1.38	14.70	0.05 *	Ca
89	613	913	465	Na
39	100	300	60	K
28	34	103	5	Mn
217	124	1225	38	Zn
258	256	1016	50	V
15	52	108	35	Ni
65	135	410	65	Co
41	81	210	15	Cr
3.98	7.17	11.56	2.79 *	H <sub>2</sub> O <sub>tot</sub>

نسبة مئوية % \*

### نشأة خام الحديد في منطقة وردة

بينت الدراسة التي قام بها (١) Saffarini, 1988 أن هنالك علاقة وثيقة بين تمعدن خامات الحديد وحفرة الانهدام الأردني التي يمكن اعتبارها مثالا جيدا بين الجيولوجيا الاقتصادية والتركيبية والتي يمكن أن تؤدي الى اكتشافات جديدة على طول الجانب الشرقي لحفرة الانهدام. ان وجود معدن الهيماتيت كمكون أساسي لخامات الحديد هو دلالة واضحة على وجود الظروف الفيزيائية - الكيماوية نفسها خلال فترة تمعدن الخام. ولقد استنتج من التحليل الاحصائي الذي قام به الباحث المذكور على المكونات الكيماوية للخام بأن سرعة التمعدين كانت غير ثابتة حيث تمت عمليات فصل للعناصر المختلفة من المحاليل الحرمائية الصاعدة وترسب الحديد كمكون أساسي أو ثانوي مع السيلكا.

## \* خامات الحديد شمال وغرب عمان

بينت الدراسات الميدانية التي قام بها Mikbel et al, 1985 (٢) وجود تجمعات لخام الحديد في مناطق جلعاد و بيرين وغرب عمان (شكل ٣ - ١). كما تم ربط توزع هذه الخامات بالتراكيب الجيولوجية الموجودة على طول الجانب الشرقي لحفرة الانهدام، وقدر الاحتياطي الأولي لخامات الحديد في غرب عمان بحوالي ستة ملايين طن متري تقريباً تحتوي على ٢٥ مليون طن من فلز الحديد.

ويبين شكل ٣ - ٣ بعض الطبقات المكتشفة في غرب عمان. وتكشف الطبقات من وحدة الحجر الجيري العقدي (العصر السينوماني) وحتى وحدة الحجر الجيري السيلسي (العصر الكونياسي - السانتوني). وتوجد خامات الحديد في منتصف وحدة الحجر الجيري الكتلتي حيث تصل سماكة الطبقة الحاملة للخام ٢م.

ويبين شكل (٣ - ٤) مقاطع جيولوجية في منطقة الدراسة حيث يتجمع خام الحديد في الشنايا المقعرة للتركيب. وكما هو معروف فإن هذا التركيب يقع ضمن الجزء الغربي من التركيب الانضغاطي المعروف بعمان - الحلابات شكل (٣ - ٥) حيث توجد طيات غير متماثلة ومضجعة اضافة الى صدوع الرفع العلوي. ولقد بين Batayneh, 1987 (١) بأن خام الحديد في مناطق غرب عمان وجليعاد متجانسة بالمغناطيسية، وأن وحدة الحجر الجيري السيلسي في غرب عمان تصل سماكتها الى ١٥ م وتعلو ٨٠ م من الحجر الجيري المارلي.

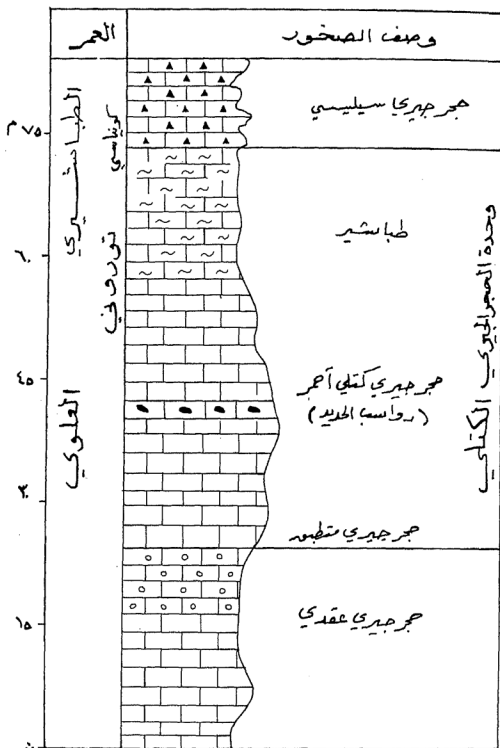
## التركيب المعدني والكيميائي

تتشابه خامات الحديد في منطقة غرب عمان وعجلون حيث أن المكون الأساسي هو الهيماتيت. أما المعادن الأخرى المصاحبة فهي الكوارتز والكالسيت والماجنتيت والسيدريت. وينمو معدن الهيماتيت على حساب المعادن الأخرى الأساسية للصخر ويملأ الفراغات والشقوق.

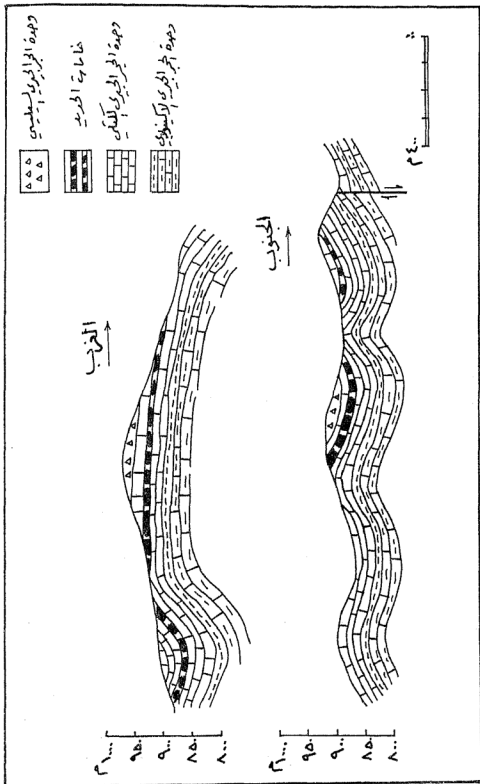
ويبين جدول رقم (٣ - ٢) التركيب الكيميائي للعينات المأخوذة من مناطق غرب عمان، وتتراوح نسبة الحديد بين ٦٨٪ - ٦٧٪ بمعدل ٢٩,٧٣٪.

## نشأة الحديد في منطقة غرب عمان

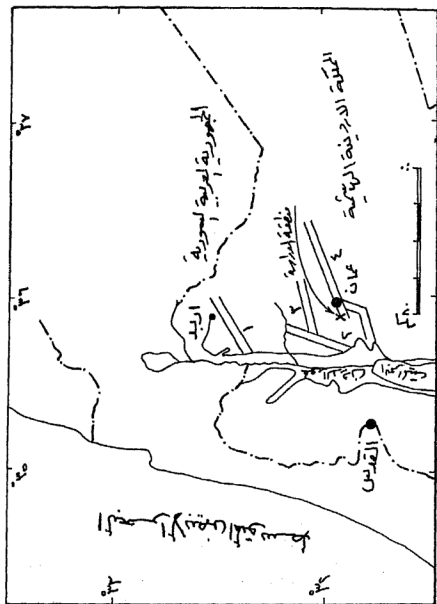
يعتقد الباحثون Mikbel, et al, 1985 (٢) بأن نشأة الحديد في مناطق غرب عمان تشبه الى حد بعيد نشأة الخامات الموجودة في وردة حيث أن المحاليل الحرمائية المصاعدة والحاملة للحديد والسيليكا حلت محل صخور وحدة الحجر الجيري الكتلتي.



شكل ٢-٣ مقطع جيولوجي في منطقة غرب عمان



شكل ٣-٤ مقاطع جيولوجية في منطقة غرب عمان (٢).



جدول (٣ - ٢) التركيب الكيماوي لعينات الحديد من منطقة غرب عمان<sup>٣</sup> (جزء بالمليون)

العنصر	المعدل	رقم العينة											
	$\bar{X}$	1	2	3	4	5	6	7	8	9	10	11	12
Si *	7.55	1.83	22.19	10.97	13.21	2.34	2.20	2.96	11.44	1.97	2.65	1.70	17.12
Fe *	39.73	59.67	22.68	45.85	25.94	36.30	37.60	25.94	51.33	40.36	57.63	40.57	32.84
Ca *	7.06	1.38	6.73	1.47	0.31	13.25	15.42	19.85	nd	13.12	nd	12.24	1.00
Mg	4906	551	9125	797	32526	309	765	252	5113	518	434	555	723
Na	13782	723	52870	577	78400	490	504	480	38549	576	684	720	724
K	1836	146	1860	136	18605	146	131	112	355	146	140	126	146
Mn	63	206	54	18	98	8	13	61	116	93	25	20	41
Zn	230	661	442	109	54	140	98	97	101	389	470	75	128

\* نسبة مئوية %

## References

1. Batayneh, A., 1987 : Geophysical studies of iron occurrences in northern Jordan. Unpublished M.Sc. Thesis, U of Jordan. 150 p.
2. Boom, Van den, and Lahloub, G., 1962 : The iron-ore deposits of Warda in southern Ajlun - District. Unpublished Report, NRA, Amman.
3. Mikbel, Sh., Saffarini, G., and El-Isa, Z., 1985 : New iron occurrences west of Amman, Jordan, Dirasat, 12 : 112-124.
4. Saffarini, G., 1988 : Geochemical characterization of a carbonate-hosted hydrothermal iron ore : The Warda iron deposit/ Ajlun, Jordan. Dirasat, In Print.

الفصل الرابع

الفوسفات

## الفوسفات

يعتبر الأردن خامس دولة في العالم في انتاج الفوسفات بعد الولايات المتحدة الأمريكية والاتحاد السوفياتي والمغرب والصين، وثالث دولة في العالم في تصدير الفوسفات بعد المغرب والولايات المتحدة حيث إن الانتاج المتوقع لعام ١٩٨٨ هو ٧٥ ملايين طن، ويقدر الاحتياط المؤكد من خام الفوسفات بحوالي ١٥٣٨ مليون طن موزعة على مناطق الرصيفة (٦٨ مليون طن) والحسا (١٢٥ مليون طن) والأبيض (١٥٩ مليون طن) والشدية (١١٨٦ مليون طن). وهناك احتياطي آخر في شمال غربي الأردن يزيد على ٣٧٠ مليون طن وبحاجة الى دراسات تفصيلية أخرى. وتصدر خامات الفوسفات الى أكثر من ثلاثين دولة بلغت في عام ١٩٨٧ حوالي ٥٦ ملايين طن. وبلغت كميات الفوسفات التي تم استخدامها محليا في صناعة الأسمدة في العقبة حوالي ٩٥٠ ألف طن في عام ١٩٨٧ وتتوقع شركة مناجم الفوسفات الأردنية أن يكون صافي الربح في عام ١٩٩٦ حوالي ٤٠٤ مليون دينار (حسب سعر الصرف عام ١٩٨٧).

ونرى مما سبق أهمية الفوسفات الأردني في دعم الاقتصاد الوطني، وتزداد أهميته عند التصنيع حيث يستخدم الفوسفات بشكل عام في صناعة الأسمدة الفوسفاتية والأدوية والمواد الكيماوية، ويستخدم ٩٠٪ من الفوسفات العالمي المنتج في صناعة الأسمدة حيث يتم تحويل الفوسفات الخام الى أسمدة سريعة الذوبان في الماء يستطيع النبات امتصاصها، ومن أهم الأسمدة الكيماوية السوبر فوسفات الأحادي والثلاثي والأمونيوم الأحادي والثلاثي ونيترو فوسفات والأسمدة المركبة من الأمونيا والبوتاسيوم والفوسفات. ويقوم مصنع الأسمدة بالعقبة بانتاج الأسمدة المختلفة حيث وصلت المبيعات في عام ١٩٨٧ حوالي ٦٦٠ ألف طن من سماد فوسفات الأمونيوم الثلاثي، ويتم انتاج مادة فلوريد الألومنيوم حيث بلغت المبيعات في عام ١٩٨٦ حوالي ١٢٥٣٩ طناً. وتقوم شركة الفوسفات الأردنية ومصانع الأسمدة بدراسات لاستخلاص عنصر اليورانيوم كناتج ثانوي.

### عرض موجز للدراسات التي تمت عن الفوسفات الأردني

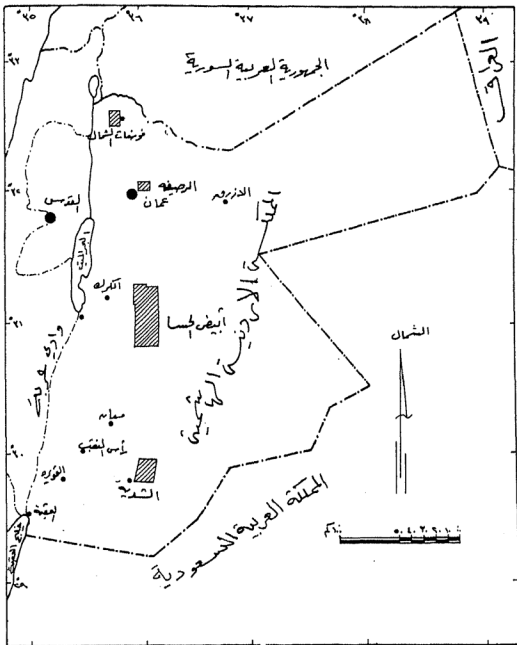
نتيجة لأهمية الفوسفات الأردني من النواحي العلمية والاقتصادية، قامت دراسات عديدة منذ أن اكتشف الفوسفات لأول مرة في الرصيفة ثم الحسا عامي ١٩٠٣ و ١٩٠٨ من قبل بلانكنهورن وذلك خلال العمل لإنشاء سكة حديد الحجاز، وبدأت الدراسة الفعلية من قبل (١٩١٣، 1936، 1930، Blake) حيث أسست شركة فوسفات شرق الأردن التي أصبح اسمها في أواخر الخمسينات شركة مناجم الفوسفات الأردنية. ولقد قام (Burden, 1959) ثم (Karam, 1967) بإعطاء العمر الكامباني - الماسترختي لفوسفات الرصيفة، ولقد صنف (٣٧، ١٩٦٧) Reeves and Saadi, 1969 و Saadi الفوسفات في الرصيفة والحسا الى أربع مجموعات (الناعم والمتماسك بالربون والسيليكا والطيني والمارلي) وبينوا بأن الأباتيت هو المكون



الأساسي للفوسفات. وفي عام ١٩٧٥م (٣٦) (Rosch and Saadi, 1975) أضافت تقارير هيئة الأمم المتحدة النوع الخامس من الفوسفات وهو الجبسي، ومما يجدر ذكره بأن سلطة المصادر الطبيعية قامت باكتشاف كميات هائلة من خامات الفوسفات في منطقة الشدية في عام ١٩٧٤ وذلك قبل بدء مشروع هيئة الأمم المتحدة. ولقد بين (١١٧) Coppins et al, 1977 أهمية العناصر المشعة (اليورانيوم والثوريوم) في فوسفات الحسا، كما أكد كل من (١٨٠٩) 1977 Hamam, و Beerbaum, 1977 العمر الماسترختي لفوسفات الحسا. وقام (١٩) Jalled, بدراسة امكانية تركيز فوسفات الرصيفة بواسطة الكلجنة. ثم تبع ذلك (٢٢٠٢٢) 1982, Abed, Khalid و Khalid And 1980 بدراسة التركيب المعدني لفوسفات الشدية حيث تبين بأنه فرانكوليت Francolite ولقد قام (٢٩٠٢٤) Mikbel and Abed, 1985 و Sadaqa, 1983 باكتشاف كميات جديدة من الفوسفات في منطقة الأبيض وشمال غربي الأردن تبعها دراسات من قبل (١١) 1985, Abed and Khalid لمعرفة توزيع اليورانيوم في الفوسفات الأردني و (١١٧) 1985, Bandel and Mikbel لدراسة نشأة رواسب الرصيفة و (١٧) 1985, Al-Agha لدراسة خام فوسفات الشمال ثم (١٧٠٧) 1986, Al-Hawari و 1987, Fakhoury لدراسة التركيب المعدني للأباتيت والمعادن الطينية المصاحبة، وأخيراً (٢) 1987, Abed and Ashour لتحديد عمر فوسفات الشمال.

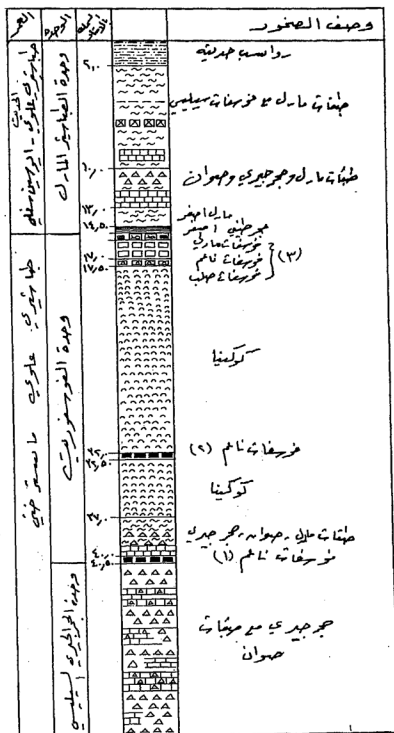
### جيولوجية الطبقات الحاملة للفوسفات

يبين شكل (٤ - ١) أماكن تكشف الفوسفات الأردني في صخور العصر الطباشيري العلوي في الرصيفة، والحسا والأبيض، والشدية، وشمال الأردن. وتوجد أيضاً رواسب فوسفاتية غير اقتصادية تتبع عصور الأيوسين الأوسط والأعلى وكذلك الأليجوسين في مناطق شمال شرقي الأردن (٨) (Basha, 1987) ويمكن تتبع خامات الفوسفات على امتداد ٢٥٠ كم من رأس الخنق في الجنوب وحتى نهر الزرقاء في شمال عمان، وتتكشف مرة أخرى ونتيجة عوامل تكتونية في غرب اربد. وتميل طبقات الفوسفات نحو الشرق ميلاً بسيطاً ولا يعرف امتدادها شرقاً تحت السطح. ويتكشف الجزء الغربي من طبقة الفوسفات نتيجة لعمليات الرفع على طول حفرة الانهدام، وتصبح الصخور الفوسفاتية أحدث كلما اتجهنا شرقاً مما يقلل سماكة الغطاء الصخري. وتوجد خامات الفوسفات في جميع المناطق في الوحدة الجيولوجية نفسها من العصر الطباشيري العلوي (الماسترختي) وتوجد أسفل وحدة الفوسفوريت وحدة الطباشير - المارلي وتعلوها وحدة الحجر الجيري السيليسي (أشكال ٤ - ٢، ٤ - ٣، ٤ - ٤، ٥). وتصل سماكة الطبقات الحاملة للفوسفات في منطقة الرصيفة في مجموعها إلى ١٠ م وهي عبارة عن أربع طبقات غنية بالفوسفات ومعدل سمك هذه الطبقات ١٢ - ٣ م و يبلغ تركيز فوسفات الكالسيوم الثلاثي حوالي ٥٦ - ٧٢٪ في الطبقات الناعمة وحوالي ٤٥ - ٥٥٪ في الطبقات الصلبة.



شكل ٤ - ١ خارطة تبين مواقع خامات الفوسفات في الأردن.





شكل ٤-٣ مقطع جيولوجي في منطقة الحسا الأبيض.

وصف الصخور			
العدد	الحديث	العدد	وصف الصخور
١٠٠	رواسب حديثة	١٠٠	رواسب حديثة
١٠١	مارل	١٠١	مارل
١٠٢	فوسفات مارلي	١٠٢	فوسفات مارلي
١٠٣	كوكينا	١٠٣	كوكينا
١٠٤	طبقاتية مد الأحمر الطين	١٠٤	طبقاتية مد الأحمر الطين
١٠٥	فوسفات مارلي مع صوان	١٠٥	فوسفات مارلي مع صوان
١٠٦	دورساينيت و تريبوليت	١٠٦	دورساينيت و تريبوليت
١٠٧	فوسفات	١٠٧	فوسفات
١٠٨	جيرسي سيليني	١٠٨	جيرسي سيليني
١٠٩	جيرسي جيرسي	١٠٩	جيرسي جيرسي
١١٠	فوسفات مارلي و سيليني	١١٠	فوسفات مارلي و سيليني
١١١	فوسفات ناعم	١١١	فوسفات ناعم
١١٢	فوسفات سيليني	١١٢	فوسفات سيليني
١١٣	فوسفات مارلي	١١٣	فوسفات مارلي
١١٤	فوسفات سيليني مع صوان	١١٤	فوسفات سيليني مع صوان
١١٥	صوان فوسفاتي	١١٥	صوان فوسفاتي
١١٦	فوسفات سيليني	١١٦	فوسفات سيليني

شكل ٤ - ٤ مقطع جيولوجي في منطقة الشدية.

وصف الصخور	السمك المتوسط	الوحدة	المر
مارل		وحدة الفوسفات	طباشيري علوي (حاسقرخاتي)
فوسفات ناعم	١٤.٢	وحدة الفوسفات	طباشيري علوي (حاسقرخاتي)
حجر جيرى وصوان	١٤.٢	وحدة الفوسفات	طباشيري علوي (حاسقرخاتي)
فوسفات صلب ومتوسط الصلابة	١٤.٢	وحدة الفوسفات	طباشيري علوي (حاسقرخاتي)
فوسفات ناعم	١٤.٢	وحدة الفوسفات	طباشيري علوي (حاسقرخاتي)
حجر جيرى سيليسي	١٤.٢	وحدة الفوسفات	طباشيري علوي (حاسقرخاتي)

شكل ٤ - ٥ مقطع جيولوجي في منطقة وادي السموع (شمال الأردن)

أما منطقة الحسا والأبيض فيوجد الفوسفات في نطاقين (علوي وسفلي) مقطعين على شكل عدسي يختلف عن الرصيفة، ويوجد النطاق العلوي على شكل طبقتين من الفوسفات الناعم تفصلهما طبقات رقيقة من المارل، وتتراوح سماكة الطبقة العليا ٠.٨ - ٠.٨ م والسفلى ١.٥ - ٢.٥ م، أما نسبة تركيز فوسفات الكالسيوم الثلاثي فهي ٥٥ - ٦٢٪ للطبقة العليا و٦٦ - ٧٠٪ للطبقة السفلى.

يوجد الفوسفات في الشدية في نطاقين أيضاً ولكن على شكل طبقات مستمرة، وتتراوح سماكة طبقات الفوسفات تحت طبقة الكوكينا في النطاق الأسفل بين ٨ - ١٠ م تقطعها طبقات من الصوان للتجوي جزئياً إلى تربيولي والحجر الجيري السيليسي، وتتراوح نسبة فوسفات الكالسيوم الثلاثي بين ٦٥ - ٧٢٪.

ويوجد الفوسفات في مناطق شمال غربي الأردن في نفس المستوى الجيولوجي للصخور الفوسفاتية الأخرى على شكل طبقات مستمرة ومنظمة، و يتراوح معدل فوسفات الكالسيوم الثلاثي بين ٥٥ - ٦٩٪.

### التركيب المعدني والكيماوي لخامات الفوسفات

يوجد معدن الأباتيت مع الكالسيت والكوارتز والدولومايت والمعادن الطينية بنسب مختلفة. وبعض هذه المعادن (الدولومايت والمعادن الطينية) هو نتيجة لعمليات ترسب متزامنة أو متأخرة في المسامات وعلى حساب المعادن الأخرى. أما المعادن الطينية المشتركة المصاحبة لخامات الفوسفات فهي كاولينيت وإليت ومختلط الطبقات إليت / سميكتيت (درجة التمدد ٧٠ - ٨٠٪). وتنفرد خامات منطقة الشدية بوجود باليجورسكيت Palygorskite والذي سجل لأول مرة بواسطة (Al-Hawari, 1986) و يبين جدول رقم (٤ - ١) معدل التركيب الكيماوي للصخور الفوسفاتية في المناطق المختلفة من الأردن. وأثبتت الدراسات التي أجريت على حبيبات الفوسفات المختلفة، وقطع الصخور الفوسفاتية، وبقايا العظام والأسنان أن الأباتيت الأردني هو بالواقع فرانكوليت Francolite حيث تزيد نسبة الفلور على ١٪ وثاني أكسيد الكربون أقل من ٦٪ (Fakhoury, 1987; Al-Agha, 1985; Saadi, 1969) و يبين جدول رقم ٤ - ٢ المعادلات التركيبية للأشكال المختلفة للفرانكوليت الأردني كما حسبت بواسطة (Fakhoury, 1987).

وتقوم شركة الفوسفات بإنتاج أربعة أنواع من خامات الفوسفات ذات المحتوى من فوسفات الكالسيوم الثلاثي ٦٦ - ٦٨٪ من مناجم الرصيفة و ٧٠ - ٧٢٪، ٧١ - ٧٣٪ و ٧٣ - ٧٥٪ من مناجم الحسا والأبيض وذلك بعد عمليات التركيز (JCP, 1986). ويتم تجميع وفصل الحجم الناعم من الفوسفات (يسمى Torphos) حيث يباع مباشرة لاستخدامه في التربة الحامضية. و يبين جدول رقم ٤ - ٣ التركيب الكيماوي للأنواع المختلفة من الفوسفات الأردني التجاري.

جدول (٤ - ١) معدل التركيب الكيماوي لحامات الفوسفات في المناطق المختلفة من الأردن<sup>(٧)</sup>

شمال غرب الاردن	الشدية	الحسا	الرصيفة	الأكاسيد
%	%	%	%	
10.02	18.72	12.7	10.15	SiO <sub>2</sub>
0.27	0.62	0.7	0.54	Al <sub>2</sub> O <sub>3</sub>
0.129	0.305	0.16	0.126	Fe <sub>2</sub> O <sub>3</sub>
23.23	23.54	21.96	26.8	P <sub>2</sub> O <sub>5</sub>
46.18	44.7	52	46.89	CaO
1.537	0.66	0.098	0.082	MgO
0.042	0.24	0.024	0.02	Na <sub>2</sub> O
0.04	0.05	0.42	0.027	K <sub>2</sub> O
—	0.029	0.016	0.153	TiO <sub>2</sub>
1.001	2.89	2.6	3.28	F
00.264	0.106	0.316	0.22	Cl
16.359	7.29	12.34	7.62	CO <sub>2</sub>
—	60	62	200	V ppm
—	491	1776	1583	Sr ppm
—	52	71	89	Y ppm
—	67	93	155	U ppm
—	110	70	230	Cr ppm

و يوجد اليورانيوم في تركيب الفرانكوليت البلوزي حيث يحل محل الكالسيوم، ولقد قام العديد من الباحثين في دراسة توزيع اليورانيوم في الفوسفات الأردني مثل (٢٧، ٢٢، ٢١، ٢٠، ١٩، ١٨، ١٧، ١٦، ١٥، ١٤، ١٣، ١٢، ١١، ١٠، ٩، ٨، ٧، ٦، ٥، ٤، ٣، ٢، ١).

(٢٧، ٢٦، ٢٥)

Saadi, 1969; Bender et al, 1970; Reeves and Saadi, 1971;

Abu Ajamieh, 1974; Rosch and Saadi; 1975; Beerbaum, 1977

Khalid, 1980; Khalid and Abed, 1982; Abed and Khalid, 1985.

حيث وجدوا أن الفوسفات الأردني يعتبر من أغنى فوسفات العالم بالنسبة لليورانيوم. ولقد وجدت نسبة تركيز عالية من الايتريوم Yttrium تضاهي تركيز اليورانيوم في الفرانكوليت. و يبين جدول رقم ٤ - ٤ توزيع اكسيد اليورانيوم في بعض مناطق مناجم الفوسفات حيث يزداد التركيز في منطقة الرصيفة. وفي دراسة قام بها (٢٨) Saadi and Shaaban, 1981 تبين أن اكسيد اليورانيوم يمكن أن يصل الى ٣٠٠ غم بالطن. ولكن تتراوح نسبة اكسيد اليورانيوم



بشكل عام بين ٧٠ - ١٨٠ غم / طن خام و ٩٠ - ١٨٠ غم / طن فوسفات مسوق. و يبين شكل ٤ - ٦ مقارنة التغير الذي طرأ على المحوره البلوري في الفرانكوليت بتغير نسبة اليورانيوم فيه حيث أن زيادة اليورانيوم في الفرانكوليت يؤدي الى قصور محوره حتى يصل الى ٣٣٢ رانجستروم تقريباً عندما تكون نسبة اليورانيوم في معدن الفرانكوليت ١٢٠غم / طن تقريباً. وأن الارتفاع الطفيف في طول المحوره بعد ذلك يمكن أن يكون بتأثير عناصر أخرى غير اليورانيوم يفوق حجم ذراتها حجم ذرات الكالسيوم مثل السترونشيوم الموجود بكميات عالية في الفرانكوليت الأردني.

### نشأة رواسب الفوسفات الأردني

يترسب الفوسفات عادة في مواقع جغرافية محددة (٤٠° شمال وجنوب خط الاستواء) في مناخ دافئ على الشواطئ الغربية للقارات. وتترسب معظم رواسب الفوسفات الحديثة في العالم نتيجة عمليات صعود تيارات المياه البحرية العميقة الباردة والغنية بالفوسفات الى أعلى لتحل محل المياه السطحية المتحركة نحو البحر نتيجة عمل حزام الرياح التجارية.

جدول (٤ - ٢) المعادلات التركيبية لأنواع مختلفة من الفرانكوليت الأردني (١٧)

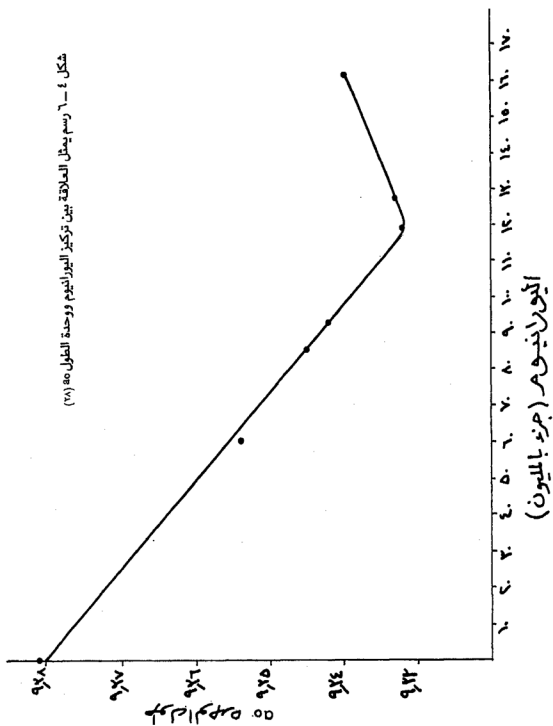
الموقع	نوع الفوسفات	المعادلة التركيبية المحسوبة								الشحنة الموجبة	الشحنة السالبة
الرصيفة	حبيبي	Ca	Mg	Na	P04	C03	F2	F		19.86	19.38
		9.87	.005	.12	4.99	1		.4			
الرصيفة	عضوي	Ca	Mg	Na	P04	C03	F2	F		19.99	19.33
		9.94	.005	.168	4.89	1.11		.44			
الرصيفة	صخري	Ca	Mg	Na	P04	C03	F2	F		19.86	19.32
		9.87	.0049	.12	4.91	1.08		.43			
الشدية	حبيبي	Ca	Mg	Na	P04	C03	F2	F		19.88	19.39
		9.89	.0039	.099	5.01	0.987		.39			
الشدية	عضوي	Ca	Mg	Na	P04	C03	F2	F		19.79	19.06
		9.8	.005	.193	4.88	1.1		.44			
الشدية	صخري	Ca	Mg	Na	P04	C03	F2	F		19.81	19.78
		9.9	.0027	.009	4.71	1.098		.43			
الحسا	حبيبي	Ca	Mg	Na	P04	C03	F2	F		19.5	19.39
		9.7	.003	.143	5	.99		.39			
الحسا	عضوي	Ca	Mg	Na	P04	C03	F2	F		19.55	19.31
		9.69	.004	.155	4.88	1.118		.44			
الحسا	صخري	Ca	Mg	Na	P04	C03	F2	F		19.85	19.23
		9.86	.0035	.127	4.91	1.08		.43			

جدول (٤ - ٣) التركيب الكيماوي للأنواع المختلفة من الفوسفات الأردني المسوق (٢٠٠)

الأكاسيد	% ٦٨-٦٦	% ٧٢-٧٠	% ٧٣-٧١	% ٧٥-٧٣	جورفوس % ٦٢-٦٠
P <sub>2</sub> O <sub>5</sub>	30.40	32.35	33.14	33.80	27.85
CaO	49.80	49.70	50.94	51.67	49.22
SiO <sub>2</sub>	5.30	5.00	3.00	2.50	6.00
CO <sub>2</sub>	7.30	4.65	4.65	4.40	10.00
F	3.60	3.65	3.75	3.80	3.40
Cl	0.045	0.12	0.05	0.03	0.047
Fe <sub>2</sub> O <sub>3</sub>	0.17	0.30	0.25	0.16	0.21
Al <sub>2</sub> O <sub>3</sub>	0.40	0.48	0.40	0.24	0.35
Org. C	0.15	0.20	0.20	0.20	0.18
SO <sub>3</sub>	0.85	1.21	1.25	1.10	0.90
Na <sub>2</sub> O	0.27	0.40	0.40	0.40	0.26
K <sub>2</sub> O	0.025	0.03	0.03	0.03	0.023
MgO	0.23	0.40	0.30	0.25	0.28
SiO	0.19	0.22	0.25	0.25	0.18
MnO	0.01	0.01	0.01	0.01	0.01
TiO <sub>2</sub>	0.04	0.04	0.04	0.04	0.04
المعادن النادرة	ppm	ppm	ppm	ppm	—
U	129	82	93	105	—
V	200	70	65	60	—
Cd	4	4	4	4	—
Cr	230	100	75	50	—
As	11	6	7	9	—

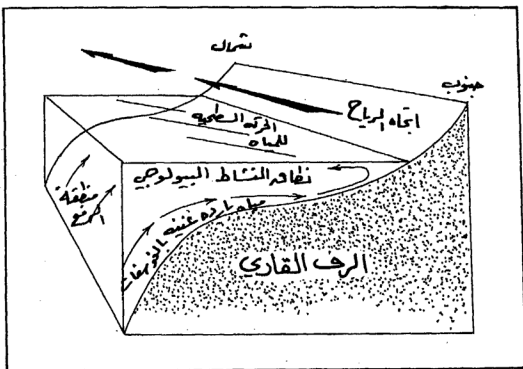
جدول (٤ - ٤) توزيع أكسيد اليورانيوم في بعض مناطق الفوسفات الأردني<sup>٤</sup>

جزء بالمليون U <sub>3</sub> O <sub>8</sub>		
القيمة الدنيا - القيمة العليا	المعدل	الحسام
١٨٠ - ١٢٠	١٤٥	الرصيفة
١٦٠ - ٧٠	٩٥	الحسا
١٢٠ - ٧٠	٩٠	الشديدة



وتحدث عملية رفع المياه Upwelling عادة على الشواطئ الغربية وعلى الشواطئ الشمالية في نصف الكرة الشمالي والشواطئ الجنوبية في نصف الكرة الجنوبي. و يترسب الفوسفات عندما تزيد درجة حرارة المياه الفوسفاتية المرفوعة و يقل الضغط لفقدان ثاني اكسيد الكربون وتزداد القلوية. و يبين شكل ٤ - ٧ كيفية ترسب الفوسفات نتيجة عمليات صعود المياه الباردة الى أعلى. ولا بد أن الفوسفات الأردني ترسب في مثل هذه الكيفية عند نهاية العصر الطباشيري العلوي حيث طغى البحر على اليابسة، و يستدل على بداية الترسيب البحري بوجود وحدات الجلوكونيت Glauconite الأربع<sup>(٢١)</sup> (Abed and Mansour, 1982) وعقد العنبر<sup>(١١)</sup> (Bandel and Haddadin, 1979)، التي يعتقد بأنها ترسبت في بيئة بحرية شاطئية. و يمثل شكل ٤ - ٨ خريطة تمثل امتداد البحر في نهاية العصر الطباشيري العلوي.

لقد أجمعت الدراسات التي أجريت حول نشأة رواسب الفوسفات الأردني في مختلف المناطق بأنها بيوكيماوية حيث تم الترسيب في بيئة بحرية ضحلة جداً<sup>(٩, ١١, ٢١, ٢٧, ٢٩)</sup>.  
Saadi, 1969; Beerbaum, 1977; Khalid, 1980; Sadaqa, 1983,  
(Mikbel and Abed, 1985; Bandel and Mikbel, 1985).



شكل ٤ - ٧ نموذج يبين صعود التيارات الباردة الغنية بالفوسفات.



وفي أحدث دراسة قام بها Fakhoury, 1987 (١٧) حول نشأة الفوسفات الأردني تبين بأن هناك تشابه كبير في التركيب الكيماوي والمعدني في النسيج والتضاريس الدقيقة للحبيبات الفوسفاتية وقطع الفوسفات الصخرية Intraclasts. وتختلف الى حد ما من الناحية الكيماوية عن تركيب بقايا العظام والأسنان الفوسفاتية كما تبين أنهما شكلان لأصل واحد وهو الطين الفوسفاتي و يختلفان فقط في حجم الحبيبات والمادة اللاصقة بين حبيبات الفوسفات ناتجة عن النشاط البكتيري. وبالتالي فإن الفوسفات ترسب أولا كطين فوسفاتي تعرض لعمليات التعرية والنقل وإعادة الترسيب الميكانيكي لحبيبات الفوسفات ثم إعادة التماسك.

وهناك مشكلات عديدة غير محلولة بالنسبة لنشأة الفوسفات الأولية أو الثانوية، والعوامل التي تؤدي الى التركيز غير العادي لعنصر الفوسفور في المحيطات ووجود المغنيسيوم الذي يعيق ترسيب الفوسفات، ووجود الفوسفات في طبقات متعددة خلال العمود الجيولوجي، وتأثير العوامل الجيوكيماوية المختلفة على درجات الترسيب، وعلاقة وجود طبقات الصوان مع الفوسفات. وقد يكون الفوسفات الأردني من أفضل الأمثلة لاجراء الكثير من الأبحاث لحل المشكلات العلمية المستعصية المتعلقة بنشأة الفوسفات. فمثلا ساعدت هجرة عنصر المغنيسيوم لتكوين المعادن الطينية المختلفة في الفوسفات الأردني في ترسيب الفوسفات (١٧). كما أعطت مصاحبة طبقات الصوان المتجوي جزئياً الى تريبولي لطبقات الفوسفات الجواب حول نشأة التريبولي ذي الأصل العضوي (دياتوميت).

## References

1. Abed, A., and Khalid, H. H., 1985: Distribution of uranium in the Jordanian phosphates, *Dirasat*, 7: 91 - 103.
2. Abed, A., and Mansour, H., 1982 : Petrography and chemistry of some lower Cretaceous glauconites from Jordan, *Dirasat*, 9 : 67 - 80.
3. Abed, A., and Ashour, M., 1987 : Petrography and age determination of the NW Jordan phosphates. *Dirasat*, 14 : 242-265.
4. Abu- Ajamieh, M., 1974 : Uranium resources in Jordan, Unpublished Report. NRA, Amman.
5. Adamia, S., Chkhotua, M., Kekelia, M., Lordkipanidz, M., Sharishvili, I., and Zachariadze, G., 1981 : Tectonics of the Caucasus and adjoining regions : Implications for the evaluation of the Tyths ocean: *J. of Structural Geol.*, 3: 437-447.
6. Al-Agha, M., 1985: Petrography, mineralogy, geochemistry and genesis of the north Jordan Phosphates. Unpublished M.Sc. thesis, U. of Jordan, Amman.
7. Al-Hawari, Z., 1986: Clay minerals associated with the Jordanian phosphates and its possible industrial utilization. Unpublished M.Sc. thesis, U. of Jordan, Amman.
8. Basha, S., 1987: On the Tertiary phosphate rocks of the Risha area, NE Jordan. *Dirasat*, 14 : 211-227.
9. Beerbaum, B., 1977: Die Genese der marin-sedimentaren Phosphat-lagerstatte von Al Hasa., *Geol. JB.*, 24, 58 p.
10. Bandel, K., and Haddadin, A., 1979: The depositional environment of amber-bearing rocks in Jordan. *Dirasat*, 11 : 39-62.
11. Bandel, K., and Mikbel, S., 1985: Origin and deposition of phosphate ores from the Upper Cretaceous at Ruseifa. *Mitt. Geol. Paleont. Inst. Hamburg*. 59: 167-188.
12. Bender, F., Echhardt, F., and Heimbach, E., 1970: Rohstoffe Zur Dunggemittelherstellung und phosphat Basis in Jordanien. BGR Unpublished Report, Hanover.
13. Blake, G., 1930: The mineral resources of Palestine and Trans-Jordan. Printing and Stationary Office, Jerusalem.
14. Blake, G., 1936: The stratigraphy of Palestine and its building stones. Printing and Stationary Office, Jerusalem,
15. Burdon, D., 1959: Handbook of the geology of Jordan to accompany and explain the three sheets of the 1: 250.000 geological map, east of the Rift by A.M. Quennell.
16. Coppens, R., Bashir, S., and Richard, P., 1977 : Radioactivity of Al-Hasa phosphates, a preliminary study. *Mineral. Deposita*, 12 : 189-196.

17. Fakhoury, K., 1987: Chemical variability in francolites from Jordan, and role of microbial processes in phosphogenesis. Unpublished M.Sc. Thesis, U. of Jordan, Amman, 127 p.
18. Hamam, K., 1977: Foraminifera from Maestrichtian phosphate-bearing strata of El-Hasa, Jordan., J. of Foraminiferal Research, 7:1.
19. Jallad, I., 1977: Investigation on the upgrading processes of the low grade phosphates. Unpublished Ph.D. thesis, Cairo U., Cairo.
20. JPC, 1986: Jordan Phosphate Mines Co. LTD. Annual Report.
21. Karam, S., 1967: Studies on some phosphate bearing rocks in Jordan. Unpublished M.Sc. thesis, Ain Shams U., Cairo.
22. Khalid, H., 1980 : Petrography, mineralogy, and geochemistry of Esh-Shidya phosphates, Unpublished M.Sc. thesis, U. of Jordan, Amman.
23. Khalid, H., and Abed, A., 1982: Petrography and geochemistry of Esh-Shidya phosphates. Dirasat, 9: 81-102.
24. Mikbel, S., and Abed, A., 1985 : Discovery of large phosphate deposits in NW Jordan. Dirasat, 12: 125-136.
25. Reeves, M., and Saadi, T., 1971 : Factors controlling the deposition of some phosphates bearing strata from Jordan. Econ. Geol., 68 : 541-465.
26. Rosch, H., and Saadi, T., 1975 : Types of phosphate rocks and their chemical and petrological characteristics. Technical Report. DP/UN/Jordan- 70- 521/2, published by the United Nations.
27. Saadi, T., 1969 : Mineralogy, crystal chemistry, and genesis of some Jordanian phosphate ores. Unpublished M.Sc. thesis, Durham, England.
28. Saadi, T., and Shaaban, M., 1981 : Uranium in Jordanian phosphates and its distribution in the beneficiation processes. The Fourth Arab Min. Res. Conf., Amman.
29. Sadaqa, R., 1983 : Geology and new phosphate deposits of Wadi El-Abiad area, central Jordan. Unpublished M.Sc. thesis, U. of Jordan, Amman.

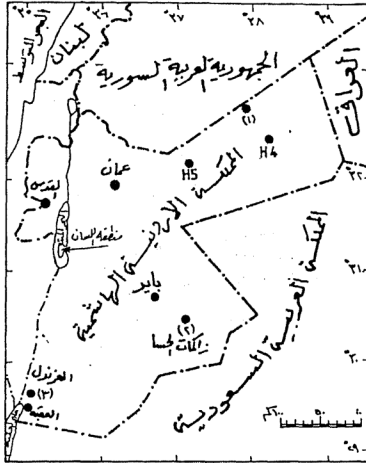


الفصل الخامس

الباريت

## الباريت

يوجد الباريت  $Ba SO_4$  في عدة مناطق في الأردن (شكل ٥ - ١) بكميات محدودة ليس لها أهمية اقتصادية هي H-4 في الشمال وراكمات الحسا في الشرق وفي منطقة الغرندل - وادي عربة في الجنوب. كما يوجد أيضاً في منطقة بيت ساحور بالضفة الغربية على شكل غير منتظم ومحدود في صخور الحجر الجيري الكتلي والأكينو يدي التابع للعصر التوروني والسانتوني. ولقد بين (١) Bender, 1974 أماكن توزع هذه الرواسب في الأردن.



(١) الباريت شمال H-4 (٢) الباريت في زالكمة الحسا

(٣) الباريت في وادي أم سيالة

شكل ٥ - ١ أماكن وجود الباريت في المملكة الأردنية الهاشمية

#### الباريت في منطقة الاجفور H-4

تتكشف قواطع الباريت وعروقه في منطقة تقع ٤٦ كم شمال غرب محطة H-4 بالقرب من الحدود السورية. ويملا معدن الباريت الشقوق والفواصل على طول نطاق التصدع في طبقات الحجر الجيري والصوان والمارل التابعة لوحدة الحجر الجيري - الصوان من العصر الأيوسيني الأسفل. و يبلغ طول أكبر قاطع باريت حوالي ٧٠م وعرضه ٦م. وتبين دراسات سلطة المصادر الطبيعية وتحليلها لبعض العينات من منطقة H-4 (NRA, 1981) أن تركيز الباريوم يصل الى ٢٣ر٤٥% في العينات النقية، وأن هناك تركيزاً للنحاس في بعض العينات يصل الى ٥٠٠ جزء بالمليون.

و يمكن أن يكون للباريت في منطقة H-4 مدلول اقتصادي كمصدر للخامات الحرماثية، وبالتالي يجب دراسة متابعة امتداد الخام تحت السطح بالوسائل الجيوفيزيائية والجيوكيميائية كافية، إذ يوجد تمعدن لخامات من النحاس. وكما هو واضح فإن نشأة الباريت والنحاس المصاحب له هو الترسيب من المياه الحرماثية المساعدة في الشقوق والفواصل على طول امتداد منطقة التصدع.

#### الباريت في زأكمات الحسا

تنتشر عقد الباريت في مساحة محصورة في كيلومتر مربع واحد وعلى شكل ورد صحراوي (Desert Roses) في منطقة زأكمات الحسا، على بعد ٥٢ كم جنوب شرق باير في الجزء الشرقي من وسط الأردن. وتوجد الورد الباريتية على السطح العلوي من وحدة الحجر الرملي الكرنبي التابع للعصر الطباشيري الأسفل (المسيثوماني) كما يوجد الباريت كمادة لاحمة في الحجر الرملي وعلى شكل تجمع بلورات كاملة الأوجه يمكن أن تصل سماكتها الى بضعة سنتيمترات. أما عن نشأة الباريت في هذه المنطقة فيعتقد بأنه ذو أصل حرماثي حيث خرجت المياه الحارة من منطقة التصدع وعملت كمادة لاحمة أو مألثة للفراغات في الحجر الرملي الكرنبي الملون. ولقد عملت التعرية في تشكيل الورد الصحراوي المكون من الكوارتز أساساً والباريت كمادة لاحمة.

#### الباريت في منطقة الغرندل

تقع المنطقة التي يوجد بها الباريت على بعد ١٢ كم شمال - شمال شرق الغرندل في المجرى السفلي لوادي أم سيالة. حيث يتشكل على شكل عروق وقواطع صغيرة لا تزيد في سماكتها عن ١٠ سم تمتد على طول منطقة التصدع، وكما يبدو فإن نشأة الباريت هي الترسيبات الحرماثية.

### References

1. Bender, F., 1974: Geology of Jordan. Beitrage zur Regionalen Geologie der Erde. Gebruder Borntraeger Pub., Berlin. 196 P.
2. NRA, 1981 : Mineral occurrences in Jordan, Internal Report, NRA, Amman.

الفصل السادس

الكبريت

## الكبريت

يعد الكبريت من العناصر الأساسية والضرورية في صناعة الأسمدة الكيماوية، وبالتالي فإن هناك حاجة ماسة للبحث عن رواسبه في الأردن. وكما هو معروف فالكبريت موجود في منطقة لا تزيد مساحتها عن خمسة كيلومترات مربعة في منطقة المغطس على نهر الأردن (شرق أريحا) حيث توجد رواسبه على شكل طبقات رقيقة وعقد متبادلة مع طبقات الأنهيدريت والجبس والمارل، وتصل سماكة الطبقات إلى ١٢ م. وهي على شكل ترسبات في الشقوق والكسور للطبقات المكونة لتكوين اللسان مارل والذي يتبع عصر البلايستوسين.

ولقد أشار (Bender, 1975) إلى أن الكبريت موجود في مناطق شاسعة في الجزء العلوي من طبقات اللسان مارل، ويمكن متابعة هذه الطبقة في وادي الأردن من الشاطئ الشمالي للبحر الميت وإلى أكثر من ٤٠ كم شمالاً. وبين شكل (٦-١) الوضع الطبقي لتكوين اللسان في منطقة دامية.

يوجد الكبريت أيضاً كبلورات ناعمة جداً على شكل قشور أو مائلة للفرغات والشقوق على أسطح التصدع وبين مستويات التطبيق وعلى شكل عقد وجيوب مصاحبة للجبس. ويوجد الكبريت التراي كذلك على شكل طبقات ورقية تتبادل مع الطفال والمارل وتصل سماكة بعض العقد الكبريتية إلى ١٠ سم في تكوين اللسان، وبشكل عام فإن توزيع رواسب الكبريت غير منتظم.

ونتيجة لأهمية الكبريت في الصناعات الأردنية فلقد ركزت سلطة المصادر الطبيعية جهودها في البحث عنه في منطقة اللسان حيث حفرت ثلاث آبار استكشافية كان أعمقها ١٥٠ م وذلك في عام ١٩٨٥. ولقد أخذت عينات صخرية ومائية (غنية بثاني كبريتيد الهيدروجين) حيث تبين عدم وجود الكبريت بكميات ذات أهمية.

وقد تابع قسم التعدين في سلطة المصادر الطبيعية دراسة تكشفات الكبريت في جنوب منطقة اللسان وتبين وجود الكبريت في شكلين أحدهما عقدي وعدسي باقطار تتراوح بين ٢-١٥ سم على السطح الخارجي لطبقات المارل، وثانيهما متبلور ومركز في الفراغات والكسور وعلى أسطح التصدع داخل طبقات المارل. وتم حفر بئر استكشافية أخرى لغرض متابعة التوزع العمودي للكبريت وخاصة على طول الشقوق والفواصل. ولعرفة عمق الغطاء المحلي استخدمت نتائج الدراسات الجيوفيزيائية والتحت سطحية وتبين بأنه يقع على عمق يتراوح بين ٢٠٠-٢٥٠ م مع توقعات لترسبات الكبريت فوق الغطاء المحلي. وكانت نتيجة الحفر سلبية من حيث وجود الكبريت وكان المكون الأساسي لطبقات المارل البلايستوسيني هو الجبس والمارل والحجر الجيري الناعم.

ان نشأة الكبريت في تكو ين اللسان تعزى الى عمليات الاختزال بواسطة البكتيريا المختزلة لرواسب الجبس والانهدريت ولاكسدة غازات ثاني كبريتيد الهيدروجين المتصاعدة والمصاحبة للمياه الجوفية والينابيع الحارة التي كانت منتشرة في عصر البلايستوسين.

المر	التكوين	وصف للصخور
البلايستوسين العلوي	دامية	رمل جيرى وحجر جيرى
	اللسان	جبس متطبق
		جبس متطبق ومتبادل مع طفال
	سمه	رمل جيرى مع كوتلوميرات

شكل ٦ - ١ شكل توضيحي يبين الوضع الطبقي لتكو ين اللسان في منطقة دامية (١).

### References

1. Abed, A., 1985: Geology of the Damya Formation, Dirasat. 12 : 99-108.
2. Bender, F., 1975: Geology of the Arabian Peninsula, Jordan. Geol. Survey Professional Paper 560-I, Washington, 136 P.



## الفصل السابع

### المعادن الطينية

## المعادن الطينية

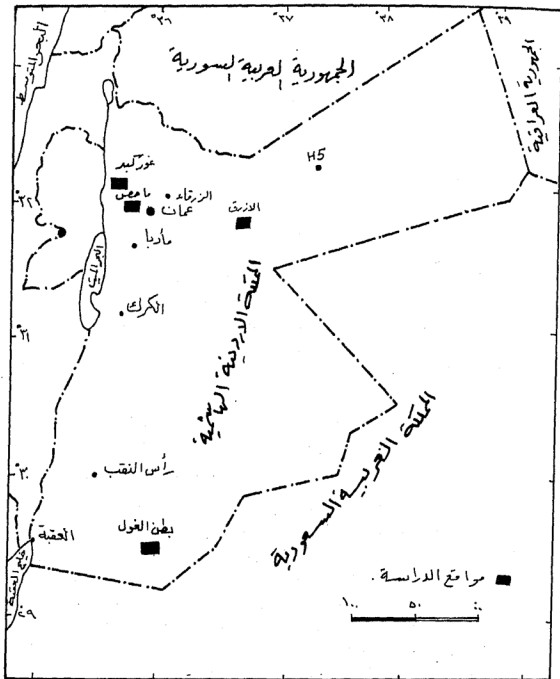
توجد خامات المعادن الطينية في الأردن بكثرة وهي متوافرة في التتابع الطبقي منذ العصر الباليوزوي حتى الحديث. ولقد قامت سلطة المصادر الطبيعية في السنوات العشرين الماضية بدراسات جيولوجية واقتصادية عديدة لبعض الخامات في مناطق ماحص وغوركبد والأزرق والرشادية والفجيج و بطن الغول. كما قام المؤلف بدراسة تفصيلية للمعادن الطينية الاقتصادية في ماحص وغوركبد والأزرق و بطن الغول (شكل ٧ - ١). وسوف نستعرض فيما يلي موجزاً لما تم من دراسات حتى الآن :-

### \* المعادن الطينية في وحدة الحجر الرملي الكرني

تتكشف طبقات الحجر الرملي الكرني في مناطق عديدة في شمالي الأردن حيث تعلوها وحدة الحجر الجيري العفدي التابع للعمر السينوماني، وتعلو هذه الوحدة الصخور الدولوميتية والجيرية التابعة للعصر الجوراسي. ولقد قام (Abed 1978, 1982) بدراسة هذه الصخور الرملية حيث وصف الحجر الرملي بأنه ملون، وغير متماسك يتكون أساساً من الكوارتز أرينيت وتصل سماكة هذه الصخور الى ٣٠٠ م، و بين أن بيئة الترسيب هي نهريّة مع تداخلات بحرية قليلة استدل عليها من وجود طبقات رقيقة من الفحم وثلاث نطاقات من الجلوكونيت Glauconite. وكذلك فإن وجود العنبر Amber في طبقات مختلفة من العصر الطباشيري الأسفل يدل على تقدم المياه البحرية المتكرر على المناطق الساحلية (1979 Bandel and Haddadin). وتوجد المعادن الطينية في معظم الأحيان على شكل عدسات أو طبقات مستمرة بين صخور الحجر الرملي الملون وتصل سماكتها في بعض الأحيان الى عدة أمتار. وقد تبين في دراسات قام بها المؤلف عن المعادن الطينية الموجودة في الحجر الرملي الكرني في مناطق ماحص وغوركبد (Khoury and Khalil, 1986) أن هناك تشابهاً كبيراً بين خامات المعادن الطينية في مناطق ماحص وغوركبد من حيث التركيب المعدني والكيماوي والوضع الجيولوجي. لقد كان Ibrahim, 1965 أول من ذكر امكانيات توافر خامات المعادن الطينية وبكمية اقتصادية في مناطق غوركبد و ماحص. وفي عام ١٩٧٠ قامت سلطة المصادر الطبيعية بدراسات جيولوجية واقتصادية على خامات ماحص وقدر الاحتياطي بحوالي ٢ مليون طن متري (Hall and Nimry, 1970). أما في منطقة غوركبد فلقد قدر الاحتياطي بحوالي ٥٠ ألف طن متري. وتقوم الشركة العامة للتعدين حالياً باستخراج خامات الصلصال من منطقة ماحص.

### جيولوجية مناطق ماحص وغوركبد

ان التراكيب الجيولوجية الموجودة في المناطق من ماحص وحتى غوركبد هي عبارة عن صدوع عادية تتجه شمال جنوب بميل يصل الى ٦٠° وتوجد الخامات الطينية في طبقتين رئيسيتين في منطقة ماحص وتتراوح سماكة الطبقة العليا بين ٦ - ١٢ م ومعدل سماكة



شكل ٧-١ خريطة تبين خامات المعادن الطينية الاقتصادية

الثانية السفلى حوالي ١٦م، أما في منطقة غوركبد فتتراوح سماكة الطبقات الطينية بين ١٠ - ٢٠م. ويبين الشكلان (٧-٢) و (٧-٣) التتابع الطبقي لوحده الحجر الرملي الكرنبي من العصر الطباشيري الأسفل في مناطق ماحص وغوركبد. ويبين الشكل (٧-٤) بيئة الترسيب لعينات مختلفة من الحجر الرملي والسلتي والطيني من تلك المناطق حيث يظهر بوضوح بيئة الترسيب النهرية. ولقد أثبت المؤلف<sup>(١٧)</sup> Khoury, 1974 باستخدام التحليل الكمي للبورون بأنه يتركز في الحجم ٢ - ٢٠ ميكرون وليس بالحجم أقل من ٢ ميكرون، وقد كان سبب تركيز البورون بالأجزاء الحبيبية المختلفة راجعاً إلى الفيلدسبار والميكا وليس نتيجة لامتصاص من ماء البحر المالح مما أدى إلى الاستنتاج بأن الخامات الطينية في منطقة ماحص ترسبت من مياه عذبة.

### التركيب المعدني والكيمائي للمعادن الطينية

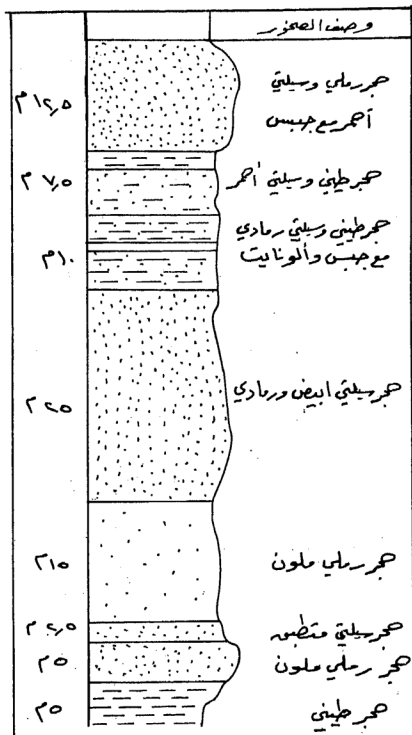
بينت الدراسة البتروغرافية لعينات من الصخور الطينية من مناطق ماحص وغوركبد درجة التشابه العالية لتلك الخامات من حيث التركيب المعدني والنسيج حيث تتكون أساساً من المعادن الطينية والكلوراز. وتظهر هذه الدراسة بوضوح درجات التفكك والتغير لمعادن الفيلدسبار والبيوتيت إلى سيريسيت ومعادن طينية أخرى. ويبين الشكلان (٧-٥) و (٧-٦) الدرجات المختلفة للتغير إلى المعادن الطينية التي تصل نسبتها إلى أكثر من ٥٠% من المحتوى المعدني. وتوجد معادن ثانوية مثل البيريت والهيماتيت والكالسيت والجبس والالونيات مصاحبة لبعض العينات الطينية. أما المعادن الثقيلة المصاحبة فهي المعادن المعتمدة والزركون والروتايل والاناتيز والتورمالين والاباتيت (شكل ٧-٧).

ومما يجدر ذكره أن العينات الطينية غنية بالمواد العضوية التي يعتقد بأنها لجنتية وخاصة في طبقة الطين السفلى في منطقة ماحص.

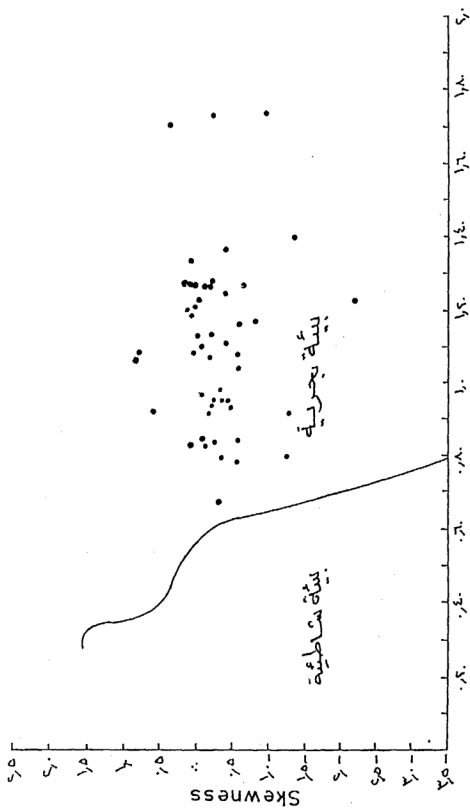
ويعد معدن الكاولينيت المكون الأساسي لخامات ماحص وغوركبد. ولقد بينت الدراسة بواسطة الأشعة السينية الحيودية للحجم أقل من ٢ ميكرون بأن الكاولينيت ذو درجة عالية من التبلور (شكل ٧-٨) وأن المعادن الطينية الأخرى المصاحبة هي المسكوفيت - إليت ومختلط الطبقات إليت / سميكتيت. ويبين شكل (٧-٩) السلوك الحراري لمعدن الكاولينيت من منطقة ماحص حيث يصبح المعدن غير متبلور على درجة حرارة (٥٥٠)°م وذلك لفقدان مجموعة الهيدروكسيل من التركيب البلوري. وتبين الدراسة بواسطة الأشعة تحت الحمراء بأن الكاولين على درجة عالية من التبلور (شكل ٧-١٠) وتبين صور الميكروسكوب الإلكتروني الشكل السداسي الكاذب داخل بلورات الميكا الكبيرة (شكل ٧-١١) وتوجد بلورات الهالوزيت الأسطوانية مع الكاولينيت (شكل ٧-١٢) ويبين شكل (٧-١٣) - ٧-١٤) النسج عالي المسامية في العينات الطينية من غوركبد وماحص ونمو بلورات الكاولين ذات الشكل السداسي الكاذب وجهاً لوجه على أسطح معادن المسكوفيت والاليت.

اسم بالشار	وصف الصخور
٢٣	حجر رملي رسيقي وطيفي ملون
٢٤	حجر رملي ابيض كلسي
٢١	حجر رسيقي ارجواني وابيض
٢٤	حجر رملي ضعيف التماسك بني متطهر
٢١	حجر طيفي رسيقي (طبقة خام العليا)
٢٣٥	حجر رملي غني بالحديد
٢١٦	حجر طيفي متغاير مع طبقات من الحجر الرملي من مواد عضوية وبيروني والزنكايت (طبقة الخام السفلي)
٢٤٥	حجر رملي بني

شكل ٧-٢ مقطع جيولوجي في منطقة ماحص.

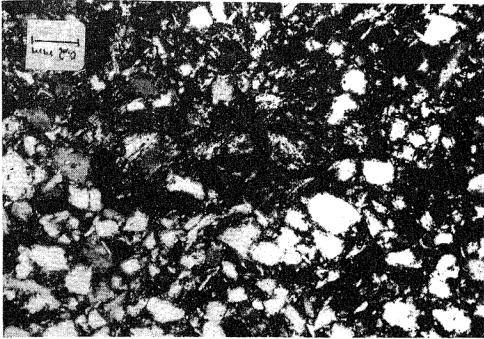


شكل ٧-٣ مقطع جيولوجي في منطقة غور كبد

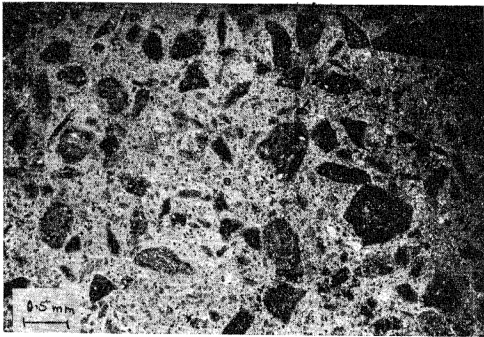


### البيوت العياري

شكل ٧-٤ بيئة الترسيب لصخور الطباشيري الأسفل

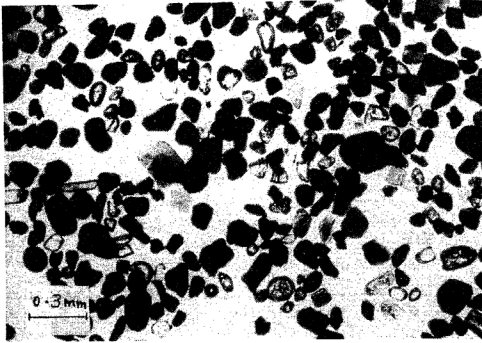


شكل ٧ - ٥ صورة مجهرية تبين المراحل المختلفة لعمليات التجوية فيلدسبار - ميك - كاولينيت.



شكل ٧ - ٦ صورة مجهرية تبين آثار الفيلدسبار وبقايا الكوارتز بعد تكون الكاولينيت.





شكل ٧-٧ صورة مجهرية تبين المعادن الثقيلة : الزركون والروتايل والتورمالين والمعادن المعتمة من وحدة الحجر الرملي الكرنيي.

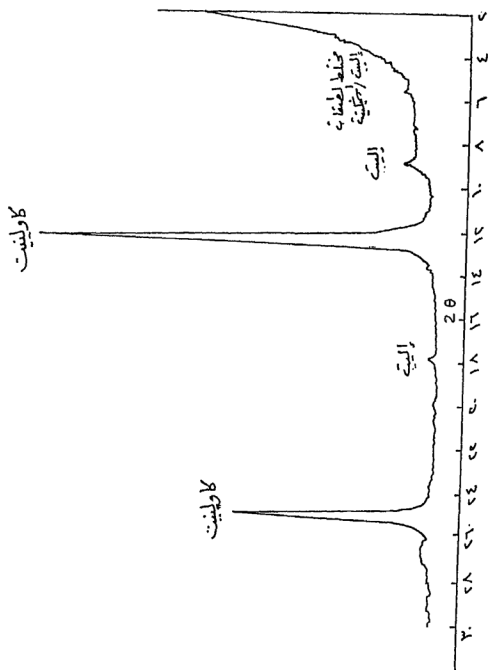
و يبين الجدولان (٧-١ و ٧-٢) معدل التركيب الكيماوي للعناصر الأساسية والنادرة في عينات طينية من الطبقتين الرئيسيتين للخام من منطقة ماحص. و يصل معدل أكسيد الألومنيوم في العينات الصخرية حوالي ٤ ر ٢٠٪ في الطبقة العليا وحوالي ١٨٪ في الطبقة السفلى، وتصل النسبة في الحجم أقل من ٢ ميكرون إلى ٤٠٪ و ٣٨٪ في الطبقات العليا والسفلى. ومما يجدر ذكره أن نسبة أكاسيد الحديد تزيد في الطبقة السفلى وتصل إلى ٥٪ في الحجم أقل من ٢ ميكرون. وتتشابه الطبقات الحاملة للمعادن الطينية إلى حد كبير في مناطق ماحص وغوركبد، وهناك تركيز لأكسيد التيتانيوم على شكل معادن منفصلة من الروتايل والأناتيز تتركز أيضاً في الحجم أقل من ٢ ميكرون. وكذلك فإن العناصر النادرة ربما تكون موجودة في التركيب البلوري للكاولينيت والليت إلا أن بعضها مثل الزركونيوم والأتريوم والنيكل والنيوبيوم قد يكون مصاحباً للمعادن غير الطينية مثل الزركون والفيلدسبار.

جدول (٧ - ١) معدل التركيب الكيماوي للأكاسيد المكونة لخامات الكاولينيت من منطقة ماحص

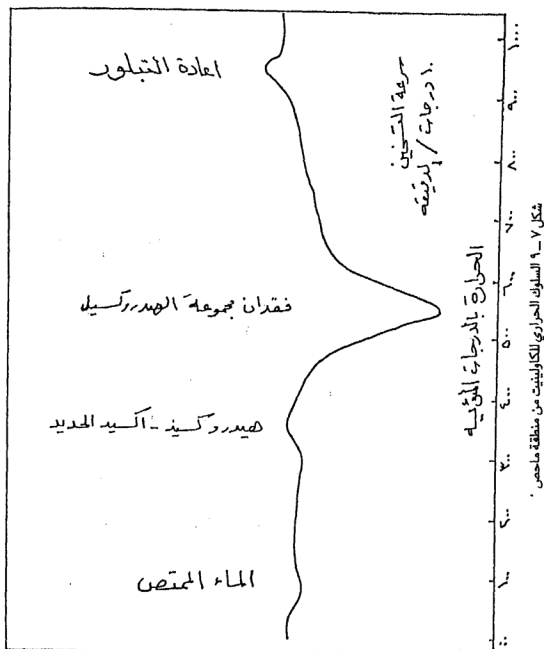
الأكاسيد %	الطبقة العليا		الطبقة السفلى	
	العينة الكلية	أقل من ٢ ميكرون	العينة الكلية	أقل من ٢ ميكرون
SiO <sub>2</sub>	72.77	52.87	72.66	53.09
Al <sub>2</sub> O <sub>3</sub>	20.36	40.04	17.94	37.59
Fe <sub>2</sub> O <sub>3</sub>	1.29	1.90	3.76	4.68
TiO <sub>2</sub>	2.23	2.18	2.62	1.97
CaO	1.78	.36	1.19	0.36
MgO	0.55	.36	0.59	0.41
Na <sub>2</sub> O	0.13	.21	0.14	0.6
K <sub>2</sub> O	0.69	1.34	0.73	1.46
P <sub>2</sub> O <sub>5</sub>	0.09	0.10	0.12	0.10

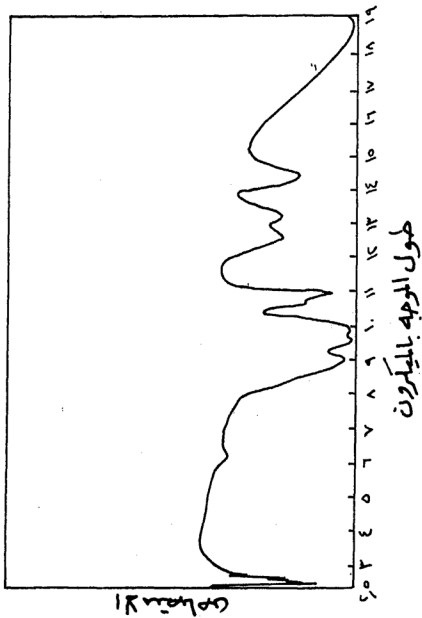
جدول (٧ - ٢) معدل التركيب الكيماوي للعناصر الشحيحة لخامات الكاولينيت من منطقة ماحص  
( جزء بالمليون )

العناصر	Ba	Ce	Co	Cr	Cu	La	Nb	Ni	Pb	Rb	Sc	Sr	Th	V	Y	Zn	Zr
الطبقة العليا	239	113	8	87	40	137	61	47	15	16	18	175	20	85	57	21	659
الطبقة السفلى	269	128	7	105	72	167	55	47	28	23	21	186	15	180	59	13	560
الطبقة العليا	345	166	7	132	71	205	34	38	36	68	23	258	19	110	29	30	182
الحجم أقل من ٢ ميكرون																	
الطبقة السفلى	395	173	9	128	91	202	39	36	42	75	26	301	12	156	35	32	208
الحجم أقل من ٢ ميكرون																	

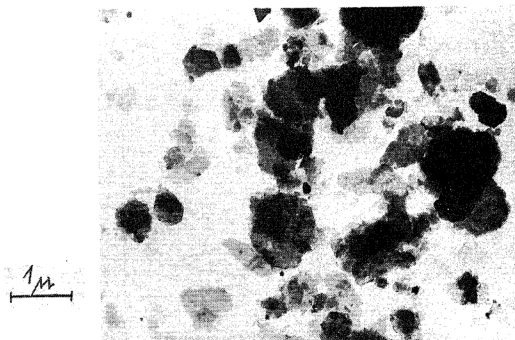


شكل ٧-٨ سجل الأشعة السينية الحيودية للمعادن الطينية من منطقة ماحص.

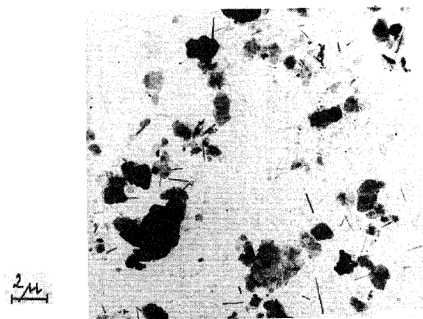




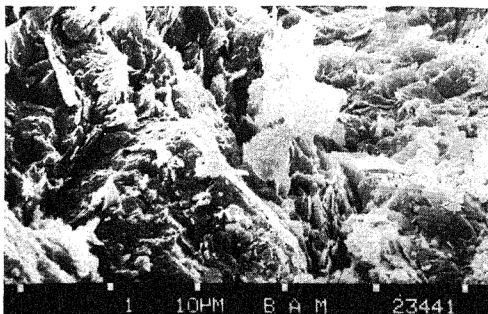
شكل ١٠-٧ طيف الأشعة تحت الحمراء للكاولييت من ماحص



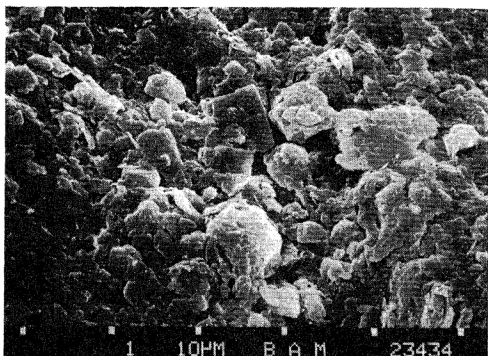
شكل ٧-١١ صورة بالمجهر الإلكتروني تبين الشكل السداسي الكاذب للكاولينيت ونمو بلورات الكاولينيت الصغيرة داخل بلورات الميكا الأكبر.



شكل ٧-١٢ صورة بالمجهر الإلكتروني تبين بلورات الهالوزيت الأسطوانية الشكل مع كاولينيت واليت.



شكل ١٢-٧ صورة بالمجهر الإلكتروني الماسح تبين نسيجاً عالي المسامية في العينات الطينية.

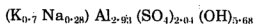


شكل ١٤-٧ صورة بالمجهر الإلكتروني الماسح تبين نمو بلورات الكاولينيت وجهاً لوجه على أسطح معادن المسكوفيت.

## نشأة الخامات الطينية في وحدة الحجر الرملي الكربني

ترسبت صخور هذه الوحدة الرملية والطينية على شكل حبيبات في بيئة نهريية (٢٠١٧، ١) (Khoury, 1974; Abed, 1978; Khoury, 1986) خلال فترة الكريتاسي (الطباشيري) الأسفل. وتتكون الصخور الطينية من الكوارتز ومزيج من المعادن الطينية. و يعتبر الكاولين هو المكون الأساسي للمعادن الطينية ثم السيريست - مسكوفيت كمكون جانبي، وهناك آثار من مختلط الطبقات إلـيت / سميكتيت، وبقايا معادن الفيلدسبار والبيوتيت في العينات الطينية. و يعتقد أن تكوين السيريست والكاولين كانت ضمن عمليات التجوية الكيماوية لمعادن الفيلدسبار والميكا التي ترسبت ميكانيكياً منذ البداية مع معادن الكوارتز والكاولين. ان وجود المواد العضوية وطبقات الفحم الرقيقة في الطبقات العليا (٢٠١١) (Abed, 1982) أدى الى تكوين ظروف حامضية في المياه المتخللة التي ساعدت في عمليات التجوية الكيماوية لبلورات الميكا والفيلدسبار وذلك بعد عمليات الترسيب الميكانيكي. وبالتالي فإن جزءاً من الكاولينيت في الحجر الرملي الكربني هو نتيجة للتجوية الكيماوية. ومما يؤكد شدة التجوية الكيماوية ترسيب معادن ثانوية مثل الألوانيت المنتشر بكثرة مع الطبقات الطينية وذوبان الحديد من المعادن الغنية بالحديد مثل الجلوكونيت والبيوتيت الموجودة في طبقات أعلى وترسبها على شكل أكسيد أو كبريتيد فوق مستوى المياه الجوفية أو تحته.

و يوجد معدن الألوانيت على شكل عدسات أو طبقات رقيقة أو مختلطاً مع الكاولينيت. و يبين شكل ٧-١٥ الألوانيت من منطقة غوركبد. و يتميز بوجود أحلال بين البوتاسيوم والصوديوم (Khoury, 1987) (٢١) كما هو مبين في المعادلة التالية: —

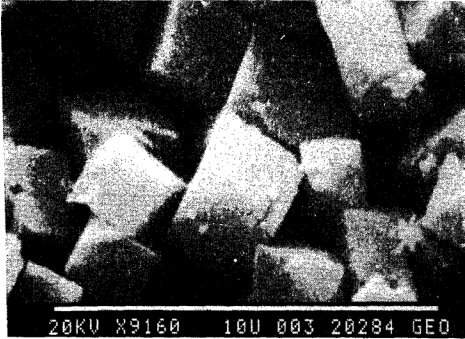


ومما يجدر ذكره أن الألوانيت ترسب نتيجة تفاعل حامض الكبريتيك المتخلل الى أسفل (الناتج عن عمليات أكسدة البيريت) مع الكاولينيت والليت.

## \* المعادن الطينية في منطقة الأزرق

تتكشف الرواسب الطينية على السطح قرب قرية الدروز في منطقة الأزرق، بينما تعلوها طبقات رقيقة من المارل والطين الرملي في مناطق أخرى. وتتراوح سماكة الخامات الطينية بين ١ - ٥ م. ولقد قامت سلطة المصادر الطبيعية (١٩٨١) (Darwish, 1974; Haddadin, 1974) بدراسة لهذه الخامات تبين منها أنها من النوع بنتونيت (الاسم التجاري لأي خام طين تصل فيه معادن السميكتيت القابلة للانتفاخ الى ٧٠٪)، وأن الاحتياطي يصل الى عشرة ملايين طن متري.



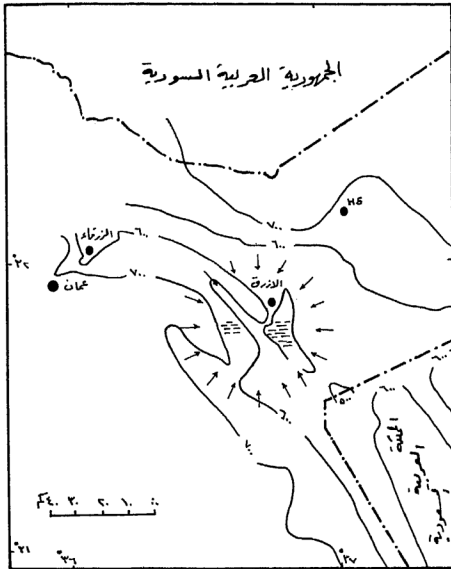


شكل ٧-١٥ بلورات الونائيت معينة الشكل من منطقة غور كبد.

### جيولوجية منطقة الرواسب الطينية

يقع منخفض الأزرق على بعد ١١٠ كم شرق عمان و يصل ارتفاعه الى ٥١٠ م فوق سطح البحر، والمنطقة منبسطة وتعتبر حوضاً مغلقاً يتجه شمال غرب - جنوب شرق. والطقس في تلك المنطقة جاف حيث أن معدل سقوط الأمطار يصل الى (٨٠) مم فقط، و ينساب عدد من الينابيع ذات درجات الملوحة المختلفة الى المنخفض الذي تصل اليه المياه أيضاً من التلال المجاورة<sup>(١)</sup> (شكل ٧-١٦؛ Arsalan, 1976). و يعتبر منخفض الأزرق الجزء الشمالي لمنخفض وادي سرحان حيث يمتلئ بالرواسب المختلفة من الصخور المحيطة والتابعة لعصر بلايستوسين. و يحتوي الجزء العلوي (٢٠ م) الذي يعلو الحجر الرملي والكونجلوميرات على الرواسب الطباقية الرملية البنية اللون من عصر هولوسين تقطعها طبقات من الجبس والصخر الملحي والمارل، وتحيط الصخور البركانية البازلتية من عصر البلايستوسين الجزء الشمالي من منخفض الأزرق، وتمتد شمال شرق المنطقة حيث تغطي مساحة ٨٥٠٠ كم<sup>٢</sup> وتصل سماكتها الى ١٥٠ م<sup>(٨)</sup> (Boom and Suwwan, 1966). وتتكشف صخور الحجر الجيري الصواني من

عمر باليوسين – إيوسين إلى الغرب من المنخفض، أما إلى الشرق فتتكشف طبقات من الحجر الجيري والرملي لتبين طبقات الصوان والمارل من العصر نفسه، وتغطي المنطقة إلى الجنوب بالحصي الحديث. ويعتقد (Bender, 1974) أن منخفض الأزرق تكون نتيجة هبوط بدون وجود صدوع رئيسية في حلبة السينوزوي حيث تكونت بحيرة خلال عصر بليستوسين ترسب منها الملح الصخري والجبس وذلك خلال نهاية عصر بلايستوسين (and Dajani, 1964) (Gruneberg



شكل ٧-١٦ منخفض الأزرق واتجاه المياه المغذية.

## التركيب المعدني والكيمياوي

تتكون المعادن غير الطينية المصاحبة لخامات الأزرق من الكالسيت والكوارتز والفيلديسبار بنسب متفاوتة تتراوح بين ٢٠ - ٥٠٪، أما المحتوى الأساسي من المعادن الطينية فهو مختلط الطبقات إليت / سميكتيت (نسبة طبقات السميكتيت ٧٠٪). وتوجد معادن الاليت والكاولينيت كمعادن جانبية بنسب مختلفة وفي حجم أكبر من ١/٢ ميكرون حيث يمكن التخلص منها بسهولة بطرق الفصل الميكانيكية. و يبين شكل ٧-١٧ نتائج الأشعة السينية الحيودية لعينات طينية من منطقة الأزرق (أقل من ١/٢ ميكرون) حيث يظهر مختلط الطبقات إليت / سميكتيت كمكون أساسي. ومما يجدر ذكره أن من نواتج تجوية البازلت ومكونات رواسب حوض الأزرق الطينية النوع مختلط الطبقات إليت / سميكتيت. و يبين جدول ٧-٣ التركيب الكيماوي لعينتين أحدهما من نواتج تجوية البازلت والثانية لعينة طينية نقية من الأزرق. وكما هو واضح من التحليل الكيماوي فإن الحديد  $Fe^{+3}$  الذي يوجد في الطبقات ثمانية الأوجه في الاليت / سميكتيت هو المكون الأساسي لنواتج تجوية البازلت ويصل الى حد تسميتها نونترونيت Nontronite. أما المعادن الطينية من حوض الأزرق فلا

جدول ٧ - ٣ التركيب الكيماوي لعينات طينية من  
منطقة الأزرق

الاكاسيد.٪	1	2
SiO <sub>2</sub>	43.48	66.33
Al <sub>2</sub> O <sub>3</sub>	11.51	17.07
Fe <sub>2</sub> O	30.45	8.85
CaO	3.59	0.59
MgO	4.63	3.08
Na <sub>2</sub> O	3.48	1.46
K <sub>2</sub> O	0.89	2.62
	97.67	99.64

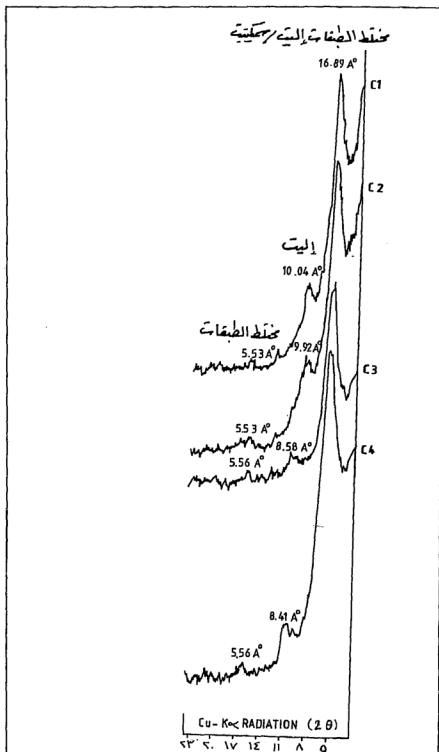
- ١ - عينة طينية من منخفض الأزرق
- ٢ - عينة طينية من نواتج تجوية البازلت

تصل الى ذلك الحد حيث يحل  $Fe^{+3}$  جزئياً محل الألمنيوم في الطبقات ثمانية الأوجه. وعلى أية حال فإن طبقات معدن الاليت / سميكتيت Illite/Smeectite غير منتظمة كما هو مبين في شكل ٧-١٧ وذلك لوجود انعكاسات غير منتظمة للأشعة السينية من المستويات العمودية على المحور جـ الرأسي في البلورات، ودلت الدراسات التي قام بها (Khoury, 1980) (١٨) على أن الطبقات ثمانية الأوجه تحمل شحنة سالبة عالية حيث تنقلص الطبقات الى تركيب مشابه للاليت عند تشبعها بالبوتاسيوم.

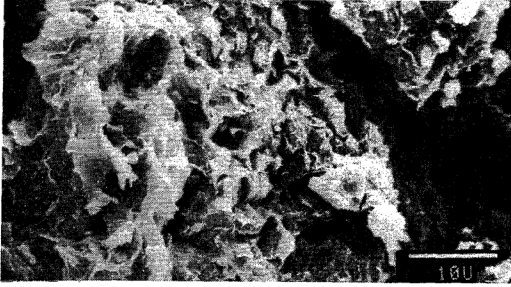
### نشأة الرواسب الطينية في الأزرق

نتيجة للدراسة التي قام بها المؤلف (Khoury, 1980) (١٨) فإن معظم المعادن الطينية المترسبة في حوض الأزرق هي ناتج للتجوية الكيماوية للصخور البركانية البازلتية المحيطة بالمنطقة حيث انتقلت النواتج المعدنية وترسبت في بحيرة الأزرق ميكانيكياً. ولقد استمرت عمليات التجوية الكيماوية ونمو البلورات كما زادت نسبة الطبقات القابلة للتمدد والانتفاخ في المعدن مختلط الطبقات وذلك بعد عمليات الترسيب. وتدل صورة الميكروسكوب الألكتروني (شكل ٧-١٨) على النمو المتواصل لبعض بلورات إليت / سميكتيت مما يؤكد التغيرات المعدنية بعد الترسيب وامكانية نمو بلورات جديدة من المحاليل المتخللة.

ان قابلية هذه المعادن للانتفاخ، وقدرتها على اِحلال الأيونات والمواد العضوية تطبيقات صناعية في مجالات مختلفة. وتجري حالياً أبحاث في كلية الزراعة بالجامعة الأردنية لغرض خلط المعادن الطينية من الأزرق مع الأعلاف المختلفة وذلك لأغراض التسمين.



شكل ٧-١٧ نتائج تحليل الأشعة السينية الحيودية لعينات طينية مشبعة بالجلسرين حيث تظهر الانعكاسات القاعدية لمعدن مختلط الطبقات إليت / سمكيت.



شكل ٧-١٨ صورة بالمجهر الإلكتروني الماسح تبين طبيعة المعادن الطينية من منطقة الأزرق حيث تظهر بوضوح عمليات نمو المعادن الطينية بعد الترسيب.

#### × المعادن الطينية في منطقة بطن الغول

تقع منطقة بطن الغول على بعد ٦٥ كم جنوب - جنوب شرق معان في جنوبي الأردن وتغطي مساحة تزيد على ٧٥ كم<sup>٢</sup> (شكل ٧-١) ولقد ذكر (Bender, 1974; ١٩٧٥) أنه توجد طبقات متتابعة من الطفال والحجر السلتى من صخور حقبة الحياة القديمة في جنوبي الأردن. وفي عام ١٩٨٠ قامت سلطة المصادر الطبيعية بدراسات عديدة في بطن الغول تضمنت عمل حفر وأبار استكشافية اضافة الى رسم خريطة جيولوجية بمقياس ١: ٥٠,٠٠٠، ودراسة لعينات صخرية عديدة وتقدير الاحتياطي المثبت الذي يصل الى أكثر من ٤٣ ملايين طن متري من المعادن الطينية (Sasa and Taha, 1983) (٣١) ولقد اقترح (and Neville, 1980) (٣٢) Futian البيئة البحرية لترسيب هذه الخامات وذلك باستخدام بقايا الباليئومورف Palynomorph.

#### جغولوجيا منطقة بطن الغول

يبين الشكل ٧-١٩ مقطعاً طبقياً عاماً لمنطقة بطن الغول (من الصخور المكتشفة وحفر الآبار) حيث تغطي الرواسب الحديثة التابعة للعصر الرباعي صخور العصر الطباشيري، حيث يكون الجزء العلوي (الطباشيري العلوي) بقايا طبقات وحدة الحجر الجيري والفوسفوريت، أما الجزء السفلي (الطباشيري السفلي) فيتكون من حوالي ٣٠ م من

الارتفاع	المقياس	الوصف	رواسب وديان
١٩٠	الطبقات الرملية		فوسفاتية ودهنية أولية متبادلة مع الحجر الجيري والصوان والملح
١٨٠	الطبقات الرملية		حجر رمل ملون وكثيف (التراب)
١٧٠	الطبقات الرملية		طبقات متبادلة (١٠-١٥ سم) من الحجر الرمل الطين والطين (وحده الحجر الرملي النوبي)
١٦٠	الطبقات الرملية		طبقات متبادلة من الطين والطفال والحجر الجيري - الجزر الأسفل طيف يتوحيث (وحده الطفال - الطين)
١٥٠	الطبقات الرملية		طبقات متبادلة من الحجر الرملي والطين الطين (وحده الحجر الرملي النوبي)

شكل ٧-١٩ مقطع عام يمثل التتابع الطبقي في منطقة بطن الغول.

الحجر الرملي الملون تعلو حوالي ٤٠ م من الحجر الرملي الكتلي الأبيض الذي يعلو وحدة الحجر الرملي النوتليدي (٢٠ م). وتتبع وحدة الطفال – الطين التي توجد فيها نسبة عالية من المعادن الطينية العصر السيلوري السفلي، وتتكون أساساً من طبقات طينية – سلتية غنية بالميك، ولقد اختزنتها الحفر الاستكشافية على عمق ٧٥ م حيث تبين أن الجزء السفلي هو بيتيوميني يعلو وحدة الحجر الرملي الكونيولاري التابع للعصر الأوردوفيشي العلوي – السيلوري السفلي.

وتتركز في الجزء الغربي من المنطقة مجموعتان من الصدوع تتجه شمال غرب – جنوب شرق، وشرق غرب. ولقد قام (Khoury and El-Sakka, 1986) بدراسة التركيب المعدني والكيمائي لخامات المعادن الطينية.

### التركيب المعدني والكيمائي:

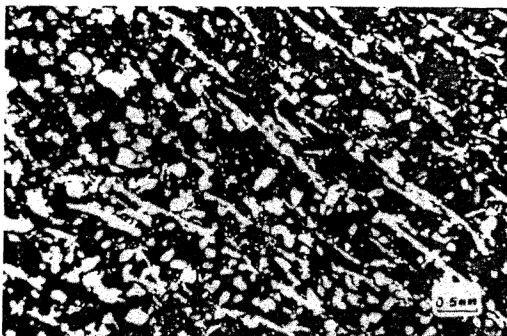
يتراوح معدل نسبة المحتوى الرملي والسلتي والطيني في الجزء الذي يعلو طبقات الحجر الطيني البيتيوميني ٣ – ١٠٪ و ٢٩ – ٧٩٪ و ١٢ – ٢١٪ على التوالي. حيث يطغى الحجم السلتي على بقية الأحجام، و يزداد في منطقة بطن الغول باتجاهات شرق وجنوب شرق حيث يوجد الكوارتز والفيلدسبار و المسكوفيت (السيريست) والبيوتيت وأكاسيد الحديد والكلوريت والزركون والروتايل والتورمالين كمكونات أساسية وجانبية ونادرة في وحدة الطفال – الطين. و يظهر الكوارتز كمعدن متآكل متأثر بالتغيرات بعد الترسيب، أما الفيلدسبار فهو شديد التجوية إلى سيريست ومعادن طينية على الرغم من وجود بلورات البلاجيوكليز ضعيفة التجوية. و يعتبر معدن المسكوفيت من المكونات الأساسية التي تظهر على شكل بلورات رقيقة وطويلة نامية على حساب الأرضية الطينية والمعادن غير الطينية، وتظهر بعض العينات بلورات المسكوفيت مختزقة لمعادن الكوارتز والفيلدسبار (شكل ٧ – ٢٠). أما البيوتيت فيتجوى إلى كلوريت وأكاسيد الحديد التي توجد أيضاً على شكل حبيبي وكماشة لاحمة تحل محل المعادن الطينية. ولقد تم التعرف على الجبس كمعدن ثانوي إضافة إلى الكوارتز والفيلدسبار من ضمن مجموعة المعادن غير الطينية. أما المعادن الطينية فهي الكاولينيت والمسكوفيت والليت والكلوريت والفيرميكيوليت ومختلط الطبقات اليت / سميكتيت وسميكتيت. و يبين شكل (٧ – ٢١) نتائج دراسة بعض العينات بواسطة الأشعة السينية الحيدوية حيث يظهر الكاولينيت كمكون أساسي ثم المسكوفيت – ليت وكلوريت – فيرميكيوليت. و يبين شكل ٧ – ٢٢ نسبة المعادن الطينية وغير الطينية في إحدى الآبار المحفورة في المنطقة حيث تتراوح نسبة الكوارتز بين ٩ – ٢٩٪ والفيلدسبار (٢٠ – ٢٢٪) والمسكوفيت – ليت وفيرميكيوليت (٢٣ – ٢٥٪) والكاولينيت (٢٦ – ٤٢٪). و يبين شكل ٧ – ٢٣ السلوك الحراري للمعادن الطينية لبعض العينات من منطقة بطن الغول حيث يستدل بأن الكاولينيت هو المكون الأساسي. وتزداد نسبة الماء الممتص نتيجة وجود ليت / سميكتيت وفيرميكيوليت وجوشيت. وتظهر صورة الميكروسكوب الإلكتروني (شكل ٧ – ٢٤) طبيعة



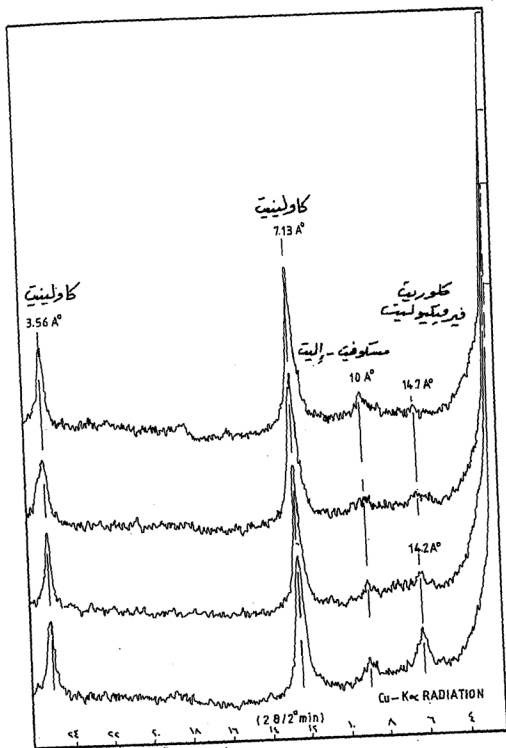
الرواسب الطينية في منطقة بطن الغول حيث تظهر المعادن الطينية باتجاه مواز لاتجاهات التطبيق. و يبين جدول ٧ - ٤ معدل التركيب الكيماوي للعينات الصخرية من ثلاث أبار محفورة في منطقة بطن الغول حيث تزداد نسبة أكسيد الألومنيوم ونقل نسبة أكسيد السيليكون على حساب المعادن الطينية. و يوجد أكسيد الحديد في الغالب على شكل حبيبي ممثلاً في معدن الجوثيت.

#### نشأة الرواسب الطينية في منطقة بطن الغول :

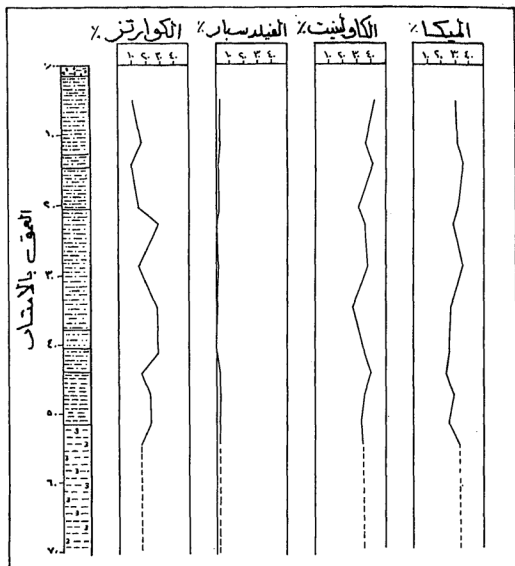
ترسبت المعادن الطينية وغير الطينية ميكانيكياً على شكل حبيبي في بيئة بحرية. ولقد كان مصدر هذه الرواسب الضخمة هو السطح الجوي لصخور القاعدة النارية والمتحولة الواقعة في شرقي وجنوب شرقي الأردن وسيناء. و يعتقد بأنها كانت ذات تركيب حامضي ومتوسط حيث انتقلت المعادن المختلفة التي كان الكاولين مكوناً أساسياً لها وترسبت ودفنت وتعرضت بعد الترسيب لجميع التغيرات. و يظهر هذه التغيرات في تجوية الفيلدسبار الى سيريسيت ثم كاولينيت وتآكل الكوارتز ونمو بلورات المسكوفيت في اتجاه التطبيق ووجود الكلوريت والفيرميكلوليت كناتج ثانوي من تجوية البيوتيت بعد الترسيب.



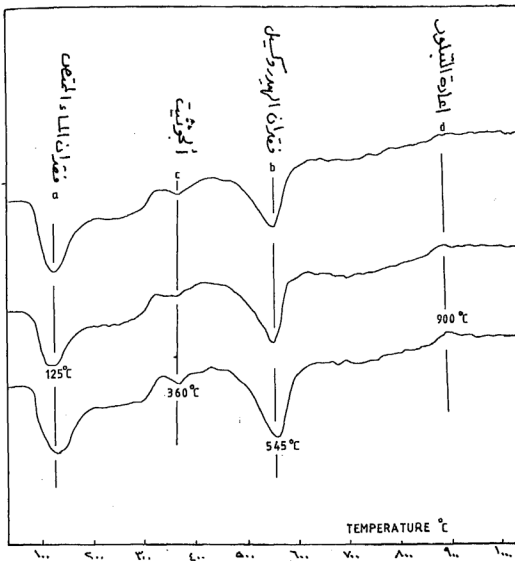
شكل ٧ - ٢٠ صورة مجهرية تبين نمو بلورات المسكوفيت باتجاهات شبه متوازية على حساب الأرضية الطينية والمعادن غير الطينية.



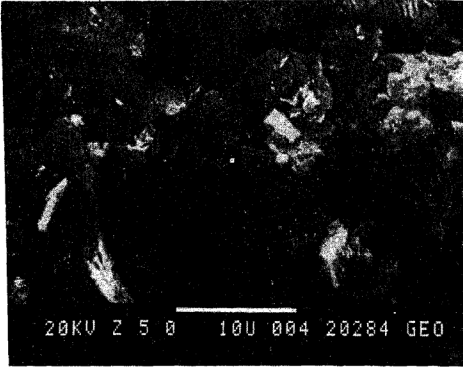
شكل ٧-٢١ نتائج دراسة الأشعة السينية الحيودية لبعض العينات الطينية من منطقة بطن الفول.



شكل ٧- ٢٢ نسبة المعادن في إحدى الآبار المحفورة في منطقة بطن الغول.



شكل ٧ - ٢٣ السلوك الحراري للمعادن الطينية لبعض العينات من منطقة بطن الغول.



شكل ٧ - ٢٤ صورة بالمجهر الإلكتروني الماسح للمعادن الطينية من منطقة بطن الغول.

#### \* رواسب المعادن الطينية الأخرى:

##### ١ - الرواسب الطينية في مناطق الرشادية والفجيج

توجد خامات من المعادن الطينية في الجزء السفلي من وحدة الحجر الجيري العقدي التابع للعصر السينوماني (الطباشيري العلوي) في منطقة الرشادية جنوب الطفيلة على شكل طبقات متبادلة مع طبقات سميكة من الحجر الجيري المارلي.

وتقدر سلطة المصادر الطبيعية الاحتياطي بحوالي ١٠ ملايين طن متري. وكذلك توجد خامات من المعادن الطينية في منطقة الفجيج على الطريق الصحراوي بالقرب من الحسا - الحسينية في رواسب عصر البلايستوسين حيث تقدر سلطة المصادر الطبيعية الاحتياطي بحوالي ٢٠ مليون طن متري. وتحتاج هذه الخامات إلى دراسات تفصيلية من حيث التركيب المعدني والكيماوي والنزعة. و يبين جدول رقم ٧ - ٥ نتائج التحليل الكيماوي للخامات في مناطق الرشادية والفجيج (NRA, 1981).

جدول (٧ - ٤) معدل التركيب الكيماوي لعينات طينية من ثلاث آبار محفورة في منطقة بطن الغول

رقم البئر	SiO <sub>2</sub>	Al <sub>2</sub> O <sub>3</sub>	Fe <sub>2</sub> O <sub>3</sub>	TiO <sub>2</sub>	CaO	MgO	K <sub>2</sub> O	Na <sub>2</sub> O	LOI	المجموع
٣	54.3	21.1	7.2	1.6	0.2	1.4	2.7	0.5	10.8	99.8
١١	53.8	21.5	6.4	1.8	1.0	1.9	3.4	0.2	9.9	99.9
٦	61.3	14.8	7.8	1.2	0.5	1.3	3.6	0.9	8.8	100.2

جدول (٧ - ٥) التركيب الكيماوي لعينات طينية  
من مناطق الفجيج والرشادية<sup>(٢٥)</sup>

الأكاسيد %	الرشادية	الفجيج
Loss on Ignition	27.90	25.9
SiO <sub>2</sub>	28.35	34.7
Al <sub>2</sub> O <sub>3</sub>	6.30	7.12
Fe <sub>2</sub> O <sub>3</sub>	3.31	3.69
TiO <sub>2</sub>	0.53	0.67
MgO	1.51	1.56
CaO	31.05	26.11
SO <sub>3</sub>	0.12	0.15
Na <sub>2</sub> O	0.23	0.30
K <sub>2</sub> O	0.66	0.85
P <sub>2</sub> O <sub>5</sub>	0.02	0.03
Cl	0.01	0.02

## ٢. رواسب الباليجورسكيت والسيبوليت *Palygorskite and Sepiolite*

يوجد معدن الباليجورسكيت في تربة وادي الأردن (٢٨) (Wiersma, 1970) وفي الصخور الجيرية التابعة للعصر الطباشيري العلوي والرباعي (٢٨) (Shadfan and Dixon, 1984) وتزداد نسبة الباليجورسكيت في صخور العصر الرباعي الجيرية. ويعتقد بأن الباليجورسكيت الذي تزيد نسبته في التربة في الجزء الجنوبي من وادي الأردن قد انتقل من الصخور الأكثر قدماً المتكشفة على طول وادي الأردن. وفي دراسة حديثة قام بها (al, 1988) Khoury et على المعادن الطينية المصاحبة للفوسفات الأردني تبين أن الباليجورسكيت يوجد مصاحباً لفوسفات الشدية في جنوب الأردن حيث أن البيئة الجافة في تلك المنطقة ساعدت على عملية الترسيب الكيماوي للباليجورسكيت. و يوجد الباليجورسكيت في الجزء العلوي من التربة في حوض الأزرق حيث تبين من دراسة إحدى الآبار (١١) (حمزة ٤) (Faraj, 1988) أن الباليجورسكيت موجود في نطاقين على أعماق ٧م و ٥٥م بسمك ٥م و ١٠م حيث يبدو من الدراسات الأولية أنه ذو أصل كيماوي.

و يحتاج معدن الباليجورسكيت في الأردن الى دراسات معدنية وكيماوية أخرى لأغراض ايجاد خامات اقتصادية.

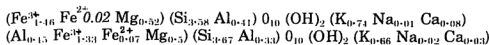
أما السيبوليت فموجود مع الدولومايت في منطقة سبخة طابا على بعد ٤٥ كم شمال العقبة. ويقوم الباحثان عبد القادر عابد وزايد الحوري بدراسة هذه السبخة التي ما تزال قيد الدراسة.

## ٣. الرواسب الطينية على طريق العارضة - الغور

توجد طبقات من الطفال ذي اللون البني على طريق العارضة - الغور التي تتبع للعصر الجوراسي حيث تستخرج لأغراض الصناعات الخزفية. وتتكون هذه الطبقات من معادن الكاولينيت والليت إضافة الى الكالسييت والدولومايت والجبس، وتحتاج هذه الرواسب الى دراسات تفصيلية.

## ٤. الجلوكونيت *Glaucanite*

يتوافر الجلوكونيت في صخور الحجر الرملي الكرنبي التابع للعصر الطباشيري الأسفل. ولقد قام (٢٩) (Abed and Mansour, 1982) بدراسة توزع هذا المعدن، فوجدا أنه يتركز في ثلاثة مستويات : سفلي ومتوسط بيد أن من شمالي الأردن و ينتهيان في منطقة عمان، وعلوي يمتد من أقصى شمالي الأردن وحتى منطقة رأس النقب حيث تقل نسبة الجلوكونيت كلما اتجهنا جنوباً. و يوجد الجلوكونيت على شكل حبيبي وأولييتي، و يتركب من مختلط الطبقات (ليت / سميكتيت). وتبين المعادلات التركيبية التالية التي وردت في البحث المذكور أعلاه طبيعة الجلوكونيت الغني بالحديد الثلاثي الذي يدل عادة على بيئة ترسيب بحرية



## ٥. الزيولايت Zeolites

لقد تم اكتشاف الزيولايت لأول مرة في الأردن بواسطة (Dwairi, 1988) في جبل الأرتين البركاني والمناطق القريبة في شمال شرقي الأردن حيث توجد الكثير من الرواسب البركانية مختلفة الأحجام ذات التركيب البازلتي. ويبدو أن عمليات التجوية الكيماوية تحت الظروف القلوية هي المسؤولة عن تكون البلاجونيت Palagonite والزيولايت. ويتكون الزيولايت في الأرتين من معدن الفيلبسيت Phillipsite كمكون أساسي، والشابازيت Chabazite والفوجاسيت Faujasite كمعادن مصاحبة.

ويمكن اعتبار مناطق شمال شرقي الأردن البازلتية هدفاً للبحث عن معادن الزيولايت التي يمكن أن تكون خامات اقتصادية.

## References

1. Abed, A., 1978: Deposition environments of the Kurbub (Lower Cretaceous) sandstones: I.A Coal horizon at the lower most Kurnub in north Jordan. Dirasat, 5 : 31-44.
2. Abed, A., 1982: Depositional environments of the early Cretaceous Kurnub (Hathira) sandstones, north Jordan. Sediment. Geol., 31: 267-279.
3. Abed, A., and Mansour, H., 1982: Petrography and chemistry of some lower Cretaceous glauconites from Jordan. Dirasat, 9: 67-80.
4. Arsalan, F., 1976 : Geologie und Hydrogeologie der Azraq-Depression. Diss. Technische Hochschule Aachen, 85p.
5. Bandel, K., and Haddadin, A., 1979: The depositional environment of Amber-bearing rocks in Jordan, Dirasat, 6: 36-65.
6. Bender, F., 1974: Geology of Jordan. Beitrage zur Regionalen Geologie der Erde. Gebruder Borntraeger Pub., Berlin, 196 P.
7. Bender, F., 1975: Geology of the Arabian Peninsula and Jordan. U.S. Geol. Surv. Prof. Paper., Washington, 560-I.
8. Boom, G., and Suwwan, O., 1966: Report on geological and petrological studies on the Plateau-Basalts in NE Jordan. GGM. Archiv BGR, Hanover.
9. Darwish, J. 1978: Investigation of Azraq clays. NRA - Internal Report, 18 P.
10. Dwiri, M., 1988: Generation of zeolite from alteration of basaltic glass from Jebel Aritain volcano. The Third Jordanian Geological Conference, Amman, P 30.



11. Faraj, B., 1988 : Palygorskite and its possible economic value in Azraq Başın, NRA, Internal Report. 13 P.
12. Futian, A. and Neville, R., 1980: Palynological analysis of seven samples from Batn El-Ghoul. 2 and 3 boreholes submitted by JEBCO Petroleum Development, Rep. 4472 P/F.
13. Gruneberg, F., and Dajani, 1964: The soils of Azraq area. GGM, Archiv BGR, Hanover.
14. Haddadin, M., 1974: Possibilities of bentonite in Jordan. NRA, Internal Report, 24P.
15. Hall, P., and Nimry, Y., 1970: The Mahis clay deposits, NRA, Internal Report, Amman.
16. Ibrahim, H., 1965: Geology and possibilities in the area between Mahis and Ghor Kabid. NRA, Internal Report, Amman.
17. Khoury, H., 1974 : Boron in Mahis clays as a paleoenvironmental indicator, Dirasat, 1:97-103.
18. Khoury, H., 1980: Mineralogy and origin of Azraq clay deposits, Jordan, Dirasat, 7: 21-31.
19. Khoury, H., 1981: The kaolin deposits of Mahis area, Jordan. Dirasat, 8: 69-84.
20. Khoury, H., 1986: Depositional environment and diagenesis of the lower part of the Kurnub Sandstone Formation (lower Cretaceous), Mahis area, Jordan. Sediment. Geol., 49: 129 - 141.
21. Khoury, H., 1987: Alunite from Jordan., N.Jb. Miner. Mh., 9:426-432.
22. Khoury, H., and Khalil, K., 1986: Ghor Kabid clay deposits, Jordan, Dirasat, 13: 249-260.
23. Khoury, H., and El-Sakka, W., 1986: Mineralogical and industrial characterization of the Batn El-Ghoul clay deposits, southern Jordan. App. Clay Sci., 1: 321-351.
24. Khoury, H., Al-Hawari, Z. and El-Suradi, S., 1988: Clay minerals associated with Jordanian phosphates and their possible industrial utilization. Appl. Clay Sci., 3: 111 - 121.
25. NRA, 1981: Mineral occurrences in Jordan, NRA Internal Report, Amman.
26. Sasa, A., and Abu Taha, I. 1983: Batn El-Ghoul clay and its future utilization. NRA, Internal Report. Amman.
27. Shadfan, H., and Dixon, J. 1984 : Occurrence of palygorskite in the soils and rocks of the Jordan Valley, Developments In Sedimentology. 37: 187 - 199.
28. Wiersma, J., 1970: Provenance, genesis, and paleogeographical implications of microminerals occurring in sedimentary rocks of the Jordan Valley area. Fysisch-geografisch, Amsterdam.



الفصل الثامن

رمل الزجاج

## رمل الزجاج

تحتاج صناعة الزجاج الى مواد خام أهمها الرمل الأبيض النقي الذي يتراوح حجمه بين ١٠٠ - ٣٦٠ ميكرون، أما المواد الخام الأخرى فهي الدولومايت والفيلدسبار والصودا (كربونات الصوديوم) وسلفات الصوديوم. ويوجد مصنع للزجاج في معان ينتج حالياً الزجاج الشفاف والملون بسماعات مختلفة تتراوح بين ٢ - ١٠ مم. وتبلغ نسبة ثاني اكسيد السيلكون في الرمل الخام المستعمل من قبل المصنع ٩٨٪ وفي الزجاج المصنع ٧٢٫٥٪، ويتوافر الرمل الأبيض بكميات اقتصادية ونوعية جيدة في مناطق عديدة أهمها منطقة رأس النقب جنوبي الأردن وقاع الديسي وقرب العقبة ووادي السيق على بعد ٧ كم شرق - جنوب شرق الغرندل (١٧) (Bender, 1968).

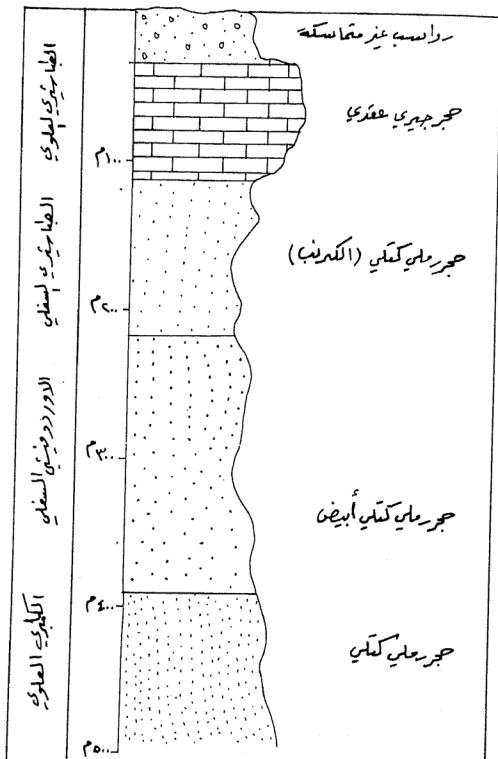
وقد قامت سلطة المصادر الطبيعية بدراسات عديدة للرمل الزجاجي في منطقة رأس النقب (١٧) (Nimry and Haddadin, 1970) كما قام (١١) Amirch, 1987 بدراسة جيولوجية تتابع الحجر الرملي النوبي في جنوبي الأردن. و يقوم حالياً El- Sakka بدراسة رمل الزجاج من منطقة رأس النقب. ويعتقد بأن بيئة الترسيب لتتابع الحجر الرملي متباعدة بين البيئات البحرية الضحلة والشاطئية والنهرية.

### جيولوجية طبقات رمل الزجاج :

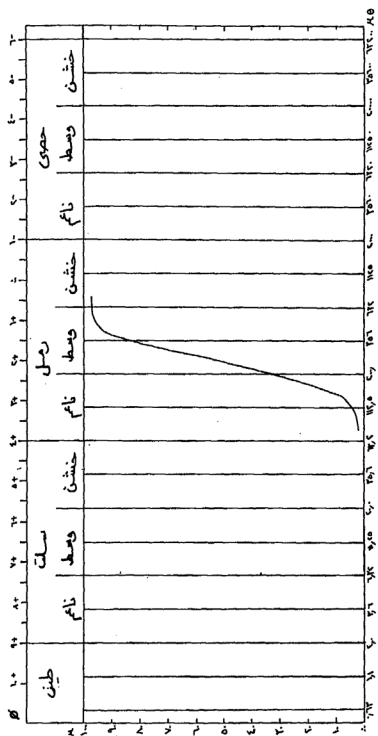
يوجد في منطقة رأس النقب ثلاث وحدات من الحجر الرملي النوبي هي وحدة الحجر الرملي الكتلي الأبيض من العصر الطباشيري الأسفل التي تعلو وحدة الحجر الرملي المتجوي الطبقي البني التابع للعصر للأوردوفيشي الأسفل. أما الوحدة السفلى فهي الحجر المتجوي الكتلي الأبيض التابع أيضاً للعصر الأوردوفيشي الأسفل. و يبين شكل ٨ - ١ التتابع الطبقي في منطقة رأس النقب.

### التركيب المعدني :

يعتبر رمل الزجاج متجانساً في حجم حباته حيث يغطي الحجم المتوسط على بقية الأحجام (شكل ٨ - ٢). و يتراوح متوسط الحجم بين ٢ - ٢٥٠ مم و يتكون رمل الزجاج أساساً من معدن الكوارتز Quartz ذي الحواف الزاوية والحادة والذي تصل نسبته الى أكثر من ٩٩٪. أما المعادن الأخرى النادرة والمصاحبة للكوارتز فهي المعادن الثقيلة زركون Zircon وروتايل Rutile وتورمالين Tourmaline وليكوكسين Leucoxene ومعادن معتمة opaques والمعادن التالية أناتاز Anatase وكيانيت Kyanite وأباتايت Apatite ومونازيت Monazite وأمفيبول Amphibole وإيدوت Epidot وجارنيت Granet ومسكوفيت Muscovite موجودة بكميات ضئيلة جداً.



شكل ٨ - ١ مقطع جيولوجي عام في منطقة رأس النقب.



ولقد دلت دراسة التركيب المعدني للحجم أكبر من ٦٢ ميكرون بأنه يتكون أساساً من الكوارتز، أما الأحجام أقل من ٦٢ ميكرون فتتكون من الكاولينيت إضافة إلى الكوارتز. وتوجد آثار نادرة لمعادن الكالسيت Calcite والفيلدسبار Feldspar والأنهيدريت Anhydrite والجبس Gypsum. و يبين الجدول ٨ - ١ التركيب الكيماوي للحجم الرمي الوسطللعينة ممثلة لرمل الزجاج من منطقة رأس النقب<sup>(١)</sup> (NRA, 1981)

ومما يجدر ذكره أن رمل الزجاج في الأردن ذو حجم وشكل مناسبين تماماً لصناعة الزجاج. وعادة ما يجب فصل الأحجام الأكبر من ٥ ر - مم والأصغر من ١ ر - مم في أغراض صناعة الزجاج. ويمكن استغلال الكاولينيت الناتج عن عمليات الفصل لأغراض صناعة الخزف.

#### نشأة رواسب رمل الزجاج :-

أوضح Amireh 1987<sup>(١)</sup> أن الرواسب الرملية في الفترة بين العصر الكامبري الأعلى والطباشيري الأسفل في جنوبي الأردن قد تعرضت إلى تجوية كيميائية شديدة في مناخ دافئ ورطب تحت ظروف تكتونية مستقرة وخاصة في منطقة صخور المصدر. ويستدل على تأثير التجوية الكيماوية من عدم وجود مادة لاحمة في الصخور الرملية البيضاء ووجود آثار لبقايا الفيلدسبار المتجوي إلى كاولينيت.

جدول (٨ - ١) : نتائج التحليل الكيماوي للحجم (١٠٠ - ٦٣٠)

ميكرون من عينة ممثلة لرمل الزجاج من رأس النقب<sup>(١)</sup>

Oxides	تنخيل رطب	تنخيل جاف
SiO <sub>2</sub>	98.69	98.74
Fe <sub>2</sub> O <sub>3</sub>	0.032	0.027
Al <sub>2</sub> O <sub>3</sub>	0.385	0.788
TiO <sub>2</sub>	0.056	0.061
P <sub>2</sub> O <sub>5</sub>	0.006	0.622
Na <sub>2</sub> O	0.054	0.002
K <sub>2</sub> O	0.023	0.015

### References

1. Amireh, B., 1987: Sedimentological and petrological interplays of the Nubian Series in Jordan with regard to paleogeography and diagenesis. Bswg. Geol. Palaont. Diss., Braunschweig, 232P.
2. Bender, F., 1968: Geologie Von Jordanien, 7, Beitrage zur Regionalen Geologie der Erde. Gebrüder Borntraeger, Berlin, 230 P.
3. Nimry, Y., and Haddadin, M., 1970:- Glass sand of Ras En Naqb. NRA. Internal Report, Amman.
4. NRA, 1981: Mineral occurrences in Jordan, NRA Internal Report, Amman.



الفصل التاسع

الجيبس

## الجبس

لقد ذكر الجبس في الأردن في أبحاث (Burdon, 1959; Ruef and Jeresat, ١٩٦٢, ١٩٦٣, ١٩٦٤)

1965; Bender, 1974; Bandel and Khoury, 1981.

ويوجد الجبس Gypsum بشكل اقتصادي في منطقة نهر الزرقاء على بعد ٥٠ كم شمال عمان، وفي جنوبي الأردن بين وادي الموجب والطفيلة (٧٠ و ٢٠٠ كم جنوب عمان) وفي منطقة الأزرق ١١٠ كم شرق عمان. و يقدر الاحتياطي من الجبس في منطقة نهر الزرقاء بحوالي ١٠ ملايين طن متري وفي منطقة الموجب - الطفيلة بحوالي ٢٢ مليون طن متري وفي الأزرق بحوالي ٣ ملايين طن (Salameh, 1975). وتقوم الشركة العامة للتعدين حالياً باستخراج الجبس من منطقة نهر الزرقاء لأغراض الصناعة الاسمنتية. و يوجد الجبس على شكل طبقات رقيقة وغير اقتصادية في تكو بين اللسان.

### الجبس في منطقة نهر الزرقاء

يتكشف الجبس عند التقاء وادي العزب ووادي الهونة مع نهر الزرقاء حيث تصل سماكة الطبقة الى حوالي ٥٠ م، و يبين شكل ٩ - ١ الوضع الطبقي للجبس حيث تطلوه طبقات من الحجر الجيري المارلي والطيني والحديد الأ ووليتي والخجر الرملي. و يوجد الجبس على شكل كتلي في الجزء الأسفل من صخور العصر الترياسي المتكشفة. وهو ناعم التبلور حيث تصل نسبة ثالث أكسيد الكبريت الى ٤٢٪.

### الجبس في جنوبي الأردن :-

قامت سلطة المصادر الطبيعية (Taimah and El-Hiyari, 1978) بدراسة رواسب الجبس المتكشفة في الوديان المتفرعة من وادي الأردن مثل وادي الحسا وادي الكرك ووادي الموجب. ولقد بينت الدراسة بأن سماكة طبقات الجبس في الطفيلة ووادي الحسا تصل في مجموعها الى ٢٥ م تفصلها عن بعضها بعضاً طبقات مارلية وطينية.

أما رواسب الجبس في وادي الكرك ووادي ابن حمد فيبلغ مجموع سماكة الطبقات الأربع ٢٣ م تفصلها أيضاً طبقات طينية ومارلية خضراء وبنية اللون، وفي منطقة وادي الموجب يوجد الجبس في تتابعين مفصولين بطبقات خضراء. وتصل سماكة طبقات التتابع السفلى الى ٢٥ م والعلوي الى ٤ م. ولقد بين تقرير سلطة المصادر الطبيعية بأن الجبس موجود في شكلين أحدهما ليفي نقي والآخر قاس وكتلي. وتصل نسبة ثالث أكسيد الكبريت الى ٤٢٪ وأكسيد الكالسيوم الى ٣٠٪.

وصف الصخور	العصر
حجر جيري	الجوراسي
حجر رملي صفيح وعتي أكاسيد الحديد طبقة حديد أوليغ	الترياسي العلوي
حجر ميري مارلي - طفالي	
الجبس الكناي	
حجر جيري	

شكل ٩ - ١ مقطع يبين صخور الترياسي المكتشفة في منطقة التقاء وادي العزب ووادي الهونة مع نهر الزرقاء ..

وتتبع صخور الجبس الجزء العلوي من وحدة الحجر الجيري العقدي (سينوماني) والجزء الأسفل من وحدة الحجر الجيري الأكينو يدي (سينوماني - توروني). وفي دراسة قام بها (١) Abed and El-Hiyari, 1986 على الطبقات الحاملة للجبس في جنوبي الأردن (شكل ٩ - ٢) تبين أن الجبس يتكون من ثلاثة أنواع رئيسية هي العقدي والصفاحي والمنتبلور، وهناك نوع رابع حبيبي غير واسع الانتشار. و يبين الشكل ٩ - ٣ مضاهاة للطبقات الحاملة للجبس في جنوبي الأردن حيث تبلغ أقصى السماكات في وادي الموجب و يبين الشكل (٩ - ٤) بيئة الترسيب القديمة المشابهة لبيئة السبخة الشاطئية التي بلغت منطقة تأثرها ١٥٠٠ كم<sup>٢</sup> حيث ترسبت في اتجاه شمال - جنوب مواز لمنخفض البحر الميت. وحسب رأي (١) 1986, Abed and El-Hiyari فان منطقة الموجب ارتفعت للمرة الثانية في العصر السينوماني.

### الجبس في الأزرق

يوجد الجبس في منطقة الملاحات على شكل طبقات متباعدة مع الطبقات الطينية، وفي المناطق المجاورة على شكل رواسب حديثة مختلطة مع التربة. ولقد قام (٢) Salameh, 1975 بدراسة رواسب الجبس في ملاحات الأزرق حيث بين وجود طبقتين رئيسيتين من الجبس مختلط مع الصخر الملحي والطين، ويوجد الجبس على شكل بلورات كبيرة الحجم نقية تتميز بالتوأمة، و يبدو أنه نتيجة لوجود البحيرة المالحة والمغلقة في العصر البلايستوسيني ترسبت المتبخرات التي كان من ضمنها الجبس.

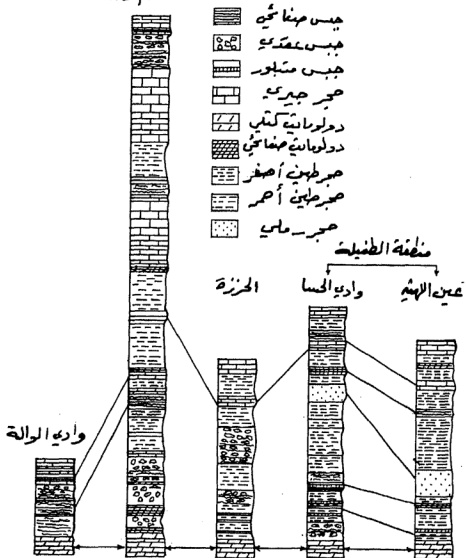


شكل ٩ - ٢ مناطق دراسة الجبس في جنوب الأردن (١).

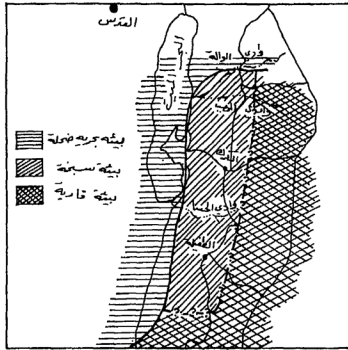
مسمال

جنوب

وادي الجب



شكل ٩ - ٣ مضاماة رواسب الجبس في مناطق جنوبي الأردن (١).



شكل ٩ - ٤ بيئة الترسيب القديمة لنطاقات الجبس في جنوبي الأردن (١)

### References

1. Abed, A., and El-Hiyari, M., 1986: Depositional environment and paleogeography of the Cretaceous gypsum horizon in west central Jordan, Sediment. Geol., 47: 109 - 123.
2. Bandel, K., and Khoury, H., 1981: Lithostratigraphy of the Triassic in Jordan. Facies, 4:1-26.
3. Bender, F., 1974: Geology of Jordan, Borntrager, Berlin, 196 P.
4. Burdon, D., 1959: Handbook of the geology of Jordan to accompany and explain the three sheets of the 1:250,000 geological map east of the Rift by A.M. Quennell. Govt. of Jordan, 82 P.
5. Ruef, M., and Jeresat, K., 1963: Geology of the Qatrana-Jiza area, Central Jordan., BGR - Archiv, Hanover, 51p.
6. Taimeh, M., and El-Hiyari, M., 1978: Report on the gypsum occurrences in southern Jordan., N.R.A. Unpublished Report, Amman, 22P.
7. Salameh, E., 1975 : The discovery of gypsum in the Azraq area, Dirasat, 2:69-75.

الفصل العاشر

الفيلد سبار

## الفيلد سبار

بدأت الحاجة الى معدن الفيلدسبار عندما بدأت فكرة إنشاء مصانع الزجاج والخزف الأردنية حيث قدرت احتياطيات الأردن بحوالي ٢٠٠٠ طن متري من الفيلدسبار. ولقد قامت سلطة المصادر بدراسات جيولوجية منذ عام ١٩٦٨ (٥). (Z., and Gharaibeh, R., 1968). (Pacal, على الصخور الغنية بالفيلدسبار في جنوبي الأردن، وتعد الأنواع الغنية بالصوديوم والبيوتاسيوم (الألبيت والاورثوكليز Albite and Orthoclase) هي المفضلة للأغراض الصناعية. وقد ذكرت التقارير المختلفة لسلطة المصادر الطبيعية توافر كميات كبيرة من الصخور الجرانيتية في جنوب الأردن مناسبة كمصدر للفيلدسبار.

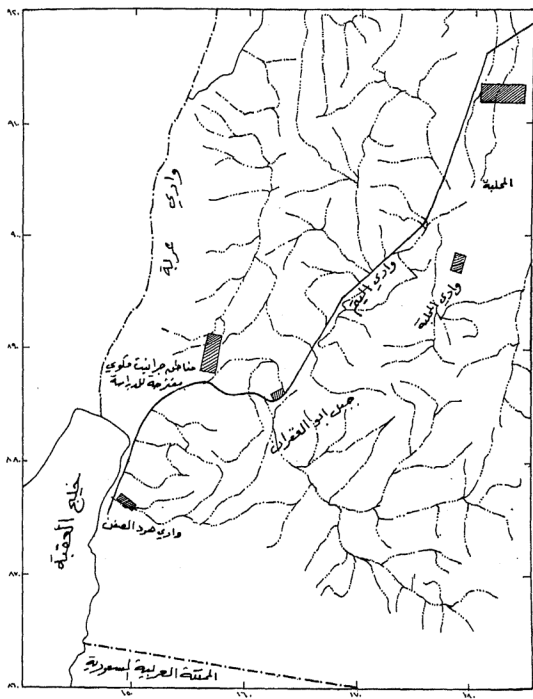
### الصخور الجرانيتية في جنوبي الأردن

يبين الشكل (١٠-١) خريطة مبسطة لتوزيع الصخور النارية في جنوبي الأردن تتبع حقبة ما قبل الحياة حيث توجد صخور جرانيتية ذات أعمار مختلفة إضافة الى القواطع الحامضية والمتوسطة والقاعدية. وفي دراسات قام بها (٣٠٧)، (Hakki, 1971, Boom, and Rosch, 1969; Boom, G., and Lahlob, 1964) تم تصنيف الصخور النارية القديمة الى بيوتيت جرانيت وجرانيت بورفيرى وأدملايت وجرانوديوريت وكوارتزديوريت وميجماتيت، والصخور الجرانيتية الأحداث الى جرانيت بيوتيتي وري وجرانيت قلوي أحمر وألاسكيت وفيلسيت. و يوجد الكثير من القواطع المكونة من صخور ألبيجماتيت والأبلايت جرانيت والجرانيت البورفيرى والكوارتز البورفيرى والاورثوكليز البورفيرى والبلاجيوكليز البورفيرى. وتعد الدراسة التي قام بها (١) Jarrar, 1984 من أهم الدراسات التي أجريت على صخور القاعدة في الأردن وخاصة فيما يتعلق بالصخور المتحولة.

وتعد الصخور الجرانيتية القلوية في وادي اليتم شمال شرق العقبة من أهم صخور القاعدة التي يمكن استغلالها كمصدر للفيلد سبار، وقد أجريت دراسات مختلفة من قبل سلطة المصادر الطبيعية على الجرانيت القلوي متوسط الحبيبات من منطقة جبل أبو الغفران وتم تركيز الفيلد سبار القلوي الى ما يزيد على ٩٠٪ من المحتوى المعدني (٥) (NRA, 1981). ويبين الجدول رقم ١٠-١ التركيب الكيماوي لعينة جرانيتية من جبل أبو الغفران حيث تزيد نسبة أكاسيد الصوديوم والبيوتاسيوم على ٩٪. و يبين الشكل (١٠-٢) المناطق الهامة الغنية بصخور الجرانيت القلوي متوسط الحبيبات (٧) (Sunna, 1984) وهي منطقة وادي المحلب التي تقع على بعد ٥١ كم الى الشمال الشرقي من مدينة العقبة، ومنطقة جبل أبو الغفران وتقع على بعد ١٨ كم الى الشمال الشرقي من مدينة العقبة على الجانب الغربي من الطريق الصحراوي. ومنطقة هود الصفن على بعد ٧ كم جنوب العقبة على شاطئ الخليج. وهناك مواقع عديدة أخرى شمال شرق العقبة باتجاه وادي عربة. وتحتاج الصخور النارية في جنوبي الأردن الى دراسات بتروغرافية وكيماوية تفصيلية لغرض تصنيف أفضل لصخور القاعدة الأردنية. ولقد قامت سلطة المصادر الطبيعية مؤخراً (قسم الجيولوجيا) باكتشاف







شكل ١٠-٢ خريطة توضح أماكن وجود الجرانيت القلوي (٧).

احتياطي كبير من الجرانيت المكسر (حوالي ٨٠ مليون طن) الغني بالفيلدسبار القلوي الصالح لصناعات الخزف والزجاج في مناطق شرق العقبة وعلى طول منطقة التصدع والتقارير بشأن ذلك قيد الطبع.

و يوجد في جنوبي الأردن (وادي الحور وأم سيالة) معادن مميزة للصخور المتحولة مثل الاندا لوسيت والشتوروليت والجارنت لها أهمية شبيهة بالفيلدسبار من النواحي الصناعية. ولكن هذه المعادن بحاجة الى دراسات تفصيلية لمعرفة انتشارها وامكانية تركيزها.

جدول (١٠ - ١) التركيب الكيماوي  
للجرانيت القلوي من جبل الغفران<sup>(١)</sup>

الأكسيد	النسبة المئوية
SiO <sub>2</sub>	74.42
Fe <sub>2</sub> O <sub>3</sub>	0.37
Al <sub>2</sub> O <sub>3</sub>	13.03
TiO <sub>2</sub>	0.11
MgO <sub>2</sub>	0.03
Na <sub>2</sub> O	4.27
K <sub>2</sub> O	4.81

### References

1. Boom Van den, G., and Lahloub, M., 1964: Geological and petrological investigations of igneous rocks in the area of Quweira, S-Jordan. NRA Internal Report, Amman.
2. Boom Van den, G., and Rösch, H., 1969: Modalbestand und Petrochemie der Granite in Gebiet von Aqaba-Quweira, Sudjordanien, Beih. geol. Jb., 18: 113-148.
3. Hakki, W., 1971: The mineral exploration of the Aqaba granites, NRA. Internal Report, Amman.
4. Jarrar, G., 1984: Late Proterozoic crustal evolution of the Arabian Nubian Shield in the Wadi Araba area, SW-Jordan. Bswg. Geol. Palaont. Diss. 2, 107 p.
5. Pecal, Z., and Gharibeh, R., 1968: Leucogranites in southern Jordan. A potential source of feldspar raw material, NRA Internal Report. Amman.
6. NRA, 1981: Mineral occurrences in Jordan, NRA Internal Report, Amman.
7. Sunna, B., 1984: Feldspars in Jordan, NRA Internal Report, Amman.

الفصل الحادي عشر

التريبولي

## التريبولوجي

وصفت مادة التريبولي لأول مرة في الأردن عام ١٩٦٨ بأنها مادة ترابية ناعمة خفيفة الوزن<sup>(١٠)</sup> (Saadi, 1968) أشارت انتباه المسؤولين في سلطة المصادر الطبيعية حيث قامت فرق للبحث والدراسة بالكشف على أماكن وجود مثل هذه الخامات<sup>(١١)</sup> (Jerasat and Bashir, 1972). وبينت هذه الدراسات إمكانية وجود رواسب التريبولي في المناطق بين مابدا والطفيلة، وتم رسم خريطة جيولوجية أكدت وجود سماكات من التريبولي تتراوح بين ٢٥-١٢ مترا خاصة في الجزء السفلي من وحدة الحجر الجيري السيليسي، وقد اقترحت مناطق جديدة تغطي معظم أرجاء المملكة الأردنية الهاشمية حيث تتكشف هذه الطبقات (شكل ١١-١).

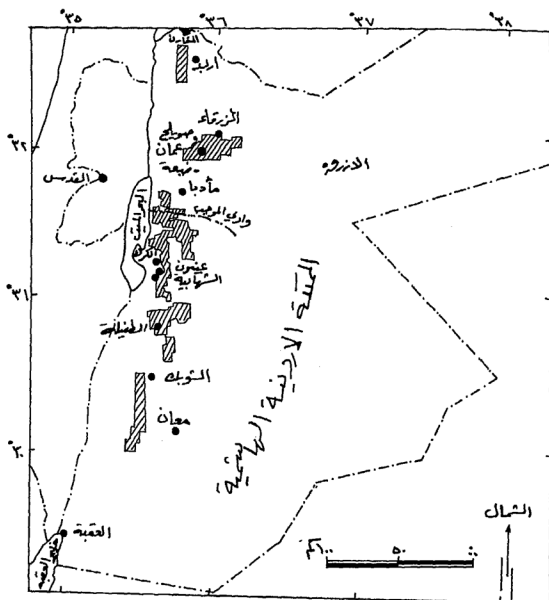
وقد وصفت رواسب التريبولي بأنها طبقات تحتوي على مادة متبلورة بيضاء ناعمة ذات مسامية عالية. وفسرت نشأة هذه الرواسب بأنها نتيجة لغسل أو انحلال تفاضلي انتقالي لكريونات الكالسيوم المكونة للحجر الجيري تاركة الشوائب السيليسية على شكل مادة صلبة متبلورة. وجمعت عينات عديدة من منطقة الكرك تم وصفها وإجراء تحاليل كيميائية<sup>(١٢)</sup> (Karam, 1973) عليها لمعرفة أهميتها ودرجة نقائها، مما جعل السلطة تجري للمرة الثانية<sup>(١٣)</sup> (Omari, 1975) دراسات تفصيلية على أهم رواسب التريبولي المتكشفة في جنوبي الأردن، وتم اختيار منطقتي عينون - الشهابية قرب الكرك لهذه الدراسة.

ولقد تم حفر اثنين وثلاثين خندقاً وثلاث حفر كبيرة لأخذ العينات وجمع ما يزيد عن مائتي عينة حللت كيميائياً. وتبين أن معدل محتوى هذه العينات من ثاني أكسيد السيلكون هو ٩٢٪ وأن أكسيد الكالسسيوم يزيد أو ينقص على حساب ثاني أكسيد السيلكون. أما معدل محتوى العينات المدروسة من الأكاسيد الأخرى كثالث أكسيد الحديد وثالث أكسيد الألومنيوم وأكسيد المغنيسيوم وأكسيد البوتاسيوم فكانت أقل من ٢.٠٪. ومما يجدر ذكره أن التحاليل الكيميائية لعينات من مناطق مختلفة من الأردن أعطت المعدل نفسه من ثاني أكسيد السيلكون. ومن ضمن الدراسات التي أجريت حساب كمية الاحتياطي من رواسب التريبولي في مناطق عينون والشهابية<sup>(١٤)</sup> (Omari, 1975)، وكان الاحتياطي المؤكد هو نصف مليون طن، والاحتياطي الممكن والمتوقع هو ٦٤ ملايين طن. ولقد قام المؤلف بدراسات حديثة حول نشأة التريبولي في الأردن<sup>(١٥)</sup> (Khoury, 1986; 1987)، نستعرض منها فيما يلي :-

### جيولوجية الطبقات الحاملة لخامات التريبولي

يبين شكل (١١-٢) ترابطاً بين مقاطع جيولوجية تغطي مناطق من شمالي الأردن إلى جنوبية<sup>(١٦)</sup> (Bender, 1968)، وكما هو واضح فإن عمر وحدة الحجر الجيري السيليسي الحامل لخامات التريبولي هو العصر الكامباني التابع للجزء العلوي من العصر الطباشيري وتعلوها وحدة الفوسفوريت، وفي أسفلها وحدة الحجر الجيري الكتلي التي تصبح ذات سحنات

رملية في الجنوب. وتعلو وحدة الفوسفوريت وحدة الطباشير - الطفال الغنية بالصخر الزيتي المعروف والمتكشف في شمالي الأردن وجنوبيه.



شكل ١١-١ أماكن وجود رواسب التريبولي في الأردن.





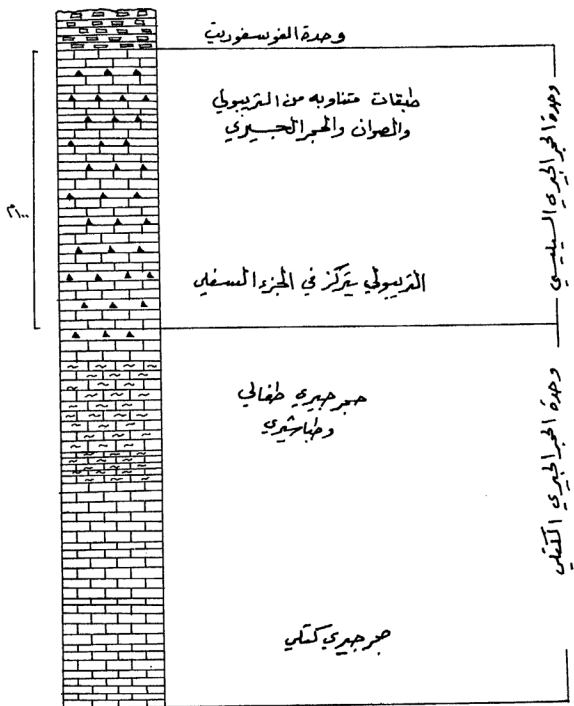
ولقد قام المؤلف بمعاينة معظم التكتشفات للحجر الجيري السيليسي في الأردن كما هو مبين في الشكل (١١ - ١)، وتبين بأن خامات التريبولي تتوافر في هذه الوحدة وتتركز في الجزء السفلي، وتوجد ترسبات محدودة من التريبولي مصاحبة لطبقات الصوان في وحدة الفوسفوريت التي تعلو وحدة الحجر الجيري السيليسي. وتظهر خامات التريبولي بوضوح مصاحبة لطبقات الفوسفات والصوان في منطقة الشدية في جنوبي الأردن وفي منطقة وادي السموع شمال غربي الأردن.

و يبين شكل (١١ - ٣) مقطعاً عاماً لتوزع التريبولي في وحدة الحجر الجيري السيليسي. ولقد قام (Krashan, 1988) حديثاً (٧) بدراسة لوحدة الحجر الجيري السيليسي في جنوبي الأردن.

وتتراوح سماكة وحدة الحجر الجيري السيليسي بين ١٠٠ - ١٢٠ متراً، وتقع أقصى سماكات رواسب التريبولي إلى ١٢ متراً وذلك في منطقة الكرك (عينون - الشهابية). إلا أن التريبولي يصاحب دائماً هذه الوحدة في مناطق أخرى على شكل طبقات رقيقة وأشرطة وعدسات محصورة بين طبقات الحجر تكون إما مصاحبة أو غير مصاحبة لعقد من الصوان.

ومما يجدر ذكره أن وحدة الحجر الجيري السيليسي تتكون من طبقات متناوبة من الحجر الجيري والصوان. و يبين الشكل (١١ - ٤) الوضع الحقلّي لرواسب التريبولي حيث يوضح عمليات الإحلال في صخر الحجر الجيري تأخذ أشكالاً مختلفة معتمدة على ظواهر جيولوجية محددة من حيث وجود تشققات أو كهفات أو صدوع أو طيات مما يسهل عملية مرور المحاليل القلوية الحاملة للسليكا. ففي شكل (١١ - ٤ أ، ب) يتبع التريبولي التراكم الرسوبية من حيث اتجاه الطبقات وميلها. و يوجد تغير تدريجي في تراكيب رواسب التريبولي المعدني من نقي إلى تريبولي غني بمعدن الكالسيت أو حجر جيري نقي (١١ - ٤ ج). وفي بعض الطبقات يحتوي راسب التريبولي على بقايا من الحجر الجيري أو الصوان الأصلي من وحدة الحجر الجيري السيليسي (شكل ١١ - ٤ د، هـ) وفي كثير من الحالات يوجد راسب التريبولي على شكل عدسات أو مراكز تتبع الكسور والشقوق في الصخر ————— (شكل ١١ - ٤ و ز) كذلك فإن هناك تدرجاً واضحاً في تركيب الصوان من كتلي إلى بوراليني صلب إلى تريبولي ناعم.

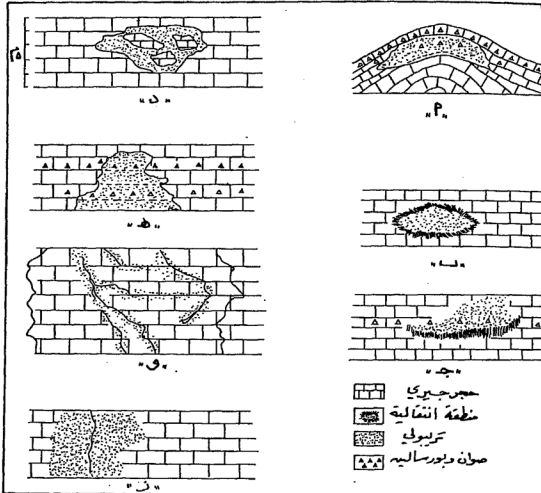
وفي منطقة عينون - الشهابية فإن التتابع الطبقي الأصلي قد تم إحلاله كلياً عمودياً وأفقياً بواسطة التريبولي، وقد لوحظ في أماكن عديدة وخاصة في منطقة وادي الموجب، بقايا لطوابع وقوالب الأحافير التي كانت موجودة في الصخر الأصلي قد تم إحلالها كلياً بواسطة التريبولي، وقد حفظت بدرجة عالية بحيث تظهر التفاصيل كافة (شكل ١١ - ٥).



شكل ١١-٣ مقطع عام يبين وجود التريبولي في وحدة الحجر الجيري السيليسي.

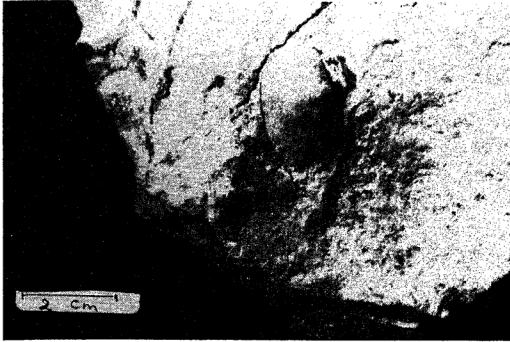
## التركيب المعدني

يمكن تقسيم التريبولي مجهريا الى ثلاث مجموعات مشابهة للتقسيم الحقل: المجموعة الأولى من الحجر الجيري الدقيق الحبيبات إضافة الى المحتوى المتفاوت من الأحفيرة الكبيرة والصغيرة. وتوجد بلورات الكالسيت كبير الحجم كترسبات ثانوية في التشققات والكسور وحولها نتيجة للذوبان وإعادة التبلور، وتوجد أيضا بلورات من الكوارتز الثانوي حول هذه التشققات. أما المجموعة الثانية من العينات المأخوذة من المنطقة الانتقالية بين الحجر الجيري والتريبولي أو الصوان والتريبولي فتدل على زيادة نسبة حبيبات الكوارتز



شكل ١١ - ٤ أشكال مختلفة لوجود خامات التريبولي في الطبقات المصاحبة في الأردن (ه).

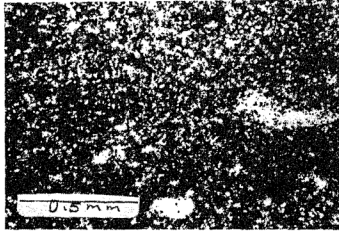
- أ. ب. التريبولي يتبع التراكم الرسوبية  
ج. التغير التدريجي في تركيب رواسب التريبولي من نقي الى تريبولي غني بالكالسيت الى حجر جيري نقي.  
د. هـ. بقايا الحجر الجيري، الصوان والبورساليين في رواسب التريبولي.  
و. ز. التريبولي على شكل تكوينات تتبع الكسور والشقوق.



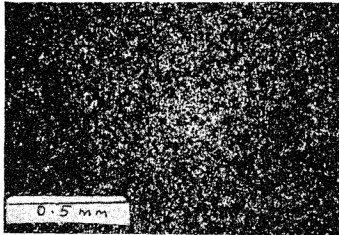
شكل ١١ - ٥ بقايا لحفرية تم احلالها كلياً بواسطة التريبولي.

المكون للتريبولي على حساب الكالسيت مستقر التبلور أو الكوارتز مستقر التبلور. وتظهر الصورة (شكل ١١-٦) وجود بقايا وبقع غير منتظمة من الصخر الأصلي (الحجر الجيري) في مجموعة المنطقة الانتقالية من العينات كما تظهر بقايا لبعض الأحافير الصغيرة والكبيرة. وتبين دراسة المجموعة الثالثة من العينات بأنها مكونة كلياً من التريبولي وتدل على أن إحلالاً كاملاً قد تم للحجر الجيري أو للصوان بواسطة السيلكا شكل (١١-٧).

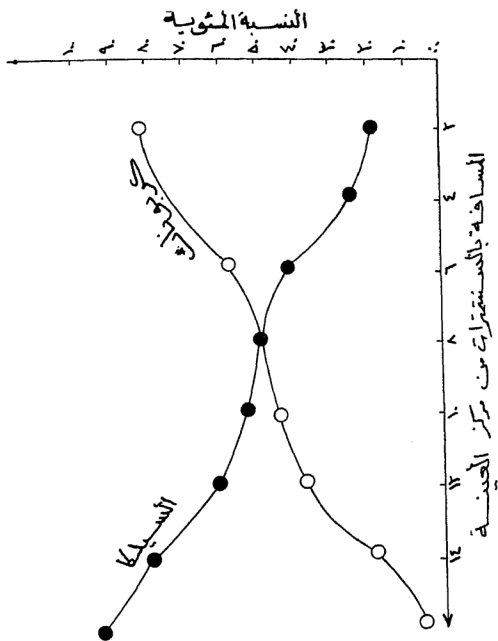
وقد اختيرت عينات كبيرة الحجم يتراوح قطرها بين ٤٠ - ٦٠ سم وتحتوي على ثلاثة نطاقات تتغير في التركيب من حجر جيري إلى تريبولي. وتمت دراسة محتوى الكالسيت والكوارتز لعينات صغيرة مأخوذة من النطاقات الثلاثة المختلفة للعينات كبيرة الحجم التي تبين نطاقاً خارجياً مكوناً من الحجر الجيري ونطاقاً انتقالياً مكوناً من خليط من الحجر الجيري والتريبولي وآخر داخلياً مكوناً من التريبولي. وأخذت عينات متساوية الوزن كل ٢ سم من المركز حتى النطاق الخارجي وتمت دراسة محتواها من الكالسيت.



شكل ١١-٦ صورة مجهرية تبين احلال السيليكا (التريبولي) محل الحجر الجيري . وتظهر بقايا الحجر الجيري بشكل غير منتظم.

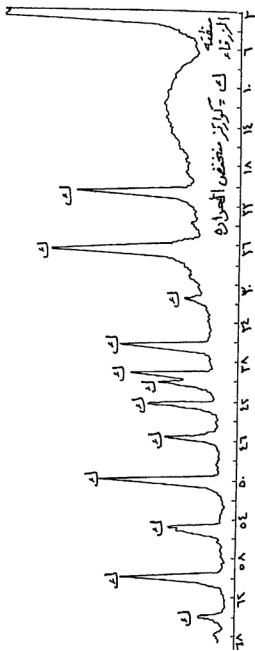
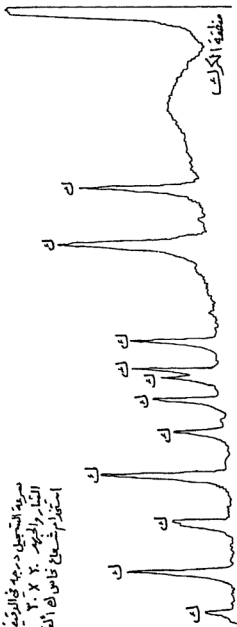


شكل ١١-٧ صورة مجهرية للتريبولي (احلال كامل).

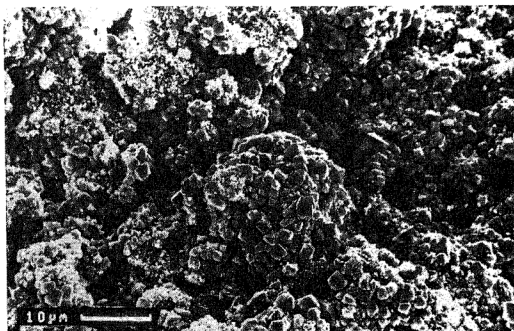


شكل ١١ - رسم يبين العلاقة بين النسبة المئوية لاحتويات التريبول من الكربونات والسيلا والمساحة بالستمرات من مركز العينه.

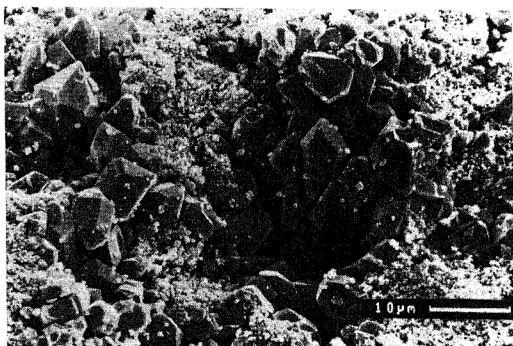
سرعة التسجيل درجه في الوضوء  
الشار والجهد ٢٠ X ٢٠  
استخدام شعاع خاص ك أفا



شكل ١١ نتائج حيود الاشعة السينية لعينتين من التريبولي مأخوذتين من منطقة الكرك والزرقاء وتبين معدن الكوارتز كمكون أساسي.



شكل ١١-١٠ صورة تحت المجهر الالكتروني الماسح تبين الكوارتز كامل الواجهه مع سيليكام متبلورة على شكل اوبال -سي تي يعتقد بانها المرحلة قبل تكوين الكوارتز كامل الواجهه.



شكل ١١-١١ صورة تحت المجهر الالكتروني الماسح تبين الكوارتز كامل الواجهه مع سيليكام وكالسيت مستتر التبلور.



و يبين الشكل (١١-٨) نتائج هذه الدراسة على عينات كبيرة تتميز بوجود النطاقت الثلاثة السابقة الذكر حيث يبلغ قطر هذه العينة ٥٠ سم.

وتدل النتيجة على وجود علاقة عكسية للمحتوى المعدني لكل من الكالسيت والكوارتز، حيث تزيد نسبة الكوارتز على حساب نسبة الكالسيت اذ تبلغ أعلى نسبة للمحتوى من الكوارتز في وسط العينة التي تدل على الاحلال الكامل للحجر الجيري بواسطة السيليكا.

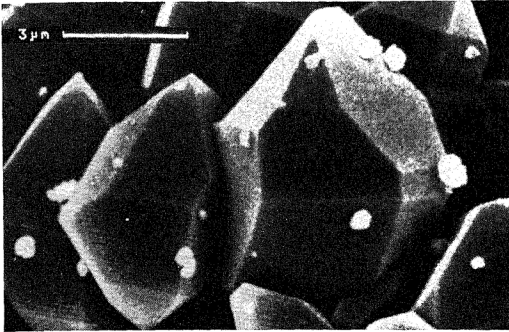
وبينت دراسة المحتوى المعدني للعينات بواسطة جهاز حيود الاشعة السينية بأن كافة عينات رواسب التريبولي متشابهة. و يبين شكل (١١-٩) نموذجين لنتائج عينتين من منطقتي الزرقاء والكرك. و يظهر وجود معدن الكوارتز كمحتوى أساسي، وفي دراسة لعينات من البورساليينيت في جنوب الأردن تبين أنها تتكون من الكوارتز اضافة الى الأوبال -سي تي الذي يتميز بالانعكاسات ٤٣، ٢٥، انجستروم. ولقد أدت هذه النتائج الى الاعتقاد بأن الأوبال -سي تي هو المرحلة المتوسطة لتغير البورساليينيت الى تريبولي. وفي دراسة قام بها المؤلف على الخصائص الحرارية للتريبولي الأردني وجد بأنها تتغير الى اوبال -سي تي على درجة حرارة تتراوح بين ٢٢٠ - ٢٧٠ درجة مئوية.

وتبين الأشكال (١١-١٠، ١١-١١، ١١-١٢) بلورات الكوارتز كاملة الأوجه إضافة للسيليكا الزجاجية غير المتبلورة وبقياء كربونات الكالسيوم. ويتضح من شكل ١١-١٣ وجود بلورات كوارتز وبلورات صغيرة من الليفيرز لمعدن الأوبال -سي تي الذي يفسر أن الأوبال يسبق تكون معدن الكوارتز المستقر الكامل الأوجه.

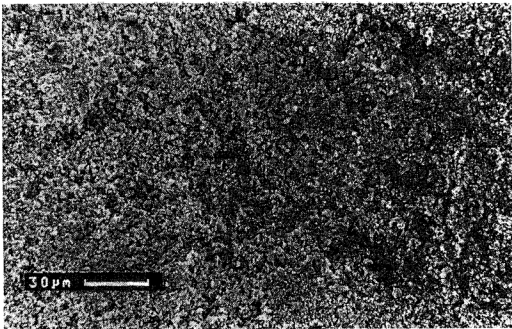
### نشأة رواسب التريبولي

يتضح مما سبق ان رواسب التريبولي تتكون أساسا من معدن الكوارتز الدقيق الحبيبات الكامل الأوجه، وتتحصر الخامات الاقتصادية في وحدة الحجر الجيري السيليسي التابع للعصر الطباشيري العلوي وهي تغطي مناطق شاسعة من الأردن من شمالية الى جنوبية. يوجد التريبولي ايضا وبشكل محدود مصاحباً لطبقات الصوان والبورساليينيت في وحدة الفوسفوريت التي تعلو الحجر الجيري السيليسي.

لقد أثبتت الدراسات التي قام بها المؤلف أن رواسب التريبولي تكونت نتيجة الاحلال المباشرة للمياه الغنية بالسيليكا التي حلت محل كربونات الكالسيوم المكون الاساسي للحجر الجيري، أو نتيجة إعادة تبلور مكونات البورساليينيت من أوبال -سي تي غير الثابت. و يعد التغير في درجة تركيز أيون الهيدروجين (الحامضية - القلوية) في المياه المتخللة هو العامل المؤثر في ذوبان أو ترسب السيليكا على حساب كربونات الكالسيوم. ومصدر السيليكا الذاتية هو الطبقات الصوانية والبورساليينية في وحدة الفوسفور ووحدة الحجر الجيري السيليسي وعادة ما تكون المياه المتخللة في الصخور الجيرية قلوية نتيجة ذوبان الكالسيت بالمياه الحامضية الغنية بحامض الكربونيك الناتج من ذوبان ثاني أكسيد الكربون بالماء. و يعتقد



شكل ١١-١٢ صورة تحت المجهر الالكتروني الماسح تبين الكوارتز كامل الواجهه المكون الاساسي للتريبولي الاردني.



شكل ١١-١٣ صورة تحت المجهر الالكتروني الماسح تبين الكوارتز والاول - سي تي المكون الاساسي للبورساليينيت .

المؤلف أن درجة القلوية تزداد محليا في بعض المناطق كالمقارن وضبعة نتيجة وجود معدن البورتلانديت Portlandite سهل الذوبان في الماء في وحدة الحجر الجيري البيتيوميني<sup>(١١)</sup> (Khoury, 1985)، التي تعلو وحدة الفوسفوريت. وتزداد كمية رواسب التريبولي على حساب الحجر الجيري وخاصة في المناطق التي تزداد نفاذيتها (مستويات التطبيق والشقوق والفواصل)، و يعتقد بأن لوجود بلورات من الجبس أو الهاليت في الحجر الجيري تأثيراً مباشراً على ترسيب بلورات الكوارتز كامل الأوجه. كما سهلت معادن المتبخرات عملية ذوبان كربونات الكالسيوم وترسيب السيليكا. أما بالنسبة لخامات التريبولي الموجودة في طبقات الصوان والبورساليينيت فيعتقد المؤلف بأن الصوان والفوسفوريت في وحدة الفوسفوريت مرتبطان من حيث المنشأة حيث أن للتيارات الصاعدة دوراً مهماً في حمل السيليكا الناتجة عن ذوبان الدياتومايت والرايولاريا إلى المناطق الضحلة وترسيبها على شكل كوارتز أو أوبال - سي تي غير ثابت حسب تركيز السيليكا في مياه البحر. و يترسب الكوارتز عادة في محاليل سيليكاتية مخففة<sup>(١٢)</sup> (Robertson, 1977)، وعليه فإن حجم بلورات الكوارتز المستتر في الصوان الذي يعتقد بأنه كان أصلاً أوبال - سي تي ووجود معدن الأوبال - سي تي غير الثابت في البورساليينيت والمسامية والنفاذية العالية الناتجة عن الكسور والشقوق والفواصل وربما وجود ترسبات ثانوية أخرى من معادن المتبخرات ساعدت في الذوبان وإعادة التبلور إلى معدن أكثر ثبوتاً وهو الكوارتز كامل الأوجه.

أن لطبيعة تكوين رواسب التريبولي ووجودها بكميات تجارية إمكانية للمساهمة في الصناعات المحلية المختلفة كصناعة التعبئة ومواد الحك والكشط وهناك حاجة ماسة لأجراء التجارب الصناعية على هذه الخامات.

## References

1. Bender, F., 1968: *Geologie Von Jordanein*, Beitrage Zur Geologie der Erde. Borntraeger, Berlin, 203 p.
2. Jeresat, K., and Bashir, S., 1972: The tripoli occurrences between Madaba and Tafila, N.R.A. Internal Report, Amman.
3. Karam, S., 1973: Geological report on some tripoli occurrences in Jordan. Royal Sci. Soc., Amman.
4. Khoury, H., 1985: The origin of highly alkaline water form Maqarin area, Jordan, *Dirasat*, 12:125-133.
5. Khoury, H., 1986: The origin of tripoli in Jordan., *Sediment. Geol.*, 48:223-235.
6. Khoury, H., 1987: Tripolization of chert in Jordan., *Sediment. Geol.*, 53:305-310.
7. Krashan, G., 1988: Sedimentology and geochemistry of Amman Formation in Wadi El-Mujib area, central Jordan. Unpublished M.Sc. thesis, U of Jordan.
8. Omari, K., 1975: The tripoli prospects of Ainun and El-Shehabiyeh, N.R.A. Internal, Amman.
9. Robertson, A., 1977: The origin and diagenesis of chert from Cyprus. *Sedimentology.*, 24: 11-30.
10. Saadi, T., 1968: Tripoli. N.R.A Internal Report, Amman.

الفصل الثاني عشر

الرخام

## الرخام

يوجد الرخام في ثلاث مناطق في الأردن هي ضبعة - سواقة ٥٠ كم جنوب عمان، وصولح ١٦ كم شمال غرب عمان، والمقارن ١٦ كم شمال اردب (شكل ١٢ - ١) ويغطي في المنطقة الأولى مساحات شاسعة ويستخرج من المحاجر المختلفة و يباع كاحجار للزينة، ويتميز الرخام في جميع المناطق بألوانه العديدة التي تحتوي على ألوان البني والأحمر والوردي والأبيض والأرجواني والأسود والأصفر والأخضر. ويمكن أن تظهر معظم الألوان في منطقة صغيرة لا تتعدى مساحتها الأمتار أو حتى السنتيمترات، ويمكن مضاهاة هذه الصخور من جميع النواحي الجيولوجية والطبقية والمعدنية والكيمائية مع بعضها بعضاً ومع النطاقات الملونة المعروفة بفلسطين. ولقد درست النطاقات الملونة في السابق من قبل العديد من الباحثين مثل (١، ٤، ٥، ٧، ٨، ٩، ١٠، ١١، ١٢، ١٣، ١٤، ٢٥).

Bentor et al, 1963; 1972; Gross et al, 1967;  
Kolodny et al, 1971; 1973; Kolodny and Gross, 1974;  
Gross, 1977; Matthews and Kolodny, 1978;  
and Kolodny, 1979.

ونظرا لأهمية النطاقات الملونة من وجهة النظر الأكاديمية فسوف يستعرض المؤلف نتائج الأبحاث التي تمت على الرخام الأردني.

### جيولوجية مناطق الرخام

#### منطقة ضبعة - سواقة

لقد ذكر (١٦، ٢٨) Burdon, 1959; and Ruef and Jersat, 1965 وجود الرخام في وسط الأردن حيث أرجع سبب اللون الأخضر الى وجود عنصر الكروم، ثم وصف (١٧) Bender, 1968 صخور ضبعة - سواقة بأنها تحتوي على معادن غير عادية مثل الكروماتيت Chromatite والتياميونيت tyuyamunitite موجودة أيضا في وحدة الفوسفوريت. ولقد قامت سلطة المصادر الطبيعية (١٨) (Hakki, 1978) بدراسة الجدوى الاقتصادية للرخام في وسط الأردن وتم رسم خرائط جيولوجية مفصلة مقياس (١ : ٥٠,٠٠٠) لمناطق خان الزبيب وسواقة (١٩، ١٢٠) (1986 Jasser, 1986. Barjous; ويبين شكل (١٢ - ٢) التتابع الطبقي للصخور المتكشفة في وسط الأردن. ويوجد الرخام في وحدة الطباشير - المارل التي تعلو وحدة الفوسفوريت، ويتراوح عمر هذه الصخور بين الماسترختي والباليوسين وتبلغ سماكتها حوالي ٧٠ م في خان الزبيب وتصل الى ٢٧٠ م الى الشرق. ويتكون الجزء السفلي من الطباشير الأبيض والصوان والحجر الجيري والمارل البيتيومييني. أما الجزء العلوي فيحتوي على الرخام والحجر الجيري البيتيومييني. وتقطع المنطقة مجموعتان من الصدوع تتجه شرق غرب (صدوع زرقاء ماعين) وشمال غرب - جنوب شرق (مجموعة صدوع وادي الحمام). وتتكون في الرخام مجموعة

صدوع صغيرة تتجه شمال شرق – جنوب غرب. وتجدر الإشارة هنا الى أن الرخام يمتد الى الشرق من طريق ضبعة – القطرانة الى ما يزيد عن ٣٠ كم وأن الدراسة التفصيلية لوجود الرخام في تلك المناطق هي من ضمن الضروريات المستقبلية في البحث الجيولوجي في الاردن.

### منطقة صويلح

و يوجد الرخام في الطبقات المكافئة لصخور الماسترختي – الباليوسين نفسها. ولقد قام (٣١) Wiesemann and Rösch, 1969 بدراسة المنطقة جيولوجياً و بينوا أن سبب التحول هو الميتاسوماتزم وتأثير الحركات التكتونية اللاحقة. والشكل (١٢ – ٢) هو مقطع في منطقة صويلح يبين أماكن توضع الرخام حيث يظهر تأثير التحول أيضاً على وحدة الفوسفوريت. وتطفئ صخور الأباتيت شبيث الخضراء على مجموعة الصخور المتحولة الأخرى والمتميزة بالألوان البنية والسوداء. وتتكشف في منطقة صويلح بقايا وحدة الطباشير – الطفال على شكل صخور جيرية بيتيومينية. ومنطقة وجود الرخام هي جزء من طية محدبة (انثناء) تتجه ١٤٥ درجة شمالاً وتميل ٤٥ درجات جنوب شرق، والطية المحدبة هي جزء من تراكيب أخرى معقدة تؤكد وجود قوى ضاغطة (٣٢، ٣٣) Mikble and Zacher, 1981; Salameh, 1980;

### منطقة المقارن

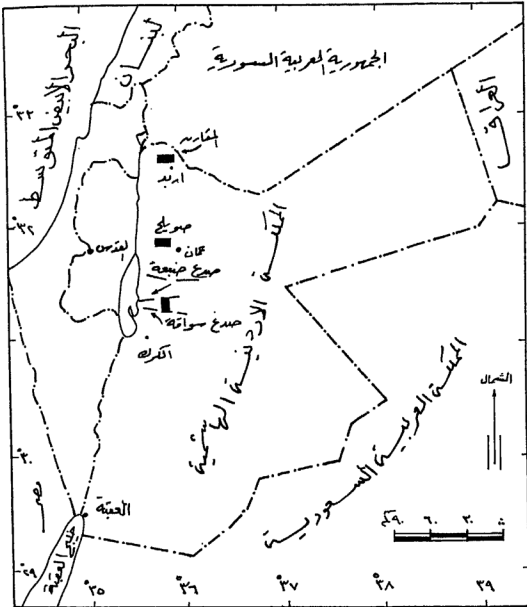
يوجد الرخام الملون على شكل غير منتظم في الوحدة الصخرية نفسها التابعة للعصر الماسترختي – الباليوسين. ولقد بين (٣٠) Wiesemann and Abdullatif, 1963 أن سماكة وحدة الطباشيري المائل تصل الى ٢٠٠ م و يتكشف الحجر الجيري البيتوميني في منطقة نهر اليرموك والمناطق المجاورة (شكل ١٢ – ٤)، وتصل سماكته الى ٥٠ م تعلوه صخور من الحجر الجيري والطباشيري والصوان تصل سماكتها الى ١٠٠ م في منطقة نهر اليرموك. وتتميز هذه الصخور بأنها كثيرة الشقوق والفواصل وخاصة في الجزء السفلي حيث تظهر عقد الصخور المتحولة بين الصخور الرسوبية البيتيومينية، و يغطي البازلت (١٥ م) من العصر الباليستوسين وحدة الطباشير – المائل.

### التركيب المعدني والكيماوي للرخام

لقد أجريت دراسات عديدة على تكوين الرخام المعدني، وكان من نتائج هذه الدراسات ايجاد مجموعات من المعادن غير العادية وبعضها يعرف لأول مرة مثل معدن الهاشميت (١٠) Hashemite (١٩٧٩) (Hauf) والفولكونسكويت الخالي من الحديد (١١) Volkonskoite (١٩٨٤) (Khoury et al). ولقد أجريت الدراسات المعدنية والكيماوية من قبل عدد من الباحثين مثل (١١، ١٢، ١٣، ١٤، ١٥، ١٦، ١٧):

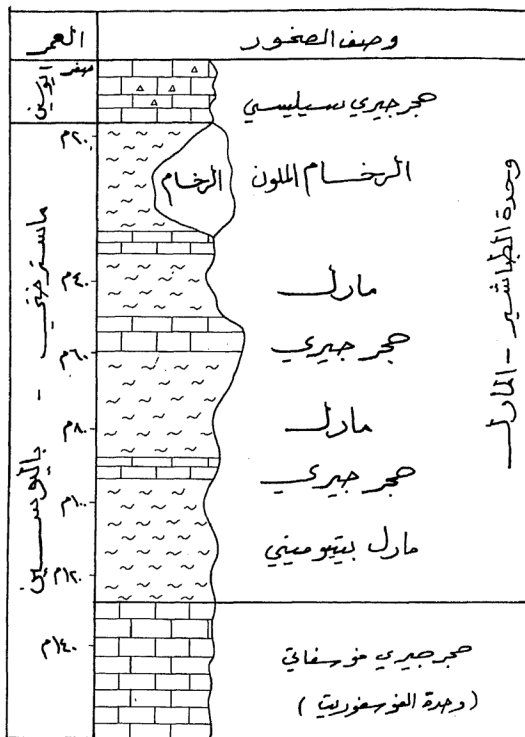
Heimbach and Rösch, 1980; Khoury and Nassir, 1982 a and b;

Nassir and Khoury, 1982; Khoury and Salameh, 1986



شكل ١٢ - ١ خريطة تبين أماكن وجود الرخام في الأردن.

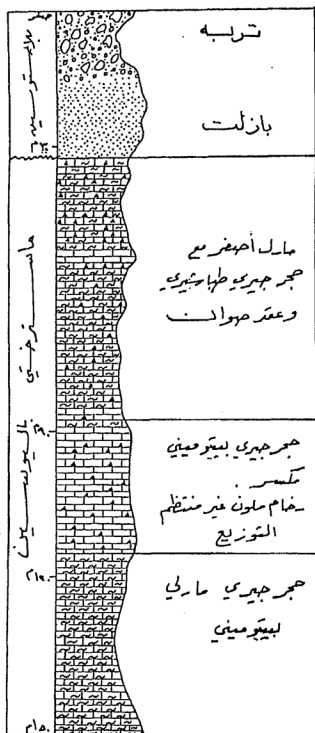




شكل ١٢ - ٢ مقطع جيولوجي عام في منطقة ضبعة - سواقه يبين توزيع الرخام بالنسبة للصخور الأخرى.

العمر	وصف الصخور
ماسترغيتي - بالوسين	<p>صخر جيري فوسفاتي مطبوخ</p> <p>صخر فوسفاتي وهري بيئوميني مع رضام ملون</p> <p>" وحدة النوسفوريت - الطباشير مارل "</p>
كالباف - ماسترغيتي	<p>صخر جيري طباشيري ومارلي</p> <p>متبادل مع طبقات من الصوان</p> <p>" وحدة الحجر الجيري السيليسي "</p>
سانتوف	<p>صخر جيري مارلي</p> <p>" وحدة الحجر الجيري اللبني "</p>

شكل ١٢ - ٢ مقطع جيولوجي عام في منطقة صويلح يبين توضع الرخام.



شكل ١٢ - ٤ مقطع جيولوجي عام في منطقة القارن يبين توضع الرخام.

ولا يزال المؤلف يقوم بالعديد من الأبحاث على المعادن غير العادية في مناطق الرخام المختلفة وخاصة معادن السيليكا ومجموعة المعادن التي تبين الاحلال الكامل مثل اترنجيت – Thaumacite-Ettringite وهيدروكسي ابوفيلليت Hydroxy-apophyllite والتو بيرموريت الغني بالالومنيوم Tobermorite.

وتتشابه المعادن المكونة للرخام الملون في جميع المناطق وتزداد نسبها وتنقص من منطقة الى منطقة ومن عينة الى أخرى. فمثلا تشترك صخور الرخام بوجود معادن الاباتيت والكالسيت والشبوريث بنسب مختلفة حتى في العينة الصخرية نفسها وتوجد بعض المعادن كمكونات أساسية للصخور مثل البورتلانديت في المقارن.

و يمكن تصنيف المعادن المكونة للرخام في الأردن الى مجموعتين أساسيتين : —  
**المجموعة الاولى :** مجموعة المعادن ذات درجة الحرارة العالية الشبيهة بمعادن الصخور المتحولة الحرارية والمكونة تحت ضغط منخفض، وهذه المعادن هي كاليسيت Calcite، واباتيت Apatite، وشبوريت Spurrite وديو بسيد Diopside وولاشتونيت Wollastonite وانورثيت Anorthite وجرافيت Graphite وجارنت Garnet وبيروفوسكيت Pervoskite وسيلكات الكالسيوم الثنائية Dicalcium-silicates ولارنيت Larnite وسيلكات الكالسيوم الثلاثية Tricalcium-silicates.

**المجموعة الثانية :** مجموعة المعادن ذات درجة الحرارة المنخفضة الشبيهة بنواتج الاسمنت المميهة والمركبة وتتضمن كبريت Sulfur وهاليت Halite وهيماتيت Hematite وماجهيميت Maghemite وبيروولوسيت Pyrolusite وكوارتز Quartz واوبال Opal-A وOpal-CT سي تي و بورتلانديت Portlandite وجوئيت Goethite وسيلكات الكالسيوم الثنائية المميهة Calcium-silicate-hydrate و كالسيت Calcite وفاتيريت Vaterite وارجونيت Aragonite ودولومايت Dolomite وثلاثي كربونات الالومنيوم والكالسيوم المميهة Calcium-aluminate-tricarbonate-hydrate. وانهدرايت Anhydrite وباريت Barite وهاشميت Hashemite وجبس Gypsum و اترنجيت Ettringite وفلور أباتيت Fluirapatite وباسانيت Bassanite وافو يليت Afwillite و كالسيت ثانوي Calcite واباتيت ثانوي Apatite وفرانكولايت Francolite وميتا أوتونيت Meta-autunite وميتاتينا ميونيت Meta-tyinamunite وThaumacite وتو بيرموريت ٩٣، ١٣٠، ١٢٠ انجستروم Tobermorite وابوفيلليت Apophyllite واليت Illite ومونتموريللونيت Montmorillonite وفولكونسكويت Volkonskoite وكاولينيت Kaolinite. و يبين الجدول (١٢-١) المعادن ذات درجة الحرارة المرتفعة والمنخفضة التي تم التعرف إليها في مناطق الرخام في الأردن، ومن المتوقع التعرف الى عشرات المعادن الأخرى. ولقد سجل أكثر من مائة معدن في منطقة النطاقات الملونة (١٨) (Gross, 1977).

جدول (١٢ - ١) المعادن التي تم التعرف إليها في مناطق الرخام الأردنية

١ - مجموعة المعادن ذات درجة الحرارة العالية التركيب الكيماوي

Ca CO <sub>3</sub>	كالسيت
Ca <sub>5</sub> (PO <sub>4</sub> ) <sub>3</sub> F	فلور أباتيت
Ca <sub>5</sub> CO <sub>3</sub> (SiO <sub>4</sub> ) <sub>2</sub>	شبوريت
Ca (Fe,Mg) Si <sub>2</sub> O <sub>6</sub>	ديوبسيد
Ca SiO <sub>3</sub>	ولاشتونيت
Ca Al <sub>2</sub> Si <sub>2</sub> O <sub>8</sub>	أنورثيت
C	جرافيت
Ca <sub>3</sub> Al <sub>2</sub> (SiO <sub>4</sub> ) <sub>3</sub>	جارنت
Ca TiO <sub>3</sub>	بيرفوسكيت
β - Ca <sub>2</sub> (SiO <sub>4</sub> )	لارنيت
Ca <sub>3</sub> (O/SiO <sub>4</sub> )	سيلكات الكالسيوم الثلاثة

ب - مجموعة المعادن ذات درجة الحرارة المنخفضة التركيب الكيماوي

S	كبريت
NaCl	هاليت
Fe <sub>2</sub> O <sub>3</sub>	هيماتيت
γ - Fe <sub>2</sub> O <sub>3</sub>	ماجهيميت
MnO <sub>2</sub>	بيروكسيت
SiO <sub>2</sub>	كوارتز
SiO <sub>2</sub>	اوبال - سي تي
Ca (OH) <sub>2</sub>	بورتلانديت
FeO. OH	جوثيت
CaH <sub>2</sub> (Si <sub>2</sub> O <sub>6</sub> ). H <sub>2</sub> O	سيلكات الكالسيوم المميّهة
μ = Ca CO <sub>3</sub>	فاتيريت
Ca <sub>2</sub> (HSiO <sub>4</sub> )OH	سيلكات الكالسيوم الثنائية المميّهة

یتبع جدول (۱۲ - ۱)

$\text{Ca CO}_3$	أراجونیت
$\text{Ca Mg (CO}_3)_2$	دولومایت
$\text{Ca (Mg, Mn) (CO}_3)_2$	کوتناهوریت
$\text{Ca SO}_4$	انهیدرایت
$\text{Ba SO}_4$	باریت
$\text{Ba (Cr,S) O}_4$	هاشمیت
$\text{Ca SO}_4 \cdot 2\text{H}_2\text{O}$	جبس
$\text{Ca}_6 (\text{Al(OH)}_6)_2 (\text{SO}_4)_3 \cdot 26\text{H}_2\text{O}$	إترنجیت
$\text{CaSO}_4 \cdot 1/2 \text{H}_2$	باسانیت
$\text{Ca}_3 (\text{SiO}_3 \cdot \text{OH})_2 \cdot 2\text{H}_2\text{O}$	أفویللیت
$\text{Ca}_5 (\text{PO}_4 \cdot \text{CO}_3)_3 (\text{OH}, \text{F})$	فرانکولیت
$\text{Ca}[(\text{UO}_2) (\text{PO}_4)]_2 \cdot 2-6\text{H}_2$	میتا اوتیونیت
$\text{Ca} ((\text{UO}_2) (\text{VO}_4))_2 \cdot 3-5\text{H}_2\text{O}$	میتاتینامیونیت
$\text{Ca}_6\text{H}_4 (\text{SiO}_4)_2 (\text{CO}_3)_2 \cdot 26 \text{H}_2\text{O}$	ثوماسینت
$\text{Ca}_5 \text{H}_2 (\text{Si}_3\text{O}_9)_2 \cdot 2 \text{H}_2\text{O}$	توبیرموریت ۹، ۳
$\text{Ca}_5\text{H}_2 (\text{Si}_3\text{O}_9)_2 \cdot 4\text{H}_2\text{O}$	توبیرموریت ۱۱، ۳
$\text{Ca}_5\text{H}_2 (\text{Si}_3\text{O}_9)_2 \cdot 6\text{H}_2\text{O}$	توبیرموریت ۱۴
$\text{K F Ca}_4 (\text{Si}_4\text{O}_{10})_2 \cdot 8\text{H}_2\text{O}$	أبو فیلیت
$\text{K}_{0.8} (\text{Al, Fe, Mg})_2 \text{Si}_4 \text{O}_{10} (\text{OH})_2$	إلیت
$\text{K}_{0.3} (\text{Al}_{1.7}\text{Mg}_{0.3}) \text{Si}_4 \text{O}_{10} (\text{OH})_2$	مونتموریللونیت
$1.06 \text{M}^+ (\text{Si}_{7.39} \text{Al}_{0.61}) \text{Cr}_{2.20} \text{Mg}_{2.52} \text{O}_{20} (\text{OH})_4$	فولکونسکویت
$\text{Al}_2 \text{Si}_2 \text{O}_5 (\text{OH})_4$	کالینیت

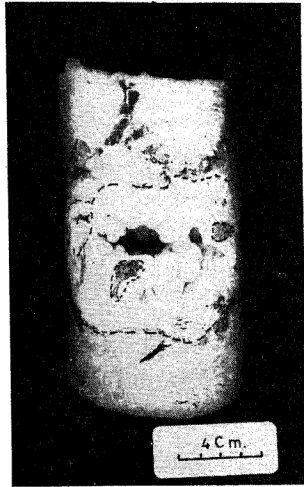
وتعد المعادن ذات درجة الحرارة المرتفعة المكون الأساسي لصخور الرخام، في حين توجد المعادن ذات الحرارة المنخفضة مألثة الشقوق والفواصل والفراغات. و يبين الشكل (١٢-٥) عينة اسطوانية تظهر المعادن منخفضة الحرارة تملأ الفراغات وتنمو على حساب الرخام من منطقة المقارن، و يبين الشكلان (١٢-٦، ١٢-٧) صورتين مجهريتين لمعرفي الكالسيت والأباتيت المتبلورين اللذين يعتبران المكون الأساسي للرخام الأردني. وتوجد أشكال واللوان مختلفة لأطوار السيليكا المصاحبة (Khoury and Graetsch, 1989) أهمها الأوبال-سي تي والأوبال-أ ولوناليت Lunalite إضافة الى الكوارتز والكوارتزيت والكالسيدوني (الشكلان ١٢-٨ و ١٢-٩).

وتبين الاشكال (١٢-١٠، ١٢-١١، ١٢-١٢، ١٢-١٣، ١٢-١٤، ١٢-١٥، ١٢-١٦، ١٢-١٧) صوراً مختارة تحت المجهر الالكتروني الماسح لمعادن الأباتيت وكالسيت واترنجيت-ثوماسيت (احلال كامل) وتوبيرموريت وجبس وباسانيت وأنهدريت وهيدروكسي أبوفيلليت وتظهر بعض هذه المعادن تركيباً بلورياً جديداً ذا أهمية واسعة من الناحيتين الأكاديمية والاقتصادية وخاصة فيما يتعلق بصناعة الاسمنت. والبحث لا يزال مستمراً على هذه المعادن.

والتركيب الكيماوي لصخور معادن الرخام فريد و يختلف عن أي رخام معروف. و يبين الجدولان (١٢-٢ و ١٢-٣) التركيب الكيماوي للعناصر الأساسية والشحيحة لثلاث عينات من الرخام الرمادي والأخضر والبني. ومما يجدر ذكره أن اللون الأخضر يعزى الى وجود معدن الأباتيت، وأن درجة التلون في رخام ضبعة لها علاقة بدرجات حرارة التحول الى الأباتيت والى وجود معادن ثانوية ملونة مثل الاترنجيت (الأصفر) والفولكونسكيت (الأخضر) وتوبيرموريت و بورتلانديت (أبيض) ... الخ والتي تحمل نسبة عالية من العناصر الشحيحة مثل الكروم. و يبين جدول (١٢-٤) التركيب الكيماوي لمعدن ثوماسيت حيث يظهر بوضوح وجود نسبة عالية من ثالث اكسيد الكبريت التي تحل محل مجموعة الكربونات بحيث يتغير المعدن في حالة الاحلال الكامل الى اترنجيت. و يبين جدول (١٢-٥) التركيب الكيماوي لمادة ثانوية صفراء غير متبلورة مشابهة الى حد كبير التركيب الكيماوي لمعدن لاشتونيت.

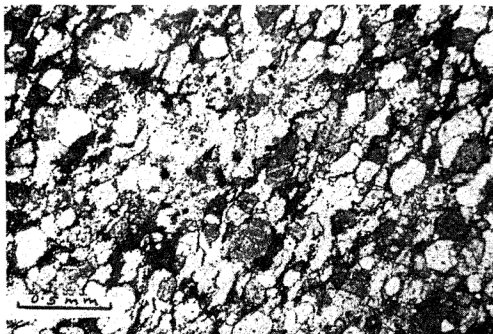
### نشأة الرخام في الاردن :

يوجد الرخام الملون في الأردن في الوحدة الصخرية نفسها المكافئة للحجر الجيري البييتومييني (الصخر الزيتي) في وحدة الطباشير-المارل. و يغطي الصخر الزيتي الأردني مساحات شاسعة من الأردن، و يتكشف قريباً من السطح في أواصر الأردن وجنوبه. و يتميز الرخام كما ذكرنا بوجود مجموعتين من المعادن :-

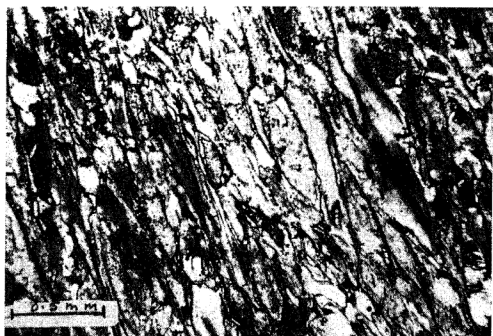


شكل ١٢-٥ عينة أسطوانية تبين المعادن منخفضة الحرارة مألوفة للفراغات ونامية على حساب الرخام.

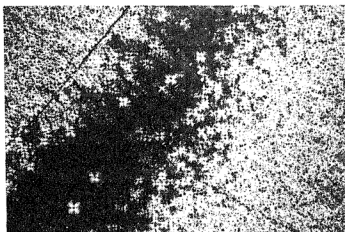




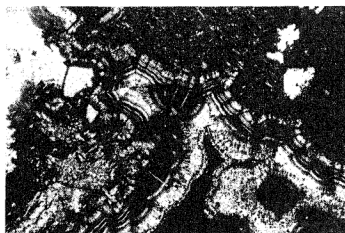
شكل ١٢ - ٦ صورة مجهرية تبين معادن الكالسيت والأباتيت المتبلور في الرخام.



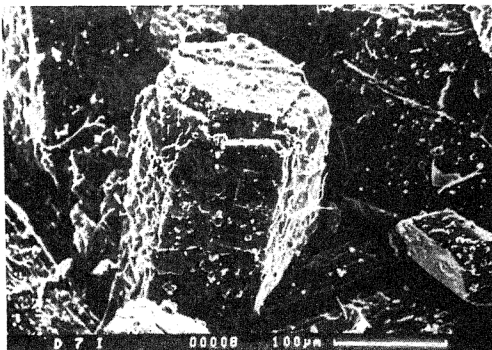
شكل ١٢ - ٧ صورة تبين معدن الأباتيت المتبلور من رخام صو يلح.



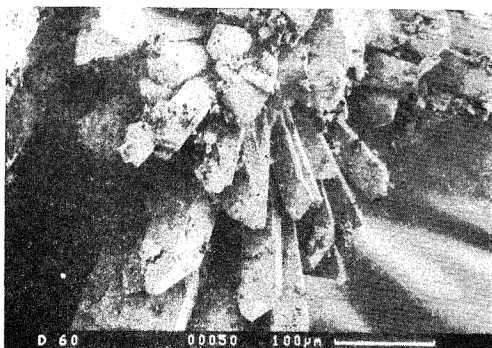
شكل ١٢ - ٨ صورة مجهرية لمعدن لونا لايت على شكل دوائر مصاحب الأ وبال - أ من منطقة المقارن.



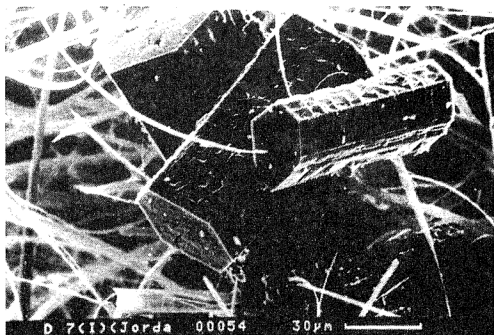
شكل ١٢ - ٩ صورة مجهرية لمعدن أو بال - سي تي المكون الأساسي لأطوار السيليكا الملونة من منطقة ضبعة.



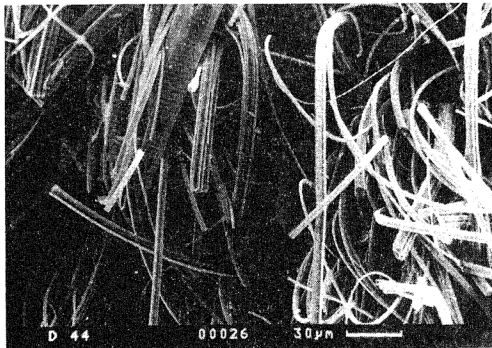
شكل ١٢-١٠ صورة تحت المجهر الالكتروني الماسح لمعدن أباتيت من منطقة ضبعة.



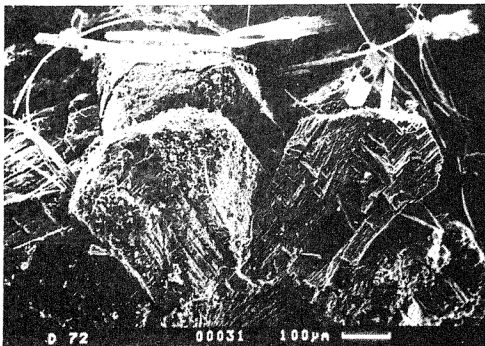
شكل ١٢-١١ صورة تحت المجهر الالكتروني الماسح لمعدن كالسيت من منطقة ضبعة.



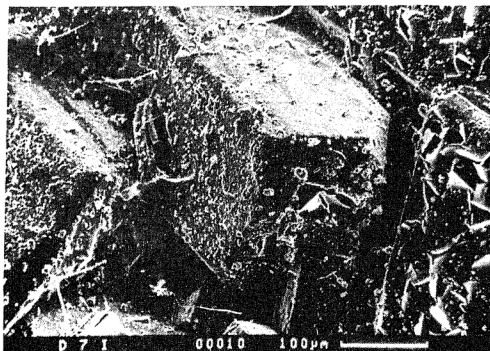
شكل ١٢-١٢ صورة تحت المجهر الالكتروني للاترنجيت - ثوماسيت (احلال كامل) من منطقة ضبعة وتظهر معها بلورات تو بيرموريت.



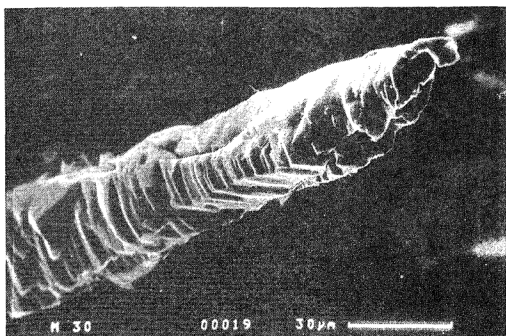
شكل ١٣-١٣ صورة تحت المجهر الالكتروني الماسح لبلورات التوبيرموريت من منطقة ضبعة.



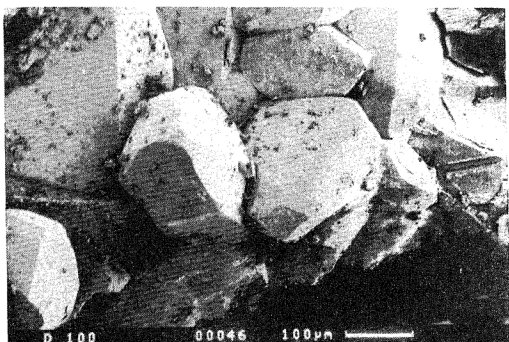
شكل ١٢-١٤ صورة تحت المجهر الالكتروني الماسح لبلورات من الباسانيت والانهدرايت مع بلورات ليفية من التو بيرموريت (ضبعة).



شكل ١٢-١٥ صورة تحت المجهر الالكتروني الماسح لبلورات من الجبس مع معادن طينية من منطقة ضبعة.



شكل ١٢-١٦ صورة تحت المجهر الالكتروني لصفائح البورتلانديت مرتبة على شكل ابري من منطقة المقارن.



شكل ١٢-١٧ صورة تحت المجهر الالكتروني الماسح لمعدن ابوفيليت من منطقة ضبعة.



شكل ١٢- ١٨ صورة ممثلة لظاهرة التركيب التشقي في الرخام نتيجة التمدد والتقلص.

١. مجموعة المعادن ذات درجة الحرارة العالية والمباشية الى حد كبير معادن الصخور المتحولة الحرارية التي تتكون عادة تحت ضغط منخفض. وتطغى عمليات فقدان ثاني اكسيد الكربون والماء واعادة التبلور على تكو ين هذه المجموعة.
٢. مجموعة المعادن ذات درجة الحرارة المنخفضة التي تملأ الفراغات والشقوق نتيجة التبلور من المياه المتخللة أو خلال عمليات التميح والتكربن والاحلال... الخ لمعادن المجموعة الأولى.

ويتوقع أي باحث من اول نظرة للمجموعة الاولى من المعادن وجود صخر ناري متدخل مسؤول عن التحول الحراري للصخور الجيرية. ولكن الوضع يختلف في نشأة الرخام الاردني. فلا يوجد أي دليل على وجود صخر ناري متدخل في أي من مناطق الدراسة. كما أن الصخور المتحولة في منطقة ضبعة -سواقة تنتشر في مساحات شاسعة، والرخام محصور في الطبقات المكافئة للصخر الزيتي بحيث توجد صخور رسوبية بحرية في أعلى مناطق الرخام وأسفلها. وبالتالي فإنه يجب أن يكون هناك مصدر للحرارة العالية للتحول غير الصخور النارية المتدخلة. ولا يوجد تفسير سوى تبني نظرية الحرق الذاتي للصخر الزيتي. وعملية الحرق الذاتي معروفة وخاصة في مناجم الفحم حيث تصل الحرارة الى ١٠٠٠ درجة مئوية ولكن تحتاج الى ثلاثة شروط هي توافر الأوكسجين والمواد





جدول (١٢ - ٢) التركيب الكيماوي لثلاث أنواع من رخام ضبعة

الأكاسيد. %	الرغام الرمادي	الرغام الأخضر	الرغام البني
SiO <sub>2</sub>	3.08	1.57	8.4
TiO <sub>2</sub>	0.01	0.01	0.02
Al <sub>2</sub> O <sub>3</sub>	0.35	0.45	5.03
Fe <sub>2</sub> O <sub>3</sub>	0.27	0.17	0.26
MnO	0.68	0.01	00.0
MgO	2.18	0.28	0.2
CaO	47.75	55.12	36.66
Na <sub>2</sub> O	0.00	0.00	0.00
K <sub>2</sub> O	0.01	0.00	0.00
P <sub>2</sub> O <sub>5</sub>	0.01	22.34	1.2
SO <sub>3</sub>	0.54	0.31	10.14
LOI	43.8	18.70	36.70
	98.68	99.00	98.61

العضوية البيتيومينية والحدث الذي يساعد على بدء التفاعل. إن قرب الصخر الزيتي من السطح وتأثره بالعوامل التكتونية المختلفة في مناطق الرغام ساعدت في تكوين الكسور والشقوق التي فتحت الطريق للاوكسجين لينفذ. وكما هو معروف فإن الصخر الزيتي غني بالكبريت الذي تصل نسبته إلى أكثر من ٢٥٪ من المحتوى الصخري. ولكن ما هو الحدث الذي بدأ عملية الاحتراق؟ لا بد وأن هنالك علاقة بين تكتونية مناطق الرغام و بدء التفاعل، فمثلا التصدع الكثيف في منطقة ضبعة (نهاية عصر الميوسين) والانثناء في منطقة صويلح وصعود الصهير البازلتية في عصر البلايستوسين في المقارن. إن بدء عملية الحرق للصخر الزيتي سوف يؤدي إلى ارتفاع حرارة الصخر وتمدده و يتبع ذلك عمليات

جدول ١٢ - ٣ العناصر المشححة في ثلاثة انواع من رخام ضبعة

العناصر (جزء بالمليون)	الرغام الرمادي	الرغام الاخضر	الرغام البي
Ba	171	497	121
Ce	46	39	90
Co	4	1	0
Cr	17	438	4319
Cu	30	261	250
La	66	103	174
Nb	0	0	9
Ni	20	25	183
Pb	9	28	0
Rb	0	0	1
Sc	0	0	0
Sr	7262	1268	269
Th	0	4	7
V	19	150	346
Y	3	76	17
Zn	21	954	1763
Zr	159	35	4

جدول (١٢ - ٤) التركيب الكيماوي لمعدن  
ثوماسيت يبين الاحلال الجزئي مع معدن  
اترنجيت من منطقة المقارن

النسب المئوية	الأكاسيد
25.4	CaO
0.06	MgO
8.9	SiO <sub>2</sub>
7.7	CO <sub>2</sub>
16.0	SO <sub>3</sub>
36.18	H <sub>2</sub> O-
4.61	H <sub>2</sub> O <sup>+</sup>
0.19	Al <sub>2</sub> O <sub>3</sub>
99.04	المجموع

جدول (١٢ - ٥) التركيب الكيماوي لمادة  
غير متبلورة صفراء من منطقة المقارن

النسبة المئوية	الأكاسيد
25.12	SiO <sub>2</sub>
0.00	TiO <sub>2</sub>
0.07	Al <sub>2</sub> O <sub>3</sub>
0.13	Fe <sub>2</sub> O <sub>3</sub>
0.00	MnO
0.09	MgO
43.63	CaO
0.00	Na <sub>2</sub> O
0.01	K <sub>2</sub> O
0.17	P <sub>2</sub> O <sub>5</sub>
2.17	SO <sub>3</sub>
0.04	Cr <sub>2</sub> O <sub>3</sub>
0.34	ZnO
28.20	L01
99.97	

التبريد والتقلص مما يساعد في تكوين قنوات ثانوية تسهل حركة الاوكسجين الذي يعتبر توافره من أهم عوامل استمرارية التفاعل. و يبين شكل (١٢ - ١٨) عينة رخام تمثل ظاهرة التركيب التشقيقي نتيجة التمدد والتقلص.

ولقد دعمت دراسة النظائر الثابتة للأوكسجين مبدأ الحرق الذاتي للصخر الزيتي، وكما يبين شكل (١٢ - ١٩) فإن هناك تركيزاً للنظائر الخفيفة في الصخور المتحولة مقارنة بالصخور غير المتحولة<sup>(١١)</sup> (Khoury, 1989). وكلما زادت حرارة الاحتراق زاد تركيز النظائر الخفيفة. و يتصاعد ثاني أكسيد الكربون الغني بالكربون الخفيف عادة نتيجة عملية الحرق للمواد العضوية و يدخل في تركيب الكالسيت والاباتيت والشبوريث المتبلور. ولكي يستمر التفاعل وخاصة عند تكوين بعض المعادن مثل ولاشتونيت، يجب أن يبقى تركيز ثاني أكسيد الكربون في الصخور منخفضاً عن طريق خروجه الى الجو أو تخفيفه عن طريق المياه المتخللة.

أما المعادن ذات درجة الحرارة المنخفضة فإن تكوينها له علاقة مباشرة بوجود مياه قلووية تتخلل هذه الصخور تصل قلويتها الى أكثر من (١٢). وقد سجلت هذه المياه في منطقة المقارن<sup>(١٢,١٣)</sup> (Khoury, 1985; Khoury et al, 1985). و يبين جدولاً (١٢ - ٦) و (١٢ - ٧) التركيب الكيماوي للمياه القلووية من حيث الاملاح الذائبة والعناصر النادرة والتي هي أصلاً ذات تركيز عال في الصخر الزيتي. وكما يظهر فإن هذه المياه القلووية هي من النوع هيدروكسيد الكالسيوم، وتكونت نتيجة ذوبان البورتلانديت الذي يعتبر معدناً واسع الانتشار وخاصة في منطقة المقارن. و يتكون البورتلانديت نتيجة تجميع أكسيد الكالسيوم الناتج عن كلجنة الحجر الجيري الببتيوميوني الخالي من الشوائب السيليكايتية. وتتفاعل هذه المياه مع ثاني أكسيد الكربون بمجرد خروجها الى السطح وترسب الكالسيت على شكل صواعد وهوابط (شكل ١٢ - ٢٠).

إن المياه القلووية الغنية بهيدروكسيد الكالسيوم المتخللة في الصخر الزيتي أو نواتجه من الرخام هي المسؤولة عن ترسيب الترافرتين وتكوين المعادن المنخفضة الحرارة ذات التركيب الكيماوي المتباين، كذلك فإن لهذه المياه القدرة على التفاعل واستخراج العناصر المختلفة من الصخور التي تتخللها وترسيبها على شكل معادن ثانوية. ولقد بين<sup>(١٤)</sup> Barnes, et, 1982 أن المياه القلووية من وادي السجيين في منطقة المقارن فوق مشبعة بالنسبة لبعض المعادن مثل ولاشتونيت الذي يعتبر معدناً مميزاً للتحول الحراري العالي.

جدول (١٢ - ٦) التركيب الكيماوي للمياه القلوية من منطقة المقارن

	نق A-6	نبع وادي السجين	بئر FS-1	منطقة الترافرتين	نق AFS-2	نق A-1	نق A-4
	—	—	—	—	—	—	—
Temperature (°C)		29.8	24.6		24.6		
pH	12.6	12.5	12.5	12.6	12.6	12.6	12.5
Ca <sup>2+</sup> mg l <sup>-1</sup>	480.06	815.63	923.84	735.47	679.36	710.10	310.62
meq l <sup>-1</sup>	24.30	40.70	46.10	36.70	33.90	35.43	16.60
meq%	87.13	94.78	94.82	89.33	92.66	91.91	70.61
Mg <sup>2+</sup> mg l <sup>-1</sup>	0.00	0.00	zero	6.08	3.66	zero	7.30
meq l <sup>-1</sup>	zero	zero	0.00	0.5	0.30	zero	0.60
meq%	0.00	0.00	0.00	1.14	0.82	0.00	3.98
Na <sup>+</sup> mg l <sup>-1</sup>	67.27	30.06	45.98	124.18	50.68	59.77	69.27
meq l <sup>-1</sup>	2.90	1.70	2.00	6.40	2.20	2.60	3.00
meq%	10.40	3.96	4.11	—	6.01	0.74	16.41
K <sup>+</sup> mg l <sup>-1</sup>	26.27	21.11	20.33	75.86	20.72	21.90	14.47
meq l <sup>-1</sup>	0.66	0.54	0.62	1.94	0.93	0.86	0.37
meq%	2.37	1.28	1.07	12.26	1.45	1.46	1.90
Total Cations meq l <sup>-1</sup>	27.89	42.94	48.62	44.04	36.83	38.69	19.47
CO <sub>3</sub> <sup>2-</sup> mg l <sup>-1</sup>	30.01	108.04	36.01	162.06	60.02	42.33	18.31
meq l <sup>-1</sup>	1.00	3.80	1.20	5.46	2.00	1.41	0.61
meq%	3.56	8.86	2.47	12.98	5.50	3.33	3.09
HCO <sub>3</sub> <sup>-</sup> mg l <sup>-1</sup>	0.00	0.00	0.00	0.00	0.00	0.00	0.00
meq l <sup>-1</sup>	0.00	0.00	0.00	0.00	0.00	0.00	0.00
meq%	0.00	0.00	0.00	0.00	0.00	0.00	0.00
OH <sup>-</sup> mg l <sup>-1</sup>	328.39	623.91	682.10	435.46	474.68	533.06	176.88
meq l <sup>-1</sup>	19.30	30.80	40.10	25.00	27.90	30.76	10.34
meq%	68.64	73.18	82.44	69.62	76.69	72.61	82.61
Cl <sup>-</sup> mg l <sup>-1</sup>	76.29	91.76	101.04	203.63	74.23	96.74	92.91
meq l <sup>-1</sup>	2.16	2.59	2.85	7.16	2.09	2.70	2.62
meq%	7.63	6.16	6.66	16.69	5.75	6.37	13.25
NO <sub>3</sub> <sup>-</sup> mg l <sup>-1</sup>	3.05	8.86	2.25	32.94	8.18	7.75	2.86
meq l <sup>-1</sup>	0.06	0.14	0.04	0.93	0.13	0.13	0.05
meq%	0.18	0.23	0.08	1.23	0.36	0.31	0.25
SO <sub>4</sub> <sup>2-</sup> mg l <sup>-1</sup>	271.86	238.23	223.34	204.61	204.61	350.28	286.26
meq l <sup>-1</sup>	5.66	4.96	4.65	4.26	4.26	7.42	5.96
meq%	20.10	11.78	9.66	8.78	11.71	17.80	30.15
Total Anions meq l <sup>-1</sup>	28.16	42.09	48.64	42.94	36.38	42.41	19.77
T.D.S. mg l <sup>-1</sup>	2068.17	2030	1876.93	1775.93	1676.03	1774.70	997.68

جدول (١٢ - ٧) العناصر الشحيحة في المياه القلوية من منطقة المقارن<sup>(٢٢)</sup>

الموقع	pH	T.D.S. (mg l <sup>-1</sup> )	Cu (ppb)	Mn (ppb)	Cr (ppb)	Ni (ppb)	Zn (ppm)	Pb (ppb)	Fe (ppm)	Co (ppb)	Cd (ppb)	Mo (ppb)
A-6 نفق	12.5	1127.87	6.79	2.76	400.70	18.79	0.02	41.97	0.125	47.53	6.35	27.63
وادي السجين	12.5	1866.00	17.54	46.38	523.32	67.41	0.10	95.79	0.081	39.65	9.76	49.62
منطقة الترافرتين	12.5	2030.24	33.13	14.02	422.74	66.00	0.13	81.96	0.113	38.94	8.54	38.07
FS-1 بئر	12.5	2868.94	16.71	19.42	161.08	75.53	0.10	81.15	0.161	50.22	9.91	80.77
AFS-2 نفق	12.5	1575.93	14.48	16.18	265.46	59.65	0.10	69.19	0.096	36.81	9.76	46.35



شكل ١٢ - ٢٠ الصواعد والهوابط المترسبة من المياه القلوية في أحد الانفاق في منطقة المقارن.

## اهمية الرخام الأردني

ان اهمية الصخر الزيتي العلمية في الأردن ترجع الى وجود بعض التفاعلات الطبيعية الفريدة غير العادية التي تشبه الى حد كبير ما يجري في صناعة الاسمنت . ان هذه التفاعلات في الأردن أدت الى تكوين صخور الرخام واسعة الانتشار في مناطق ضبعة – سواقة وصويلح والمقارن . وتأتي أهميتها من كونها مستمرة حتى الان وتظهر بوضوح أكثر في منطقة المقارن .

ان دراسة هذه الصخور التي هي ناتج طبيعي مشابه لصناعة الاسمنت يمكن ان تفتح الباب الى كثير من الحقائق والنتائج غير المعروفة حتى الان في الصناعة الاسمنتية .

و يعرف الاسمنت بأنه مسحوق مصنع أبيض أو رمادي عندما يمزج بالماء يعطي كتلة لدنة تتصلب فيما بعد . ان انتاج الاسمنت البورتلندي يتضمن تسخين مزيج من كربونات الكالسيوم والسيليكا والالومينا تحت ضغط منخفض حيث تتم ازالة الماء وثاني اكسيد الكربون ، ويتكون من سيليكات الكالسيوم والومينات الكالسيوم واطوار من الحديد . أن المعادن المكونة للاسمنت غير ثابتة بوجود الماء وثاني اكسيد الكربون ، وبالتالي فان الاسمنت يتفاعل مع الماء وثاني واكسيد الكربون ويتكون نواتج الاسمنت المميهة والمكرنة التي تعتبر جزءاً من عمليات التصلب .

واذا اراد شخص أن يجد صخوراً مكافئة لمكونات الاسمنت الاساسية فهي الصخور الرسوبية المشابهة في التركيب والغنية بكربونات الكالسيوم والالمنيوم والسيليكا . (الحجر الجيري والمارل) حيث تسخن هذه الصخور الى درجة حرارة عالية وضغط منخفض لتكون الاسمنت . والصخور المتحولة المكونة تحت درجة حرارة عالية وضغط منخفض في الطبيعة هي سحنات السانيدينييت هورنفلس المميزة للتحويل التماسي الحراري ، وتكون عادة في الطبيعة ذات انتشار محدود وضيق لا يتعدى ٢٠٠ م من نقطة التماس بالصخور النارية المتدخلة .

إن الصخور المتحولة في الأردن ذات انتشار واسع مشابه لمكونات الاسمنت ونواتجه بشكل واضح أكثر من أي انتشار صخري معروف حتى الان . و يمتد التشابه الى اكثر من التكافؤ المعدني وذلك لأن مصدر الطاقة في صناعة الاسمنت وفي هذه الصخور المتحولة هو نفسه الا وهو الزيت (البترول) .

ان الصخر الزيتي والصخور المتحولة منه نتيجة للحرق الذاتي للمواد العضوية والكبريتيدات تتكشف في مناطق عديدة من الأردن في الشمال والوسط والجنوب ، وتتميز هذه الصخور بوجود مجموعتين من المعادن مشابهة الى حد بعيد لمكونات الاسمنت ، ونواتجه :-

- ١ ( سيلكات والومينات الكالسيوم المشابهة لمكونات الاسمنت البورتلندي من جهة.  
ب ( سيلكات والومينات الكالسيوم الميهه والمكرينة المشابهة لنواتج الاسمنت من الجهة  
الافرى.

ان الرخام الأردني المشابهة للاسمنت البورتلندي ونواتجه من الناحية المعدنية يمكن  
أن يكون له مدلولات عملية، حيث أن صناعة الاسمنت لا تتعدى ١٥٥ عاماً.

ان مدى تحمل الاسمنت وقوة الخرسانة على المدى البعيد ما هي الامجرد تكهنات  
كاستخدامه مثلاً في تخزين نواتج المواد المشعة... الخ، و بالتالي فإن دراسة عينة صخرية  
ضخمة من الرخام المشابهة للاسمنت الذي هو أقدم من أي حضارة يمكن ان تساهم في هذا  
المجال. كذلك فإن تشابه عمليات التحول والتجارب الحديثة لحرق الصخر الزيتي في مكانه  
يمكن ان تساعد في معرفة تأثيره على البيئة. ان دراسة تحرك العناصر الثقيلة من الرخام الى  
مستوى المياه الجوفية يمكن أن يؤدي الى معرفة أعلى حد لتحرك هذه العناصر وتأثيرها على  
البيئة الأردنية.



## References

1. Barjous, M., 1986: The geology of Siwaqa map, sheet No. 3252. N.R.A Bull. 4, 70 p.
2. Barnes, I., Presser, T., Saines, M., Dickson, P., and Koster Van Gross, A., 1982:- Geochemistry of high basic calcium hydroxide groundwater in Jordan, Chem. Geol., 35: 147-154.
3. Bender, F., 1968: Geologie Von Jordanien; Beitrage Zur Geologie der Erde, Gerburder Borntraeger, 203 p.
4. Bendor, Y., Gross, S., and Heller, L., 1963: Some unusual minerals from "Mottled Zone" complex, Israel., Amer Min. 48: 924-930.
5. Bendor, Y., Gross, S., and Kolodny, Y., 1972: New evidence on the origin of the high temperature mineral assemblage of the "Mottled Zone", Israel, 24th, International Geological Congress, 2: 265-275.
6. Burdon, D., 1959: Handbook of the geology of Jordan; to accompany and explain the three sheets of 1:250.000 geological map of Jordan, east of the Rift by A. Quennell., Govt., Hashemite Kingdom of Jordan. 82 p.
7. Gross, S., Mazar, E., and Zak, I., 1967: The "Mottled Zone" complex of Nahal Ayalon, central Israel, Israel J. Earth-Sci., 16:84-94.
8. Gross, S., 1977: The mineralogy of Hatrurim Formation, Israel. Geol. Survey of Israel, Bull. 7, 80 p.
9. Hakki, W., 1978: Daba marble project, N.R.A. Unpublished Report, Amman, 40 p.
10. Hauf, p., 1979: Hashemite from Daba, Jordan, U.S. Geol. Survey, Internal Report, Washington.
11. Heimbach, W., and Rösche, H., 1980: Die Mottled Zone in Central Jordanien., Geol. Jb. 40: 3-17.
12. Jaser, D., 1986: The geology of Khan ez Zabib, Map sheet No. 3253 III., N.R.A., Bull. 3,47 p.
13. Khoury, H., 1985: The origin of highly alkaline waters from the Maqarin area, north Jordan, Dirasat, 12: 125-131.
14. Khoury, H., 1989: Isotopic evidence of thermal metamorphism of the bituminous limestone of Maqarin area, Jordan. (In Press).
15. Khoury, H., and Nassir, S., 1982a: A discussion on the origin of Daba-Siwaqa marble, Dirasat, 9:55-66.
16. Khoury, H., and Nassir, S., 1982 b : High temperature mineralization in the bituminous limestone in Maqarin area, north Jordan., N.Jb. Miner. Abh. 144: 197-213.
17. Khoury, H; and Salameh, E., 1986: The origin of high temperature minerals from Sweileh area, Jordan, Dirasat, 8: 261-269.

18. Khoury, H., and graetsch, H., 1989: Mineralogy and petrography of some opaline phases from Jordan. (In Press).
19. Khoury, H., Mackenzie, R., Russel, J., and Tait, J., 1984: An iron free volkonskoite, *Clay Mins*, 19: 43-47.
20. Khoury, H., Salameh, E., and Abdul-Jaber, Q., 1985: Characteristics of an unusual highly alkaline water from the Maqarin area, northern Jordan. *J. Hydrol.*, 81: 79-91.
21. Kolodny, Y., Bar, M., and Sass, E., 1971: Fission track age on the "Mottled Zone Event" in Israel. *Earth and Planet. Sci. Lett.*, 11: 269-272.
22. Kolodny, Y., Schulman, N., and Gross, S., 1973: Hazeva Formation sediments affected by the "Mottled Zone Event". *Israel J. Earth-Sci.*, 22: 185-193.
23. Kolodny, Y., and Gross, S., 1974: Thermal metamorphism by combustion of organic matter; isotopic and petrological evidence., *J. Geol.* 82: 489-506.
24. Kolodny, Y., 1979: Natural cement factory: A geological story. *Franklin Pierce Collge*, 203-215.
25. Matthews, A., Kolodny, Y., 1978: Oxygen isotope fraction in decarbonation metamorphism, *Earth Planet., Sci. lett.*, 39:197-192.
26. Mikbel, Sh., and Zacher, W., 1981: The Wadi Shueib structure in Jordan., *N.Jb. Geol. Palaont. Mh.*, 9:579.
27. Nassir, S., and Khoury, H., 1982: Geology, mineralogy, and petrology of Daba marble, Jordan, *Dirasat*, 9: 109-130.
28. Ruef, M., and Jeresat, K., 1965: Geology of Jiza-Qatrana area, Central Jordan., N.R.A. Unpublished Report, Amman.
29. Salameh, E., 1980: The Sweileh structure, *N.Jb. Geol. Palaont., Mh.*, 7: 428-438.
30. Wiesemann, G., and Abdullatif, A., 1963: Geology of Yarmouk area, north Jordan, *GGM.*, 120 p.
31. Wiesemann, G., and Rösch, H., 1969: Das Apatit-Vorkommen Von Suweileh, Nord-Jordanien. *Beih, Geol. Jb.* 81:177-214.

## الفصل الثالث عشر

الترافرتين

## الترافرتين

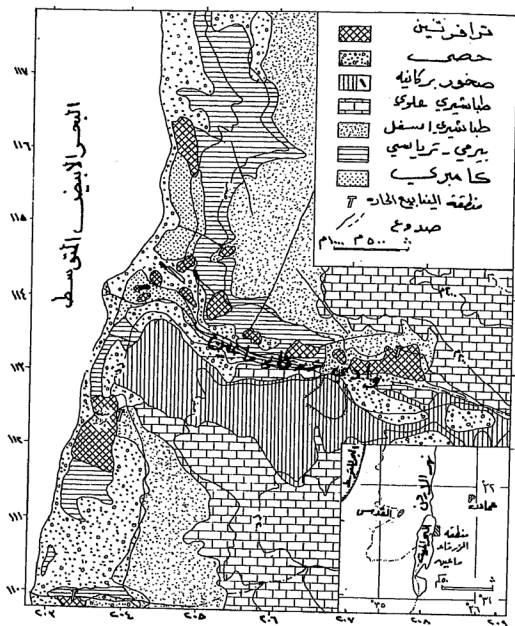
يوجد الترافرتين في منطقة غور الأردن وعلى طول حزام يمتد من منطقة الحمة في الشمال الى منطقة زارة في الجنوب وفي مناطق حمامات الزرقاء - ماعين وخان الزبيب . وهو موجود في غور الأردن على شكل رواسب تختلف في حجمها من منطقة الى أخرى إلا أن أكبرها موجود في منطقة تبعد ٩ كم جنوب ديرعلا. وكما هو معروف فإن رواسب الترافرتين هي دلالة على أن ينابيع ساخنة قديمة كانت موجودة على طول غور الاردن في العصر البلايستوسين - الحديث ومسؤولة عن الترسيب الكيماوي. ولقد قسمت سلطة المصادر الطبيعية<sup>(١)</sup> (NRA, 1981) الترافرتين الى خمس مجموعات بالاعتماد على الصلابة واللون والترقق وحجم الفراغات. وتصل سماكة رواسب الترافرتين جنوب ديرعلا ٥٠ م وتغطي مساحة ٥٠٠ م<sup>٢</sup>. ولقد قدر الاحتياطي بحوالي ٢٥ مليون طن متري. وبدأت الشركة العامة للتعدين في استغلال الترافرتين منذ عام ١٩٨١. أما في منطقة الزرقاء - ماعين فيقدر احتياطي أكبر الرواسب حوالي ٢٠ مليون طن متري. وسوف يستعرض المؤلف فيما يلي نتائج الدراسات التي اجريت على الترافرتين في مناطق ينابيع الزرقاء - ماعين الساخنة وخان الزبيب .

### الترافرتين في منطقة ينابيع الزرقاء - ماعين

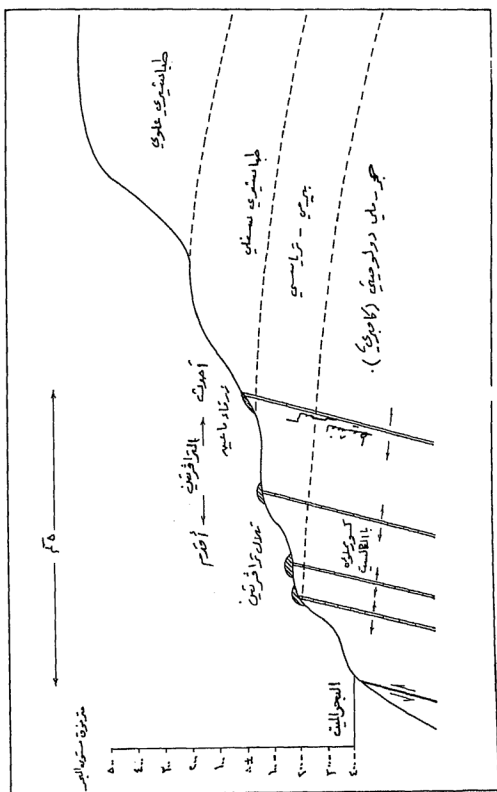
تقع منطقة الترافرتين على بعد ٥٠ - ٦٠ كم جنوب غرب عمان وتمثل جزءاً من المنحدرات الشرقية الى البحر الميت. و يبين شكل (١٣ - ١) خريطة جيولوجية للمنطقة حيث تتكشف صخور من العصر الكامبري وحتى الطباشيري العلوي. و يبين شكل (١٣ - ٢) مقطعاً جيولوجياً من البحر الميت الى الجبال الشرقية حيث تظهر رواسب الترافرتين المختلفة القديمة وحتى الحديثة الترسيب. هذا ولقد قام<sup>(١)</sup> Khoury et. al, 1984 بدراسة رواسب الترافرتين المختلفة لمعرفة تكوينها المعدني والكيماوي. و يبين الشكل أيضاً علاقة رواسب الترافرتين بالتصدع في المنطقة حيث يقع وادي الزرقاء ماعين على طول صدع يتجه شرق - غرب. وهناك صدع آخر يتجه شمال شمال شرق - جنوب جنوب غرب مواز لشاطئ البحر الميت و يقطع الصدع الاول. ولقد ساعدت الصدوع في خروج الصهير البازلتي والمياه الساخنة حيث يوجد حالياً في المنطقة حوالي مائة نبع تصل درجة حرارة بعضها الى ٦٣° م.

### رواسب الترافرتين

هناك نوعان من الترافرتين ترسبت من نوعيات مختلفة من المياه الساخنة والباردة، إلا أن رواسب الترافرتين من المياه الساخنة هي الأهم والاكثراً انتشاراً. و يمكن التمييز بين نوعين من الترافرتين هما القديم والحديث. والترافرتين الاقدم الاقرب الى البحر الميت و يتميز بدرجة عالية من المسامية تصل الى ٥٠%. و يعتبر الكالسيت المكون الأساسي للترافرتين القديم وتصل نسبته الى ٩٠%. أما المكونات الأخرى فهي الكوارتز وأكاسيد الحديد والمنغنيز



شكل ١٣-١ خريطة جيولوجية لمنطقة زرقاء ماعين (١).



شكل ١٣ - ٢ مقطع جيولوجي لمنطقة الزرقاء ماعين شينين أماكن وجود الترافنتين (١).

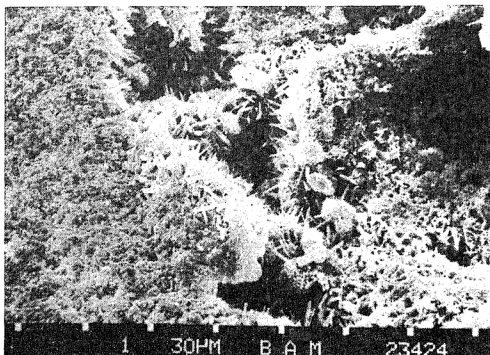
والباريت والمعادن الطينية. وتعتبر رواسب الترافرتين الحديث الناعمة ذات اللون الابيض المصفر ذات اهمية خاصة حيث انها تتكون اساسا من الارجونيت المتبلور على شكل مجموعات من البلورات اللبيفية والشعاعية اشكال (١٣-٢، ١٢-٤، ١٣-٥)، كما هو واضح فان البلورات ذات شكل منشوري سداسي كاذب وذلك نتيجة وجود التوأمة الدائرية. ويعتقد بأن الكالسيت في الترافرتين القديم هو نتيجة للتحويل الكاذب للارجونيت حيث ان الكالسيت هو الطور الثابت في الكربونات المتعددة الشكل.

ودلت نتائج التحليل الكيماوي للترافرتين القديم بأنه غني بثاني اكسيد السيليكون (١٠٪) والنحاس (٣٣٦ جزء بالمليون) واكسيد المنغنيز (٧٣٪) وفقير في السترونشيوم (٧٦٠ جزء بالمليون) وذلك اذا ما قورن بالترافرتين الحديث (السليكا ٣٥٠٪، النحاس ٤٧ جزء بالمليون، واكسيد المنغنيز ٠.٦٣٪ والسترونشيوم ٦٩٥٠ جزء بالمليون). و يبين جدول (١٣-١) قيم النظائر المستقرة للاوكسجين والكربون لثلاث عينات مختلفة من الترافرتين الحديث وعينة من الارجونيت الحديث المترسب من البحر الميت، حيث يظهر تركيز النظائر المستقرة الثقيلة في ارجونيت البحر الميت نتيجة التبخر.

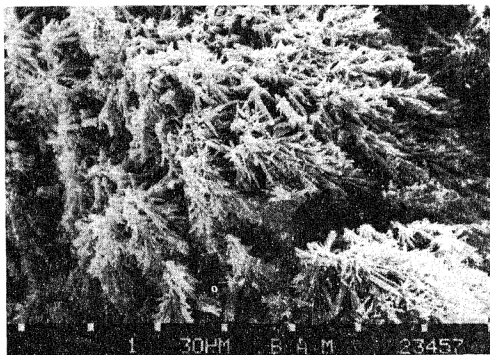
#### نشأة رواسب الترافرتين

يترسب الترافرتين (الكالسيت) من الينابيع عند خروجها الى سطح الأرض نتيجة فقدان ثاني اكسيد الكربون المذاب وذلك لانخفاض الحرارة والضغط المفاجيء حيث تصبح المياه اكثر قلوية. و يبين جدول (١٣-٢) التركيب الكيماوي للمياه الساخنة في منطقة الزرقاء ماعين حيث تظهر نسبة المنغنيز العالية نسبيا ٠.٦٥ ملغم/لتر ونسبة كبريتيد الهيدروجين المنخفضة (٠.٤ ملغم/لتر). وعند خروج المياه الساخنة من السطح تبدأ القلوية بالازدياد حيث أن المياه مشبعة بالنسبة لثاني اكسيد الكربون، و يترسب الارجونيت وتنخفض الحرارة الى ٣٠ درجة مئوية وتزداد الدالة القلوية الى ٨ قبل الاختلاط مع مياه وادي الزرقاء ماعين الجارية والمشبعة بالنسبة لبيكربونات الكالسيوم، وتترسب معظم كربونات الكالسيوم على شكل كالسيت عالق في مجرى الزرقاء ماعين. وعند الالتقاء مع مياه البحر الميت المالحة يترسب الارجونيت او الكالسيت على شكل طبقات رقيقة فيما بعد نتيجة التبخر من مياه البحر الميت. و يترسب الارجونيت عادة عند ازدياد كميات التبخر خلال الفصول الدافئة ويتبادل مع الكالسيت المترسب خلال الفصول الباردة حيث يرتفع منسوب مياه البحر الميت ويقل تركيز الاملاح الذائبة.

أما ترسيب الترافرتين القديم، فلقد تم من مياه ذات درجة حرارة أعلى وتركيز أعلى من الكالسيوم والبيكربونات والحديد، والمنغنيز. وهذا واضح من التركيب الكيماوي للترافرتين القديم. ويعتقد بأن المياه الساخنة القديمة كانت خالية من كبريتيد الهيدروجين. و يبين الجدول (١٣-٢) التركيب الكيماوي المفترض للمياه الساخنة القديمة (١).

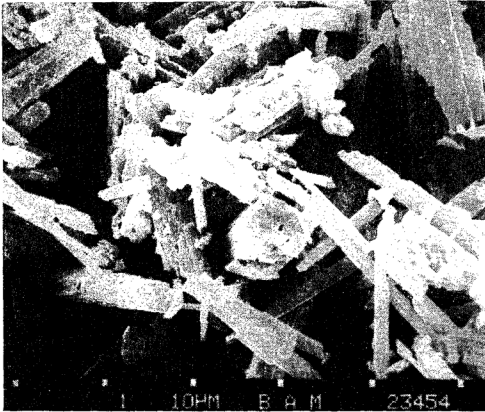


شكل ١٣- ٢ صورة تحت المجهر الالكتروني الماسح لرواسب الترافرتين الحديث.



شكل ١٣- ٤ صورة تحت المجهر الالكتروني الماسح لرواسب الترافرتين الحديث ذات الاشكال العنقودية والشعاعية.





شكل ١٢ - صورة تحت المجهر الإلكتروني الماسح لبلورات أراجونيت سداسية كاذبة مكونة للترافرتين الحديث.

Khudeir, 1983; Salameh and Udlufr, 1984<sup>(٩,٨,٧)</sup> ولقد قام كل من Khoury et. al, 1988 وRimawi, 1980; Salameh and مياه المنطقة حيث تبين بأن هناك خلطاً للمياه المتبخرة من حوض الأزرق ومياه البحر على طول مستوى تماس المياه المالحة / العذبة، وأن الماء المختلط يجد طريقه إلى السطح خلال الصدوع والكسور في المنطقة على شكل ينابيع حارة. و يبين الجدول (١٣ - ٤) تركيب المياه الساخنة من العناصر المستقرة للكربون والأكسجين، وبمقارنة هذه النتائج بجدول رقم (١٣ - ١) تبين بأن هناك تركيزاً للأكسجين الثقيل في الأراجونيت. وهذا شيء طبيعي ناتج عن فقدان ثاني أكسيد الكربون الغني بالأكسجين الخفيف. و يعتقد<sup>(٨)</sup> Khudeir, 1983 و Salameh and بأن التدرج بالحرارة الأرضية في الماضي كان أعلى منه في الحاضر و يعزى ذلك إلى حرارة الصخور النارية البازلتية المدفونة.

جدول (١٣ - ١) النظائر المستقرة في عينات الأراجونيت  
من مناطق الزرقاء ماعين والبحر الميت

رقم العينة	$\delta^{13}\text{C}$	$\delta^{18}\text{O}$
M1	+1.0	-10.1
M2	+1.1	-8.7
M6	+1.1	-8.6
DS	+2.7	+1.6

الأراجونيت من منطقة الزرقاء - ماعين M

الأراجونيت من منطقة البحر الميت DS

جدول (١٣ - ٢) التركيب الكيماوي لمياه الينابيع الحارة  
من منطقة الزرقاء ماعين<sup>(١)</sup>

	mg / l	meq / l	meq %
Na <sup>+</sup>	340	14.79	48.65
K <sup>+</sup>	52	1.33	4.38
Mg <sup>2+</sup>	64	5.26	17.32
Ca <sup>2+</sup>	180	8.98	29.56
Fe <sup>2+</sup>	0.02	0.001	0.01
Mn <sup>2+</sup>	0.65	0.02	0.08
		30.39	100.00
Cl <sup>-</sup>	680	19.18	63.04
Br <sup>-</sup>	4.5	0.04	0.18
I <sup>-</sup>	0.1	0.001	0.007
SO <sub>4</sub> <sup>2-</sup>	250	5.20	17.11
HCO <sub>3</sub> <sup>-</sup>	365	5.98	19.66
HS <sup>-</sup>	0.02	0.001	0.006
المجموع	1936.3	30.42	100.00

جدول ١٣ - ٣ التركيب الكيماوي الفرضي  
لمياه الينابيع الحارة القديمة من منطقة  
الزرقاء ماعين<sup>(١)</sup>

الكاتيونات	
Na <sup>+</sup>	300 mg/l
K <sup>+</sup>	50 mg/l
Mg <sup>2+</sup>	100 mg/l
Ca <sup>2+</sup>	500 mg/l
Mn <sup>2+</sup>	10 mg/l
Fe <sup>2/3+</sup>	20 mg/l
الانيونات :	
Cl <sup>-</sup>	700 mg/l
SO <sub>4</sub> <sup>2-</sup>	300 mg/l
HCO <sub>3</sub> <sup>-</sup>	1700 mg/l
الغاز الذائب CO <sub>2</sub>	2500 mg/l

### الترافرتين في خان الزبيب

يوجد الترافرتين في منطقة خان الزبيب ١٥ كم جنوب ضبعة ، بالقرب من صدين يتجهان شرق - غرب وشمال شمال غرب - جنوب جنوب شرق حيث يتكون من الكالسيت المترسب على شكل اشربة متموجة من الينابيع الحارة التي كانت نشطة في عصر البلايستوسين على طول مناطق التصدع<sup>(١)</sup> (Barjous, 1986). ولقد قام<sup>(٢)</sup> and Rosch 1982 Heimbach بدراسة الترافرتين من منطقة خان الزبيب حيث ذكروا وجود معدن الفولكونسكوييت بالإضافة الى الكوارتز المكون الاساسي للترافرتين الذي يبدو في عملية احلال للمكون الاصلي الكالسيت. توجد معادن أخرى جانبية مثل الأوبال - سي تي والكالسيت والباريت. ونتيجة لأهمية الفولكونسكوييت قام المؤلف<sup>(٣)</sup> Khoury et al, 1984 بدراسته من الناحيتين الكيماوية والمعدنية حيث تبين بأنه معدن خال من الحديد وهو نوعية جديدة من مجموعة السميكتيت يصنف بين مجموعتي السميكتيت الثنائية والثلاثية. و يوجد هذا المعدن

كما ذكر سابقاً مصاحباً لمجموعات المعادن ذات درجة الحرارة المنخفضة في مناطق ضبعة والمقارن. ويبين الجدول (١٣ - ٥) التركيب الكيماوي لمعدن الفولكونسكوييت الأردني مقارنة بالفولكونسكوييت الروسي<sup>(٤)</sup> (Khoury, et al, 1984) وفي دراسة حديثة قام بها المؤلف<sup>(٥)</sup> (Khoury and Graetsch, 1989) تبين بأن السيليكات التي تحل محل الكالسيت في الترافرتين هي من النوع أوبال - سي تي ولوناليت وكالسيدوني. و يبين الشكل (١٣ - ٦) أنواع السيليكات المختلفة في ترافرتين خان الزبيب التي تأخذ اللون الأخضر أيضاً لوجود الكروم على شكل شوائب.

جدول (١٣ - ٤) تركيز النظائر المستقرة في مياه الينابيع الحارة من منطقة الزرقاء ماعين

	$\delta D$	$\delta^{18}O$	T.U.
1	-32.1	-4.29	
2	-32.4	-4.21	
3	-31.7	-4.21	
4	-31.5	-4.00	
5	-32.3	-4.27	
6	-31.9	-4.24	
7	-31.5	-4.42	
8	-32.4	-4.34	
9	-31.4	-4.06	
10	-31.5	-3.97	
11	-34.2	-4.19	$0.2 \pm 0.07$
12	-32.0	-4.00	$0.7 \pm 0.06$
13	-33.9	-4.09	$0.2 \pm 0.07$
14	-34.9	-4.12	$0.0 \pm 0.09$

جدول (١٣ - ٥) التركيب الكيماوي لمعدن الفولكونسكويت الأردني والروسي<sup>(٢)</sup>

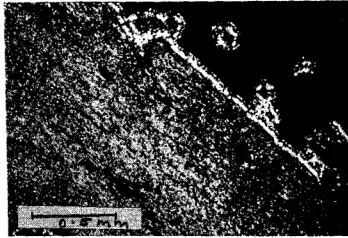
	1a	1b	1c	2a	2b	2c
SiO <sub>2</sub>	57.73	55.15	42.27	37.70	37.14	42.08
TiO <sub>2</sub>	0.00	0.00	--	0.06	--	--
Al <sub>2</sub> O <sub>3</sub>	2.15	1.79	2.95	4.93	4.33	7.36
Fe <sub>2</sub> O <sub>3</sub>	0.00	0.09	--	4.89	5.97	2.26
Cr <sub>2</sub> O <sub>3</sub>	11.68	10.37	16.05	23.50	22.77	17.94
MnO	n.d.	0.03	--	0.36	--	0.03
CaO	2.10	2.07	2.88	2.45	2.77	3.40
MgO	7.05	6.19	9.68	6.79	4.09	6.58
K <sub>2</sub> O	0.02	0.02	0.03	0.10	--	--
Na <sub>2</sub> O	n.d.	0.19	--	n.d.	--	--
H <sub>2</sub> O	18.38	23.80	25.25	20.19	22.91	20.10
—	—	—	—	—	—	—
	99.11	99.70	99.11	100.97	100.00	99.75
CEC	70 mEq/100 g	--	--	84 mEq/100g	--	--

1 a,b,c تحاليل كياوية للعينة نفسها في اماكن مختلفة (الفولكونسكويت الأردني).

2 a,b,c تحاليل كياوية لعينات مختلفة من الفولكونسكويت الروسي.

### نشأة الترافرتين في خان الزبيب

يوجد الترافرتين في خان الزبيب على سطح الأرض و يعلو صخور الرخام الملونة التي نوقشت في فصل سابق. وكما يبدو من طبيعة ترسب الترافرتين فان المياه الساخنة الصاعدة من خلال نطاقات الصدع في المنطقة هي المسؤولة عن ترسبات كربونات الكالسيوم في البداية ثم السيليكا والفولكونسكويت والبارايت في وقت لاحق. وكما هو معروف فان صخور الرخام وصخور الحجر الجيري البيتيوميني الملونة في المنطقة غنية بالعناصر الثقيلة المختلفة مثل الكروم، وبالتالي فان عملية استخراج مثل هذه العناصر بواسطة المحاليل الصاعدة وترسيبها مرة أخرى مع الترافرتين هي العملية المعقولة التي تفسر تركيز الكروم في معادن الفولكونسكويت والأوبال -سي تي. وكما ذكر في فصل سابق فان الفولكونسكويت والأوبال -سي تي موجودة أيضا مع الرخام الملون.



شكل ١٢ - صورة مجهرية للترافرتين من خان الزبيب حيث يظهر الاو بال - سي تي كمكون أساسي و يبدو معدن لونا لايت (ابيض) محيطاً من الخارج بمعدن الكالسيدوني.

#### References

1. Barjous., 1986: The geology of Siwaga, map sheet No. 3252 IV, Bull. 4, N.R.A. Amman. 7op.
2. Heimbach, W., and Rosch, H., 1982: Zum vorkommen von Wolchonskoite, einem Cr-Montmorillonit aus dem Hangenden der Mottled Zone Zentraljordanien. Geol. Jb., B45: 21-30.
3. Khoury, H., Mackenzie, R., Russell, J. and Tait, J. 1984, An iron free volkonskoite., Clay Mins., 19:43-5.
4. Khoury, H., Salameh, E., Udluft, P., 1984: On the Zerka Main travertine/Dead Sea., N. Jb. Geol. Palaont. Mh., 8:472-484.
5. Khoury, H., and graetsch, H., 1989: Mineralogy and petrography of some opaline phases from Jordan, In Press.
6. NRA, 1981: Mineral occurrences in Jordan, N.R.A. Internal Report.
7. Rimawi, O., 1980: Geochemistry and isotope hydrogeology of the thermal springs along the eastern side of the Jordan, Dead Sea. M.Sc. Thesis., U of Jordan, Amman.
8. Salameh, E., Khudeir, K., 1983: Thermal water system in Jordan., N. Jb. Geol. Palaont. Mh., 4:249-256.
9. Salameh, E., and Udluft, p., 1984: Hydrodynamic pattern of the central part of Jordan., Geol. Jb., C38:39-53.

## الفصل الرابع عشر

أحجار البناء

## أحجار البناء

استعملت أحجار البناء الجيرية والبازلتية والرملية الصلبة في الأردن منذ القدم حيث لا تزال بقايا القلاع الرومانية والإسلامية منتشرة في كل مكان من الأردن من شمالية الى جنوبية. ويستعمل حالياً في الأردن الحجر الجيري الواسع الانتشار وخاصة في وحدة الحجر الجيري الكتلي التابعة للعصر الطباشيري الأعلى في أغراض البناء ولأغراض صناعة الاسمنت في الفحيص والرشادية. ويستعمل أيضاً الرمل من وحدة الحجر الرملي الكرنبي التابع للعصر الطباشيري الأسفل والحصى من الوديان لأغراض البناء المختلفة. وكذلك يستعمل الحجر الخفاف ومواد الصخور البركانية من شمال شرقي الأردن والجرائنت من منطقة العقبة في الأغراض الصناعية والبنائية. وهناك احتياطي هائل جداً من أحجار البناء في الأردن تغطي كافة أرجاء المملكة وتحتاج الى دراسات وتطبيقات عملية في المجالات المختلفة. وفي تقارير قدمت من الجمعية العلمية الملكية تم تحديد خصائص حجر البناء الأردني (٢٠١) (قاقيش ١٩٨٦، الشريف وقاقيش، ١٩٨٢). إلا أن البحوث المستمرة على المصادر الطبيعية لأحجار البناء هي من المتطلبات الأساسية لتحسين الانشاءات والطرق لما فيه خير للوطن.

### ١. حجر البناء الأردني :

يستخرج حجر البناء الأردني من مناطق معان وعجلون وخو بالقرب من مثلث الأزرق والمنيفة بالقرب من خو والموقر وأربد ووادي البطم شرق الموقر والأزرق. ويعتبر حجر البناء الأردني بشكل عام من أفضل أحجار البناء في العالم وخاصة من حيث الوزن النوعي العالي وانخفاض نسبة امتصاصها للماء وقوة تحملها العالية. وهناك تدرجات مختلفة بالنسبة لخواص أحجار البناء حيث أن أفضلها هو المستخرج من مناطق معان وعجلون وخو. ومما يؤثر عادة على تدني نوعية حجر البناء وجود الشقوق والفواصل والجيوب واللتحجرات والجيوب الرملية والطينية والعروق المملوءة بمعادن ثانوية مثل الكالسيت والكوارتز.

ويستعمل الحجر الجيري المستخرج أيضاً كدبش أو كحصى متعدد الاحجام للفرشيات والخلطات الإسخرسانية والأسفلتية. ويمتاز الحجر الجيري بأنه جيد ومتماسك بالاسمنت والأسفلت. ويُجب عدم استخدام الركام المكسّر ذي الوزن النوعي المنخفض ودرجة الامتصاص العالية للماء.

### ٢. الركام :

واضافة الى الحمى متعدد الاحجام الناتج عن عملية تكسير الحجر الجيري في المحاجر، يوجد ركام الوديان في الأردن في مناطق عديدة وخاصة في منطقة الغور ووديان شمال الأردن ومعان والمدورة والزرقاء. ويتميز ركام الوديان باحتوائه على حجوم مدرجة ومتعددة، ويوجد نسب قليلة من الصوان الذي يعتبر مصدراً للقلويات غير المرغوبة في الخلطات الاسمنتية. كما ويمتاز بارتفاع وزنه النوعي وانخفاض درجة امتصاصه للماء



ومقاومته للتآكل. ومما يجدر ذكره أن سطح ركام الوديان الأملس يقلل من درجات التماسك مع الخلطات الاسمنتية والاسفلتية. و يوجد في جنوبي الأردن وفي المناطق المحيطة بالعقبة وخاصة في وادي اليتيم الركام الجرانيتي الذي يوجد بشكل مفتت وله ألوان متعددة يغطي عليها اللون الوردي وذلك لارتفاع نسبة الفيلد سبار. و يتميز هذا الركام بصلابته العالية ومقاومته العالية للتآكل، و يمكن استخدام مثل هذا الركام في الخلطات الاسمنتية والاسفلتية. ولقد قامت الجمعية العلمية الملكية بعمل واجهات خرسانية ذات سطوح تظهر اللون الجميل للركام الجرانيتي.

وتغطي مناطق شمال شرقي الأردن مساحات شاسعة من الصخور البركانية البازلتية الصلبة والمتفككة على شكل قطع صخرية خفيفة تعرف بالسكوريا أو الحزريا. و يمكن استخدام الركام الناتج عن تكسير البازلت المتميز باللون الأسود والصلابة العالية والوزن النوعي العالي ودرجة الامتصاص الضئيلة في أعمال الخلطات الاسمنتية والاسفلتية. و يمكن تحضير أنواع معينة من الخلطات الخرسانية والاسفلتية ذات درجات التحمل العالي. وتعتبر عملية تكسير هذه الصخور عملية صعبة إلا أنه يمكن استخدام نواتج تكسير الصخور البازلتية الفائضة وغير المرغوبة في صناعة الصوف الصخري في الأردن لأعمال الانشاءات والطرق. اما ركام السكوريا (الحزريا) فيتميز بوزنه النوعي القليل الذي يصل الى ١٤ ر درجة الامتصاص العالي ومقاومته المنخفضة للتآكل مما يؤدي الى عدم صلاحيته للاستخدام في أعمال الانشاءات والطرق، ولكن يمكن استخدامه لتحضير نوع معين من الخرسانة الخفيفة. و يحضر حاليا نوع خاص من الاسمنت البوزولاني المقاوم للملاح من خلط نسبة معينة من السكوريا المطحونة مع الاسمنت البورتلندي.

### ٣ . الحجر الرملي :

تعتبر وحدة الحجر الرملي الكرني (الطباشيري الأسفل) هي المصدر الأساسي للرمل المستخدم في اعمال البناء، وتنتشر المحاجر في مناطق العقبة ومحاص لاغراض استخراج الرمل لأغراض الخلطات الاسمنتية. يوجد الرمل الابيض النقي على شكل طبقات متبادلة مع الرمل متعدد الألوان (الغني باكاسيد الحديد) والكاولينيت. و يجب التركيز على استخراج الرمل الابيض النقي لاغراض البناء وذلك للحصول على نتائج أفضل للخلطات الاسمنتية من حيث زيادة درجات المقاومة والتحمل. ومن الجدير بالذكر أن الرمل الأبيض موجود في منطقة رأس النقب وقاع الديسي في كميات لا حصر لها و يمكن استخدامها كمكون أساسي للخلطات الاسمنتية الخاصة.

### ٤ . أحجار الزينة :

توجد في مناطق الأردن كافة صخور عديدة ذات طبيعة جمالية يمكن استخدامها كأحجار للزينة وذلك بعد قطعها وصقلها. فالحجر الجيري المتبلور وناعم البلورات القاسي في

عجلون والدولومايت في رأس النقب (الطباشيري العلوي) والصخور النارية المختلفة في الجنوب التي يطفئ عليها نوع الجرانيتي ما هي الامثلة على وجود كميات كبيرة من هذه الصخور التي يمكن استخدامها كأحجار مصقولة للزينة.

#### ٥. أحجار الصناعة:

يتميز الاردن بوجود الصخور الصناعية العديدة. وتعتبر الصخور في الاردن بأنواعها وأعمارها المختلفة ثروة حقيقية. فالصناعات الحالية القائمة على استخراج بعض هذه الصخور والتي تتعدى استخدامها كأحجار للبناء أو كخلطات اسمنتية أو اسفلتية هي صناعات الاسمنت والخزف والصوف الصخري والزجاج وكر بونات الكالسيوم. وهذه الصناعات هي امثلة بسيطة على استخدام بعض المصادر الصخرية الهائلة الموجودة في الاردن.

ان الأبحاث التطبيقية على استخدام مثل هذه الصخور في الصناعة هي ضرورة حتمية من أجل مستقبل أفضل تشارك فيه مصادر الثروة المعدنية المحلية مباشرة لما فيه خير هذا البلد.

#### المراجع

١. الشريف، روجي ومنير قاقيش، ١٩٨٣، خواص الحجر الجيري كحجر بناء وحصى في الاردن، الجمعية العلمية الملكية، عمان.
٢. قاقيش نزار، ١٩٨٦: خصائص حجر البناء الاردني، الجمعية العلمية الملكية، عمان.

## الفصل الخامس عشر

الملح

وصخر البوتاس وأملاح البحر الميت

## الملح وصخر البوتاس وأملاح البحر الميت

يتميز البحر الميت بأنه مستودع ضخم لثروات معدنية هامة على شكل أملاح ذائبة أو صخور ملححية على أطرافه أو أعماقه، وهو مختلف عن البيئات البحرية الأخرى. وتعتبر الاملاح الذائبة ثروة معدنية ذات أهمية اقتصادية حيث تتركز كلوريدات البوتاسيوم والمغنيسيوم والصوديوم والكالسيوم وكذلك بروميداتها وكبريتاتها، إضافة إلى بعض العناصر النادرة مثل الليثيوم والسيزيوم والمياه الثقيلة. ويضم البحر الميت أيضا صخوراً ملححية لا تقل أهمية عن الاملاح المذكورة اعلاه.

وتقوم شركة البوتاس العربية حالياً باستثمار أملاح البحر الميت حيث تساهم في إغناء الثروة الوطنية. ولقد بدأ الانتاج التجريبي من مادة كلوريد البوتاسيوم عام ١٩٨٢، وتدرج الانتاج حتى تجاوز في عام ١٩٨٧ (١٢) مليون طن. ويعتبر الأردن من أهم منتجي البوتاس في العالم بعد الاتحاد السوفياتي وكندا وألمانيا الغربية وفرنسا. ويوجد البوتاس أيضاً على شكل ملح صخري في وسط منطقة اللسان حيث تغطي مساحة ٣٥ كم<sup>٢</sup>، وتدل دراسة الآبار التي حفرته من قبل سلطة المصادر الطبيعية على وجود أربع نطاقات من البوتاس (أكسيد البوتاسيوم = ١٢٪) على أعماق تتراوح من ٣٠٠ - ٦٠٠ م وبمراكات تتراوح بين ٨ - ٢ م.

### نبذة عن البحر الميت :

البحر الميت وبحيرة لوط وبحيرة زغر والبحيرة المقلوبة وبحيرة الملح والبحر النتن وبحر عربية وبحر الاسفلت وبحر سدوم، كلها أسماء واحدة البحر نفسه (١) والذي وصف بالميت منذ عهد اليونانيين القدامى بسبب التركيز العالي للاملاح وغياب صورة الحياة في مياهه. ولقد كانت منطقة البحر الميت مسكونة منذ القدم حيث تعاقبت عليها الحضارات. ودلت خريطة الفسيفساء التي اكتشفت في مادبا ويرجع تاريخها إلى ٥٦٠ م على ان البحر الميت لم يكن يضم سوى الحوض الشمالي، وأن تلك الفترة كانت أكثر جفافاً من الوقت الحاضر. والبحر الميت أكثر بقاع العالم انخفاضاً وملوحة، وكان يغطي حتى نهاية الخمسينات مساحة مقدارها ١١٠١ كم<sup>٢</sup> مع منسوب ٣٩٥ متراً تحت سطح البحر. وينقسم البحر الميت إلى حوضين شمالي وجنوبي تفصل بينهما شبه جزيرة اللسان. والحوض الشمالي أكبر مساحة وأكثر عمقاً من الحوض الجنوبي إذ تبلغ مساحته ٧٥٧ كم<sup>٢</sup> ويصل عمقه إلى نحو ٤٠٠ م في حين تبلغ مساحة الحوض الجنوبي حوالي ٢٤٣ كم<sup>٢</sup> ولا يزيد عمقه عن بضعة أمتار. ويبين شكل (١٥) خريطة للبحر الميت تبين أعماق المياه. ولقد بلغت مساحة البحر الميت عام ١٩٨٦ حوالي ٧٥٠ كم<sup>٢</sup> وطوله ٥٥ كم وعرضه ١٤٥ كم عندما أصبح سطحه ٤٠٤ م تحت سطح البحر وذلك بسبب جفاف الحوض الجنوبي من البحر الميت، ان أهم العوامل التي تسبب انحسار مياه البحر الميت هي المناخ الجاف والحار ومشاريع ري الأراضي. ويبلغ معدل تبخر المياه السنوي من البحر الميت ١٧ بليون طن من الماء، أما مشاريع الأراضي من

حيث اقامة السدود، فلقد أدت الى الانحسار التدريجي للمياه بمعدل ٧٥ سم في السنة. ويصب نهر الاردن والوديان المجاورة (الموجب وزرقاء ماعين وابن حماد والكرك والحسا...) مباشرة في البحر الميت اضافة الى مياه الامطار التي تتجمع وتتدفق عليه من المرتفعات المحيطة. والبحر الميت ليس ميتا تماما حيث أثبت العلماء وجود بعض أنواع البكتيريا التي تتميز بقدرتها على التكيف في الوسط المالح. وأثبتت تجربة علمية، جرت في عام ١٩٨٠ بأن عدد الخلايا الحية قد وصل الى ١٩ مليون خلية في المليمتر الواحد من سطحه.

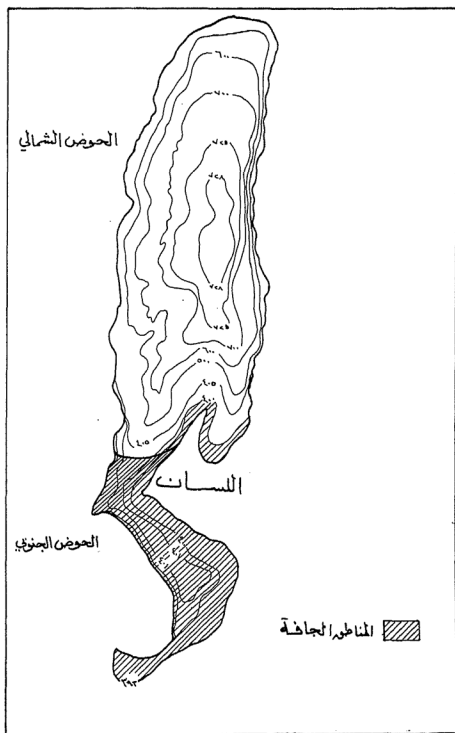
### جيولوجية البحر الميت :

لقد استعرض (١) Abed 1985 جيولوجية البحر الميت من حيث نشأته ومياهه وأملاحه وقناة البحرين، وأعطى جميع المعلومات المتوافرة حول هذا الموضوع. وتكشف صخور ما قبل الكامبري والكامبري والترياسي والكريتاسي والايوسين وميوسين وبلويسين. وتعتبر هذه الصخور آخر ما ترسب قبل أن يبدأ أخدود الغور بالتشكل قبل ٢٦ مليون سنة. ولقد تكونت بحيرات مالحة أو شبه مالحة أو عذبة في منطقة الأغوار رسبت طبقات سميكة من الملح الصخري (تكوين أصدم) تبعها على التوالي رواسب نهريّة وبحريّة (تكوين الشاغور وغور الكتار). ولقد تمت هذه الترسبات في العصر ميوسين – بلويسين تبعها ترسبات نهريّة وبحيريّة وتبخيرية في العصر البلايستوسين (تكوينات أبو هابيل وحصاء كفرنجة والسمرّة واللسان ودامية) وتظهر رسوبيات البحر الميت في العصر الحديث منذ أحد عشر ألف سنة.

أما عن نشأة البحر الميت وغور الأردن فهناك نظريتان رئيسيتان وهما نظرية الحركة العمودية ونظرية الحركة الأفقية، وعلى أية حال فإن نظرية تكتونية الصفائح وتكوين الأخدود العربي الافريقي الذي يمتد من شمال سوريا عبر سهل البقاع الى نهر الاردن فالبحر الاحمر الى هضبة البحيرات في افريقيا ادّى الى فصل قارتي آسيا وافريقيا عن بعضهما منذ حوالي ٢٥ مليون سنة. وهناك حركة مستمرة نحو الشمال الشرقي منذ عشرة ملايين سنة أدت الى تمدد الطبقات الأرضية وهبوطها وتشكيل الاحواض المنفصلة ومنها البحر الميت وبحيرتا طبرية والحولة. ولقد كانت البحيرة الاولى المالحة (اصدم) منذ حوالي ٢٥ مليون سنة (الميوسين) هي المسؤولة عن رواسب المتبخرات (٤٠٠٠ م). وتدل الصخور الملحية على أن بحيرة أصدم كانت متصلة مع البحر الابيض المتوسط الى ان تغير المناخ وتكونت بحيرة عذبة (السمرّة) ازدادت ملوحتها مع الوقت نتيجة التبخر العالي (اللسان) حيث كانت تغطي مناطق الأغوار، واستمرت هذه البحيرة بالجفاف الى أن تحولت الى البحر الميت الحالي قبل حوالي أحد عشر ألف سنة.

### الخواص الكيماوية للبحر الميت :

لقد استعرض (٢,٣) Al Sbacy, 1987 و Gharibeh, 1981 الكثير من الابحاث التي كتبت حول كيماوية البحر الميت ونشأة أملاحه، ويحتوي اللتر الواحد من مياه البحر الميت على حوالي ٢٤٠ غم من الاملاح، وتشكل مجموع أوزان الاملاح في البحر الميت حوالي ٤٢



شكل ١٥ - ١ خريطة البحر الميت، تبين أعماق النقاط المختلفة.

بليون طن، ويحتوي البحر الميت على تجمع فريد من املاح الكالسيوم والمغنيسيوم واليوتاسيوم والبروم والكلوريدات إضافة الى مجموعة من العناصر الشحيحة مثل السترونشيوم والليثيوم والمنغنيز والحديد والكوبالت والكاميوم والرصاص والزنك والنيكل واليورانيوم واليود. و يبين الجدولان (١٥-١، ١٥-٢) النسب المئوية الوزنية للأملاح الرئيسية الموجودة في مياه البحر الميت (١) (عمارين وشرايحة، ١٩٨٦) والعناصر الشحيحة في مياه البحر الميت (٢) (Nissenbaum, 1977). و يتميز البحر الميت عن غيره من بحار العالم بالتركيز العالي لعناصر الكالسيوم والكلور والبروم وتدني نسبة الصوديوم الى اليوتاسيوم (٣) (٤٦) والكبريتات وانعدام الكربونات (١) (Abed, 1985). وتزداد كمية الصوديوم واليوتاسيوم والمغنيسيوم والبروم جنوباً، ويبدو أن ذلك ناتج عن ازدياد عمليات التبخر في هذا الاتجاه. اما الكبريتات فإن تركيزها ينقص جنوباً وذلك بسبب ترسب الجبس، أما البايكربونات فإنها تزداد باتجاه الجنوب في فصل الربيع وتخضع كمياتها لترسيب الاراجونيت. أما عمودياً فتتوزع العناصر الى ثلاث مجموعات (جدول ١٥-٣) حيث تزداد نسبة المغنيسيوم واليوتاسيوم والبروم على عمق ٤٠ م بينما ينقص الصوديوم عند هذه النقطة في حين تنقص الكبريتات والبايكربونات من تلك النقطة نحو الأعماق (١) (Abed, 1985)، أما العناصر الشحيحة فنجد أن بعضها عالي التركيز بالنسبة للبحار المفتوحة مثل البروم والرصاص والليثيوم والمنغنيز والنحاس والكوبالت والنيكل والسترونشيوم والكاميوم والزنك وبعضها الآخر قليل التركيز نسبياً مثل اليورانيوم واليود والحديد. وهناك اعتقاد بأن محاليل البحر الميت تعود في أصلها الى مياه البحر العادية (بحر التيثس) التي جرى تركيزها وزيادة ملحوتها نتيجة لعمليات التبخر (٣) (Gharibeh, 1981): أما الاعتقاد السائد عن مصادر الأملاح في البحر الميت فهو أن مياه نهر الأردن والواديان والينابيع المالحة والأمطار المحمولة بالرياح الغربية قد ساهمت في تركيز هذه الأملاح. ولقد ساعدت النشاطات البركانية والمواد الاسفلتية الموجودة في المنطقة الى تركيز بعض العناصر مثل البروم. ولقد ساعد الانتشار الايوني في زيادة الملوحة والحرارة والكثافة في وحدة المياه الانتقالية بين ٤٠ م و ١٠٠ م نحو الأسفل حتى تصل الى الوحدة المائية العميقة التي تتوزع فيها الملوحة والكثافة والحرارة بشكل منتظم (١) (Abed, 1985). و يبين الجدول (١٥-٤) الملوحة وكمية الأملاح في البحر الميت في الأعماق المختلفة.

### انتاج البوتاس :

يعتمد انتاج البوتاس على محلول البحر الميت الغني بالأملاح وعلى الطاقة الشمسية، ويحتوي محلول البحر الميت على ١٢٪ من كلوريد البوتاسيوم المذاب. وخلال العمليات في الملاحات الشمسية وفي المصفاة يتم تحويل هذه النسبة الى ٩٧.٥٪ و يتم ذلك بتركيز المحلول في الملاحات الشمسية على شكل كارنلايت  $KCl \cdot MgCl_2 \cdot 6H_2O$  وتتم معالجة الكارنلايت المحصود في المصفاة حيث يذاب كلوريد المغنيسيوم و يبقى كلوريد البوتاسيوم وكلوريد

جدول (١٥ - ١) النسب المئوية الوزنية للأملاح الرئيسية الموجودة في مياه البحر الميت (١).

اسم المركب	النسبة المئوية الوزنية
كلوريد الصوديوم	٧٦,٦٥
كلوريد البوتاسيوم (البوتاس)	١,٠٣
كلوريد المغنيسيوم	١٢,٧٦
بروميد المغنيسيوم	٠,٠٤٨
كلوريد الكالسيوم	٠,٣٨٠
ماء	٧٣,٢٨

جدول ١٥ - ٢ العناصر الشحيحة في مياه البحر الميت (ملغم / لتر) (٥)

المكان	الزمان	Sr	Li	Mn	Fe	Co	Cd	Pb	Zn	Ni	U	I
		سترنشيوم	ليثيوم	منجنيز	حديد	كوبالت	كادميوم	رصاص	زنك	نيكل	يورانيوم	يود
مسعدة	شتاء	٢٨٥٠٠٠	١٦٣٠٠	٣٩٠٠	١٢	٨	٢٤	١٩٨	٢٧١	٢٥		
مسعدة	صيف	٣٢٣٠٠٠	١٩٤٠٠	٥١٠٠	١٥	٩	٧	٥١٠	٥٢٠	٢٢	٢,٤٨	
عين جدي	صيف	٣٠٨٠٠٠	١٧٥٠٠	٣١٠٠	١٧	٧	٧	٢٤٥	٥٢٧	٢٣	٢,٥٠	٨٢
عين جدي	صيف	٣١٨٠٠٠	١٨٤٠٠	٣٦٠٠	١٢	٥	٧	١٨٩	٥١٠	٢٨		٨٤
		... الكتلة المئوية السفلى (أعمق من ٨٠ م)										
مسعدة	شتاء	٣٢٥٠٠٠	١٩٦٠٠	٦٣٠٠	١٥	٨	٦	١٢٨	١٦٧	٦		
مسعدة	صيف	٣٢٥٠٠٠	١٩٧٠٠	٦٨٠٠	١٢	١١	٧	١٢٣	٥٩١	٢٣		
عين جدي	صيف	٣٢٣٠٠٠	١٩٧٠٠	٧١٠٠	٩	٦	٤	١٢٩	٥٣٧	١٣	١,٣٢	١١٦
عين جدي	صيف	٣٣٠٠٠	٢١١٠٠	٨١٠٠	٩	٧	٣	٤٨	٤١٣	٨	١,٣٧	١٢١

جدول ١٥ - ٣ كميات الايونات الرئيسية المذابة في مياه البحر الميت

(مقاسة بالآلاف ملايين الاطنان = بلايين الاطنان)<sup>(١)</sup>

الروحات المائية	المجموع كم	العمق	كالسيوم	مغنيسيوم	صوديوم	بوتاسيوم	كلور	بروم	كبريتات	بايكربونات	المجموع
الكتلة المائية العليا	٢٨	٤٠٠	٠,٤٥٩	١,٠١٢	١,٠٧٨	٠,١٨٢	٥,٥١٤	٠,١٢٩	٠,٠١٦	٠,٠٠٦	٨,٣٩٦
الكتلة الانتطالية	٣٢	٤٠٠	٠,٥٣٦	١,٢٩٨	١,٢٣١	٠,٢٢٩	٦,٧٤١	٠,١٦٥	٠,٠١٦	٠,٠٠٧	١٠,٢١٨
الكتلة العميقة	٧٨	٤٠٠-١٠٠	١,٣٠٦	٣,٢٢٥	٣,٠١٧	٠,٥٧٧	١٦,٦٦٣	٠,٤٠٠	٠,٠٣٢	٠,٠١٧	٢٥,٢٣٧
البحر الميت جيمه	١٣٦	٤٠٠	٢,٢٩٦	٥,٥٣٥	٥,٣٢٦	٠,٩٨٨	٢٨,٩١٨	٠,٦٩٤	٠,٠٦٤	٠,٠٣٠	٣٣,٨٥١



جدول ١٥ - ٤ الملوحة وكمية الأملاح في البحر الميت في الكتل المائية (٤).

الكتلة المائية العليا	معدل الملوحة غم/ لتر	مدى العمق (م)	الحجم (كم <sup>٣</sup> )	وزن الأملاح (الف مليون طن)
الكتلة المائية السفلى	٢٩٩ر٩	٥ - ٤٠	٢٨	٨ر٤
الوحدة الانتقالية	٣١٩ر٣	٤٠ - ١٠٠	٣٢	١٠ر٢
الوحدة العميقة	٣٣٢ر١	١٠٠ - ٤٠٠	٧٦	٢٥ر٢
مياه البحر الميت جميعها	٣٢٢ر١	صفر - ٤٠٠	١٣٦	٤٣ر٨

الصوديوم بشكل صلب (السلفانيت  $\text{NaCl} + \text{KCl}$ ) وتتم معالجة السلفانيت وفصل كلوريد البوتاسيوم المشبع وبلورته وتجفيفه على شكل نقي، وتكون نسبة نقاوة البوتاس حوالي ٩٨٪ أي ما يعادل ١٥٪ أكسيد البوتاسيوم.

#### انتاج ملح الطعام من البحر الميت :

يوجد ملح الطعام في مياه البحر الميت مذابا بكميات هائلة تصل بالوزن الى ٧٦٪ وهو من النواتج الثانوية من مشروع البوتاس، وتصل نسبة كلوريد الصوديوم على أساس جاف لملح الطعام الى ٩٩ر٦٥٪ وذلك بعد التركيز (عمارين وشرايحة ١٩٨٥). ولقد بلغ انتاج شركة البوتاس من ملح الطعام ما يزيد على ١٨ الف طن.

#### مشاريع مستقبلية :

تقوم شركة البوتاس بالتعاون مع مجمع الصناعات الكيماوية بدراسات مستفيضة لأغراض اجراء صناعات أخرى تعتمد على أملاح البحر الميت مثل مشروع الصودا أش (كربونات الصوديوم) ومشروع كبريتات البوتاسيوم ومشروع البرومين ومشتقاته (بروميد الكالسيوم، تترابروموزمينول، اثيلين داي برومايد) ومشروع أكسيد المغنيسيوم ومشروع استخلاص العناصر الشحيحة مثل الليثيوم والسترونشيوم. ولا تقتصر أهمية البحر الميت على الاملاح المذابة بل تعدى ذلك الى كون البحر الميت ثروة سياحية ومصدراً للطاقة حين يمكن الاستفادة من مياهه في الاستشفاء وصناعة المواد التجميلية، وإلى توليد الطاقة بطريقة البرك الشمسية. ويجب الإشارة هنا الى أن هناك أبحاثا عديدة أجريت على البحر الميت منذ عام ١٩٥٠ تزيد على الآلاف وتغطي المواضيع الجيولوجية والبيئية والكيماوية كافة.

## ملح الطعام من الأزرق :

يستخرج ملح الطعام من منطقة حوض الأزرق وذلك بضخ المياه المالحة من تحت سطح الأرض الى أحواض صغيرة حيث تتحرك حتى تتبخر المياه بواسطة الطاقة الشمسية. وتجمع الأملاح بعد جفافها للأغراض التسويقية. ولقد بلغ الإنتاج عام ١٩٨٥ حوالي ٣٠٠٠ طن.

## References

1. Abed, A., 1985: Geology of the Dead Sea; waters, salts and evolution. Dar Al Arqam, Amman.
2. Al-Sbaeay, I., 1987: Dead Sea water geochemistry., M.Sc. thesis, University of Jordan, Amman.
3. Gharibeh, E., 1981: The geochemistry of the Dead Sea. The Fourth Arab Mineral Resources Conference. Amman.
4. Neev, D., and Emery, K., 1967: The Dead Sea., Geol. Survey of Israel., Bull., 41: 147 p.
5. Nissenbaum, A., 1977: Minor and trace elements in the Dead Sea Water, Chemical Geology, 19:99-1.
٦. عمارين، عوني وخالد شرايحة، ١٩٨٦: أملاح البحر الميت : مخزونها واستخلاصها واستعمالاتها. ندوة الملح في الوطن العربي، عمان.

## الفصل السادس عشر

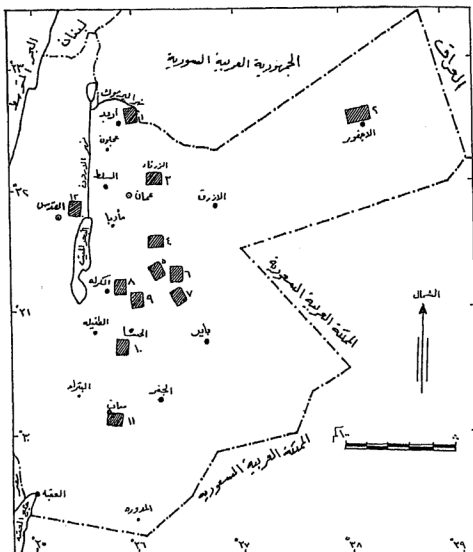
### الصخر الزيتي

## الصخر الزيتي

يعد الصخر الزيتي أحد مصادر الطاقة المتوفرة في الأردن بكميات كبيرة تقدر بخمسين مليون طن تكفي لسد حاجات الأردن للألف سنة قادمة. وهي تمتاز بقر بها من سطح الأرض مما يسهل عمليات التعدين المكشوف. والصخر الزيتي معروف منذ زمن بعيد، ولقد استعمل من منطقة الشلالة من قبل الشركة الألمانية التي كانت تشرف على تشغيل قطارات الخط الحديدي الحجازي البخارية كبديل للفحم. والصخر الزيتي مصطلح يطلق على الصخور الرسوبية الغنية بالمواد الهيدروكربونية بغض النظر عن تركيبها المعدني، وغالبا ما تكون صخور الطفال أو المارل. وفي الأردن نجد أن معظم الصخور الزيتية هي من الحجر الجيري أو الحجر الجيري الفوسفاتي. و يسمى الزيت المستخرج من هذه الصخور بالزيت الصخري أو زيت السجيل الذي يختلف عن النفط العادي بأنه عالي الكثافة و يحتوي على نسبة عالية من النيتروجين والهيدروكربونات الثقيلة (الكيروجين). والكيروجين غير قابل للذوبان في المحاليل التي تذيب المواد البترولية العادية و يعتبر مركبا خاملا نسبيا بسبب عدم قابليته للتفاعل مع المركبات الأخرى بسهولة، وتركيبه الجزيئي ونوع الروابط القائمة بين عناصره المختلفة غير واضحة مقارنة بالمواد البترولية التقليدية. وتتراوح القيمة الحرارية لكل كيلوجرام من الصخر الزيتي بين ١٥٠٠ - ٤٠٠٠ كيلو كالوري. وفي الأردن لا تزال الدراسات مستمرة من قبل سلطة المصادر الطبيعية وسلطة الكهرباء الأردنية بالتعاون مع شركات الكهرباء ومؤسسات من ألمانيا الغربية والصين الشعبية والاتحاد السوفياتي وكندا وفنلندا والولايات المتحدة وسويسرا وذلك لاستخلاص الزيت الصخري بواسطة التقطير أو عن طريق الحرق المباشر للصخر الزيتي. وتدل النتائج الأولية بأن الحرق المباشر ليس له تأثير على البيئة وأنه يتم تصميم مراحل بخارية خاصة لهذا الغرض. كما أن النية تتجه لإنشاء محطة توليد تجريبية بقدرة ٢٥ ميغا واط في منطقة السلطانية التي تقع جنوب عمان بمسافة ١٢٥ كم لأجراء دراسات وابحاث وتحاليل لمعرفة الجدوى الاقتصادية لاستخدامات الصخر الزيتي.

### أماكن وجود الصخر الزيتي

يوجد الصخر الزيتي في أماكن عديدة من الأردن في الشمال (منطقة وادي العرب ونهر اليرموك وبيت رأس شمال شرق اردن والو ايضا شرق جامعة اليرموك)، والشمال الشرقي (منطقة الريشة الاجفور)، وخو (شمال شرق الزرقاء)، والجنوب (ضبعة والبحر الميت واللجون والحسينية ومعان). و يتراوح سمك طبقات الصخر الزيتي بين مترين واربعمائة متر كما هي الحال في مناطق شمالي الاردن كما يتراوح عمق هذه الطبقات من سطح الأرض بين صفر وستمائة متر. و يبين الشكل (١٦ - ١) أماكن وجود الصخر الزيتي في وسط وجنوبي الأردن حيث قامت سلطة المصادر الطبيعية بدراسات عديدة على هذه الصخور وخاصة القريبة من السطح لأغراض استعمالها كمصدر محلي بديل للطاقة (Ajamieh, 1987; Nimry, 1981) (v.17). (Abu



- |                                     |                      |
|-------------------------------------|----------------------|
| ١. وادي العرب، نهر اليرموك، بيت رأس | ٧. غرب المغار        |
| ٢. الريشة، الاجفور                  | ٨. اللجون            |
| ٣. منطقة خوشمال شرق الزرقاء         | ٩. السلطاني          |
| ٤. خان الزبيب                       | ١٠. جرف الدراويش     |
| ٥. سواقه                            | ١١. منطقة معان       |
| ٦. ام الغدران                       | ١٢. منطقة النبي موسى |

شكل ١٦ - ١ خريطة تبين اماكن وجود الصخر الزيتي في الاردن.

## جيولوجية طبقات الصخر الزيتي

يبين الشكل (١٦ - ٢) مقطعاً جيولوجياً عاماً في وسط الأردن حيث يوجد الصخر الزيتي في طبقات وحدة الطباشير - المارل التابعة لآخر العصر الماسترختي - باليوسين في حقبة الطباشيري (الكريتاسي) العلوي والمعروف بالأردن بمجموعة صخور البلقاء (B3). وكما هو معروف فإن سماكة هذه الصخور تزداد كلما اتجهنا الى الشمال حيث تصل أعلى السماكات (٢٥٠ م) في مناطق الشلالة ونهر اليرموك (٣) (Amireh, 1979). وفي حوض الجفر تصل سماكة هذه الصخور حوالي ٤٥٠ م. أما عن الصخر الزيتي (الجزء السفلي من وحدة الطباشير - المارل) فهي عبارة عن طبقات متبادلة ومتباينة السمك من الحجر الجيري والمارل والصوان والفوسفات والكوكينا، و يغطي الحجر الجيري والمارل على هذه المكونات التي تعلو وحدة الفوسفوريت (B2b). وتعلو وحدة الحجر الجيري - المارل (B4) المعروفة بتكوين أم الرجام (البليوسين - أيوسين) طبقات وحدة الطباشير - المارل الغنية بالصخر الزيتي. و يوجد الصخر الزيتي على شكل مسطح طولي او عدسي يشغل الأخاديد والقيعان المصدعة.

## التركيب المعدني والكيمائي

دلت نتائج الدراسات المعدنية والصخرية والكيمائية التي قام بها (١,٢) (Abed and Amireh, 1989; Amireh, 1989) على عينات الصخور الزيتية من مناطق اللجون والمقارن والشلالة والحمة ووادي العرب على أن الكالسيت هو المكون الأساسي حيث تزيد نسبته كلما اتجهنا الى شمالي الأردن. و يوجد الدولومايت على شكل عقد والكوارتز على شكل صوان أو حبيبي. و يوجد البايريت ( $\text{Pyrite, Fe S}_2$ ) مع الصخر الزيتي وهو دليل على البيئة المختزلة التي تتجمع بها المواد العضوية، كذلك توجد المعادن الطينية (الكاولينيت والاليت) ذات الاصل القاري والمنقولة على شكل حبيبات لا تزيد نسبتها عن ١٠٪ في بعض العينات. وتزداد نسبة الأباتيت (فرانكوليت) في الجزء السفلي من طبقات الصخر الزيتي القريبة من وحدة الفوسفوريت. والصخور الزيتية هي من النوع الميكرايت أو البيوميكرايت الغني بالفورا مينيفيرا. و يتميز الصخر الزيتي الأردني باحتوائه على نسبة عالية من الكبريت تصل الى ١٠٪ في الزيت الصخري (٣,٢٪ من وزن الصخر الخام) والتي تستدعي فصله عن المواد المقطرة في حالة استغلاله. وتبلغ نسبة الزيت القابل للتقطير حوالي ١٠٪ من وزن الصخر الخام. وتحتوي المواد العضوية على ٨,٩٥٪ من الوزن هيدروجين و ٧٣,٠٧٪ نيتروجين (٣) (Abu Ajamieh, 1987) و يحتوي الصخر الزيتي على نسبة عالية من العناصر الشحيحة والنادرة التي يمكن ان تكون ناتجاً ثانوياً خلال عمليات استخراج الزيت الصخري. وفي دراسة قام بها المعهد الفيدرالي الألماني للأبحاث الجيولوجية على الصخر الزيتي من منطقة اللجون تبين ان الكربونات تصل نسبتها الى ٥٣٪ من الوزن وان نسبة الكربون ١٦,٥٪ من الوزن والمواد العضوية القابلة للذوبان ٢,١٪ من الوزن، والقيمة الحرارية ٢٣٠٠ كيلو كالوري / كغم (١,٦ - ١) وتركيز العناصر الشحيحة في

وصف الصخور		السمك	الوحدة	العمر	الطبقات الجيولوجية العلوية	الطبقات الجيولوجية السفلية
- راسب حديثة التكتونية الحديثة مترافقة التكتونية العليا والسفلى جبر جيري نفوسوليبي		٣٠-٥٠ ١٠-٠	PG H <sub>4</sub> H <sub>1</sub>	اليوسيني - مديني اليوسيني - مديني		
جبر جيري وهوان		١٩-٦٠	B <sub>4</sub>	مديني - باليوسيني	جبر جيري ماري الجزء الأوسط بيثيوميني (وحدة الجبال - المارل)	طبقات الترسبات العليا والسفلى حبيبي التكتونية
جبر جيري سيلبي		١٦-٨٠	B <sub>2</sub>	كامباني - ماسقرفيني		
جبر جيري رملي - ماري		٦٠-٥٠	B <sub>1</sub>	مديني	جبر جيري كلسي إكتونيفيدي	جبر جيري
			A <sub>7</sub>	توروني		

شكل ١٦ - ٢ مقطع جيولوجي عام في وسط الأردن يبين وضع الحجر الجيري البيثيوميني (٢)

الصخر الزيتي من مناطق مختلفة حيث يظهر التركيز العالي لعناصر الكوبلت والكروم والنيكل والفانديوم والزنك. ولا يزال الصخر الزيتي بحاجة الى دراسة تفصيلية لمعرفة تركيز هذه العناصر وعناصر أخرى مثل الفوسفور واليورانيوم والعناصر الأرضية النادرة.

### نشأة الصخر الزيتي

جدول ١٦ - ١ تركيز العناصر الشحيحة في الصخر الزيتي من شمالي ووسط الأردن<sup>(٤)</sup>

العنصر	التركيز (جزء بالمليون)				
	المقارن	وادي الشلاله	وادي العرب	الحمة	اللجون
Co	227	243	261	260	248
Cr	298	226	264	315	479
Cu	56	47	38	40	79
Mn	95	44	105	95	39
Mo	65	--	45	29	116
Ni	568	573	587	560	646
Sr	1073	988	1095	1043	1025
V	110	--	92	49	116
Zn	306	337	274	194	455

ترسب الصخر الزيتي في الاردن في الفترة بين نهاية العصر الماسترختي وبداية عصر الباليوسين في بيئة بحرية ضحلة كانت سائدة في معظم مناطق الأردن. والنظرية السائدة حول تجمع المواد العضوية هي التجمع السريع في بيئة مختزلة تمنع التحلل السريع شبيهة ببيئة البحر الأسود. ويعتقد<sup>(٥)</sup> (Bender, 1968) بأن الرواسب العضوية تجمعت في أحواض تكتونية فوق الصخور الفوسفاتية حيث كونت الجزء الأسفل من وحدة الطباشير - المارل. وفي الدراسة التي قام بها<sup>(٦)</sup> (Abed and Amireh, 1983) تبين أن المياه التي رسبت الصخور الزيتية في الأردن كانت مؤكسدة وغير مختزلة. ولقد استعمل الباحثان الأدلة المتوافرة عن الصخر الزيتي الأردني مثل وجود بقايا المستحاثات القاعية، وارتفاع نسبة الكربونات وعلاقة العناصر الشحيحة مع بعضها بعضاً. وتم تفسير عدم تحلل المواد العضوية بوجود الاوكسجين بسرعة الترسيب والزمن العالي للكائنات الميتة التي يعتقد بأنها ذات أصل نباتي. ولقد أدى الزمن والتغيرات بعد عمليات الترسيب الى زيادة الحرارة والضغط حيث تحولت





شكل ١٦ - ٣ بيئة الترسيب للصخر الزيتي (١).

المواد العضوية في هذه الصخور الى كيروجين في الحجر الجيري أو المارلي، ولقد كانت ظروف التغيير من حيث الحرارة والضغط غير كافية لتحويل الكيروجين الى بترول. وفي دراسة قام بها (١) (Abed, 1982) تبين ان المادة العضوية المكونة للصخر الزيتي غير ناضجة وهي من أصل نباتي بحري حيث تجمعت وتغيرت الى كيروجين في مكانها، وأن الغطاء الصخري كان أقل مما يحتاجه الكيروجين للتحويل الى بترول. و يفسر ازدياد نسبة الكبريت في الصخر الزيتي الأردني الى وجود البيئة المختزلة التي تشجع البكتيريا المختزلة في تحويل الكبريتات الى كبريتيد... و يبين الشكل (١٦ - ٣) نموذجاً لبيئة ترسيب الصخر الزيتي الأردني (١).

هذا ولا تزال الحاجة ماسة الى دراسة الصخر الزيتي من جميع النواحي الجيولوجية والكيمائية، والتطبيقية للوصول الى تفهم أوضح يضيء الطريق نحو مستقبل أفضل.

#### references

1. Abed, M., 1982: On the hydrocarbons of some Jordanian oil shales., Dirasat, 9:63-78.
2. Abed, A., & Amireh, B., 1983: Petrography and geochemistry of some Jordanian oil shales from north Jordan. Jour. of Petroleum Geology, 5:261-274.
3. Abu-Ajamieh, M., 1987: Mineral resources of Jordan, N.R.A. Internal Report. Amman.
4. Amireh, B., 1979: Geochemistry and petrography of some Jordanian oil shales., Unpublished M.Sc. Thesis, U. of Jordan, Amman.
5. Bender, F., 1968: Geologie von Jordanien, Beitrage Zurregionalen Geologie der Erde, Berlin., 230p.
6. Hufnagel, H., 1980: Investigation of the El-Lajun oil shale deposit., B.G.R. Internal Report, Hanover.
7. Nimry, Y., 1981: The oil shale. A possible substituting source for energy in Jordan. The Fourth Arab Mineral Resources Conference, Amman 1:1-21.

الفصل السابع عشر

رمال القار

## رمال القار

رمال القار هي صخور رملية غالباً ما تفتقر للمادة اللاصقة مكونة من حبيبات الكوارتز ومشبعة بالمواد الهيدروكربونية الثقيلة خارجية المصدر مثل الاسفلت والزيوت البتيومينية الثقيلة، و يتركز في القار البتيوميني عادة عناصر هامة مثل الكبريت والفانديوم والنيكل يجب فصلها عند استعمال هذا النوع من مصادر الطاقة. وتقوم سلطة المصادر الطبيعية بدراسات مكثفة على رمال القار لغرض ايجاد احتياطي أكبر، وخاصة أن أماكن وجودها قرب مصنع البوتاس ومجمع الصناعات الكيماوية يزيد من أهميتها الاقتصادية.

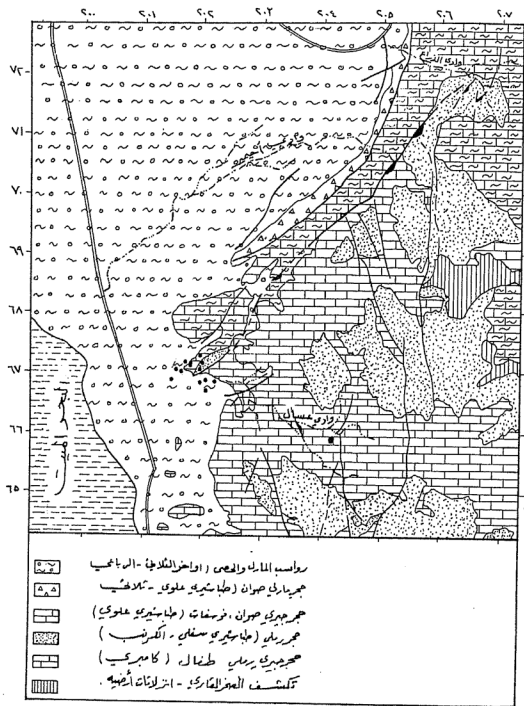
و يبين شكل (١٧-١) خريطة جيولوجية لمناطق تكشف رمال القار في الوديان المقابلة لمنطقة شمال البحر الميت، وتكشف رمال القار حسب تقارير سلطة المصادر الطبيعية (١٩٨٧) Abu-Ajamieh, في ثلاث مناطق هي وادي عسال و وادي أحمر و وادي الذراع. ومما يجدر ذكره أن وجود البقع الاسفلتية طافية على سطح مياه البحر الميت معروف منذ القدم ومرتبطة بحدوث الهزات الأرضية في المنطقة.

### جيولوجية الطبقات الحاملة للقار

ينحصر وجود الصخور المشبعة بالقار على شكل غير منتظم في طبقات الحجر الرملي الكربني (الطباشيري الأسفل) والحجر الرملي الكامبري (الكامبري الأعلى تكون عشرين). و يبدو أن هناك علاقة بين وجود القار والتراكيب الجيولوجية في المنطقة حيث تتكشف صخور القار على طول اتجاه الصدع الرئيسي المتجه شمال شرق حيث يقطع مصب وادي عسال ويستمر الى وادي أحمر ثم الى وادي الذراع، وتتجه الكتلة البنيوية السفلى لهذا الصدع الى الشمال الغربي. وفي منطقة مصب وادي عسال يعلو الحجر الرملي الكربني في تباين واضح الحجر الرملي التابع للعصر الكامبري العلوي (تكون عشرين)، وتفصل هذه الصخور عن الصخور الجيرية - المارلية التابعة للعصر السينوماني - التوروني، الصدع المتجه شمال شرق. و يتركز القار في المنطقة المكسرة في الحجر الرملي الكربني وكذلك في الجزء العلوي من الحجر الرملي الكامبري. وفي وادي أحمر والذراع تتكشف صخور القار على طول اتجاه الصدع. وتظهر صخور الكامبري والطباشيري الأسفل الرملية في وضع متجاور.

### التركيب المعدني والكيماوي لرمال القار

الكوارتز هو المكون الاساسي للحجر الرملي المشبع بالقار في الأردن. أما أهم المعادن الجانبية فهي الكاولينيت في صخور الحجر الرملي الكربني والإليت - مسكوفيت في صخور الحجر الرملي الكامبري. وتزداد نسبة المواد الهيدروكربونية بالاتجاه العمودي والافقي حسب درجات النفاذية والمسامية للصخور، وتخفي في الصخور منخفضة النفاذية والمسامية. أما عن رمال القار فتدل النتائج الأولية على عينات من وادي عسال بأن كل كيلوجرام يعطي



شكل ١٧-١ خريطة جيولوجية تبين اماكن تكتشف صخور القاري في وادي عسال، وادي احيمر، وادي الذراع (١).

ما معدله ١١٩٠ كيلو كالوري، وتبلغ درجة الذوبان في الكلورفورم حوالي ١٤٪ و يبلغ معدل نسبة الكربون العضوي ١٠.٥٪، والكبريت ١.٢٪. ولا تزال الدراسات الحقلية والجيوكيمائية من قبل سلطة المصادر الطبيعية مستمرة. هذا و ربما تكون نوعية القار في الحجر الرملي أفضل مما ذكر، حيث تشير نتائج تحاليل إحدى العينات من وادي الذراع الى أن نسبة مجموع الكربون العضوي تصل الى ٢٥٪ والكبريت ٤٪ وتصل نسبة الذوبان الى ٤٠٪ في الكلوروفورم.

### نشأة المواد الهيدروكربونية في الصخور الرملية

تشير الدلائل الجيولوجية والتاريخية المختلفة الى أن هناك خزاناً للبتترول في إحدى القيعان المصدعة أو الأخاديد في منطقة اللسان أو البحر الميت. و يبدو أن الصدوع المرتبطة بتكوين حفرة الانهدام كانت الطريق السهل لخروج البترول الى الصخور الرملية وتركيزه في المناطق المكسرة والعالية النفاذية والمسامية، و يبدو أن المكونات الخفيفة للبتترول المهاجرة قد تبخرت أو تحللت بفعل البكتيريا التي تحملها المياه الجوفية الغنية بالأكسجين تاركة الجزء الأسفلتي والبيتيوميني الثقيل في الصخور الرملية التابعة للكامبري العلوي والطباشيري السفلي. وهناك احتمال لوجود القار في صخور الكامبري الأوسط والأسفل (الدولومايت والأركوز).

### Reference

1. Abu-Ajamieh, M., 1987: Mineral resources of Jordan., N.R.A. Internal Report, Amman.

## الفصل الثامن عشر

### المعادن المشعة

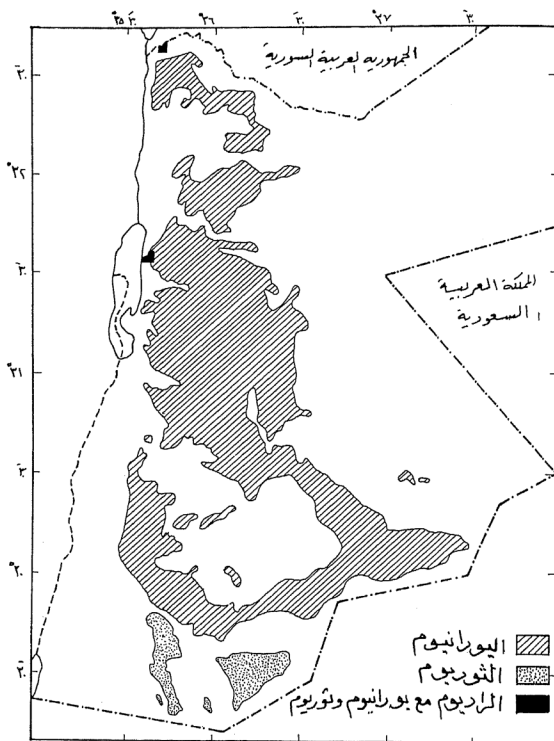
## المعادن المشعة

تعتبر المعادن المشعة والتي تحتوي على العناصر المشعة من مصادر الطاقة البديلة والهامة وخاصة في مجال توليد الكهرباء وتلحية مياه البحار. وتعتمد حالياً كثير من دول العالم الصناعية على العناصر المشعة ومشتقاتها كمصدر هام للطاقة. وفي الأردن بدأت سلطة المصادر الطبيعية في البحث عن المعادن المشعة منذ بداية السبعينات حيث أجريت مسوحات جيولوجية، وجيوفيزيائية وكيمائية عديدة أثبتت وجود تركيز غير عادي لليورانيوم والثوريوم والراديوم في مناطق مختلفة من الأردن. و يبين شكل (١٨ - ١) نتائج المسح الجوي للأردن حيث تظهر الخريطة أماكن تسجيل القراءات العالية للعناصر المشعة وهي اليورانيوم والثوريوم والراديوم بقياس شدة إشعاع جاما.

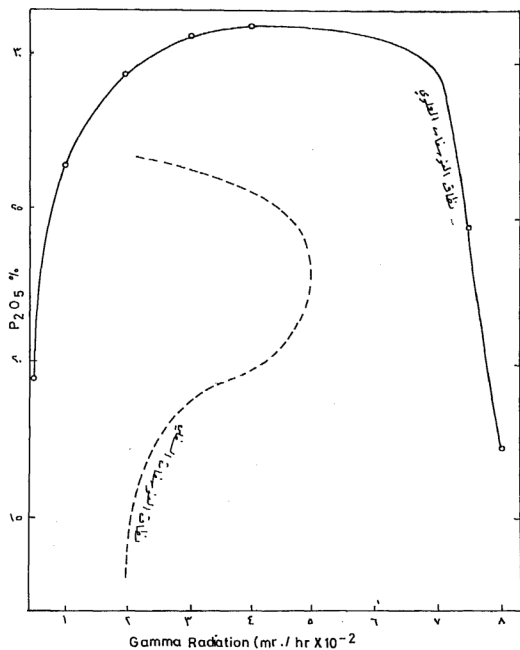
### ١. اليورانيوم

تشير خريطة توزيع العناصر المشعة الى أن اليورانيوم يتركز في صخور العصر الطباشيري العلوي وتتطابق الى حد بعيد مع صخور وحدة الفوسفوريت والجزء السفلي من وحدة الطباشير - المارل (الصخر الزيتي). وكذلك فإن هناك تركيزاً عالياً ايضاً لكن ذا انتشار محلي مصاحب لرواسب النايبيج الحارة الحديثة في مناطق الزرقاء - ماعين، زاره (الجانب الشرقي للبحر الميت) والمخيبة (١١) (شمال الأردن). (Abu Ajamieh, 1981 ولقد بين (١٧) 1985 Helmdach et al, وجود تركيز عال لليورانيوم في الصخور الجيرية الواقعة ما بين منطقة الزرقاء والسبخنة والتابعة للعصر التوروني العلوي والسانتوني السفلي. ولقد قامت سلطة المصادر الطبيعية بدراسات عديدة حول تركيز عنصر اليورانيوم في صخور وحدة الفوسفوريت والجزء السفلي من وحدة الطباشير - المارل (الصخر الزيتي) تضمنت حفر آبار وصلت الى عمق ٧٥ م. وتم التعرف على معادن الاوتيونيت والتياميونيت والكارنوتيت المشعة كمصدر لليورانيوم. ولقد وجد بأن تركيز اليورانيوم في وحدة الفوسفوريت يزداد باتجاه شمالي الأردن، وهو أعلى بكثير من تركيزه في الفوسفات متدني الدرجة في شرق وشمال شرقي الأردن الذي يتبع صخور عصر الايوسين. ولقد وجد بأن هناك علاقة طردية بين نسبة تركيز الفوسفات وتركيز اليورانيوم، و يبين الشكل (١٨ - ٢) العلاقة بين قوة اشعاع جاما وتركيز خامس أكسيد الفوسفور الثنائي حيث يزداد المحتوى الاشعاعي بازدياد تركيز الفوسفور، والذي يصل في وسط الأردن الى أعلى تركيز. له في طبقات الفوسفات العليا ( $P_2O_5 = 30\%$ ) بالمقارنة بطبقات الفوسفات السفلى ( $P_2O_5 = 22\%$ ). وكما هو مبين بالشكل فإن تركيز اليورانيوم يستمر بالزيادة بمعدل أقل حتى في الطبقات منخفضة المحتوى من الفسفور. ويمكن تفسير ذلك بأن اليورانيوم مرتبط بتركيب معدن الفرانكوليت حيث تظهر العلاقة الطردية الى الحد الاعلى للمحتوى الفوسفاتي. و يدل معدل ازدياد المحتوى الاشعاعي حتى بعد انخفاض نسبة الفوسفات الى وجود علاقة طردية بين معادن اليورانيوم الثانوية ووجود المعادن الطينية التي تساعد في امتصاص وترسيب معادن اليورانيوم الصفراء. ولقد قام (١٧) 1981 Ajamieh,





شكل ١٨ - ١ خريطة تبين نتائج المسح الجوي الأردني وأماكن تركيز العناصر المشعة بقياس شدة إشعاع جاما (١).



شكل ١٨ - ٢ العلاقة بين تركيز اليورانيوم والفوسفات في مناطق وسط الاردن (١).

Abu بتقسيم وحدة الفوسفوريت الى خمسة نطاقات بالاعتماد على تركيز اليورانيوم. و يبين شكل (١٨-٢) النطاقات الخمسة في مقطع يمثل الجيولوجيا تحت سطحية في المنطقة الواقعة بين سواقه وجرف الدراويش. ولقد أعطي اسم النطاق شديد الاشعاع للطبقات التي يبلغ معدل تركيز ثامن اكسيد اليورانيوم الثلاثي ( $U_3O_8$ ) فيها ٢٠٤ أجزاء بالمليون، والنطاق متوسط الاشعاع للطبقات التي يتراوح تركيزه فيه بين ٩٥-١١٥ جزءاً بالمليون، والنطاق ضعيف الاشعاع للطبقات التي يبلغ معدل تركيزه فيها ٢٤ جزءاً بالمليون. و يتراوح تركيز اكسيد اليورانيوم في خامات الفوسفات في الرصيفة ١٣٥-١٧٠ جزءاً بالمليون، و يقل معدلها كلما اتجهنا جنوباً فهو ٩٣ جزءاً بالمليون في الحسا و ٨٣ جزءاً بالمليون في الشدية (١٩٨١ Khaled and Abed,). وكذلك فان اليورانيوم يوجد في الصخور الجيرية الواقعة بين السخنة والزرقاء، و يصل اكثر من ٣٠٠ جزء بالمليون و يتركز ثانياً الى نسب أعلى في الشقوق والفواصل (١١٧). Helmdach, et al, 1985; Wriekat et al, 1987

ومما يجدر ذكره أن اليورانيوم يحل محل الكالسيوم في الاباتيت في المراحل الأولى عند الترسيب من مياه البحر.

### أهمية اليورانيوم في الفوسفات الأردني

تقدر كمية الاحتياطي الأولى في أكسيد اليورانيوم في الفوسفات الأردني القابل للتعيين بأكثر من ٢٠٠.٠٠٠ طن متري (١٩٨١ Abu Ajamieh, ولكن الكمية الفعلية هي أكثر من ذلك بكثير ويمكن استخلاص اليورانيوم كناتج ثانوي خلال عملية تصنيع حامض الفوسفوريك وتدل النتائج الأولية للأبحاث الجارية في مصنع الأسمدة الكيماوية على أنه يمكن تركيز ٨٠-١٠٠ طن متري من ثامن اكسيد اليورانيوم الثلاثي (الكعكة الصفراء) عند استخدام ١٣ مليون طن متري من الفوسفات. و يمكن تحويل الكعكة الصفراء الى فلوريد اليورانيوم الذي يمكن تصنيعه الى وقود نووي لأغراض المفاعلات النووية. وهناك حاجة ماسة لإجراء المزيد من الأبحاث على توزيع اليورانيوم في الفوسفات الأردني، وأفضل الطرق لاستخلاصه، وهناك تكنولوجيا متقدمة في الولايات المتحدة الأمريكية لاستخلاص اليورانيوم من الفوسفات وخاصة في ولاية فلوريدا يمكن الاستفادة منها في هذا المجال.

### ٢. الثوريوم

تبين خريطة توزيع العناصر المشعة في الأردن (شكل ١٨-١) أماكن وجود الثوريوم حيث يتركز في مناطق جنوب شرقي الأردن في الصخور الرملية التابعة لحقبة الحياة القديمة (الأوردوفيشي والسيلوري السفلي). و يتكون الجزء السفلي من صخور العصر الأوردوفيشي من الحجر الرملي الجني المتطبق ذي الأصل القاري يعلوه الحجر الرملي الناعم والرملي الطيني الجرابتوليتي من العصر الأوردوفيشي الأوسط، ثم الحجر الرملي الناعم والطيني الكونولاري من الأوردوفيشي العلوي ذي الأصل البحري. وتعلو رواسب الحجر الرملي التوتيليدي البحري

النظام	U <sub>3</sub> O <sub>8</sub> (ppm.)	وصف الصخور	المقطع	السمك بالأمتار	العمق بالأمتار
متوسط الإشعاع	٩٥	مارل	~~~~~ ~~~~~ ~~~~~ ~~~~~ ~~~~~	١٤	١٠.
قوى الإشعاع	٩٠٤	فوسفات ماري هوران	~~~~~ □ Δ ~ Δ □	٤	
	٦٠	مارل	~~~~~	٤	٦٠.
	١١٥	طبقات الترسبات العليا	□ □ □ □ □	٤	٦٠.
متوسط الإشعاع	٦٠	مارل	~~~~~ ~~~~~ ~~~~~ ~~~~~		٦٠.
ضعيف الإشعاع	٩٤	كوكينا	C C	٤٤	٤٠.
	١٠٠	طبقات الترسبات السفلى	□ □ □ □ □ □	٤	
متوسط الإشعاع	٥٠	طبقات ماري هوران	Δ Δ Δ Δ Δ Δ Δ Δ Δ Δ ~~~~~ ~~~~~ ~~~~~		٦٠.
		مستوى الحياة الجوفية	~~~~~ Δ Δ Δ Δ Δ ~~~~~ ~~~~~		٧٠.

شكل ١٨ - ٢ مقطع جيولوجي تحت سطحي يمثل طبقات الفوسفات في المنطقة الواقعة بين سواقة وجرف الدراويش (١).

(سيلوري سفلي) صخور الأوردوفيشي. و يتركز الثوريوم وعناصر أخرى هامة في صخور الأوردوفيشي الأوسط الجرابتوليتية حيث يصل تركيز أكسيد الثوريوم الى حوالي ٤٠٠ جزء بالمليون. أما تركيز العناصر الأخرى مثل الزركونيوم (حوالي ٢٠٠ جزء بالمليون) وسترونشيوم (٢٠٠ جزء بالمليون) وباريوم (٢٠٠-٧٠٠ جزء بالمليون) والعناصر الأرضية النادرة (٥٠٠-١٠٠٠ جزء بالمليون) والتيتانيوم (٠.٦-٠.٧٪) ... الخ<sup>(١)</sup> (Abu Ajamieh, 1981) و يبدو أن المعادن الثقيلة مثل الزركون والروتايل والمونازيت التي نقلت من مصادرها (صخور القاعدة) وترسب على شكل حبيبي مع رسوبيات حقب الحياة القديمة هي مصدر الثوريوم العالي. وكذلك فإن تحليل عينة من الحجر الجيري التابع للعصر الطباشيري العلوي في المنطقة بين السخنة والزرقاء أظهرت تركيزاً عالياً للثوريوم وصل الى أكثر من ٢٠٠ جزء بالمليون<sup>(١)</sup> (Wreikat, et al, 1987). إن توزيع عنصر الثوريوم في صخور حقب الحياة القديمة وفي صخور العصر الطباشيري العلوي وخاصة الفوسفاتية منها بحاجة الى دراسات تفصيلية يجب الاخذ بها بعين الاعتبار في المشاريع التنقيبية المستقبلية.

## ٢. الراديوم

الراديوم ٢٢٦ هو ناتج من تحلل اليورانيوم ٢٣٨ حيث أظهرت الدراسات الأولية على رواسب الينابيع الحارة الحديثة بأن هناك تركيزاً عالياً لعنصر الراديوم مع آثار لعناصر الثوريوم واليورانيوم. و يبدو أن هناك علاقة بين حركة المياه في الصخور الحاملة للعناصر المشعة مثل وحدة الفوسفوريت أو الصخر الزيتي وتركيز عنصر الراديوم في مياه الينابيع الحارة ورواسبها من الترافرتين على السطح. وبالتالي فإن الحاجة ماسة الى اجراء دراسات تفصيلية أخرى لمعرفة تركيز عنصر الراديوم في مياه الينابيع الحارة والرواسب الحديثة وعلاقة ذلك بالصخور التي تتخللها والتي يعتقد بأنها صخور المصدر للعناصر المشعة.

## References

1. Abu Ajamieh, M., 1981: Radioactive minerals in Jordan., The Fourth Arab Mineral Resources Conference, Amman. 2:16 p.
2. Helmdach, F., Khoury, H., and Meyer, J., 1985: Secondary uranium mineralization in the Santonian-Turonian, near Zarqa, north Jordan. Dirasat, 12:105-111.
3. Khalid, H., and Abed, A., 1981: Uranium in Esh- Shadiya phosphates., Dirasat, 8:57-66.
4. Wreikat, A., Abdallah, M., and Saffarini, G., 1987: The determination of U and Th in some Jordanian mineral deposits using natural gamma ray spectroscopy., Dirasat, 14: 187-191.

## المراجع باللغة العربية

الشريف، روعي ومنير قاقيش، ١٩٨٣، خواص الحجر الجيري كحجر بناء وحصى في الاردن، الجمعية الملكية، عمان.

عابد، عبد القادر، ١٩٨٢ : جيولوجيا الاردن، دار النهضة الاسلامية، عمان.

عابد، عبد القادر، ١٩٨٥ : جيولوجيا البحر الميت، دار الارقام، عمان.

عمارين، عوني وخالد شرايحة، ١٩٨٦ : املاح البحر الميت : مخزونها واستخلاصها واستعمالاتها. ندوة الملح في الوطن العربي، عمان.

قاقيش نزار، ١٩٨٦ : خصائص حجر البناء الاردني، الجمعية الملكية، عمان

## المراجع باللغة الانجليزية

- Abed, A., 1978: Deposition environments of the Kurnub (Lower Cretaceous) sandstones: I.A Coal horizon at the lower most Kurnub in north Jordan. Dirasat, 5:31-44.
- Abed, A., 1978 : A coal horizon at the lower most Kurnub, north Jordan, Dirasat, 5 : 34-44.
- Abed, M., 1982: On the hydrocarbons of some Jordanian oil shales., Dirasat, 9:63-78.
- Abed, A., 1982 : Depositional environments of the early Cretaceous Kurnub (Hathira) sandstones, north Jordan. Sediment. Geol., 31: 267-279.
- Abed, A., 1982: Geology of Jordan, Al-Nahda Al-Islamiah, 232 p.
- Abed, A., 1985: Geology of the Damya Formation, Dirasat. 12:99-108.
- Abed, A., 1985: Geology of the Dead Sea; waters, salts and evolution. Dar Al Arqam, Amman.
- Abed, A., and Mansour, H., 1982 : Petrography and chemistry of some lower Cretaceous glauconites from Jordan, Dirasat, 9 : 67 - 80.
- Abed, A., & Amireh, B., 1983: Petrography and geochemistry of some Jordanian oil shales from north Jordan., Jour. of Petroleum Geology, 5:261-274.
- Abed, A., and Khalid, H. H., 1985: Distribution of uranium in the Jordanian phosphates, Dirasat, 7: 91 - 103.
- Abed, A., and El-Hiyari, M., 1986: Depositional environment and palaeogeography of the Cretaceous gypsum horizon in west central Jordan, Sediment. Geol., 47: 109-123.
- Abed, A., and Ashour, M., 1987: Petrography and age determination of the NW Jordan Phosphates. Dirasat, 14: 247-265.
- Abu- Ajamieh, M., 1974 : Uranium resources in Jordan, Unpublished Report. NRA, Amman.
- Abu Ajamieh, M., 1981: Radioactive minerals in Jordan., The Fourth Arab Mineral Resources Conference, Amman. 2:16p.
- Abu-Ajamieh, M., 1987: Mineral resources of Jordan, N.R.A. Internal Report. Amman.
- Adamia, S., Chkhotua, M., Kekelia, M., Lordkipanidz, M., Sharishvili, I., and Zachariadze, G., 1981 : Tectonics of the Caucasus and adjoining regions : Implications for the evaluation of the Tythys ocean: J. of Structural Geol., 3: 437-447.
- Al-Agha, M., 1985: Petrography, mineralogy, geochemistry and genesis of the north Jordan phosphates. Unpublished M.Sc. thesis, U. of Jordan, Amman.
- Al-Hawari, Z., 1986: Clay minerals associated with the Jordanian phosphates and its possible industrial utilization. Unpublished M.Sc. thesis, U. of Jordan, Amman.
- Al-Shaeay, I., 1987: Dead Sea water geochemistry., M.Sc. thesis, University of Jordan, Amman.

- Amireh, B., 1979: Geochemistry and petrography of some Jordanian oil shales., Unpublished M.Sc. Thesis, U. of Jordan, Amman.
- Amireh, B., 1987: Sedimentological and petrological interplays of the Nubian Series in Jordan with regard to paleogeography and diagenesis. Bswg. Geol. Palaont. Diss., Braunschweig, 232p.
- Arsalan, F., 1976: Geologie und Hydrogeologie der Azraq-Depression. Diss. Technische Hochschule Aachen, 85p.
- Bandel, K., and Haddadin, A., 1979: The depositional environment of Amber-bearing rocks in Jordan, Dirasat, 6:39-65.
- Bandel, K., and Khoury H., 1981: Lithostratigraphy of the Triassic in Jordan, Facies, 4 : 1- 26
- Bandel, K., and Mikbel, S., 1985: Origin and deposition of phosphate ores from the Upper Cretaceous at Ruseifa., Mitt. Geol. Paleont. Inst. Hamburg. 59:167-188.
- Barjous, M., 1986: The geology of Siwaqa map, sheet No. 3252. IV, Bull. 4, N.R.A Bull. 4, 70p.
- Barnes, I., Presser, T., Saines, M., Dickson, P., and Koster Van Gross, A., 1982: Geochemistry of high basic calcium hydroxide groundwater in Jordan, Chem. Geol., 35: 147-154.
- Basha, S., 1987: On the Tertiary phosphate rocks of the Risha area, NE Jordan. Dirasat, 14:211-227.
- Basta, E., and Sunna, B., 1972: The manganese mineralization at Feinan District, Jordan, Bull. Fac. Sc., U of Cairo, 44 : 111-126.
- Batayneh, A. 1987: Geophysical studies of iron occurrences in northern Jordan. Unpublished M.Sc. Thesis, U of Jordan. 150 p.
- Bender, F., 1965: Zur Geologie der Kupfererz-Vorkommen am Ostrand des Wadi Araba, Jordanien, Geol. Jb., 83: 181-208.
- Bender, F., 1968: Geologie Von Jordanien, 7, Beitrage Zur Regionalen Geologie der Erde. Gebrüder, Borntraeger, Berlin, 230p.
- Bender, F., 1974 : Explanatory notes on the geological map of Wadi Araba, Jordan. Geol. Jb. Bull. 10: 3-62.
- Bender, F., 1974: Geology of Jordan. Beitrage zur Regionalen Geologie der Erde. Gebruder Borntraeger Pub., Berlin, 196p.
- Bender, F., 1975: Geology of the Arabian Peninsula, Jordan, Prof. Pap. U.S. Geol. Surv. 560-I., Washington.
- Bender, F., 1982: On the evolution of the Wadi Araba Jordan Rift, Geol. Jb. Bull. 45: 3-20.
- Bender, F., Echhardt, F., and Heimbach, E., 1970: Rohstoffe Zur Dugemittelherstellung und Phosphat Basis in Jordanien. BGR Unpublished Report, Hanover.
- Beerbaum, B., 1977: Die Genese der marin-sedimentaren Phosphat lagerstatte von Al Hasa., Geol. JB. 24, 58p.



- Benson, W., 1952: Investigation of mineral resources of Jordan. Unpublished report, BGR Archiv, Hanover.
- Bentor, J., 1956 : The manganese occurrences at Timna, a lagoonal deposit, XX Cong. Geol. Inter. Symp. Mexico.
- Bentor, Y., Gross, S., and Heller, L., 1963: Some unusual minerals from "Mottled Zone" complex, Israel., Amer Min. 48: 924-930.
- Bentor, Y., Gross, S., and Kolodny, Y., 1972: New evidence on the origin of the high temperature mineral assemblage of the "Mottled Zone", Israel, 24th, International Geological Congress, 2: 265-275.
- Blake, G., 1930: The mineral resources of Palestine and Trans - Jordan Jerusalem Printing and Stationary Office.
- Blake, G., 1936: The stratigraphy of Palestine and its building stone, Jerusalem Printing and Stationary Office
- Blake, G., and Ionides, M., 1939: Report on the water resources of Transjordan and their development. London, Crown Agents for the Colonies.
- Blanckenhorn, M., 1896: Entstehung und Geschichte des Toten Meeres - Zeitschr. Deutsch-Palastine Vereins, Leipzig.
- Boom, Van den, G., 1969: Zur Geologie und Genses der Manganerz Vorkommen in Wadi Dana Geol. Jb. 81:42-46.
- Boom, Van den, and Lahloub, G., 1962: The iron-ore deposits of Warda in southern Ajlun-District. Unpublished Report, NRA, Amman.
- Boom Van den, G., and Lahloub, M., 1964: Geological and petrological investigations of igneous rocks in the area of Quweira, S-Jordan. NRA Internal Report, Amman.
- Boom, G., and Suwwan, O., 1966: Report on geological and petrological studies on the Plateau-Basalts in NE Jordan. GGM. Archiv BGR, Hanover.
- Boom Van den, G., and Röscher, H., 1969: Modalbestand und Petrochemie der Granite in Gebiet von Aqaba-Quweira, Sudjordanien, Beih. geol. Jb., 18: 113-148
- Burdon, D., 1959: Handbook of the geology of Jordan; to accompany and explain the three sheets of 1:250.000 geological map of Jordan, east of the Rift by A. Quennell., Govt., Hashemite Kingdom of Jordan. 82 p.
- Coppens, R., Bashir, S., and Richard, p., 1977: Radioactivity of Al-Hasa phosphates, a preliminary study. Mineral. deposita. 12: 189-196.
- Darwish, J. 1987: Investigation of Azraq clays. NRA-Internal Report 18p.
- Demag, A, 1960 : Report of the manganese of Wadi Dana, Jordan, Unpublished, BGR Archiv. Hanover.
- Dwiri, M., 1988: Generation of zeolite from alteration of basaltic glass from Jebel Aritain volcano. The Third Jordanian Geological Conference, Amman, p 30.
- Fakhoury, K., 1987: Chemical variability in francolites from Jordan, and role of microbial processes in phosphogenesis. Unpublished M.Sc. Thesis, U. of Jordan, Amman, 127p.

- Faraj, B., 1988: Palygorskite and its possible economic value in Azraq Basin, Jordan, NRA, Internal Report. 13p.
- Futian, A. and Neville, R., 1980: Palynological analysis of seven samples from Batn El-Ghoul. 2 and 3 boreholes submitted by JEBCO Petroleum Development, Rep. 4472P/F.
- Gharibeh, R., 1981: The geochemistry of the Dead Sea. The fourth Arab Mineral Resources Conference, Amman.
- Gold, O., 1964: The Wadi Araba copper exploration, Jordan, Unpublished report.
- Gross, S., Mazar, E., and Zak, I., 1967: The "Mottled Zone" complex of Nahal Ayalon, central Israel, Israel J. Earth-Ssci., 16:84-96.
- Gross, S., 1977: The mineralogy of Hatrurim Formation, Israel. Geol. Survey of Israel, Bull. 7, 80 p.
- Gruneberg, F., and Dajani, 1964: The soils of Azraq area. GGM, Archiv RGR, Hanover.
- Haddadin, M., 1974: Possibilities of bentonite in Jordan, NRA, Internal Report, 24p.
- Hakki, W., 1971: The mineral exploration of the Aqaba granites, NRA. Internal Report, Amman.
- Hakki, W., 1978: Daba marble project, N.R.A. Unpublished Report, Amman, 40p.
- Hall, p., and Nimry, Y., 1971: The Mahis clay deposits, NRA, Internal Report, Amman.
- Hamam, K., 1977: Foraminifera from Maestrichtian phosphate-bearing strata of El-Hasa, Jordan. J. of Foraminiferal Research, 7:1.
- Hauf, p., 1979: Hashemite from Daba, Jordan, U.S.Geol. Survey, Internal report, Washington.
- Heimbach, W., and Rösche, H., 1980: Die Mottled Zone in Central Jordanien., Geol. Jb. 40:3-17.
- Heimbach, W., and Rösche, H., 1982: Zum vorkommen von Wolchoiskoit, einem Cr-Montmorillonit aus dem Hangenden der Mottled Zone Zentraljordanien. Geol. Jb., B45:21-30.
- Helmdach, F.; Khoury, H., and Meyer, J., 1985: Secondary uranium mineralization in the Santonian-Turonian, near Zarqa, north Jordan. Dirasat, 12:105-111.
- Hull, E., 1886: Memoir on the physical and geography of Arabia Petraea, Palestine, and adjoining districts, with special reference to the mode of formation of the Jordan-Arabah depression and the Dead Sea. Bentley & Sons, London, 145 P.
- Hufnagel, H., 1980: Investigation of the El-Lajun oil shale deposit., B.G.R. Internal Report, Hanover.
- Ibrahim, H., 1965: Geology and possibilities in the area between Mahis and Ghor Kabid, NRA, Internal Report, Amman.
- Jallad, I., 1977: Investigation on the upgrading processes of the low grade phosphates. Unpublished Ph. D. thesis, Cairp U., Cairp.

- Jarrar, G., 1984: Late Proterozoic crustal evolution of the Arabian-Nubian shield in the Wadi Araba area, SW-Jordan. Unpublished Ph.D. thesis, Braunschweig University, 107 P.
- Jaser, D., 1986: The geology of Khan ez Zablib, Map sheet No. 3253 III., N.R.A., Bull. 4, 47p.
- Jeresat, K., and Bashir, S., 1972: The tripoli occurrences between Madaba and Tafila, N.R.A. Internal Report, Amman.
- JPC, 1986: Jordan Phosphate Mines Co. LTD. Annual Report.
- Karam, D., 1967: Studies on some phsphate bearing rocks on Jordan. Unpublished M.Sc. thesis, Ain Shams U., Cairo.
- Karam, S., 1973: Geological report on some tripoli occurrences in Jordan. Royal Sci. Soc., Amman.
- Khalid, H., 1980: Petrography, mineralogy, and geochemistry of Esh-Shidya, Unpublished M. Sc. thesis, U. of Jordan, Amman.
- Khalid, H., Abed, A., 1981: Uranium in Esh-Shadiya Phosphates., Dirasat, 8:57-66.
- Khalid, H., and, Abed A., 1982: Petrography, and geochemistry of of Esh-Shidya, phosphates. Dirasat, 9: 81-102.
- Khoury, H., 1974: Boron in Mahis clays as a paleoenvironmental indicator, Dirasat, 1:97-103.
- Khoury, H., 1980: Mineralogy and origin of Azraq clay deposits, Jordan, Dirasat, 7:21-31.
- Khoury, H., 1981: The kaolin deposits of Mahis area, Jordan. Dirasat, 8:69-84.
- Khoury, H., 1985: The origin of highly alkaline waters from the Maqrin area, north Jordan, Dirasat, 12: 125-131.
- Khoury, H., 1986: Depositional environment and diagenesis of the lower part of the Kurnub Sandstone Formation (lower Cretaceous), Mahis area, Jordan. Sediment. Geol., 49:129-141.
- Khoury, H., 1986: On the origin of stratabound copper-manganese deposits in Wadi Araba, Jordan, Dirasat, 13:227-247.
- Khoury, H., 1986: The origin of tripoli in Jordan., Sediment. Geol., 48: 223-235.
- Khoury, H., 1987: Tripolization of chert in Jordan. Sediment. Geol., 53: 315-310.
- Khoury, H., 1987: Alunite from Jordan, N.Jb. Miner, Mh., 9:426-432.
- Khoury, H., 1989: Isoicopic evidence of thermal matamorphism of the bituminous limestone of Maqarin area, Jordan. (In Press).
- Khoury, H., and Nassir, S., 1982: A discussion on the origin of Daba-Siwaqa marble, Dirasat, 9:55-66.
- Khoury, H., and Nassir, S., 1982: High temperature mineralization in the bituminous limestone in Maqarin area, north Jordan., N.Jb. Miner, Abh. 144: 197-213.
- Khoury, H; and Salameh, E., 1986: The origin of high temperature minerals from Sweileh area, Jordan, Dirasat, 8. 261-269.

- Khoury, H., and El-Sakka, W., 1986: Mineralogical and industrial characterization of the Batn El-Ghoul clay deposits, southern Jordan, *App. Clay Sci.*, 1; 321-351.
- Khoury, H., and Khalil, K., 1986: Ghor Kabil clay deposits, Jordan, *Dirasat*, 13: 246-260.
- Khoury, H., and Graetsch, H., 1989: Mineralogy and petrography of some opaline phases from Jordan, (In Press.).
- Khoury, H., Salameh, E., Udluft, p., 1984: On the Zerka Main travertine/Dead Sea., *N. Jb. Geol. Palaont. Mh.* 8: 472-484.
- Khoury, H., Salameh, E., and Abdul-Jaber, Q., 1985: Characteristics of an unusual highly alkaline water from the Maqarin area, northern Jordan. *J. Hydrol.*, 81: 79-91.
- Khoury, H., Al-Hawari, Z. and El-Suradi, S., 1988: Clay minerals associated with Jordanian phosphates and their possible industrial utilization. *Appl. Clay Sci.*, 3: 111- 121.
- Khoury, H., Mackenzie, R., Russel, J., and Tait, J., 1984: An iron free volkonskoite, *Clay Mins*, 19: 43-47.
- Kolodny, Y., 1979: Natural cement factory: A geological story. Franklin Pierce College, 203-215.
- Kolodny, Y., and Gross, S., 1974: Thermal metamorphism by combustion of organic matter; isotopic and petrological evidence., *J. Geol.* 82 : 489 - 506.
- Kolodny, Y., Bar, M., and Sass, E., 1971: Fission track age on the "Mottled Zone Event" in Israel. *Earth and Planet. Sci. Lett.*, 11: 269-272.
- Kolodny, Y., Schulman, N., and Gross, S., 1973: Hazeva Formation sediments affected by the "Mottled Zone Event". *Israel J. Earth - Sci.*, 22: 185-193.
- Krashan, G., 1988: Sedimentology and geochemistry of Amman Formation in Wadi El-Mujib area, central Jordan. Unpublished M. Sc., thesis U of Jordan.
- Lartet, L. 1869 : Essai sur la Geologic de la Palestine- *Ann. Sci. Geol.*, 1 pt., 1: 1- 116.
- Matthews, A., Kolodny, Y., 1978: Oxygen isotope fraction in decarbonation metamorphism, *Earth and Planet., Sci. lett.*, 39: 179-192.
- Mckelvey, V., 1959 : Investigations needed to stimulate the development of Jordan mineral resources, Unpublished Report. USGFS.
- Mikbel, Sh., and Zacher, W., 1981: The Wadi Shueib structure in Jordan., *N. Jb. Geol. Palaont. Mh.*, 9: 571-579.
- Mikbel, Sh., and Abed, A., 1985 : Discovery of large phosphate deposits in NW Jordan. *Dirasat*, 12: 125-136.
- Mikbel, Sh. Saffarini, G., and El-Isa, Z., 1985: New iron occurrences west of Amman. *Jordan, Dirasat*, 12 : 112-124.
- Nassir, S., and Khoury, H., 1982: Geology, mineralogy, and petrology of Daba marble, Jordan, *Dirasat*, 9: 109-130.
- Neev, D., and Emery, K., 1967: The Dead Sea., *Geol. Survey of Israel., Bull.*, 41 : 147 p.

- Nimry, Y., 1967: The manganese occurrences at Wadi Dana, Jordan, Unpublished Report, NRA.
- Nimry, Y., and Haddadin, M., 1970: Glass sand of Ras En Naqb. NRA. Internal Report, Amman.
- Nimry, Y. 1973: The copper and manganese prospects of Wadi Araba, Unpublished Report, NRA.
- Nimry, Y., 1981: The oil shale. A possible substituting source for energy in Jordan. The Fourth Arab Mineral Resources Conference, Amman 1:1-21.
- Nissenbaum, A., 1977: Minor and trace elements in the Dead Sea Water, Chemical Geology, 19:99-1.
- NRA, 1981: Mineral occurrences in Jordan, NRA Internal Report, Amman.
- Omari, K., 1975: The tripoli prospects of Ainun and El-Shehabiyeh, N.R.A. Internal Report, Amman.
- Pecal, Z., and Gharibeh, R., 1968: Leucogranites in southern Jordan. A potential source of feldspar raw material, NRA Internal Report. Amman.
- Picard, L., 1941: The Precambrian of the north Arabian-Nubian Massif. Bull., Geol. Dept., Hebrew Univ., 3, 3-4.
- Quennell, A., 1951: The geology of mineral resources of Trans-Jordan. Colonial Geology & Mineral Resources, London, 2: 85 - 115.
- Reeves, M., and Saadi, T., 1971 : Factors controlling the deposition of some phosphates bearing strata from Jordan. Econ. Geol., 68 : 541 - 465.
- Rimawi, O., 1980: Geochemistry and isotope hydrogeology of the thermal springs along the eastern side of the Jordan, Dead Sea. M. Sc. Thesis., U of Jordan, Amman.
- Robertson, A, 1977: The origin and diagenesis of chert from Cyprus. Sedimentology. 24: 11 - 30.
- Rösch, H., and Saadi, T., 1975 : Types of phosphate rocks and their chemical and petrological characteristics. Technical Report. DP/UN/ Jordan- 70 - 521/2, published by the United Nations.
- Ruef, M., and Jeresat, K., 1965; Geology of Jiza-Qatrana area, Central Jordan., N.R.A., Unpublished Report, Amman.
- Saadi, T., 1968: Tripoli, N.R.A., Internal Report, Amman.
- Saadi, T., 1969 : Mineralogy, crystal chemistry, and genesis of some Jordanian phosphate ores. Unpublished M.Sc. thesis, Durham, England.
- Saadi, T. and Shaaban, M., 1981 : Uranium in Jordanian phosphates and its distribution in the beneficiation processes. The Fourth Arab Min. Res. Conf. Amman.
- Sadaqa, R., 1983 : Geology and new phosphate deposits of Wadi El-Abiad area, central Jordan. Unpublished M.Sc. thesis, U. of Jordan, Amman.
- Saffarini, G., 1988 : Geochemical characterization of a carbonate-hosted hydrothermal iron ore : The Warda iron deposit Ajlun, Jordan. Dirasat, In print.
- Salameh, E., 1975: The discovery of gypsum in the Azraq area, Dirasat, 2:69-75.

- Salameh, E., 1980: The Sweileh structure, N.Jb. Geol. Palaont., Mh., 7: 428-438.
- Salameh, E., and Khudeir, K., 1983: Thermal water system in Jordan., N. Jb. Geol. Palaont. Mh., 4: 249-256.
- Salameh, E., and Udluft, P., 1984: Hydrodynamic pattern of the central part of Jordan., Geol. Jb., C38: 39-53.
- Sasa, A., and Abu Taha, I. 1983: Batn El-Ghoul clay and its future utilization. NRA, Internal Report. Amman.
- Shadfan, H., and Dixon, J. 1984: Occurrence of palygorskite in the soils and rocks of the Jordan Valley, Developments In Sedimentology. 37: 187 - 199.
- Slatikine, A., 1961: Nodules Cupriferes du Neguev (Israel), Bull. Res. Coun. Israel, 10 : 292-299.
- Sturm, E., 1953: Possible origins of manganese ore in the Negev. Bull. of the Res. Council., 3, Jerusalem.
- Sunna, B., 1984: Feldspars in Jordan, NRA Internal Report, Amman.
- Taimeh, M., and El-Hiyari, M., 1978: Report on the gypsum occurrences in southern Jordan., N.R.A. Unpublished Report, Amman, 22P.
- Wetzel, R., and Morton, D., 1959: Contribution a La Geologie de la Transjordanie - notes et Memories sur le Moyen-Orient. Publiees sous la direction de M.L. Dubetret. Contributions a la Geologie de La Peninsule Arabique, Museum Nat. d'Hist. Nature, Paris, 7: 95 - 188.
- Weissbrod, T., 1969: The Paleozoic of Israel and adjacent countries. Bull. Geol. Surv. Israel., 48: 32 p.
- Wiersma, J., 1970: Provenance, genesis, and paleogeogeographical implications of microminerals occurring in sedimentary rocks of the Jordan Valley area. Fysisch-Geografisch, Amsterdam.
- Wiesemann, G., and Abdullatif, A., 1963: Geology of Yarmouk area, north Jordan, GGM., 120 P.
- Wiesemann, G., and Rosch, H., 1969: Das Apatit-Vorkommen Von Suweileh; Nord-Jordanien. Beih. Geol. Jb., 81: 177-214.
- Wriekat, A., Abdallah, M., and Saffarini, G., 1987: The determination of U and Th in some Jordanian mineral deposits using natural gamma - rays spectroscopy., Dirasat, 14 : 187 - 191.

////////////////////////////////////

## شكر

يتقدم الكاتب بخالص شكره وتقديره الى الجامعة الأردنية لنشر هذا الكتاب من ضمن (منشورات الجامعة الأردنية). ويخص بالذكر الاستاذ الدكتور محمد عدنان البخيت عميد البحث العلمي في الجامعة الأردنية وجميع العاملين في مطبعة الجامعة.

كما يود أن يعبر عن جزيل الشكر والعرفان الى جميع العاملين في سلطة المصادر الطبيعية وفي قسم الجيولوجيا والمعادن في كلية العلوم بالجامعة الأردنية لمساعدتهم وتشجيعهم المستمر. ويخص بالذكر الاستاذ الدكتور عبد القادر عابد رئيس القسم لقراءة النسخ باللغة العربية وللأنسة رمزية أحمد العامري والسيدة ميسون منير الغلابيني لطباعة مسودات الكتاب والسادة أحمد عبد القادر تايه ومحمد البستنجي على رسم الاشكال الواردة في هذا الكتاب.

////////////////////////////////////

حقوق الطبع والنشر والتوزيع والترجمة محفوظة  
للجامعة الأردنية

*All Copyrights are Reserved  
for the University of Jordan  
Amman*





صورة الغلاف : معدن ابو فيليليت من منطقة ضبعة

---

مطبعة الجامعة الأردنية

عمان ١٩٨٩

---

Publications Of The University Of Jordan



***Industrial Rocks and Minerals  
in Jordan  
(Occurrences, Properties and Origin)***

**By  
Hani N. Khoury**

Amman, 1989



Publications Of The University Of Jordan



***Industrial Rocks and Minerals  
in Jordan  
(Occurrences, Properties and Origin)***

By  
**Hani N. Khoury**

Amman, 1989